

IONOSPHERIC DATA IN JAPAN

FOR February 2021
VOL. 73 NO. 2

CONTENTS

Preface	
Introduction	1
A. Ionosphere	
A1. Automatic Scaling	
Hourly Values at Wakkanai ($foF2$, fEs and $fmin$)	4
Hourly Values at Kokubunji ($foF2$, fEs and $fmin$)	7
Hourly Values at Yamagawa ($foF2$, fEs and $fmin$)	10
Hourly Values at Okinawa ($foF2$, fEs and $fmin$)	13
Summary Plots at Wakkanai	16
Summary Plots at Kokubunji	23
Summary Plots at Yamagawa	30
Summary Plots at Okinawa	37
Monthly Medians $h'F$ and $h'E_s$	44
Monthly Medians Plot of $foF2$	46
A2. Manual Scaling	
Hourly Values at Wakkanai	47
Hourly Values at Kokubunji	61
Hourly Values at Yamagawa	75
Hourly Values at Okinawa	89
f -plot at Wakkanai	104
f -plot at Kokubunji	132
f -plot at Yamagawa	160
f -plot at Okinawa	188

«Real Time Ionograms on the Webhttp://wdc.nict.go.jp/index_eng.html»



NATIONAL INSTITUTE OF INFORMATION
AND COMMUNICATIONS TECHNOLOGY
TOKYO, JAPAN

INTRODUCTION

This Series contains data on ionosphere (I) and solar radio emission (S) obtained at the following stations under the

National Institute of Information and Communications Technology , Japan.

Stations	Geographic(WGS84)		Geomagnetic (IGRF-10(2005))		Technical Method
	Latitude	Longitude	Latitude	Longitude	
*Wakkai/Sarobetsu	45°10'N	141°45'E	36.4°N	208.9°	Vertical Sounding (I)
Kokubunji	35°43'N	139°29'E	26.8°N	208.2°	Vertical Sounding (I)
Yamagawa	31°12'N	130°37'E	21.7°N	200.5°	Vertical Sounding (I)
Okinawa	26°41'N	128°09'E	17.0°N	198.6°	Vertical Sounding (I)
Hiraiso	36°22'N	140°37'E	27.6°N	209.1°	Solar Radio Emission (S)

*We moved the observation facilities at Wakkai to Sarobetsu on February 2009. The new observatory is located at approximately 26km south from the old observatory. The observation at Sarobetsu commenced on March 6, 2009.

IONOSPHERE

Ionospheric observations are carried out at the above four stations in Japan by means of vertical sounding using ionosondes. The ionosonde produces ionograms, which are recorded digitally on a computer storage medium. The digitally-recorded ionograms are collected from each station by the central computer and reduced to numerical values and Summary Plots by the automatic processing system. The ionograms obtained at Kokubunji are manually scaled by experienced specialists to supplement automatically-scaled parameters.

A1. Automatic Scaling

Digital ionograms are automatically scaled by the pattern recognition method. The following five characteristics of the ionospheric are listed below. The reliability of these factors has been ascertained by comparison of the automatically-scaled parameters with the manually-scaled values of large amounts of test ionograms.

The published data consist of tabulations of hourly values of three factors (*foF2*, *fEs*, *fmin*) and monthly medians of two factors (*h'Es*, *h'F*), daily Summary Plots and monthly medians plot of *foF2*.

a. Characteristics of Ionosphere

foF2	Ordinary wave critical frequency for the F2 layer
fEs	Highest frequency of the Es layer whether it may be ordinary or extraordinary
fmin	Lowest frequency which shows vertical iono-spheric reflections
h'Es h'F	Minimum virtual height on the ordinary wave for the Es and F layers, respectively

b. Descriptive Letters

The following descriptive letters are used in the tables.

- A Impossible measurement because of the presence of a lower thin layer, for example *Es* (for *foF2*).
- C Impossible measurement because of any failure in observation.
- G Impossible automatic scaling because of very small ionization density of the layer (for *fEs*).
- N Impossible automatic scaling because of complex echoes.
- Blank No digital record because of problems occurring in the auto matic data processing system, but existence of film record.

c. Definitions of CNT, MED, UQ ,and LQ

Median count (CNT) is the number of numerical values from which the median has been computed. In addition to numerical values, the count may include a descriptive letter G.

Median (MED) is defined as the middle value when the numerical values are arranged in order of magnitude, or the average of the two middle values if there is an even number

of values.

Upper quartile (UQ) is the median value of the upper half of the values when they are ranked according to magnitude; the **lower quartile (LQ)** is the median value of the lower half.

If CNT is less than 10, there are blank spaces left.

d. Reliability of Automatic Scaling

The results of the comparison between automatically-scaled values and manually-scaled ones showed that hourly values of *foF2* , *fEs* and *fmin* were scaled within a difference of 1 MHz from about 90, 90 and 99%, respectively of the test ionograms.

e. Summary Plot

Daily Summary Plots which are made from quarter-hourly digital ionograms are published to present general ionosphere conditions. The upper and middle parts of a Summary Plot show the diurnal variation of the frequency range of the echoes reflected from the *F* and *E* regions, respectively. The two solid arcing lines indicate the predicted values of *fxE* and *foE* calculated by the method described in the CCIR report 340. The lower part shows the diurnal variation of the virtual height where the echo traces become horizontal.

A2. Manual Scaling

The published data consist of tabulations of hourly values of the ionospheric characteristics and figures of daily *f*-plot.

All symbols and terminology in the tables or figures of ionospheric data are used in accordance with the "URSI Hand-book of Ionogram Interpretation and Reduction (Second Edition) 1972 " and its revision of chapters I-4, published in July 1978.

a. Characteristics of Ionosphere

fxl	Top frequency of spread F trace
foF2	Ordinary wave critical frequency for the F2 , F1 , E , and Es (including particle type E) layers, respectively
foE	
foEs	
fbEs	Blanketing frequency of the Es layer, e.g. the lowest ordinary wave frequency visible through Es
fmin	Lowest frequency that shows vertical ionospheric reflections
M(3000)F2	Maximum usable frequency factor for a path of 3000 km for transmission by the F2 and F1 layers, respectively
M(3000)F1	
h'F2	Minimum virtual height on the ordinary wave for the F2 , whole F , E and Es layers, respectively
h'F	
h'E	
h'Es	
Types of Es	See below b. (iii)

b. Symbols

(i) Descriptive Letters

- The following letters are entered after, or used to replace a numerical value on the monthly tabulation sheets, if necessary.
- A** Measurement influenced by, or impossible because of, the presence of a lower thin layer, for example *Es*.
 - B** Measurement influenced by, or impossible because of, absorption in the vicinity of *fmin*.
 - C** Measurement influenced by, or impossible because of, any non-ionospheric reason.
 - D** Measurement influenced by, or impossible because of, the upper limit of the normal frequency range in use.
 - E** Measurement influenced by, or impossible because of, the lower limit of the normal frequency range in use.
 - F** Measurement influenced by, or impossible because of, the presence of spread echoes.
 - G** Measurement influenced by, or impossible because the ionization density of the layer is too small to enable it to be made accurately.
 - H** Measurement influenced by, or impossible because of, the presence of a stratification.
 - K** Presence of particle *E* layer.
 - L** Measurement influenced or impossible because the trace has no sufficiently definite cusp between layers.
 - M** Interpretation of measurement questionable because the ordinary and extraordinary components are not distinguishable.
 - N** Conditions are such that the measurement cannot be interpreted.
 - O** Measurement refers to the ordinary component.
 - P** Man-made perturbations of the observed parameter; or spur type spread *F* present.
 - Q** Range spread present.
 - R** Measurement influenced by, or impossible because of, attenuation in the vicinity of a critical frequency.
 - S** Measurement influenced by, or impossible because of, interference or atmospherics.
 - T** Value determined by a sequence of observations, the actual observation being inconsistent or doubtful.
 - V** Forked trace which may influence the measurement.
 - W** Measurement influenced or impossible because the echo lies outside the height range recorded.
 - X** Measurement refers to the extraordinary component.
 - Y** Lacuna phenomena, severe layer tilt.
 - Z** Third magneto-electronic component present.

(ii) Qualifying Letters

The following letters are entered in the first column before a numerical value on the monthly tabulation sheets, if necessary.

- A** Less than. Used only when *fbEs* is deduced from *foEs* because total blanketing of higher layer is present.
- D** Greater than.
- E** Less than.
- I** Missing value has been replaced by an interpolated value.
- J** Ordinary component characteristic deduced from the

extraordinary component.

- M** Mode interpretation uncertain.
- O** Extraordinary component characteristic deduced from the ordinary component. (Used for x-characteristics only.)
- T** Value determined by a sequence of observations, the actual observation being inconsistent or doubtful.
- U** Uncertain or doubtful numerical value.
- Z** Measurement deduced from the third magneto-electronic component.

(iii) Description of Types of *Es*

When more than one type of *Es* trace are present on the ionogram, the type for the trace used to determine *foEs* must be written first. The number of multiple trace is indicated after the type letter.

The types are:

- f** An *Es* trace which shows no appreciable increase of height with frequency.
- i** A flat *Es* trace at or below the normal *E* layer minimum virtual height or below the part *E* layer minimum virtual height.
- c** An *Es* trace showing a relatively symmetrical cusp at or below *foE*. (Usually a daytime type.)
- h** An *Es* trace showing a discontinuity in height with the normal *E* layer trace at or above *foE*. The cusp is not symmetrical, the low frequency end of the *Es* trace lying clearly above the high frequency end of the normal *E* trace. (Usually a daytime type.)
- q** An *Es* trace which is diffuse and non-blanketing over a wide frequency range.
- r** An *Es* trace showing an increase in virtual height at the high frequency end similar to group retardation.
- a** An *Es* trace having a well-defined flat or gradually rising lower edge with stratified and diffuse traces present above it.
- s** A diffuse *Es* trace which rises steadily with frequency and usually emerges from another type *Es* trace.
- d** A weak diffuse trace at heights below 95 km associated with high absorption and large *fmin*.
- n** The designation 'n' is used to denote an *Es* trace which cannot be classified into one of the standard types.
- k** The designation 'k' is used to show the presence of particle *E*. When *foEs* > *foE* (particle *E*) the *Es* type precedes k.

c. Definitions of the CNT, MED, UQ and LQ

Median count (CND) is the number of values from which the median has been computed. In addition to numerical values, the count may include certain descriptive letters.

Median (MED) is the middle value when the numerical values are arranged in order of magnitude, or the average of the two middle values if there is an even number of values.

Upper quartile (UQ) is the median value of the upper half of the values when they are ranked according to magnitude; the **lower quartile (LQ)** is the median value of the lower half.

	HOURLY VALUES OF f ₀ F ₂ AT Wakkanai																							
	FEB. 2021 LAT. 45°10.0'N LON. 141°45.0'E SWEEP 1.0 MHz TO 30.0 MHz AUTOMATIC SCALING																							
D	00	01	02	03	04	05	06	07	08	09	10	11	12	13	14	15	16	17	18	19	20	21	22	23
1	34	33	35	37	32	33	25	40	51	52	53	54	60	54	53	54	45	31	32	32	33	A	32	33
2	33	32	25	25	30	30	24	42	54	52	55	58	67	57	53	55	49	45	56	34	34	35	35	34
3	41	37	39	36	35	23	25	42	66	57	56	69	70	61	54	53	50	43	38	A	A	A	A	34
4	37	37	32	35	33	32	25	42	47	52	59	60	61	71	63	55	60	39	30	33	34	35	34	34
5	36	34	33	32	30	29	25	40	55	59	53	61	59	62	53	60	46	35	29	23	31	32	33	33
6	34	35	35	34	33	30	25	39	60	62	51	61	59	57	52	51	49	40	32	34	26	29	33	33
7	33	32	32	33	32	31	30	39	55	56	53	63	68	76	70	63	59	47	32	23	29	31	33	38
8	31	26	30	27	30	A	27	46	56	63	63	62	67	64	59	64	49	43	25	32	30	32		
9	33	32	31	30	30	25	23	37	49	59	64	65	65	56	59	55	57	42	31	32	35	35	41	44
10	43	39	39	39	44	48	26	44	53	53	63	61	76	67	60	63	55	49	A	A	A	A	34	33
11	36	35	34	36	35	34	31	43	58	66	59	65	64	55	54	48	51		32	33	31	33	33	
12	33	35	36	32	32	30	24	45	55	64	63	55	54	59	54	51	47	40	33	31	33	32	32	33
13	32	33	33	32	31	30	31	47	59	57	51	64	58	55	59	51	57	48	32	35	33	33	33	32
14	31	32	30	30	31	27	24	50	57	57	73	65	58	52	55	53	52	51	35	A	31	27	30	31
15	34	35	34	35	34	32	24	45	55	63	60	65	61	54	51	51	45	43		30	33	32	32	
16	33	34	32	31	30	26	31	39	51	56	58	63	71	54	58	58	47	48	42	44	32	34	30	32
17	31	31	32	32	32	33	39	47	51	64	59	61	81	65	55	59	55	49	26	29	34	33	33	35
18	36	38	A	33	33	29	30	51	49	51	65	60	70	57	59	55	59	49	37	33	35	39	37	36
19	37	38	33	31	32	31	33	51	50	64	55	58	64	58	55	53	51	52	36	33	34	32	34	37
20	35	33	32	31	34	25	A	42	46	68	61	79	80	70	60	55	55	57	51	44	39	34	37	33
21	31	31	31	33	23	24	A	41	46	57	59	62	59	60	57	60	64	49	39	43	35	33	35	35
22	36	34	35	34	30	25	32	49	55	57	56	62	61	65	54	55	53	43	39	37	36	35	36	35
23	34	33	32	31	32	31	31	43	49	57	63	71	65	60	64	61	61	56	38	45	40	39	37	34
24	36	35	35	34	33	32	36	50	63	59	64	68	67	64	61	62	63	49	42	43	34	37	34	35
25	36	A	37	34	32	31	35	43	51	53	56	67	70	70	67	63	61	58	43	39	37	51	41	37
26	39	36	36	36	37	35	34	48	55	59	62	61	61	65	63	63	54	54	35	35	35	34	36	37
27	35	33	33	32	31	31	34	54	66	60	63	60	75	68	63	54	56	53	37	39	36	35	36	34
28	33	32	33	32	31	30	33	50	65	59	62	59	65	63	59	57	56	50	37	34	35	30	31	31
29																								
30																								
31																								
	00	01	02	03	04	05	06	07	08	09	10	11	12	13	14	15	16	17	18	19	20	21	22	23
CNT	28	27	27	28	28	27	26	28	28	28	28	28	28	28	28	28	28	27	25	23	27	24	27	28
MED	34	34	33	32	32	30	30	44	55	58	59	62	65	60	58	55	54	48	36	34	34	34	34	34
U Q	36	35	35	34	33	32	33	48	57	62	63	65	70	65	60	60	58	51	39	39	35	35	36	35
L Q	33	32	32	31	30	27	25	41	50	56	55	60	60	56	54	53	49	43	32	32	32	32	32	33

HOURLY VALUES OF fES AT WAKKANAI

FEB. 2021

LAT. 45°10.0'N LON. 141°45.0'E SWEEP 1.0 MHz TO 30.0 MHz AUTOMATIC SCALING

H D	00	01	02	03	04	05	06	07	08	09	10	11	12	13	14	15	16	17	18	19	20	21	22	23
1	G	G	G	G	G	G	G	11	G	48	46	50	G	49	G	G	G	G	G	32	36	29	34	
2	28	G	G	G	G	G	G	26	48	48	48	31	32	36	35	30	40	11	27	33	32	G	26	
3	G	G	G	G	11	G	G	58	45	35	35	36	36	34	32	28	28	60	71	33	38	38	31	
4	25	G	G	G	G	G	G	28	32	35	35	36	35	34	31	G	40	G	G	G	G	31	24	
5	G	G	G	G	G	G	G	140	34	34	35	36	41	36	33	32	32	35	G	G	G	G	G	
6	G	G	G	G	G	G	G	31	50	34	35	35	36	36	34	32	41	G	G	G	G	G	G	
7	G	G	30	G	G	G	G	49	32	34	35	36	35	33	33	28	24	G	G	G	G	G	G	
8	G	G	G	G	G	35	G	38	34	53	35	33	32	72	29	28	26	30	56	34	59	27	G	
9	G	G	G	G	G	G	G	28	32	58	56	36	35	41	32	29	G	G	G	11	G	G	29	
10	154	93	26	24	48	G	30	41	49	40	52	36	34	36	G	32	41	41	32	35	32	32	33	
11	31	G	G	G	G	33	G	32	42	48	83	37	35	35	32	36	105	58	G	G	G	G	G	
12	G	G	G	G	G	G	24	32	91	36	37	43	36	34	32	29	40	G	G	G	G	G	G	
13	G	G	G	G	G	G	25	32	37	55	36	37	36	35	32	G	11	G	G	G	G	G	G	
14	G	G	G	G	G	110	27	31	34	40	47	50	36	112	31	34	26	23	46	26	G	G	G	
15	G	25	33	34	34	G	G	40	50	34	65	37	36	37	46	34	146	38	60	59	29	G	G	
16	G	G	G	G	G	G	G	29	38	35	41	38	36	36	35	36	40	32	36	34	G	27	26	25
17	26	38	32	28	G	G	G	48	34	40	37	35	37	36	48	31	26	28	G	G	G	G	G	
18	26	30	26	G	G	G	G	26	32	34	37	44	39	36	40	32	31	G	11	G	G	28	G	
19	G	G	26	G	G	G	G	40	36	38	48	36	52	28	G	G	G	11	25	G	G	G	G	
20	G	G	G	G	G	24	29	29	33	33	35	48	36	33	36	32	29	G	41	11	G	G	G	
21	G	G	G	G	G	24	43	37	39	35	55	36	50	36	150	70	G	G	G	G	G	G	G	
22	G	G	G	G	G	G	28	32	27	42	42	G	29	34	48	G	G	G	G	G	G	G	G	
23	G	G	G	G	G	G	44	34	34	52	53	31	37	36	32	32	G	G	25	G	G	G	G	
24	G	G	G	G	G	G	40	38	41	38	41	32	30	G	36	24	G	G	31	G	G	32	29	
25	24	48	33	G	G	G	G	29	36	52	46	38	40	53	37	35	29	G	34	G	G	G	G	
26	G	G	G	G	G	G	G	28	32	35	37	38	30	G	28	33	G	G	G	G	G	G	G	
27	G	G	G	G	G	G	G	48	48	37	39	38	35	G	33	G	G	G	G	G	G	G	G	
28	G	G	G	G	G	G	G	38	34	35	38	84	37	37	37	34	G	G	G	G	G	G	G	
29																								
30																								
31																								
	00	01	02	03	04	05	06	07	08	09	10	11	12	13	14	15	16	17	18	19	20	21	22	23
CNT	28	28	28	28	28	28	27	28	28	28	28	28	28	28	28	28	28	28	28	27	28	27	28	28
MED	G	G	G	G	G	G	G	28	34	35	39	38	36	36	35	32	28	6	G	G	G	G	G	
U Q	12	G	G	G	G	G	G	37	40	43	48	48	37	36	38	33	31	32	32	31	18	26	26	24
L Q	G	G	G	G	G	G	G	6	32	34	36	35	34	35	33	31	G	G	G	G	G	G	G	

	HOURLY VALUES OF fmin AT Wakkanai																							
	FEB. 2021																							
	LAT. 45°10.0'N LON. 141°45.0'E SWEEP 1.0 MHz TO 30.0 MHz AUTOMATIC SCALING																							
H D	00	01	02	03	04	05	06	07	08	09	10	11	12	13	14	15	16	17	18	19	20	21	22	23
1	15	14	15	14	16	16	14	16	15	15	16	27	16	16	16	15	14	15	14	14	14	15	16	16
2	15	15	15	14	14	15	15	16	14	15	17	16	14	16	15	15	14	14	16	15	15	16	16	16
3	16	16	16	16	15	15	16	16	15	14	16	15	13	15	14	16	16	15	15	16	16	16	15	16
4	16	16	16	15	15	15	14	15	15	16	16	16	16	16	15	18	14	15	16	15	14	15	16	16
5	15	16	15	15	14	16	15	15	14	16	15	16	14	16	15	15	15	15	15	15	15	15	15	15
6	15	15	14	14	15	14	14	16	15	15	16	15	12	16	16	15	16	16	14	14	15	16	14	15
7	15	14	16	14	14	14	14	14	15	14	14	16	16	13	14	16	14	17	16	16	15	15	15	14
8	15	15	15	15	16	15	14	15	15	14	14	15	14	14	13	13	15	15	16	15	15	16	16	15
9	14	14	14	14	15	15	15	16	15	16	14	14	16	15	14	15	15	14	14	14	14	14	14	16
10	15	16	16	16	16	15	14	16	14	14	14	15	14	15	14	15	15	15	15	17	16	15	16	16
11	15	16	16	15	15	16	14	15	15	14	16	16	17	15	16	16	14	16	17	14	14	16	15	16
12	15	14	15	15	15	14	15	17	16	13	15	16	14	17	14	17	15	14	15	14	14	15	15	15
13	15	17	15	14	43	15	14	15	15	14	16	17	16	14	13	15	14	16	14	14	15	15	15	15
14	14	15	15	14	14	14	15	15	14	13	14	14	13	13	13	14	15	17	16	15	16	16	16	14
15	15	16	16	17	16	16	16	15	14	13	16	16	16	14	16	15	16	14	15	15	16	120	15	14
16	14	14	15	14	14	14	14	15	14	16	14	15	14	15	14	14	14	14	15	15	15	15	16	16
17	15	14	15	15	15	15	15	14	14	15	14	15	17	14	12	15	13	15	16	16	14	14	15	14
18	15	16	16	15	15	15	14	14	16	16	15	15	16	17	16	14	15	15	14	14	14	15	15	16
19	16	16	15	16	16	16	15	15	15	15	17	17	15	15	16	17	16	15	16	16	17	16	16	14
20	14	14	14	14	14	16	15	15	15	15	16	15	15	14	13	15	15	15	15	15	15	14	14	14
21	16	16	15	14	14	16	15	15	15	16	16	13	15	14	16	13	15	15	14	15	15	16	16	15
22	14	14	14	14	14	14	15	15	14	16	16	17	16	15	16	14	15	15	14	15	15	15	16	14
23	14	14	14	14	14	14	14	15	15	16	17	17	17	15	15	17	15	17	14	16	15	14	14	14
24	14	15	15	14	14	14	14	15	16	14	15	16	15	16	14	16	15	20	14	16	15	15	16	16
25	16	16	16	16	15	14	14	15	14	14	15	15	17	15	15	16	15	15	15	15	16	15	15	14
26	16	14	14	15	14	14	17	15	15	16	15	15	16	17	17	16	15	16	14	14	14	14	15	15
27	14	14	14	14	15	14	14	15	15	17	16	15	15	17	16	16	15	18	15	14	14	14	14	14
28	15	16	16	15	14	14	16	16	14	14	15	15	15	15	15	15	15	17	15	15	15	15	14	14
29																								
30																								
31																								
	00	01	02	03	04	05	06	07	08	09	10	11	12	13	14	15	16	17	18	19	20	21	22	23
CNT	28	28	28	28	28	28	27	28	28	28	28	28	28	28	28	28	28	28	28	28	28	28	28	28
MED	15	15	15	14	15	15	14	15	15	15	16	15	15	15	15	15	15	15	15	15	15	15	15	15
U Q	15	16	16	15	15	15	16	15	16	16	16	16	16	16	16	16	15	16	16	16	16	15	16	16
L Q	14	14	14	14	14	14	14	15	14	14	14	15	14	14	14	15	14	15	14	14	14	14	14	14

HOURLY VALUES OF f _{OF2}																			AT Kokubunji						
FEB. 2021																									
LAT. 35°43.0'N LON. 139°29.0'E SWEEP 1.0 MHz TO 30.0 MHz AUTOMATIC SCALING																									
H D	00	01	02	03	04	05	06	07	08	09	10	11	12	13	14	15	16	17	18	19	20	21	22	23	
1	30	30	27	30	32	N 24	23	41	48	51	54	56	55	53	53	54	A	41	A	A	33	34	32	30	
2	31	31	33	26	N 24	24	24	49	53	53	54	63	A	62	55	59	52	43	39	43	36	29	30	33	
3	32	33	33	31	23	N 23		39	61	71	77	63	66	66	54	54	50	42	34	A	35	35	33	A	
4	31	32	32	29	32	26	31	47	56	51	54	63	61	69	70	59	50	43	33	A	34	35	33	34	
5	30	31	33	26	24	N 24	23	47	53	59	61	57	59	60	59	53	49	40	31	30	30	31	35	30	
6	27	25	25		26			46	53	61	61	60	64	54	57	49	N 53	43	31	A	36	31	26	29	
7	30	30	29	27	27	N 25	25	51	49	51	66	57	81	74	74	63	57	59	40	A	A	A	A	A	
8	35	24	26	27	26	25	25	46	71	55	65	70	76	82	60	54	53	50	37	A	A	A	A	A	
9	A	31	31	30	26	N 25	23	44	53	53	60	65	57	61	57	60	62	51	A	A	A	34	A	31	
10	31	29	31	30	29	26	30	47	56	52	56	72	76	70	58	61	55	52	34	26	A	A	31	31	
11	29	28	31	32	32	25	25	47	N 61	58	65	59	58	65	59	50	55	43	32	33	33				
12	A	30	30	31	32	24	25	45	61	62	62	67	58	65	62	58	53	45	30	31	34	35	31	31	
13	30	30	33	32	31	29	31	53	53	64	66	71	60	63	63	57	52	53	38	30	35	38	31	34	
14	36	33	33	31	31	30	26	53	59	56	66	61	65	55	55	52	61	57	A	A	30	24	30	A	
15	A	30	30	32	33		26	48	52	65	58	77	70	61	56	50	53	47	33	31	34	31	33	31	
16	30	32	27	30	26	N 25	23	45	51	57	65	68	86	76	77	57	57	49	47	51	47	30	25	30	
17	34	33	32	32	33	32	33	55	60	57	65	64	69	75	64	55	55	50	41	31	31	31	27	31	
18	31	34	31	30	31	31		A	48	63	48	56	57	69	60	59	56	61	51	35	30	34	33	34	31
19	34	35	32	30		26	26	45	53	59	61	69	67	61	67	60	54	48	41	39	38	A	32	32	
20	32	34	34	33	30	27	24	53	61	54	77	75	105	97	82	64	59	62	57	38	A	25	30	31	
21	31	31	30	30	26			41	66	61	65	59	68	75	67	62	58	65	44	33	35	34	31	30	
22	30	31	31	31		22	24	47	61	76	74	65	64	86	63	52	54	51	45	40	41	38	34	33	
23	34	33	32	33	34	25	30	47	55	73	64	57	75	80	66	65	61	54	45	40	51	40		30	
24	31	31	33	34	33	32	35	53	58	66	59	71	80	76	63	70	74	57	45	43	49	30	30	31	
25	32	31	34	33	33	35	38	49	55	66	78	81	76	91	83	71	69	79	63	30	33	32	33	31	
26	31	33	32	32	32	31	34	59	56	58	67	80	85	71	67	59	61	60	46	35	35	39	33	29	
27	N 30	29	30	30	26	25	33	57	59	67	77	65	65	71	65	65	54	60	50	39	33	31	25	29	
28	32	27	30	29	29	24	32	52	61	55	61	68	58	72	66	60	60	65	54	36	29	25	27	25	
29																									
30																									
31																									
	00	01	02	03	04	05	06	07	08	09	10	11	12	13	14	15	16	17	18	19	20	21	22	23	
CNT	25	28	28	27	26	25	24	28	28	28	28	27	28	28	28	27	28	25	20	23	23	23	23	23	
MED	31	31	31	30	30	25	26	47	56	58	64	65	67	70	63	58	55	51	40	34	34	32	31	31	
U Q	32	33	33	32	32	29	31	52	61	64	66	70	76	75	67	61	61	58	45	39	36	35	33	31	
L Q	30	30	30	30	26	24	24	45	53	53	59	59	60	61	57	54	53	44	33	30	33	30	30	30	

		HOURLY VALUES OF fES												AT Kokubunji																				
		FEB. 2021																																
		LAT. 35°43.0'N LON. 139°29.0'E SWEEP 1.0 MHz TO 30.0 MHz AUTOMATIC SCALING																																
H D		00	01	02	03	04	05	06	07	08	09	10	11	12	13	14	15	16	17	18	19	20	21	22	23									
1	G	G	G	G	21	G	G	G	40	33	30	53	42	53	56	60	40	78	31	G	27	G	G											
2	G	G	G	G	G		G	36	50	37	35	37	60	69	39	34	29	41	G	G	G	34	55	G										
3	G	31	24	21		26	G	26	32	40	38	35	35	39	40	37	33	43	69	47	33	30	34	32										
4	G	G	G	G	G		G	24	29	36	G	38	32	43	42	G	26	46	39	29	G	G												
5	G	25	G	G	G	G	G	26	35	35	40	37	43	G	G	36	G	G	G	G	G	G												
6	G	G	24	33	23	24	31	49	37	47	41	39	36	50	41	43	37	39	37	40	59	G	G	G										
7	G	G	G	G	G	G	G	24	31	37	39	37	40	37	G	38	42	35	36	36	33	31	35	49										
8	G	G	G	G	G	G	G	29	50	51	43	41	44	36	33	G	33	52	31	28	33	33												
9	G	29	G	G	32	G	G	G	39	56	37	31	36	34	47	G	31	31	50	26	36	30												
10	G	G	G	G	G	G	G	25	43	39	48	38	57	50	39	37	35	31	29	G	34	29												
11	G		G	G		G	G	31	106	G	54	96	38	G	33	32	40	28	G	37	33	37												
12	29	27	G	G	G	G	G	25	37	48	45	36	34	G	G	26	G	G	G	28	G	G												
13	G	G	G	G	G	G	G	26	49	34	35	38	36	35	31	34	G	G	G	G	G	G												
14	G	G	G	G	G	G	G	31	36	37	38	33	59	34	40	41	69	38	G				51											
15	G	55	32	26	G	24	G	32	144	37	39	56	36	G	G	33	G	G	26	57	32													
16	G	G	G	G	G	G	G	24	37	34	34	N	36	31	G	31	36	29	25	48	G													
17	G	27	G	G	G	G	G	26	47	34	36	N	39	G	G	34	G	G	25	26	G	G	G											
18	G	G	G	G	G	G	G	27	26	31	34	40	31	40	35	38	G	G	G	G	G	G												
19	G	26	G	G	G	G	G	G	39	31	40	N	37	36	28	G	G	32	G	26	G	G												
20	G	G	G	G	G	G	G	46	50	46	67	40	45	61	59	29	37	31	25	27	G	G	G											
21	27	G	G	G	G			32	57	84	54	G	36	37	29	G	G	43	G	G	G	G	G											
22	G	G	G	G		G	G	33	36	G	G	56	G	G	G	11	G	G	G	G	G	G												
23	G	G	G	G	G	G	G	G	G	47	37	34	31	G	47	G	G	G	G	33	G													
24	G	G	G	G	G	G	G	47	G	31	G	43	59	40	41	34	32	G	50	G	G	G	G											
25	G	G	G	G	G	G	G	33	32	85	48	40	39	52	42	G	G	11	G	G	G	G	G											
26	G	29	G	G	G	G	G	G	G	39	37	G	40	34	35	31	G	G	G	G	G	G												
27	G	G	G	G	G	G	G	G	38	38	38	33	41	32	N	G	G	11	G	31	G	G												
28	G	G	G	G	G	G	G	23	G	53	45	38	34	42	37	42	32	11	11	G	G	G	G											
29																																		
30																																		
31																																		
		00	01	02	03	04	05	06	07	08	09	10	11	12	13	14	15	16	17	18	19	20	21	22	23									
CNT		27	27	28	27	24	23	24	28	28	28	28	26	28	27	28	27	28	28	28	27	27	27	26	27									
MED	G	G	G	G	G	G	G	24	31	36	38	38	38	36	34	29	G	18	G	G	G	G												
U Q	G	G	G	G	G	G	G	26	37	47	43	43	42	42	40	38	35	36	34	32	33	29	33	G										
L Q	G	G	G	G	G	G	G	G	31	35	31	36	34	G	31	G	G	G	G	G	G	G	G											

	HOURLY VALUES OF fmin AT Kokubunji																							
	FEB. 2021 LAT. 35°43.0'N LON. 139°29.0'E SWEEP 1.0 MHz TO 30.0 MHz AUTOMATIC SCALING																							
D	00	01	02	03	04	05	06	07	08	09	10	11	12	13	14	15	16	17	18	19	20	21	22	23
1	15	15	15	14	16	15		17	15	15	16	18	19	17	16	17	16	14	14	16	15	16	16	15
2	15	17	14	14	13		15	14	14	15	18	15	15	15	15	16	15	15	15	13	14	14	15	15
3	17	15	15	16	15	15	15	15	16	15	15	15	18	17	18	14	16	14	14	15	15	15	15	15
4	17	14	14	14	13		15	16	15	17	16	15	14	14	15	15	15	15	13	15	14	16	15	14
5	15	16	15	14	16	15	17	18	16	17	21	15	15	16	15	15	15	17	15		15	15	15	15
6	14	15	16	15	16	15	16	15	15	15	15	17	15	14	15	15	17	15	15	15	15	14	18	25
7	14	14	14	14	14	14	17	18	15	15	15	15	13	14	16	14	14	15	14	15	16	16	15	15
8	15	22	15	14	14	14		18	15	15	13	17	17	16	15	16	15	17	15	14	15	15	15	15
9	15	14	15	16	15	15		22	15	15	17	14	15	16	15	15	15	18	15	16	15	16	14	15
10	14	14	14	15	15	15	13	18	15	15	16	16	16	15	15	15	15	15	15	15	15	15	15	14
11	15		18	15		14	17	20	15	12	15	16	15	15	15	17	15	20	15	16	15	15	15	15
12	15	15	15	16	14	18	18	15	15	15	16	15	15	16	16	15	16	18	15	14	15	16	16	15
13		18	14	15	14	17	14	15	16	17	15	15	16	15	16	15	16	20	14	25	14	22	18	15
14	15	13	15	14	14		14	18	15	15	15	15	15	15	15	15	15	15	14	15	15	15	15	15
15	14	17	16	16	16	16	14	17	16	13	15	17	15	17	15	15	15	15	14	14	15	15	14	16
16	17	14	14	13	14	17	20	15	15	15	15	14	17	16	15	15	14	15	15	15	16	15	16	14
17	15	15	15	15	14	15	14	15	15	16	15	15	22	17	17	15	15	18	15	16	14	13	14	15
18	15	14	14	14	15	15	16	16	15	17	15	17	33	16	16	15	15	18	14	14	14	17	17	13
19	15	16	16	15		16	18	20	15	15	14	17	16	17	16	15	15	18	15	16	15	16	14	14
20	18	15	14	15	14	17	15	26	14	14	14	17	16	14	15	15	15	15	16	15	15	15	14	14
21	15	15	13	14	15			16	15	12	17	17	17	16	15	16	15	18	14	14	14	15	20	
22	14	15	15	15			15	20	15	16	16	16	15	15	15	15	16	20	13	14	13	14	14	14
23	14	14	14	17	15	14	15	13	15	15	15	15	15	14	15	15	15	14	14	15	14	14	16	17
24	20	14	13	13	14	14	14	14	20	15	15	17	15	19	18	16	15	15	15	15	15	13	15	15
25	15	15	14	17	14	15	13	18	16	15	16	19	17	17	15	16	20	14	14	15	18	14	15	
26	14	15	15	15	14	14	15	22	16	15	17	19	43	15	15	14	15	21	16	17	14	14	15	15
27	17	13	13		17	17	17	20	15	14	17	15	16	14	15	17	16	14	13	14	14	14	18	15
28	13	13	14	13	14	15	14	17	15	15	17	17	15	16	17	15	15	20	13	13	14	14	14	14
29																								
30																								
31																								
	00	01	02	03	04	05	06	07	08	09	10	11	12	13	14	15	16	17	18	19	20	21	22	23
CNT	27	27	28	27	25	23	24	28	28	28	28	28	28	28	28	28	28	28	28	27	28	28	28	28
MED	15	15	14	15	14	15	15	18	15	15	16	16	16	15	15	15	16	14	15	15	15	15	15	15
U Q	15	15	15	15	15	16	17	20	15	15	17	17	17	16	16	15	16	18	15	16	15	16	16	15
L Q	14	14	14	14	14	14	14	15	15	15	15	15	15	15	15	15	15	15	14	14	14	14	14	14

HOURLY VALUES OF f₀F₂ AT Yamagawa

FEB. 2021

LAT. 31°12.0'N LON. 130°37.0'E SWEEP 1.0 MHz TO 30.0 MHz AUTOMATIC SCALING

H D	00	01	02	03	04	05	06	07	08	09	10	11	12	13	14	15	16	17	18	19	20	21	22	23	
1	B 31	33	33	33	33	B B	B B	31	45	54	52	61	57	51	59	52	48	51	40	A 33	34	35	31		
2	32	31	32	31	28	B 24	B B	33	56	59	58	62	55	58	65	63	56	53	41	42	34	31	31	32	
3	35	35	35	A A	A A		B B	31	55	69	80	81	74	60	58	65	55	48	43	44	43	35	B A	A	
4	33	33	33	31	31	32	31	B B	36	68	51	48	62	70	74	72	69	55	51	44	A A	37	36	36	
5	32	33	33	32	32	26	25	34	50	55	58	68	60	66	62	57	51	50	46	36	B 32	A	A	35	
6	27	33	31	32	31	31	31	32	52	52	55	62	63	62	55	53	51	43	A A	36	33	30	A		
7	A A	A A	A A	B B	N 33	31	26	37	51	58	56	63	74	78	87	67	61	60	47	39	33	38	35		
8	A 39	A A	32	31	31	A B	N 27	37	65	56	63	70	85	89	A A	A A	A A	A A	A A	33	A A	A A	A A		
9	A 31	32	31	32	31	27	34	50	58	63	61	61	56	64	67	58	55	A A	A A	A A	35	A A	A A	A A	
10	A 32	32	32	30	31	31	35	51	56	57	73	80	84	91	75	64	55	51	A A	A A	B B	B B	B B		
11	B 31	33	31	32	34	26	23	32	50	59	59	61	69	65	83	69	55	54	46	32	34	38	34	31	
12	32	32	32	31	33	32	24	37	48	63	64	67	81	72	62	64	56	52	45	35	33	33	32	31	
13	33	34	33	33	33	31	30	40	58	60	57	66	60	61	63	70	56	54	51	36	38	41	37	34	
14	35	33	36	33	34	33	32	37	61	58	59	74	67	57	63	53	64	59	54	34	A 31	B 25	B 33	A	
15	31	32	28	32	32	33	31	37	51	50	59	68	79	69	61	55	55	54	45	35	34	31	31		
16	35	32	32	32	35	32	23	35	52	54	61	66	78	98	125	117	111	83	71	53	50	A A	A B	31	
17	33	33	33	35	35	33	29	45	52	55	57	67	79	85	65	65	63	62	51	42	31	27	27		
18	32	26	30	31	27	31	25	37	57	60	55	58	69	67	66	74	66	59	46	36	37	35	28	32	
19	B 33	B 35	33	31	31	27	24	38	54	54	62	67	84	73	84	69	66	50	44	40	42	38	36	33	
20	35	35	34	37	32	32	27	39	59	53	72	75	98	97	105	89	69	61	53	33	34	33	26	31	
21	31	32	33	33	33	B B		35	58	64	60	64	69	76	81	73	60	60	60	35	B A	A	39	27	
22	31	35	33	32	23	B B	B B	24	38	58	76	74	75	65	79	82	C C	C C	C C	56	42	A	41	33	32
23	33	36	37	33	32	26	25	39	59	61	C C	48	50	43	30	25									
24	29	32	35	33	35	34	25	43	60	54	C C	52	43	52	46	34	32								
25	34	34	33	37	34	33	33	49	55	61	79	92	79	90	88	81	85	77	81	43	31	34	37	33	
26	A 34	34	35	35	33	33	33	48	53	66	79	91	95	97	88	69	65	59	64	49	40	39	33	26	
27	30	30	32	31	34	32	31	52	B 55	72	B B	B B	B B	C C	C C	C C	C C								
28	C C	C C	C C	C C	C C	C C	C C	C C	C C	C C	C C	C C	C C	C C	C C	C C	C C	C C	C C	C C	C C	C C	C C		
29																									
30																									
31																									
	00	01	02	03	04	05	06	07	08	09	10	11	12	13	14	15	16	17	18	19	20	21	22	23	
CNT	24	24	25	25	26	23	21	27	26	27	25	24	23	24	23	22	23	22	23	20	18	21	20	20	
MED	32	33	33	32	32	31	27	37	54	58	59	67	74	72	66	68	58	54	47	40	34	35	33	32	
U Q	33	34	33	33	34	33	31	39	58	61	68	73	80	84	87	73	65	60	54	43	42	38	35	33	
L Q	31	32	32	31	31	31	24	34	51	54	57	62	65	62	62	63	55	51	44	35	33	33	30	30	

HOURLY VALUES OF fES AT Yamagawa

FEB. 2021

LAT. $31^{\circ}12.0'N$ LON. $130^{\circ}37.0'E$ SWEEP 1.0 MHz TO 30.0 MHz AUTOMATIC SCALING

D	00	01	02	03	04	05	06	07	08	09	10	11	12	13	14	15	16	17	18	19	20	21	22	23			
1	B	G	G	G	G	B	B	24	28	40	47	51	56	37	46	52	50	38	30	45	G	G	G	G			
2	G	G	G	G	B	B	B	G	32	38	39	41	43	45	42	65	49	38	28	31	32	G	G	B			
3	23	36	31	43	32		G	B	G	34	37	42	42	41	42	41	40	53	50	32	40	G	B	84	60		
4	G	G	G	B	G	G	B	G	33	15	2	38	36	39	36	38	36	32	31	23	44	44	G	39			
5	G	G	G	B	G	B	B	G	32	39	40	43	80	46	41	45	37	30	24		G	B	66	40	27		
6	G	G	B	B	G	B	G	G	30	37	37	40	60	44	41	44	35	35	32	29	45	35		G	G		
7	43	39	56	39		B	G	G	36	37	46	56	61	57	50	46	40	28	11		G	G		57	70		
8	39	59	39		G	G	24	35	G	32	37	42	58	71	54	69	92	58	79	87	60	32	41	58	40		
9	43		G	G	G	B	G	G	29	33	52	45	48	45	46	46	46	51	65	52	48	32	39	38			
10	G		G	G	G	G	G	G	29	35	41	45	46	42	61	41	36	45	53	60	43	39		B	B		
11	B	G	G	G	G	B	B	G	30	34	37	40	43	46	41	38	42	32	36		G	G	33	G	G		
12	G	G	G	G	G	B	B	G	30	35	45	43	44	48	42	43	44	36	35		G	G	G	B			
13	G	G	G	G	G	B	G		30	33	38	43	46	40	39	39	43	32	22		G	G	G	G			
14	G	G	G	G	G	G	G		29	34	37	37	45	46	41	38	40	49	32	34	38		B	B	G		
15	G	G	B		89	G	G	B	G	30	35	39	44	46	46	38	36	34	29		G	G	B		37	70	
16	46	40	G	G	G		11	B	G	32	38	45	50	44	44	45	46	36	32	42	35	33	69	46		B	
17	G	G	G	G	G	G	G	G	48	44	53	69	39	48	39	36	33		G	G	G	B	G	G			
18	G	G	G	G	B	G	G	G	34	36	38	44	45	43	36	46	37	31		G	G	G	B	B			
19	B	B	G	G	G	B	B	G	46	34	42	41	38	40	38	46	36	39	53	30		G	G	G	B		
20	G	G	G	G	G	G	B	G	32	36	40	45	61	44	45	39	35	29	28		G	G	G	G			
21	G	G	G	G	G	B	B	G	34	39	43	45	43	58	49	36	33		G	G	B		38	48	35	G	
22	G	G	G	G	B	B	B	G	33	40	62	49	38	38		C	C	C		30	28	35		G	G	G	G
23	G	G	G	G	G	G	G		24	34	38		C	C	C	C	C	C	C	C	G	G	G	G	G		
24	G	G	G	G	G	G	G		33	35		C	C	C	C	C	C	C	C	33		40	27	G	G		
25	G	G	G		39	29	29	28	90	31	38	44	44	40	40	34	36	33	29	28	41	G	G	25	G		
26	36	102	31	G	G	G	G	G	48	33	32	41	34	35	38	40	36	40		G	G	G	G				
27	G	G	G	G	G	G	G		48		B	B	B	B	C	C	C	C	C	C	C	C	C	C			
28	C	C	C	C	C	C	C	C																			
29																											
30																											
31																											
	00	01	02	03	04	05	06	07	08	09	10	11	12	13	14	15	16	17	18	19	20	21	22	23			
CNT	24	26	25	24	23	17	13	27	26	27	25	24	24	24	24	23	23	23	25	25	24	23	23	20			
MED	G	G	G	G	G	G	G	G	32	37	41	44	45	44	41	37	32	30	28	G	G	G	G				
U Q	12	G	G	G	G	G	G	G	34	38	44	47	52	46	45	46	44	39	35	40	38	35	39	32			
L Q	G	G	G	G	G	G	G	G	30	34	38	41	42	40	38	36	35	29	22	G	G	G	G				

HOURLY VALUES OF fmin AT Yamagawa

FEB. 2021

LAT. 31°12.0'N LON. 130°37.0'E SWEEP 1.0 MHz TO 30.0 MHz AUTOMATIC SCALING

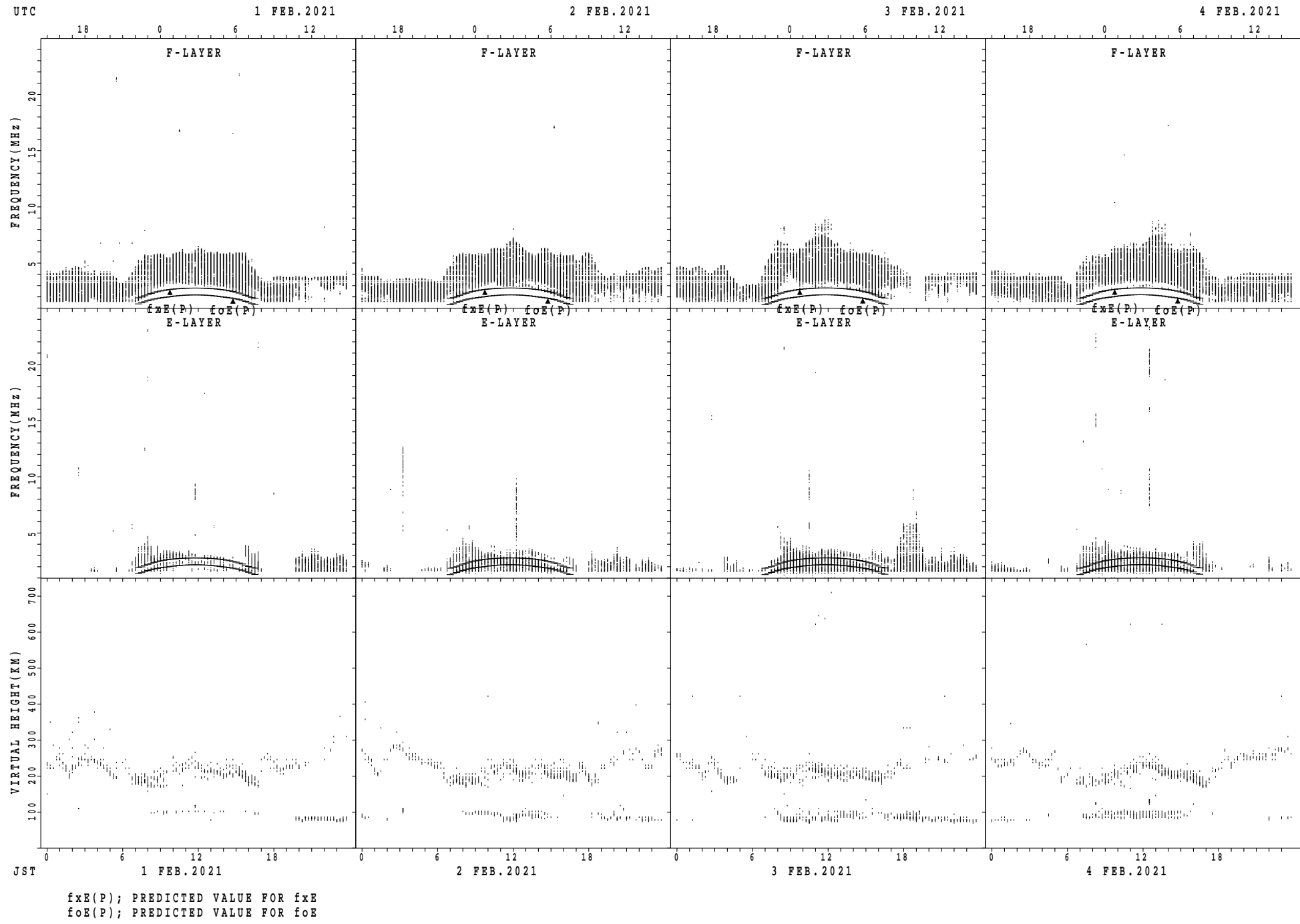
H D	00	01	02	03	04	05	06	07	08	09	10	11	12	13	14	15	16	17	18	19	20	21	22	23								
1	B	15	14	15	15	B	B	16	16	15	15	18	19	21	20	21	15	19	14	16	14	16	16	15	15							
2	15	14	14	14	B	B	B	15	16	14	15	17	17	16	19	19	18	15	15	16	15	15	16	15	B							
3	16	15	15	15	15	17	B	15	16	15	15	15	15	18	19	17	19	16	15	16	15	16	15	15	15							
4	15	15	15	15	16	14	B	15	15	14	15	18	19	17	18	15	15	15	16	15	16	16	16	15	15							
5	15	14	23	B	71	B	B	15	15	17	15	17	19	16	17	17	15	15	15	16	B	17	15	15								
6	15	16	B	B	14	B	15	15	15	15	15	17	21	18	16	17	16	16	16	15	15	15	15	16	16							
7	15	16	16	15	16	15	15	18	16	14	15	15	22	15	19	19	15	16	14	15	15	15	16	16	16							
8	15	16	16	16	16	15	15	16	16	13	13	15	18	15	18	20	15	15	15	16	16	15	15	15	15							
9	15	15	23	16	16	15	15	16	15	14	15	16	18	16	17	19	19	16	17	15	16	15	15	15	15							
10	16	15	15	17	16	15	15	15	15	15	15	18	16	19	19	18	20	15	15	15	15	15	15	16	15							
11	B	15	16	26	15	15	B	B	15	15	16	15	15	20	15	16	15	16	16	17	17	16	15	15	15	15						
12	15	15	14	14	15	B	B	15	15	16	13	16	13	16	15	17	14	16	15	24	1	15	15	14	B							
13	66	15	15	16	24	14	B	15	15	16	16	16	19	22	16	16	14	15	16	14	24	15	15	15	15							
14	15	15	15	15	14	15	15	14	15	16	15	14	16	21	19	17	17	16	15	14	15	15	B	B	14							
15	15	24	16	11	15	15	B	15	14	15	13	15	15	15	20	18	17	17	15	16	15	26	19	16	B							
16	15	15	16	15	15	15	B	15	16	15	17	20	18	19	15	16	15	17	15	14	16	15	17	15	B							
17	23	15	17	15	16	15	15	15	15	14	14	20	19	16	15	13	14	15	15	16	21	22	15									
18	15	15	15	18	B	15	15	14	15	15	14	17	15	16	16	16	16	15	15	15	16	14	B	B								
19	B	B	15	22	15	14	B	B	16	26	16	16	17	15	19	23	19	16	15	15	15	21	14	14	B							
20	14	14	14	15	14	15	B	18	16	14	15	15	20	20	19	14	15	16	16	15	15	15	15	66								
21	15	14	15	15	15	B	B	17	16	15	14	20	20	21	21	15	15	15	16	15	15	15	15	66								
22	26	15	15	15	B	B	B	15	15	16	15	19	22	15	15	C	C	C	C	16	16	15	14	14	15							
23	15	15	14	14	14	15	14	16	16	13	C	C	C	C	C	C	C	C	15	14	14	18	15									
24	15	15	16	14	14	14	14	14	16	15	C	C	C	C	C	C	C	C	16	16	15	15	16	15								
25	14	15	15	15	16	16	16	14	15	15	13	15	16	17	16	15	16	15	15	15	15	16	16	15								
26	15	15	16	14	15	15	14	16	16	16	15	15	16	15	15	15	15	15	15	15	16	15	14	14								
27	15	15	14	15	14	17	15	18	B	14	15	B	B	B	B	C	C	C	C	C	C	C	C	C								
28	C	C	C	C	C	C	C	C	C	C	C	C	C	C	C	C	C	C	C	C	C	C	C	C								
29																																
30																																
31																																
	00	01	02	03	04	05	06	07	08	09	10	11	12	13	14	15	16	17	18	19	20	21	22	23								
CNT	25	27	26	25	24	18	16	27	26	27	25	24	24	24	24	23	23	23	25	26	24	25	24	23								
MED	15	15	15	15	15	15	15	15	15	15	15	16	18	17	17	17	15	15	15	15	15	16	15	15	15	15	15					
U Q	15	15	16	15	16	15	15	16	16	16	16	15	17	20	19	19	19	16	16	16	16	16	15	15	16	15	15	15				
L Q	15	15	15	14	14	15	15	15	14	14	15	16	16	16	16	15	15	15	15	15	15	15	15	15	15	15	15	15	15			

		HOURLY VALUES OF fOF2												AT Okinawa																				
		FEB. 2021																																
		LAT. 26°41.0'N LON. 128°09.0'E SWEEP 1.0 MHz TO 30.0 MHz AUTOMATIC SCALING																																
D	H	00	01	02	03	04	05	06	07	08	09	10	11	12	13	14	15	16	17	18	19	20	21	22	23									
1		34	33	33	35	35	B	23	B	A	55	52	58	59	59	56	59	56	55	46	30	A	32	A	26									
2		N 25	29	27	N 23	N 23	N 23	N 22	26	53	68	86	72	67	68	77	67	70	53	50	46	A	A	A	31									
3		35	35	36	37	24	B	A	A	25	55	78	91	90	85	77	69	59	63	55		A	A	A	32									
4		A	34	32	25	29	30	24	30	64	54	48	53	75	84	84	71	59	56	54		A	A	A	35									
5		32	33		A	26		23	32	48	52	61	73	83	66	74	77	61	57	61	56	A	23	N 25	32									
6		25	30	24	24	25	B	23	B	29	55	54	59	59	78	77	70	64	55	56	48	A	A	A	34									
7		33	25	25	27	27		A	B	23	32	54	58	59	77	88	89	95	98	73	66	56	52	48	42	38	N 25							
8		A	A	A	A	A	A	A	A		57	55	61	79	103	89	81	75	65	53	62	A	A	A	A									
9		A	A	29	25	N 24	N 29	N 23	31	52	58	80	62	58	58		A	89	81	57	71	A	A	A	A									
10		24	29	29		35	31		A	A	51	55	64	89	93	92	129	127	105	93	70	A	A	45	49	39								
11		40	36	31	30	35	25		A	31	49	55	60	75	88	98	111	125	88	62	59	35	A	A	31	30								
12		32	31	32	32	30	N 23	23	31	51	51	59	81	96	106	98	97	72	54	49	37	B 24	N 29	27	25									
13		25	26	29	29	31	25	N 23	34	57	55	61	84	71	66	85	101	76	61	61	44	55	46	44	35									
14		35	35	29	32	32	26	N 24	34	54	54	70	80	92	79	92	95	67	77	54	38	34	A	N 25	31									
15		33	29	30	29	33		A	A	34	49	52	56	62	88	96	102	106	100	76	64	39	34	25	23	24								
16		A	A	A		N 31	A			33	46	53	C	C	C	C	C	C	B		93	54	A	37	36	25								
17		A	A		33	38	23	N 24	35	51	55	C	C	C	C	C	C	C	N 73	46	32	24	25	26										
18		27	26	31	30	24		B	B	31	56	65	C	C	C	C	C		87	73	59	57	47	32	32	N 25	25							
19		B 26	N 29	31	30	31		B	B	32	51	61	67	83	C	C	C		78	55	48	35	42	42	36	40								
20		44	49	49	49	32	29	33	35	57	56	72	87	99	110	125	125	105	66	60	35	31	N 29	B 30	29									
21		26	27	33	32	31		B	B	35	54	65	70	65	84	89	105	97	92	81	69	A	A	37										
22		B 27	31	31	23			B	B	36	57	63	77	79	93	89	84	70	61	61	60	49	38	39	36	32								
23		A	31	33	31	31	B	24	B	39	53	61	72	68	87	103	113	95	73	66	62	53	60	35	31	N 25								
24		30	31	33	32	35	25	N 23	35	59	61	64	71	87	88	85	91	94	83	64	49	52	49	33	N 25									
25		N 29	N 31	31	32	36	31	A	42	49	52	84	92	96	89	96	99	101	92	104	61	31	24	28	31									
26		24	26	30	29	32	33	30	37	55	60	73	96	120	110	109	108	82	73	84	75	50	31	34	30									
27		B 25	24	26	25	32	32	30	36	49	57	67	82	93	87	67	78	90	83	77	45	43	32	34	B 23									
28		N 25	30	30	30	33	35	24	36	49	54	55	83	92	75	86	101	89	94	88	62	47	43	41	32									
29																																		
30																																		
31																																		
		00	01	02	03	04	05	06	07	08	09	10	11	12	13	14	15	16	17	18	19	20	21	22	23									
CNT		23	24	24	25	26	18	16	25	28	28	25	25	24	24	23	25	26	26	27	21	17	21	20	25									
MED		29	30	31	30	32	26	23	34	54	55	64	79	88	88	86	95	74	62	61	46	42	35	32	30									
U Q		33	33	32	32	35	31	24	35	55	61	72	83	93	94	105	101	90	77	71	53	49	42	36	32									
L Q		25	28	29	26	27	23	23	31	50	54	59	66	80	76	77	73	65	56	54	37	32	29	26	25									

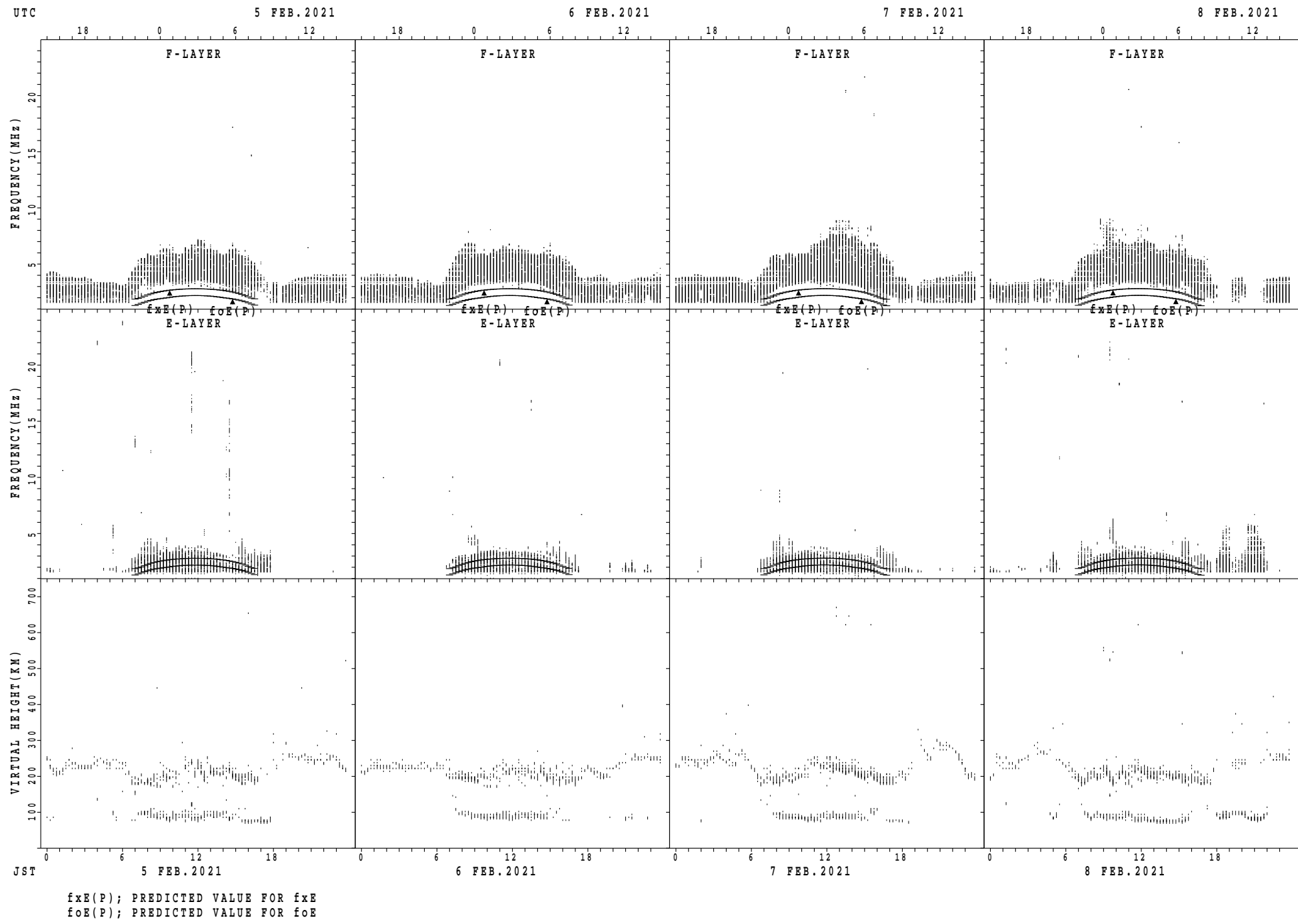
		HOURLY VALUES OF fES												AT Okinawa																				
		FEB. 2021																																
		LAT. 26°41.0'N LON. 128°09.0'E SWEEP 1.0 MHz TO 30.0 MHz AUTOMATIC SCALING																																
D	H	00	01	02	03	04	05	06	07	08	09	10	11	12	13	14	15	16	17	18	19	20	21	22	23									
1	26	G	G	G	G	31	B	B	56	30	40	44	50	56	49	47	41	38	34	44	24	40	30	58	G									
2	G	G	G	G	G	G	G	G	30	40	42	44	46	48	45	46	40	36	38	34	36	33	35	26										
3	G	G	G	11	B	24	38	G	32	50	46	47	44	58	43	47	52	51	58	57	57	56	48	29										
4	59	31	G	G	G	G	G	24	33	47	42	50	46	38	36	38	36	36	59	72	69	39	53	33										
5	46	29	38	44	29	29	G	G	29	32	41	60	45	52	46	50	50	41	44	46	34	G	G	G										
6	33	33	24	G	G	28	G	56	B	25	35	40	44	47	54	72	48	59	36	36	38	34	36	35	29									
7	44	G	G	28	56	25	35	40	44	47	47	54	72	48	59	36	36	G	G	G	G	25												
8	59	58	50	71	56	52	57	58	28	36	48	43	40	40	41	41	41	43	28	54	102	94	36	33										
9	37	32	G	G	G	G	G	26	28	38	35	38	46	76	88	78	56	46	35	60	71	103	57	30										
10	G	G	G	31	24	23	40	34	32	33	40	47	51	59	61	50	51	71	46	55	40	35	28	26										
11	24	G	G	G	G	G	26	G	30	37	41	43	46	46	42	41	41	32	33	29	48	35	G	G										
12	G	G	G	G	G	G	G	G	30	37	44	47	48	45	40	43	46	41	36	25	B	G	G	G										
13	G	G	G	G	B	G	G	49	37	39	45	47	47	53	44	50	35	36	26	G	G	26	24											
14	G	G	G	G	G	G	G	29	34	36	44	46	46	46	45	39	31	29	27	G	32	G	G											
15	G	G	G	26	30	29	G	29	33	40	46	45	40	47	38	35	31	31	34	32	G	G	G											
16	55	32	32	G	28	40	11	48	32	C	C	C	C	C	C	C	C	B	38	47	54	27	31	26										
17	G	56	31	G	G	G	G	28	49	C	C	C	C	C	C	C	C	C	35	27	26	B	G	G										
18	G	G	G	G	B	B	G	30	36	C	C	C	C	C	34	34	31	40	57	G	24	G	G											
19	B	G	G	G	B	B	G	29	31	36	37	C	C	C	C	37	29	24	G	G	G	G	G											
20	G	28	G	G	34	G	G	29	31	39	44	46	47	71	66	34	48	33	26	G	G	B	G											
21	G	G	G	G	B	B	G	46	38	42	40	42	44	89	53	48	33	24	86	55	24	49	49	G										
22	B	G	11	G	B	B	G	31	34	44	47	48	43	34	42	32	32	27	28	30	G	G	G											
23	G	26	G	G	G	B	B	G	32	38	39	35	45	40	44	36	35	G	29	11	G	G	G											
24	G	G	G	G	G	G	G	53	42	44	45	G	48	60	47	59	49	G	G	G	G	G	G											
25	G	G	G	G	G	32	23	24	39	N	35	38	48	37	34	34	33	48	G	G	G	G	G	G										
26	G	G	G	G	B	G	G	134	43	35	36	37	38	46	38	29	30	28	26	40	G	G	G	G										
27	B	G	G	G	G	G	G	37	48	45	36	64	47	47	46	38	39	31	48	40	11	26	B											
28	G	G	G	G	G	11	G	59	29	48	37	38	40	47	50	G	35	32	56	31	B	G	G											
29																																		
30																																		
31																																		
	00	01	02	03	04	05	06	07	08	09	10	11	12	13	14	15	16	17	18	19	20	21	22	23										
CNT	25	28	28	28	25	20	20	28	28	28	24	25	24	24	24	25	26	26	28	28	27	26	27	27										
MED	G	G	G	G	G	G	G	30	38	40	44	46	47	46	43	40	34	36	34	32	24	G	G											
U Q	35	28	G	G	25	26	27	25	32	41	42	47	47	48	57	50	48	41	42	54	48	35	35	26										
L Q	G	G	G	G	G	G	G	28	33	36	39	44	42	43	38	35	31	29	26	G	G	G	G											

	HOURLY VALUES OF fmin AT Okinawa FEB. 2021																									
	LAT. 26°41.0'N LON. 128°09.0'E SWEEP 1.0 MHz TO 30.0 MHz AUTOMATIC SCALING																									
D	00	01	02	03	04	05	06	07	08	09	10	11	12	13	14	15	16	17	18	19	20	21	22	23		
1	16	15	15	14	15	B	B	16	15	17	15	14	16	15	14	14	14	16	15	16	15	16	16	15		
2	15	16	14	14	14	14	14	19	14	15	15	13	14	16	14	15	14	13	16	15	16	16	16	15		
3	14	14	15	15		B		15	15	16	16	15	13	15	17	14	15	15	15	14	15	16	15	15		
4	15	16	15	15	14	14	14	16	16	15	13	14	15	15	15	13	14	14	15	14	15	15	16	16		
5	15	15	15	16	15	15	16	16	15	14	15	13	14	13	14	14	15	15	15	15	16	15	15	15		
6	16	15	15	15	14			14	15	15	15	14	15	15	14	14	15	16	16	15	16	16	15	16		
7	15	15	15	15	16	15	B	16	15	15	15	14	15	14	14	14	15	13	15	15	16	15	14	14	15	
8	15	15	15	15	15	15	15	15	15	15	14	13	15	14	13	15	14	14	14	16	16	7	13	15	16	
9	15	16	15	15	15	15	15	15	15	16	15	14	13	14	14	16	14	14	16	16	15	15	13	16	15	
10	16	14	15	16	15	15	16	15	15	17	13	14	14	14	14	15	15	16	15	16	16	16	15	15	15	
11	15	14	14	14	14	14	14	15	15	15	15	15	16	15	15	16	14	15	15	16	16	15	16	16	15	
12	15	15	14	14	14	14	14	16	15	15	16	15	15	15	15	15	13	13	14	16	16	16	14	15	15	
13	14	15	15	14	15		B	14	15	15	15	15	15	14	15	13	15	14	14	16	15	15	15	15	15	15
14	14	15	17	15	14	16	14	14	15	16	15	14	16	15	15	15	14	15	16	16	16	15	15	15	15	
15	15	16	15	14	15	15	16	16	15	15	14	14	15	16	15	15	17	15	16	15	16	14	17	14		
16	16	15	16	16	16	15	15	15	15	16	C	C	C	C	C	C	C	C	B	13	15	15	16	16	16	
17	15	16	16	15	16	16	15	16	15	16	C	C	C	C	C	C	C	C	C	15	15	15	15	15	14	
18	15	14	14	15	16	B	B	15	15	16	17	C	C	C	C	C	C	16	14	15	15	15	16	15	17	
19	B	15	15	15	14	B	B	15	16	15	15	15	C	C	C	C	C	15	15	16	17	15	15	14	15	
20	15	15	16	15	16	15	15	16	15	15	14	14	15	17	14	12	13	14	15	15	15	15	B	16		
21	66	14	15	17	15	B	B	14	15	15	16	17	16	16	17	15	15	13	16	17	15	16	15	15	15	
22	16	16	14	15		B	B	15	15	15	16	14	15	17	15	16	11	15	15	15	15	16	15	15	15	
23	16	14	14	14	15	B	B	15	15	15	15	15	16	18	17	15	15	14	13	16	14	14	14	14	14	
24	14	14	14	15	14	14	14	14	15	16	16	16	16	16	18	15	16	15	15	15	15	14	15	17		
25	16	14	14	14	15	16	16	16	15	17	17	15	18	16	17	17	17	16	15	14	14	18	14	18		
26	15	14	15	15		B		15	14	17	15	16	15	16	17	14	17	14	15	14	15	15	16	14	16	
27	15	16	15	15	15	15	15	14	15	14	16	16	17	17	16	15	15	15	15	17	14	14	15	B		
28	16	15	16	14	14	15	15	15	17	17	15	17	17	16	16	15	15	15	15	15	15	14	B	16		
29																										
30																										
31																										
	00	01	02	03	04	05	06	07	08	09	10	11	12	13	14	15	16	17	18	19	20	21	22	23		
CNT	27	28	28	28	25	20	22	28	28	28	25	25	24	24	24	25	26	26	28	28	28	27	27	27		
MED	15	15	15	15	15	15	15	15	15	15	15	15	15	15	15	15	15	15	15	15	15	15	15	15		
U Q	16	15	15	15	15	15	16	16	15	16	15	15	16	16	16	15	15	15	15	16	16	16	16	16		
L Q	15	14	14	14	14	14	15	15	15	15	14	14	15	14	14	14	14	14	14	15	15	14	15	15		

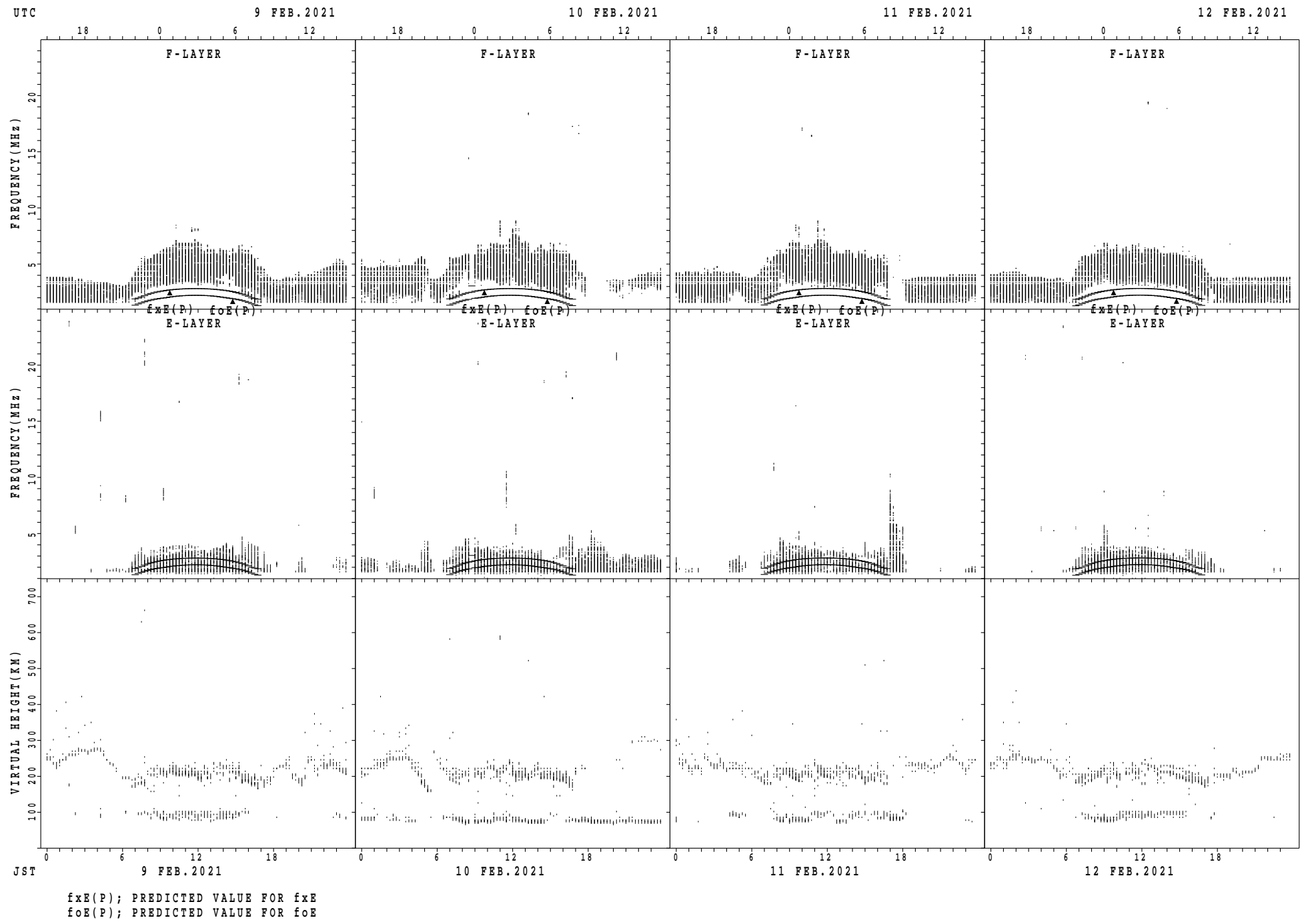
SUMMARY PLOTS AT Wakkanaï



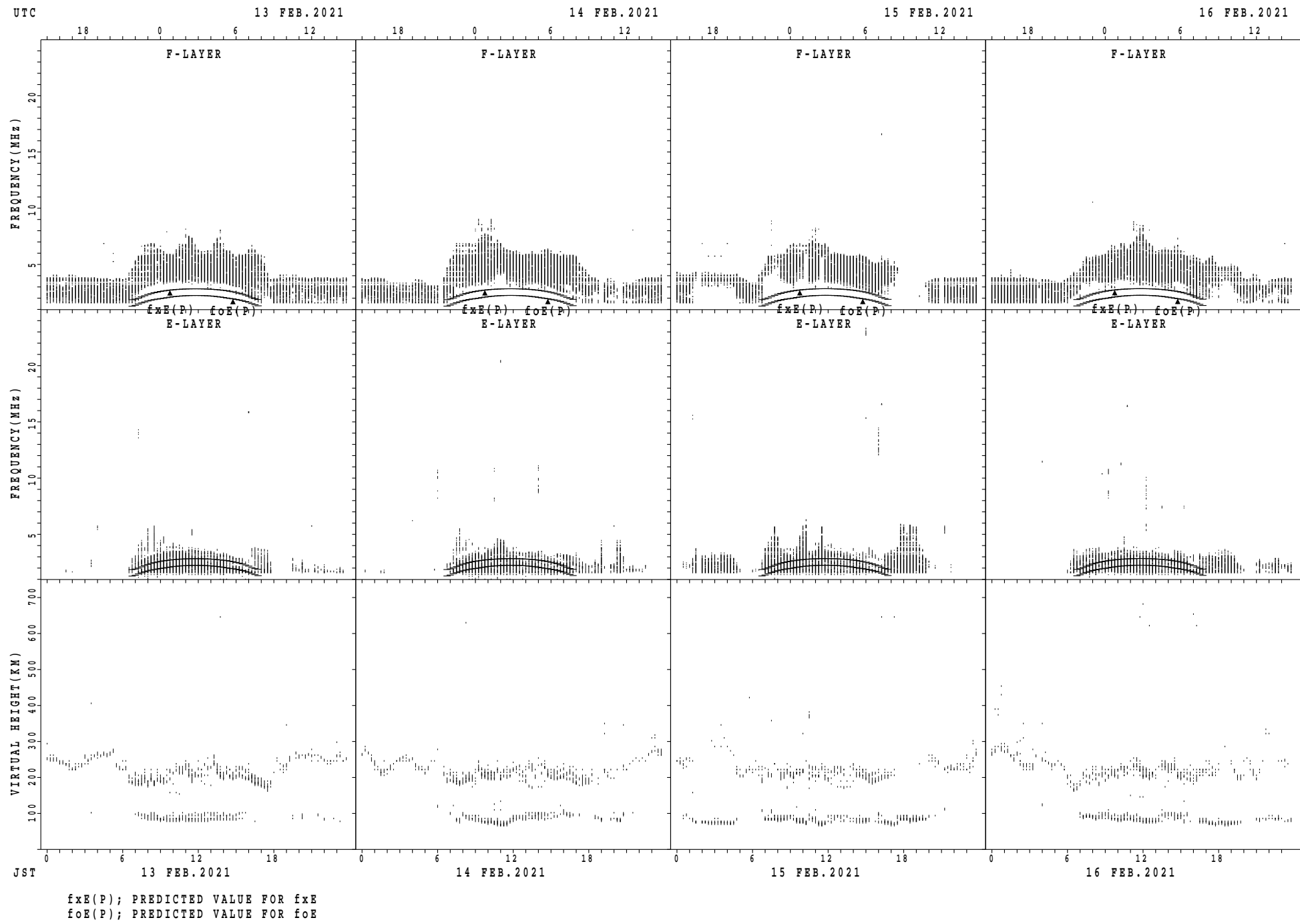
SUMMARY PLOTS AT Wakkanaï



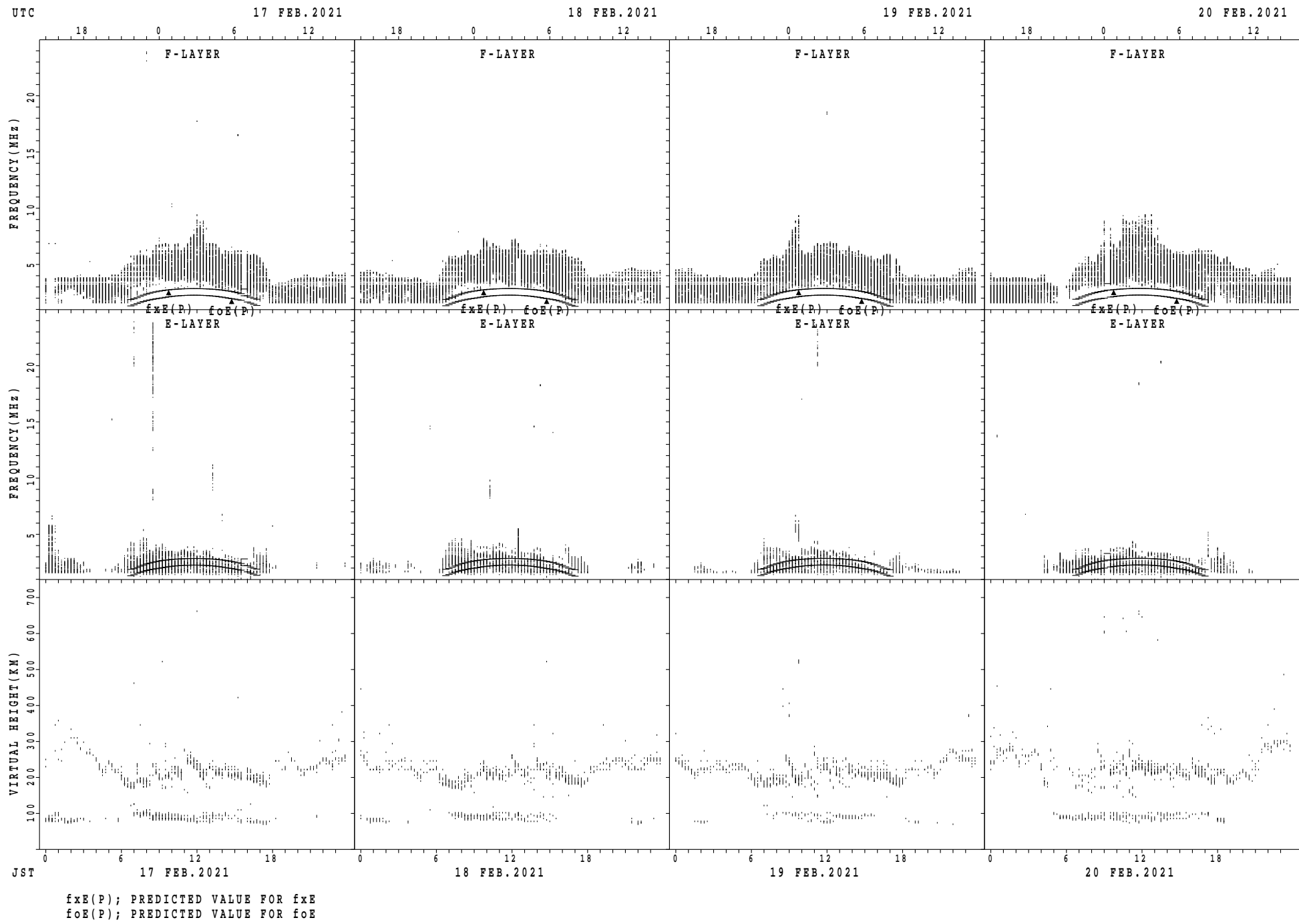
SUMMARY PLOTS AT Wakkanaï



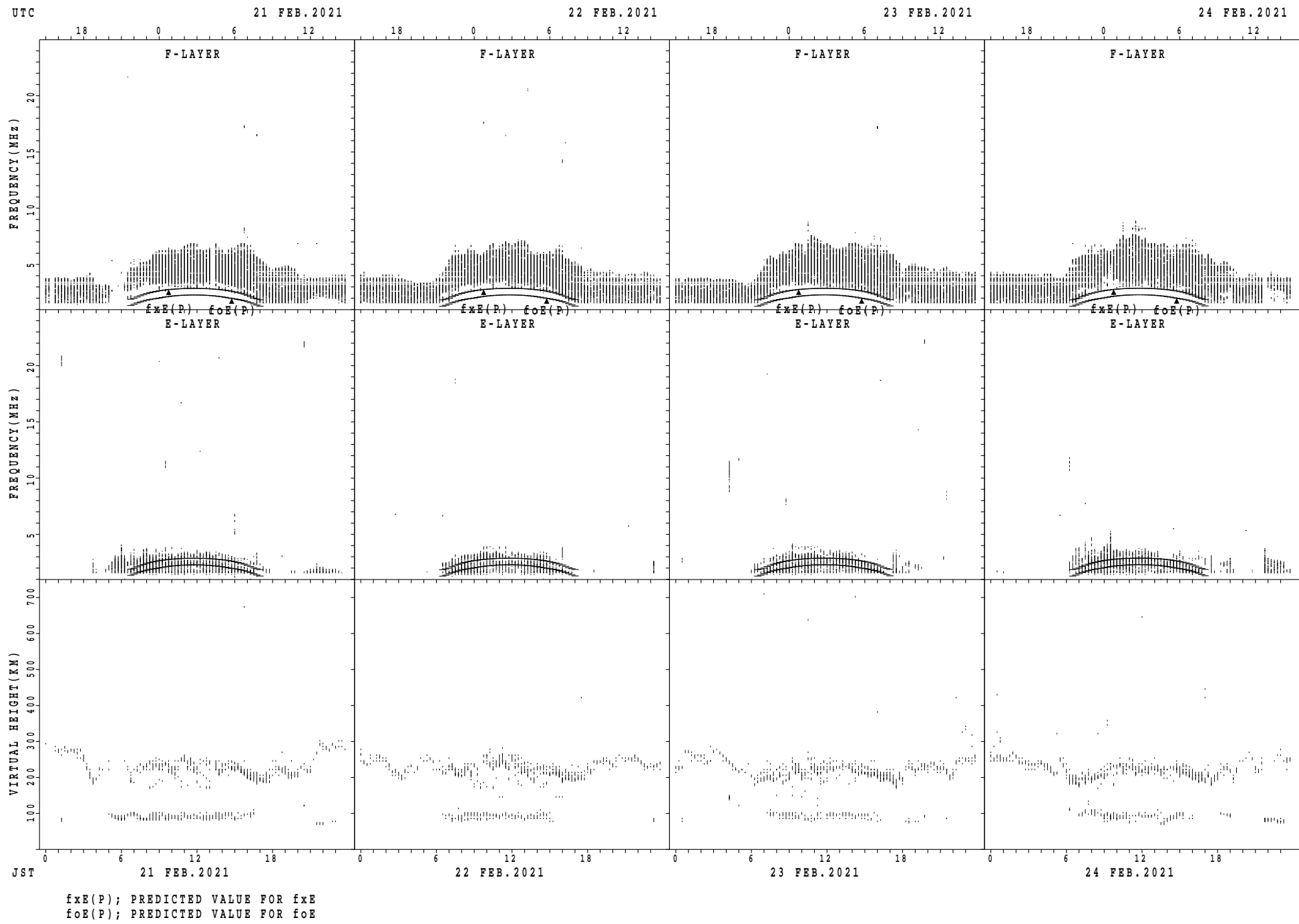
SUMMARY PLOTS AT Wakkanaï



SUMMARY PLOTS AT Wakkanaï

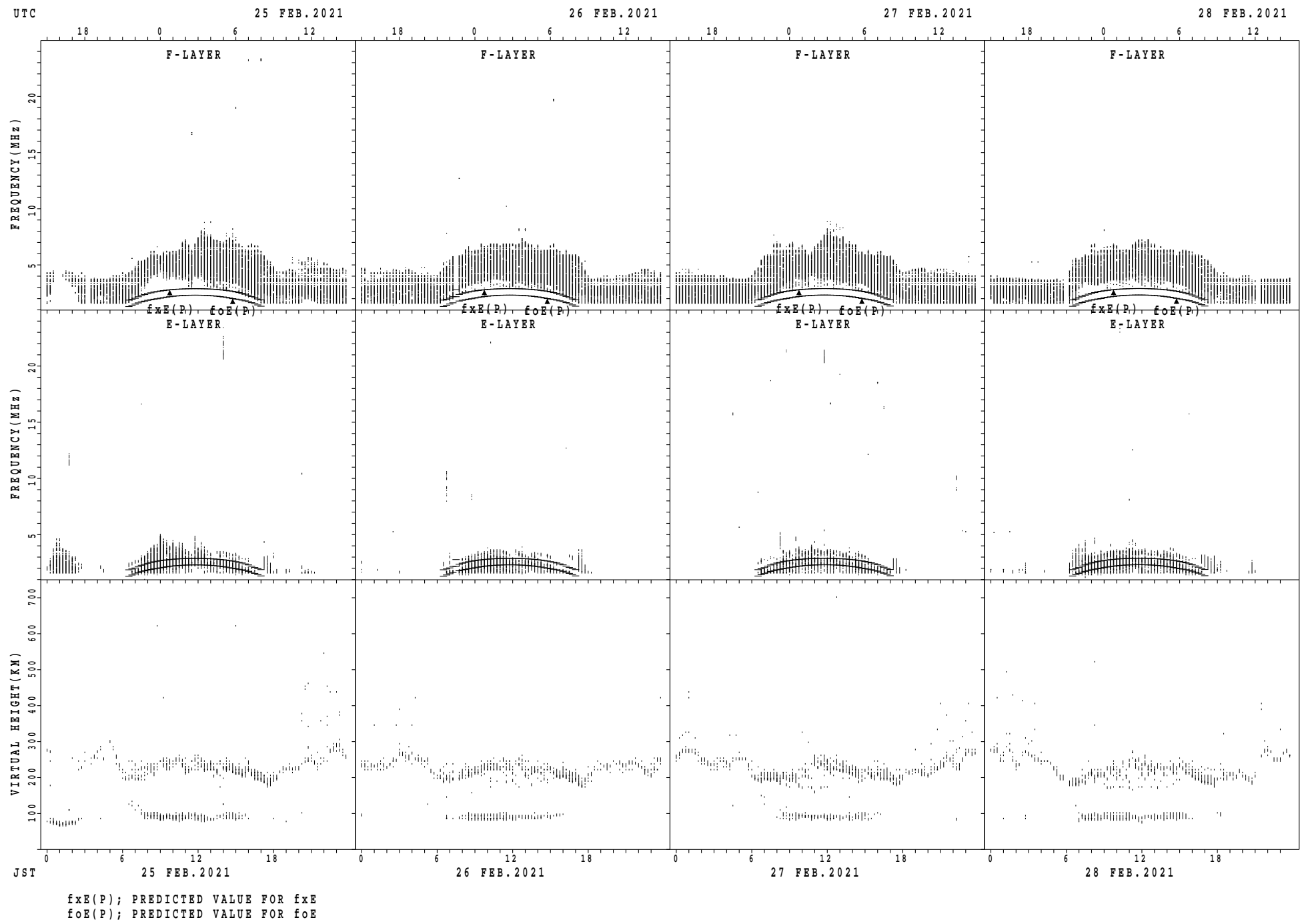


SUMMARY PLOTS AT Wakkanaï



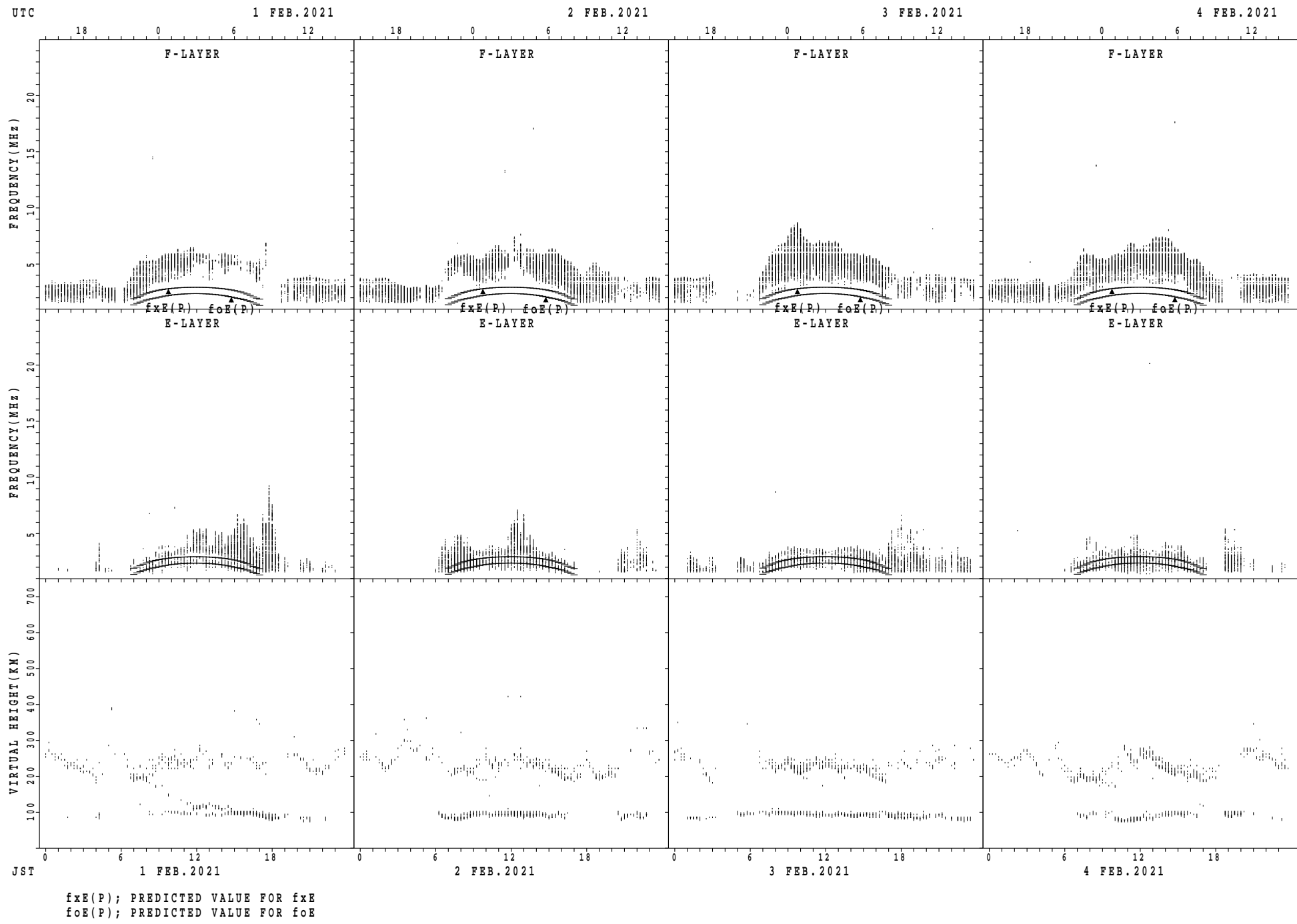
$f_{xE}(P)$; PREDICTED VALUE FOR f_{xE}
 $f_{oE}(P)$; PREDICTED VALUE FOR f_{oE}

SUMMARY PLOTS AT Wakkanaï

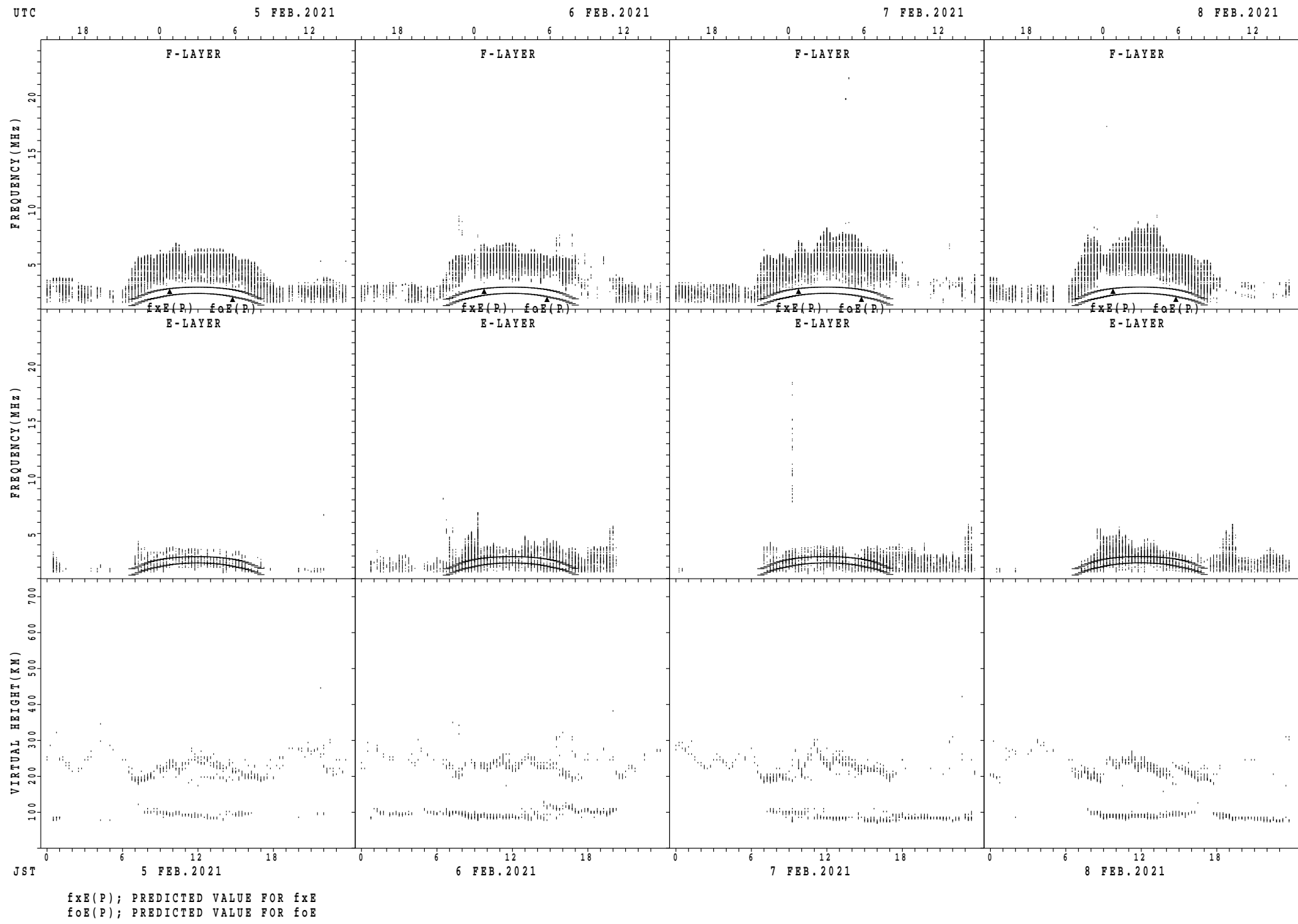


fxE(P); PREDICTED VALUE FOR fxE
foE(P); PREDICTED VALUE FOR foE

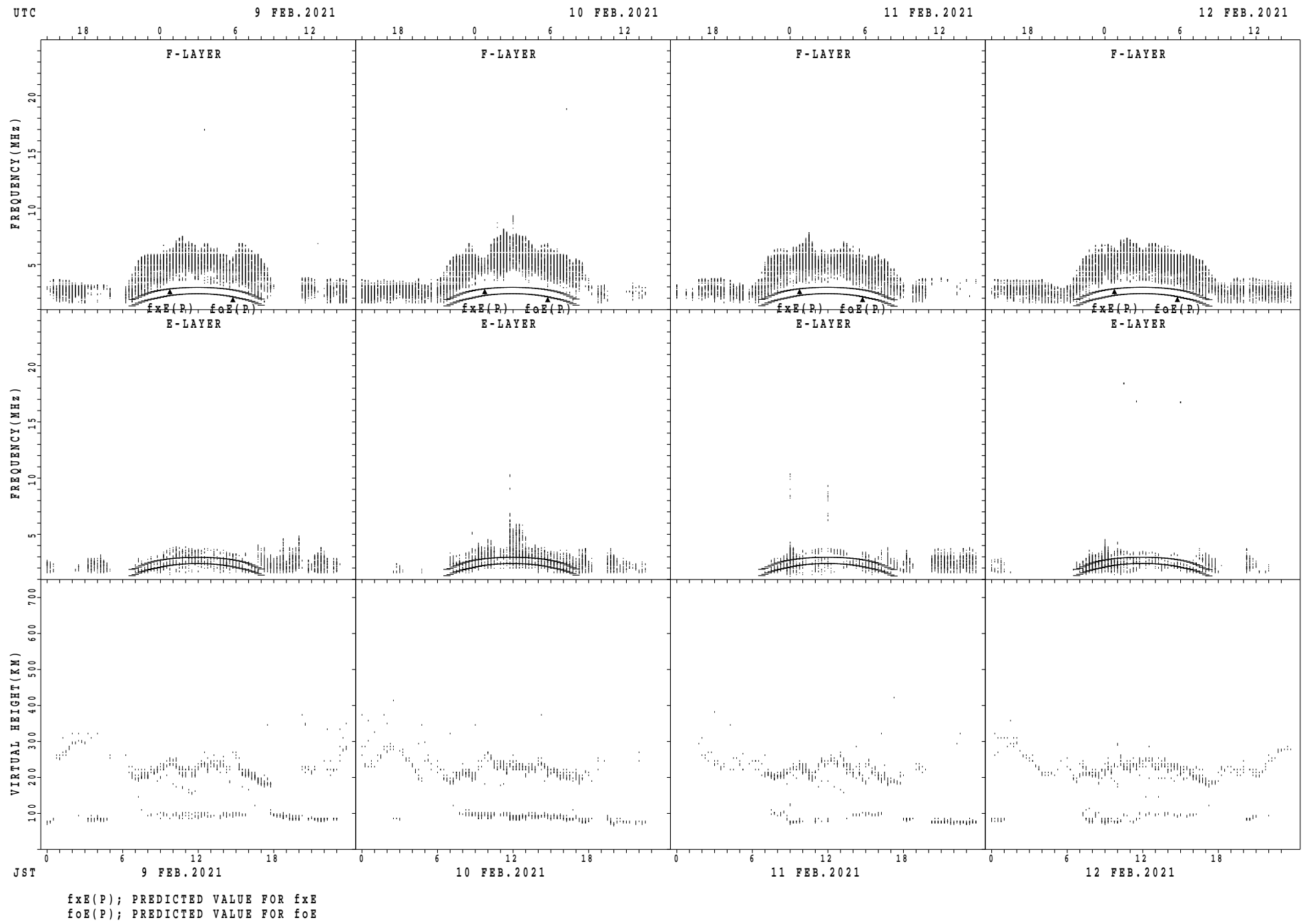
SUMMARY PLOTS AT Kokubunji



SUMMARY PLOTS AT Kokubunji

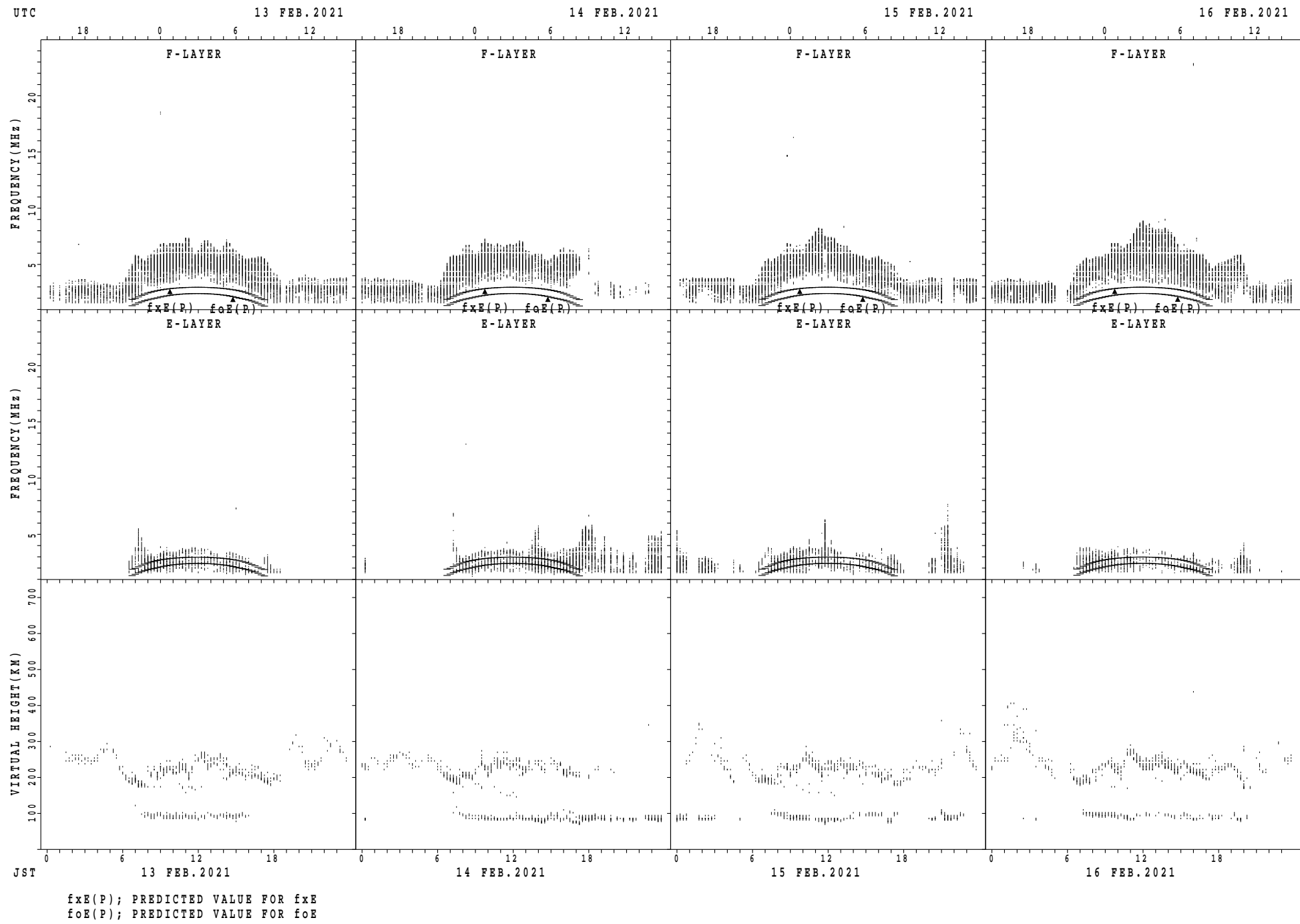


SUMMARY PLOTS AT Kokubunji

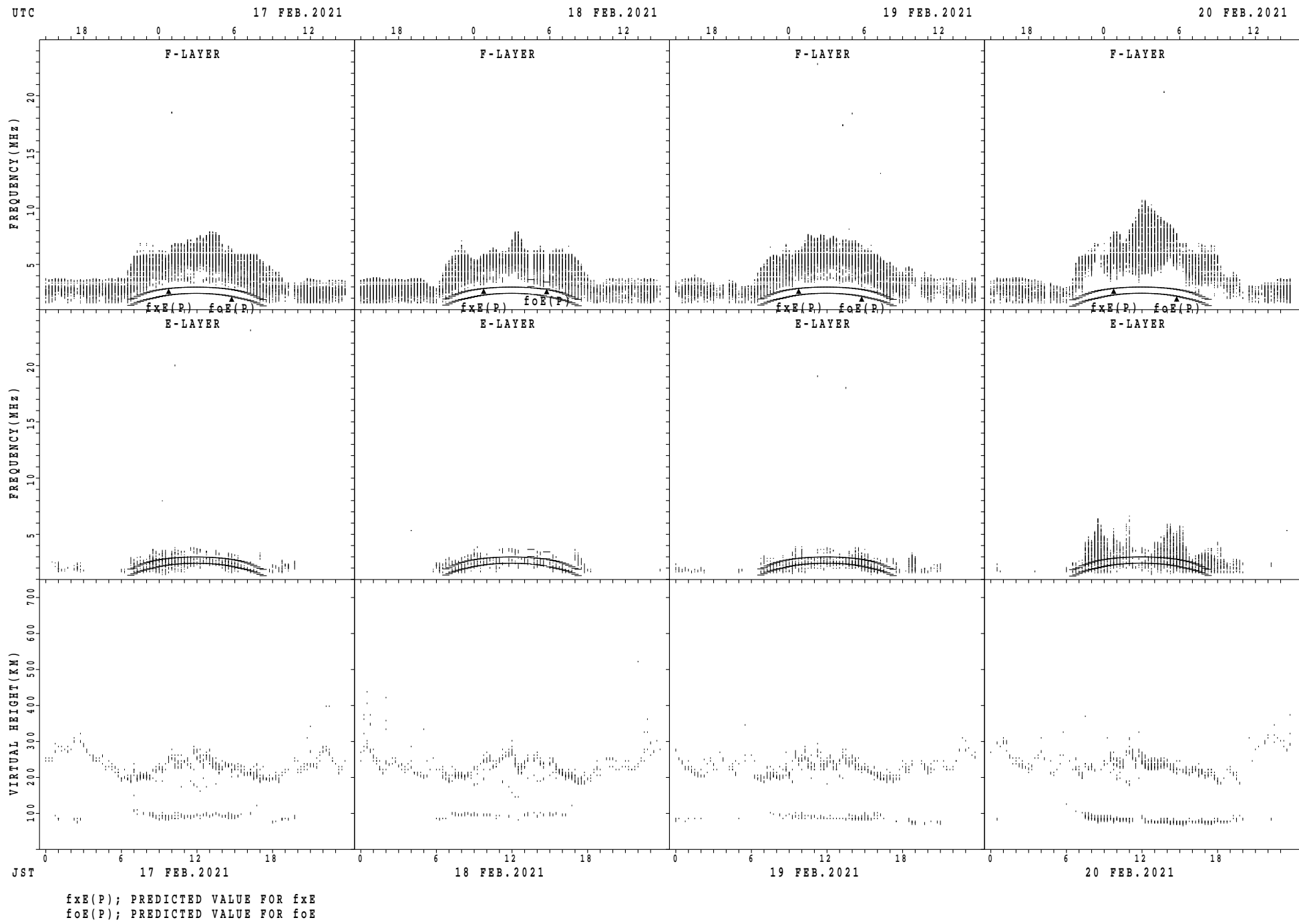


$f_{xE}(P)$; PREDICTED VALUE FOR f_{xE}
 $f_{oE}(P)$; PREDICTED VALUE FOR f_{oE}

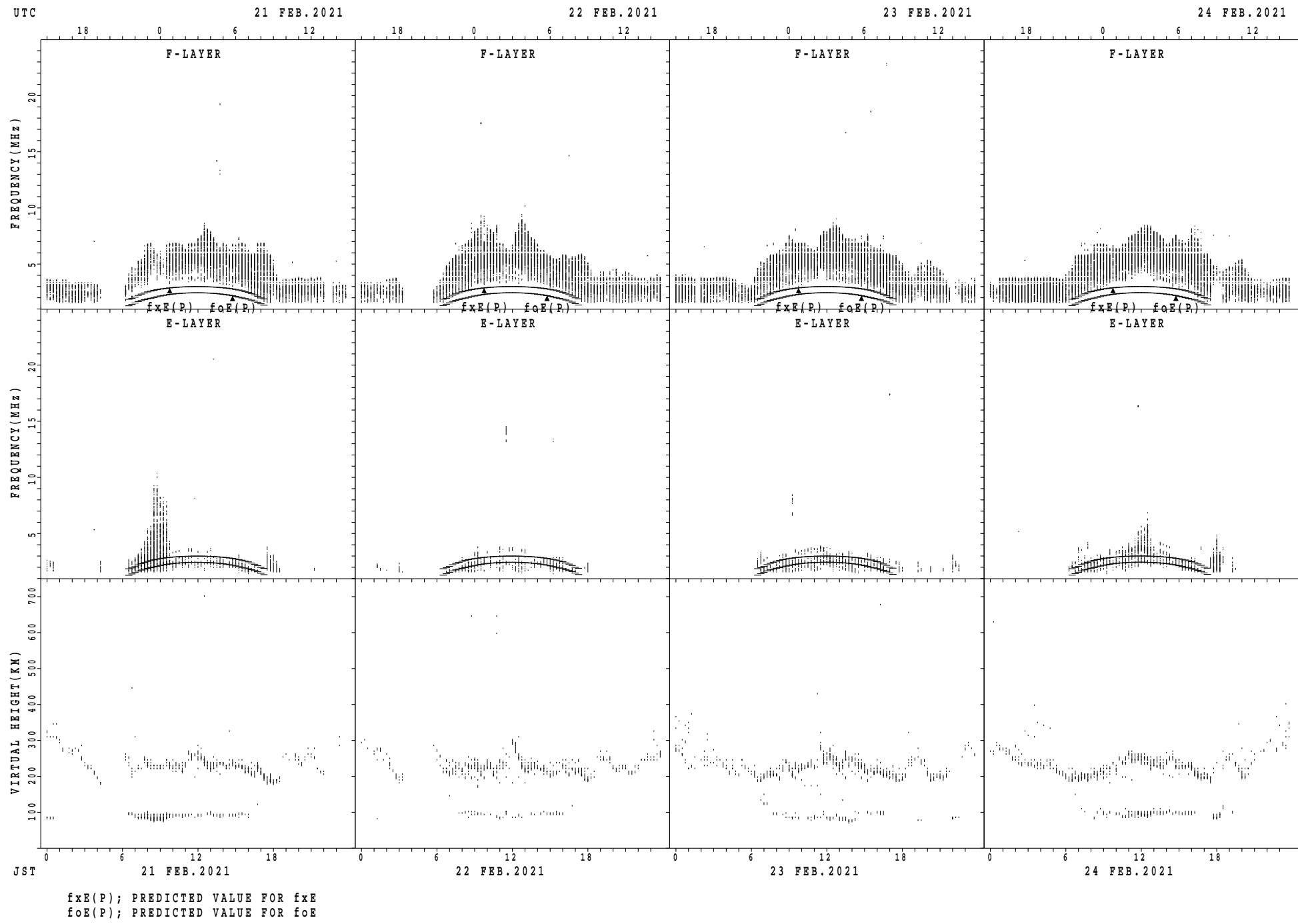
SUMMARY PLOTS AT Kokubunji



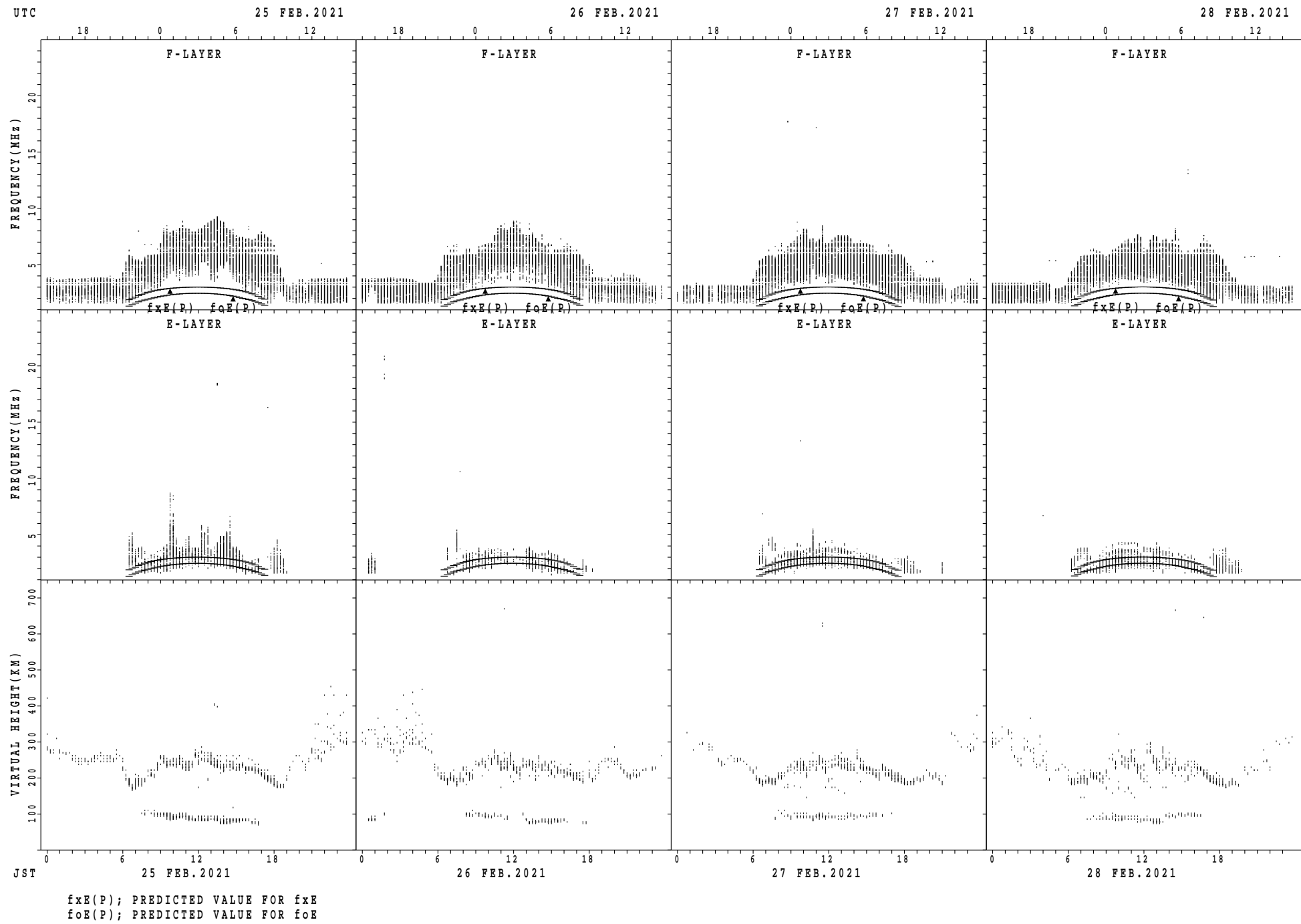
SUMMARY PLOTS AT Kokubunji



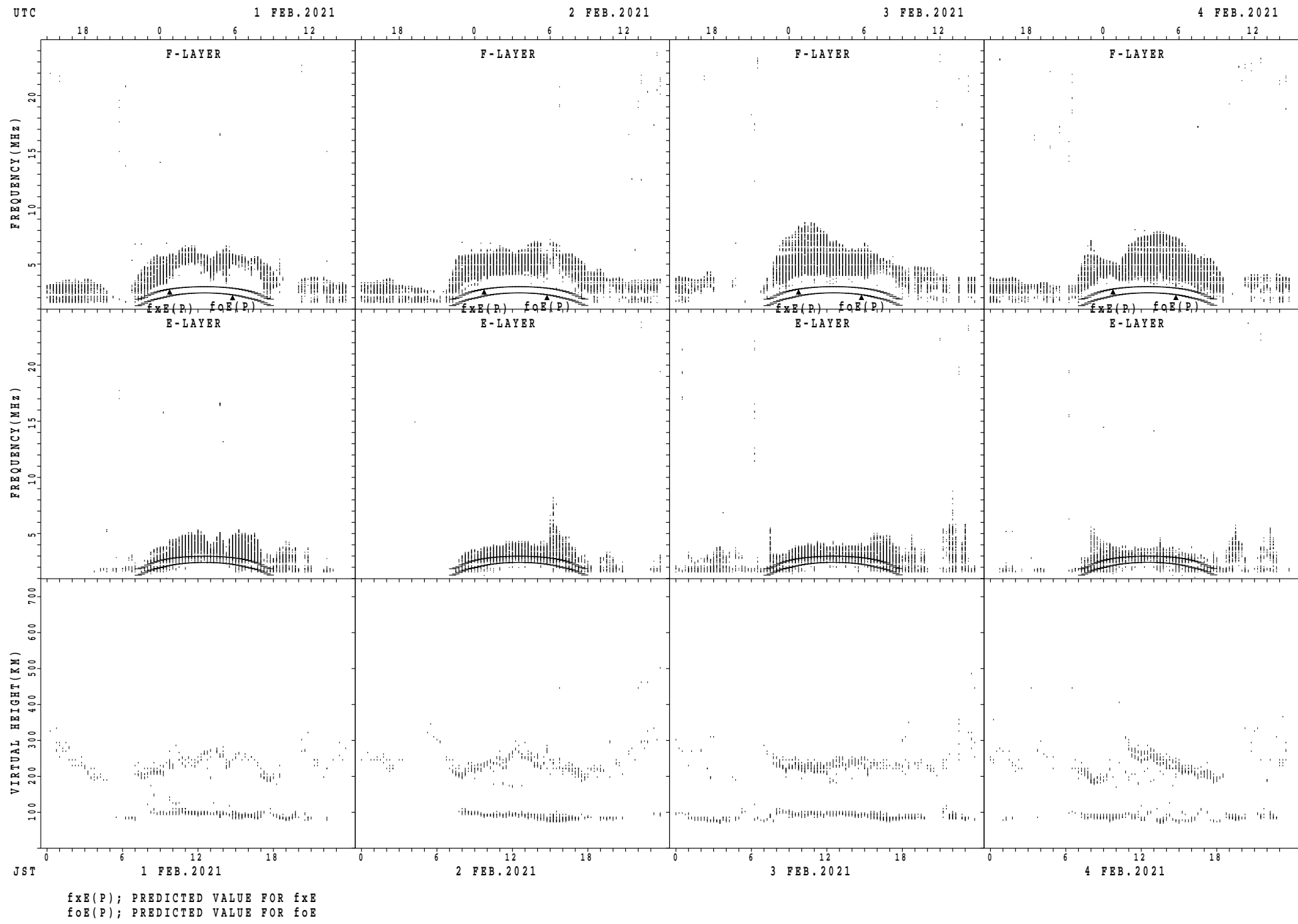
SUMMARY PLOTS AT Kokubunji



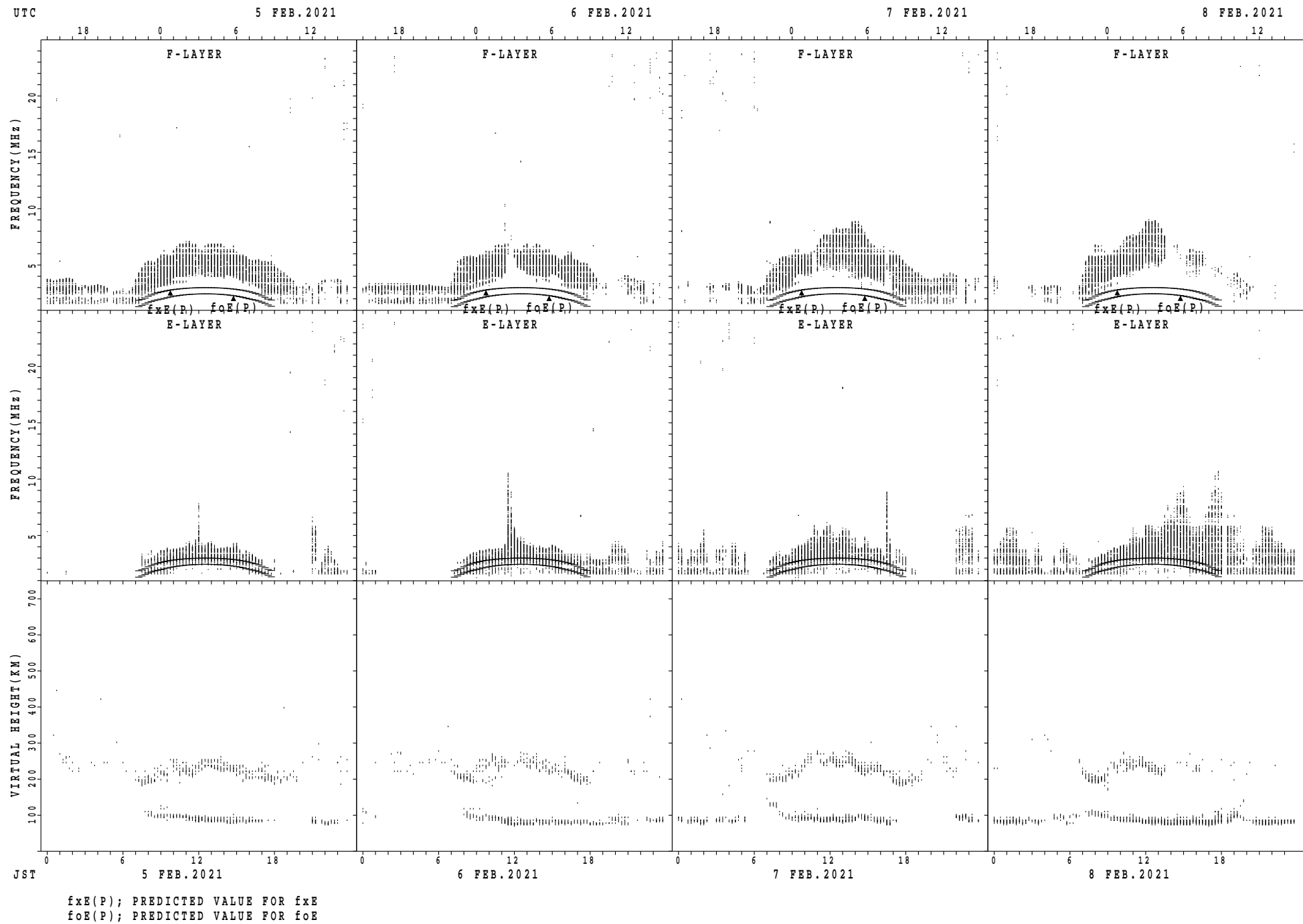
SUMMARY PLOTS AT Kokubunji



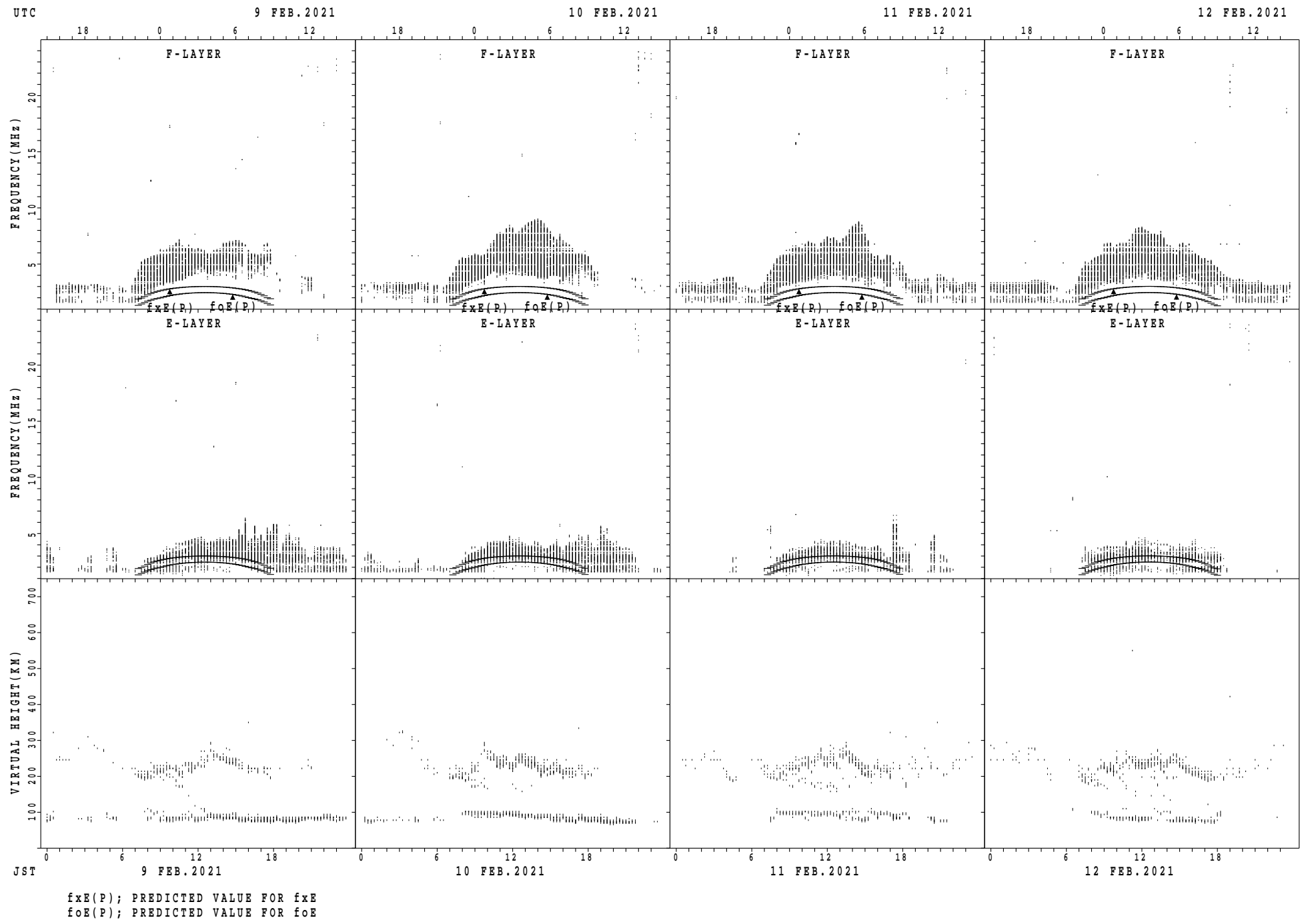
SUMMARY PLOTS AT Yamagawa



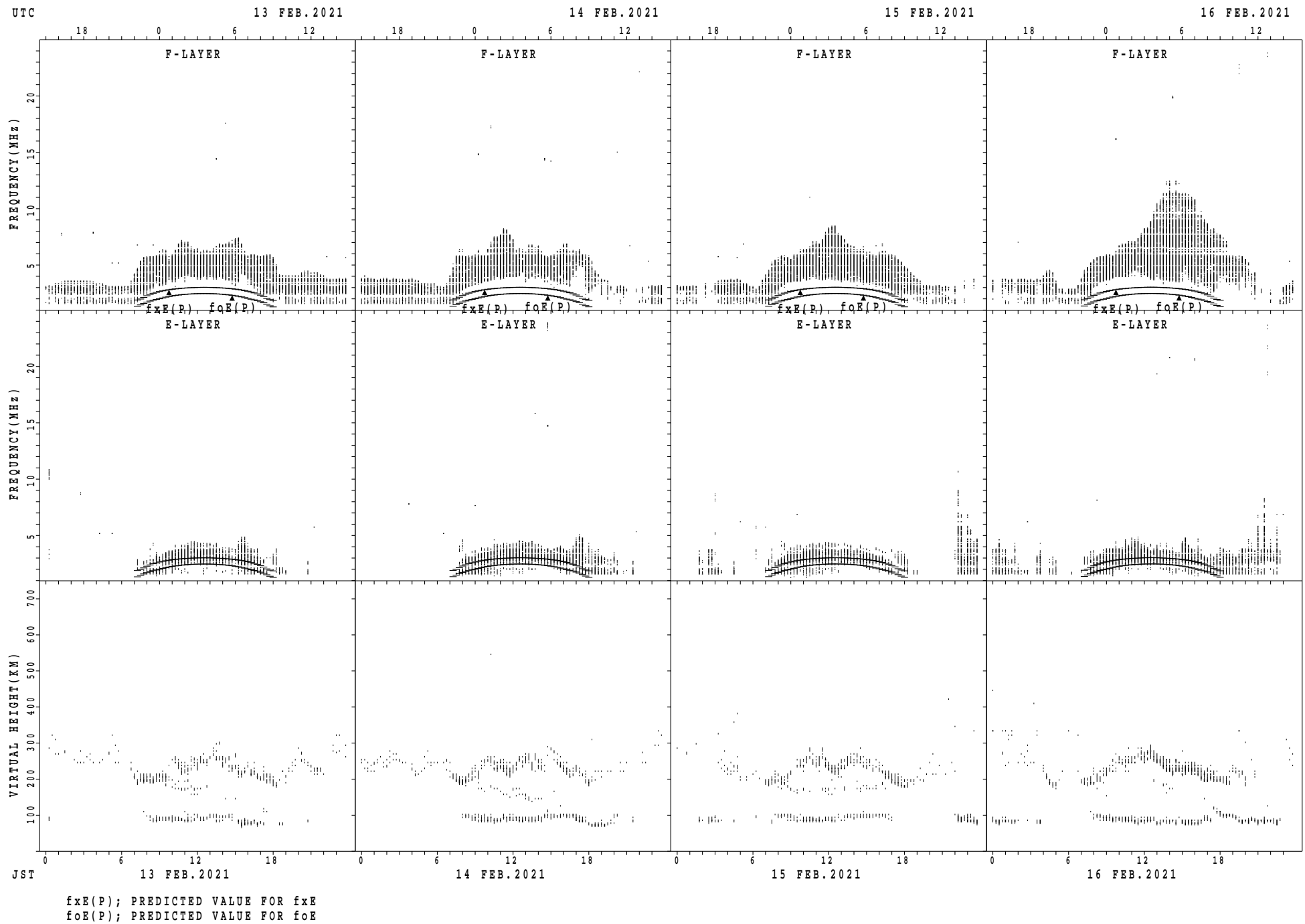
SUMMARY PLOTS AT Yamagawa



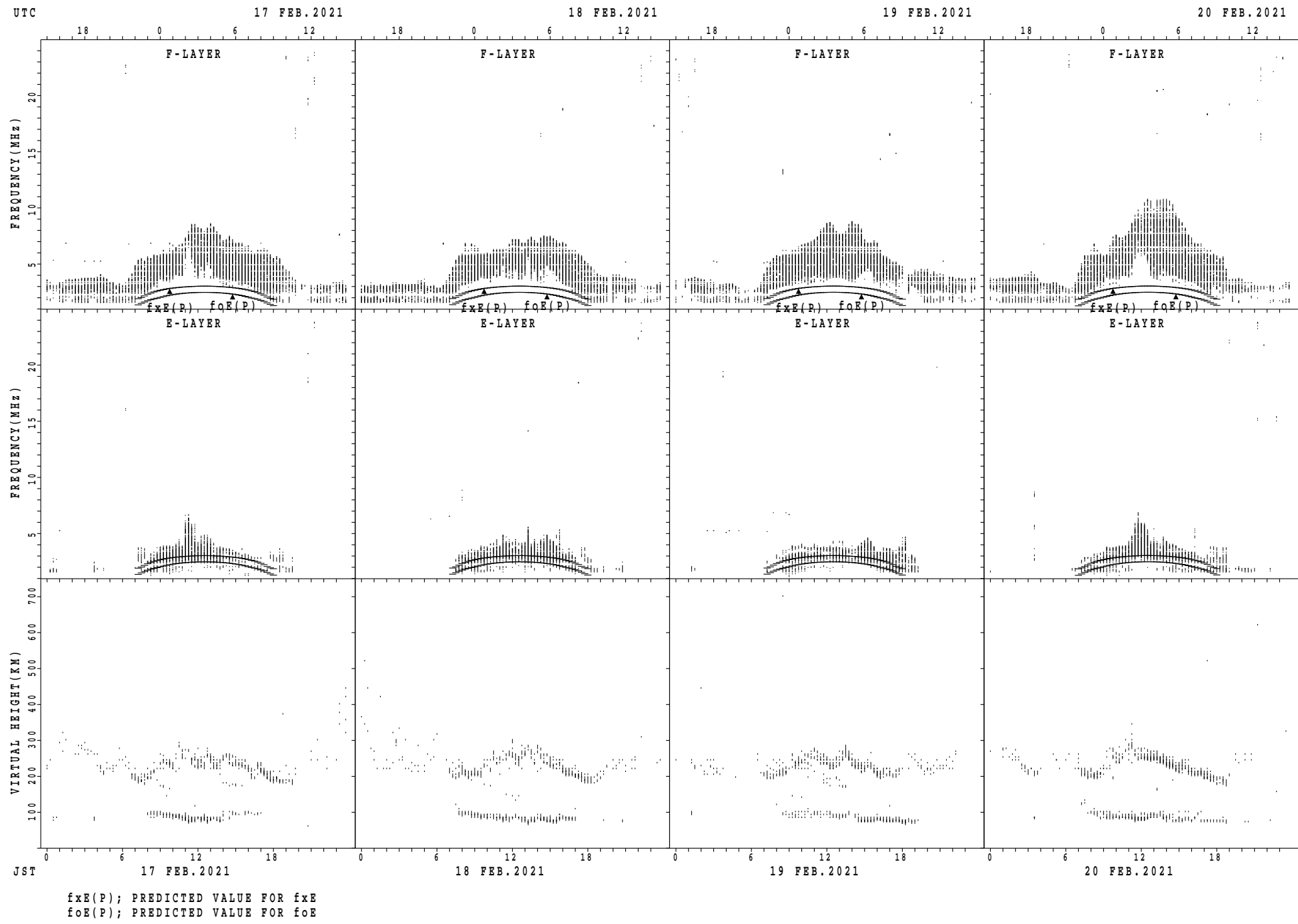
SUMMARY PLOTS AT Yamagawa



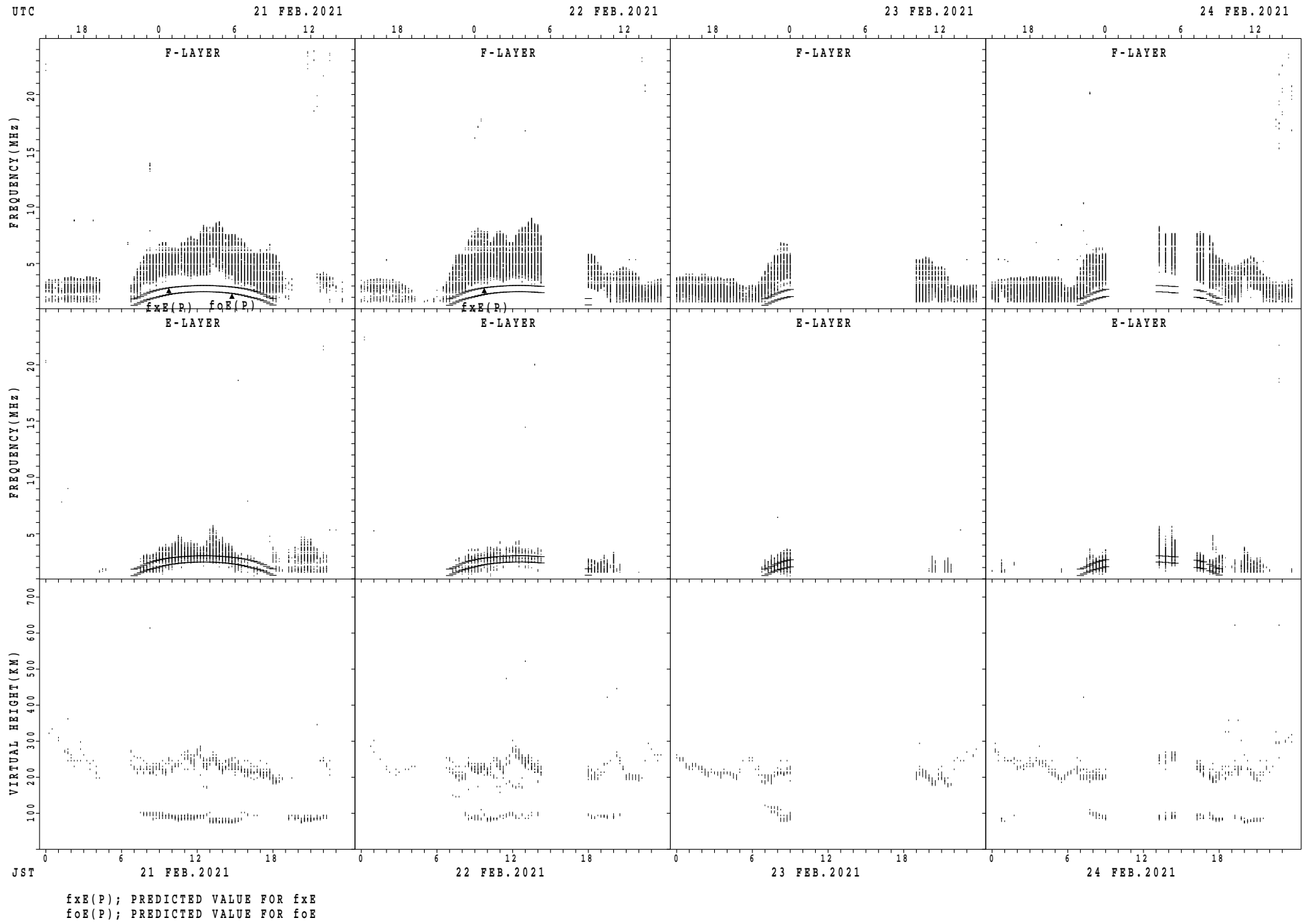
SUMMARY PLOTS AT Yamagawa



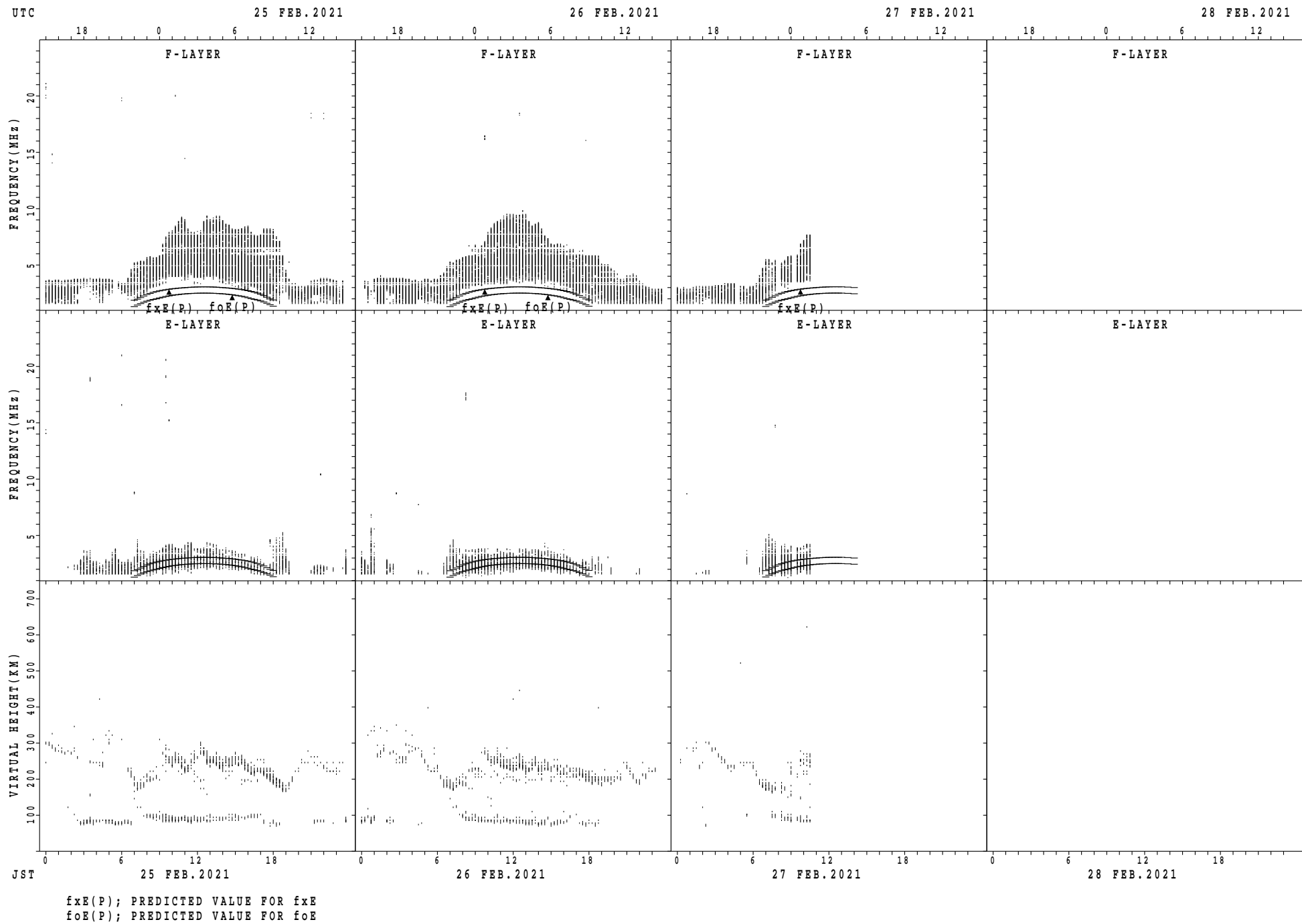
SUMMARY PLOTS AT Yamagawa



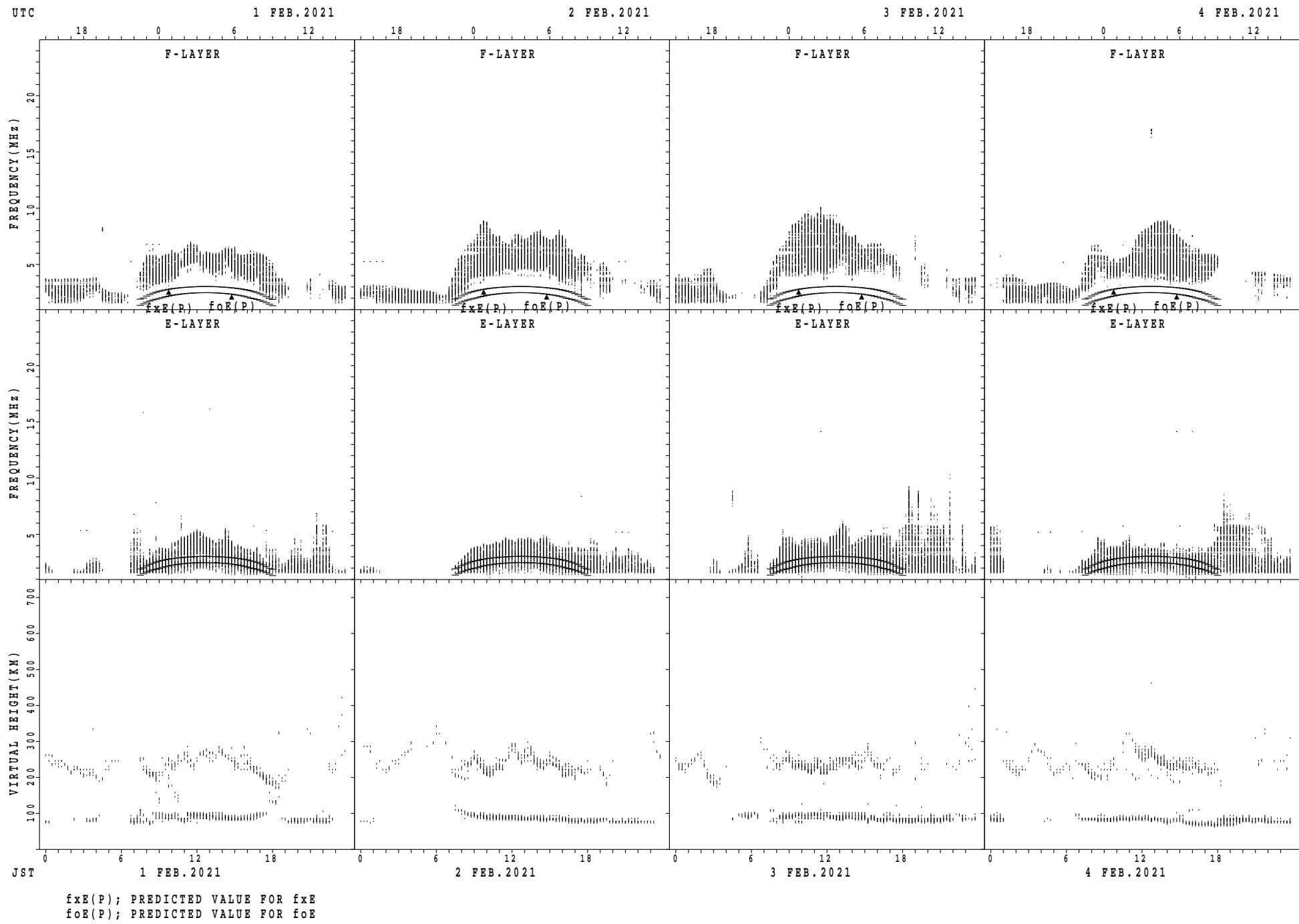
SUMMARY PLOTS AT Yamagawa



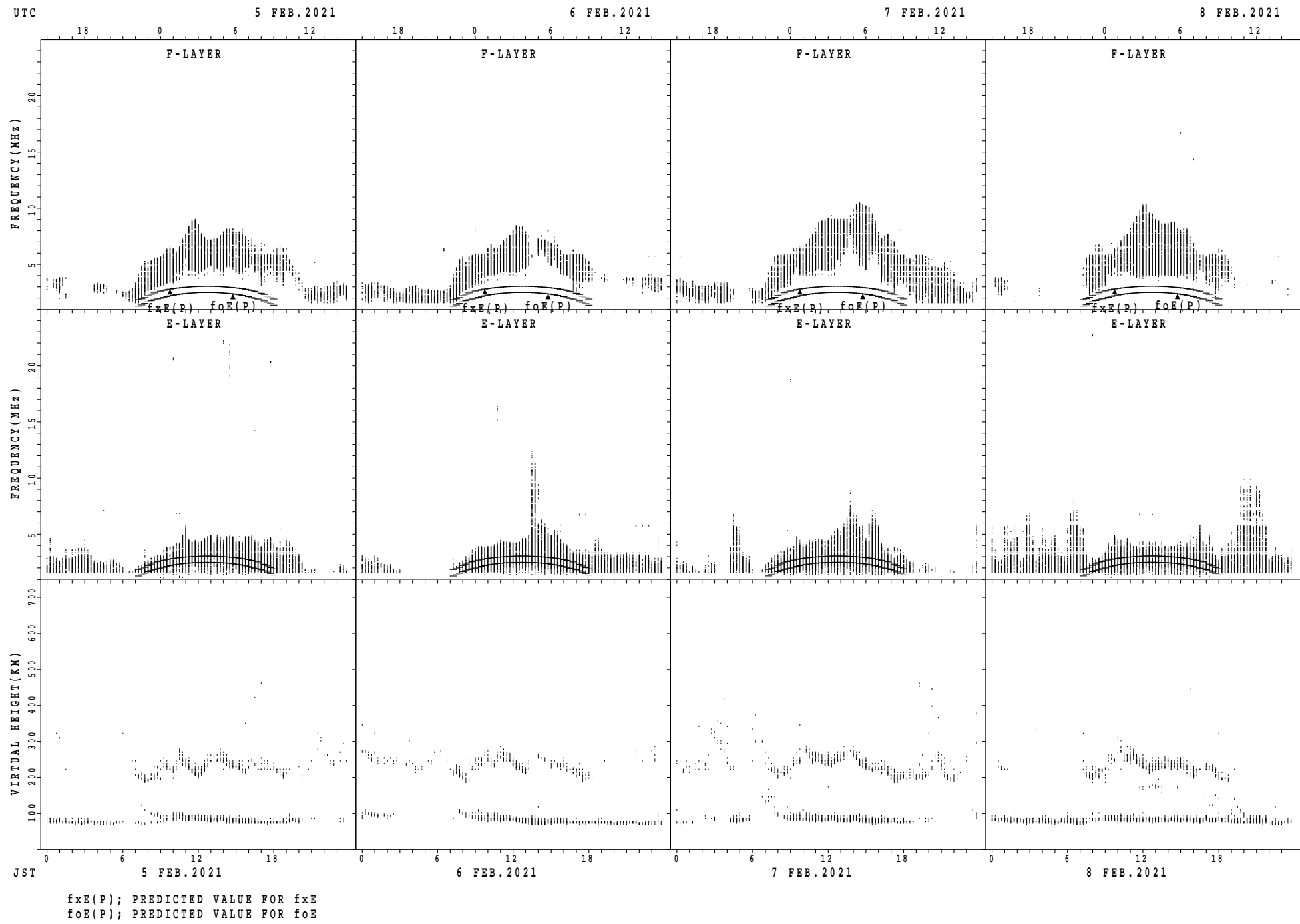
SUMMARY PLOTS AT Yamagawa



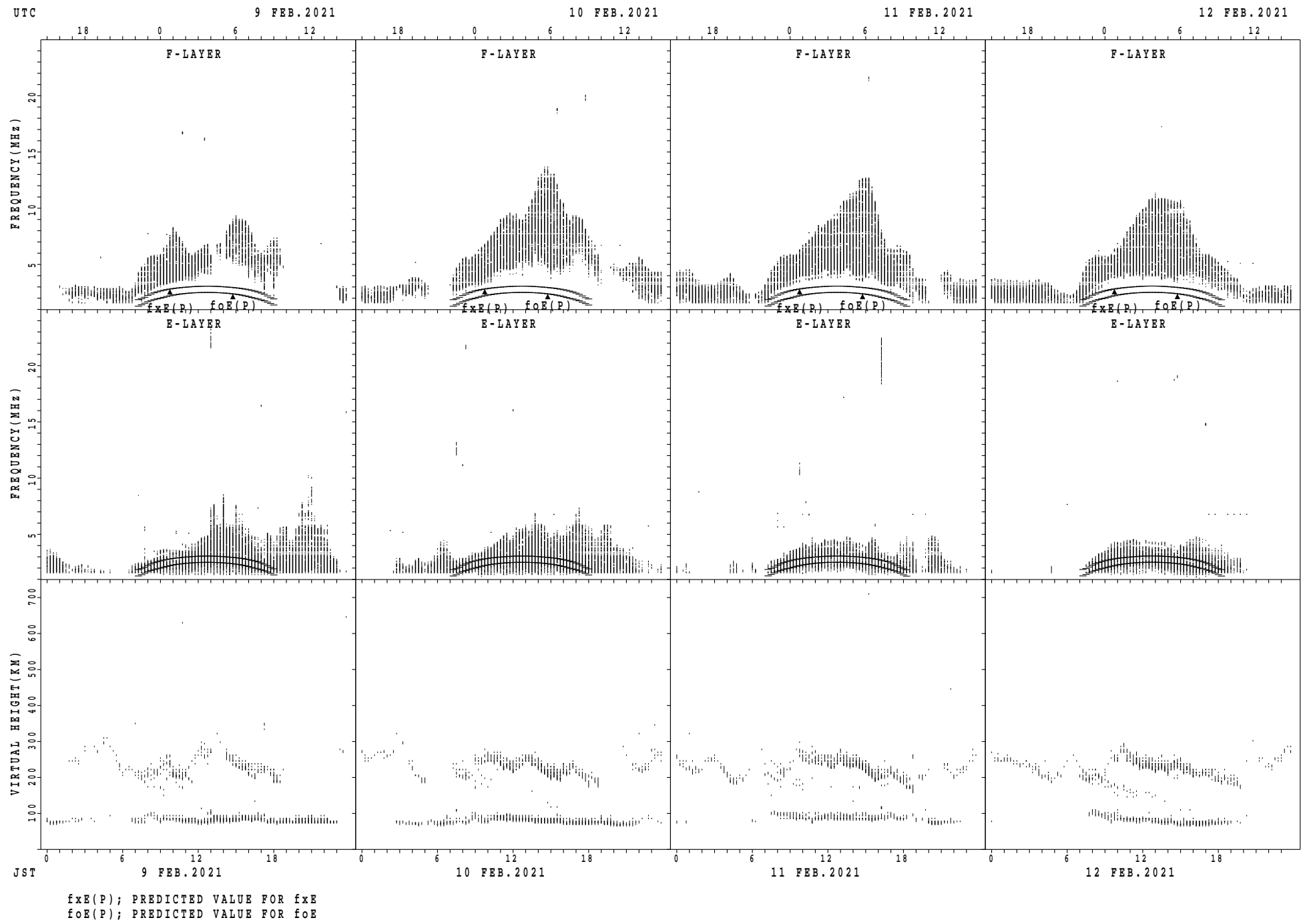
SUMMARY PLOTS AT Okinawa



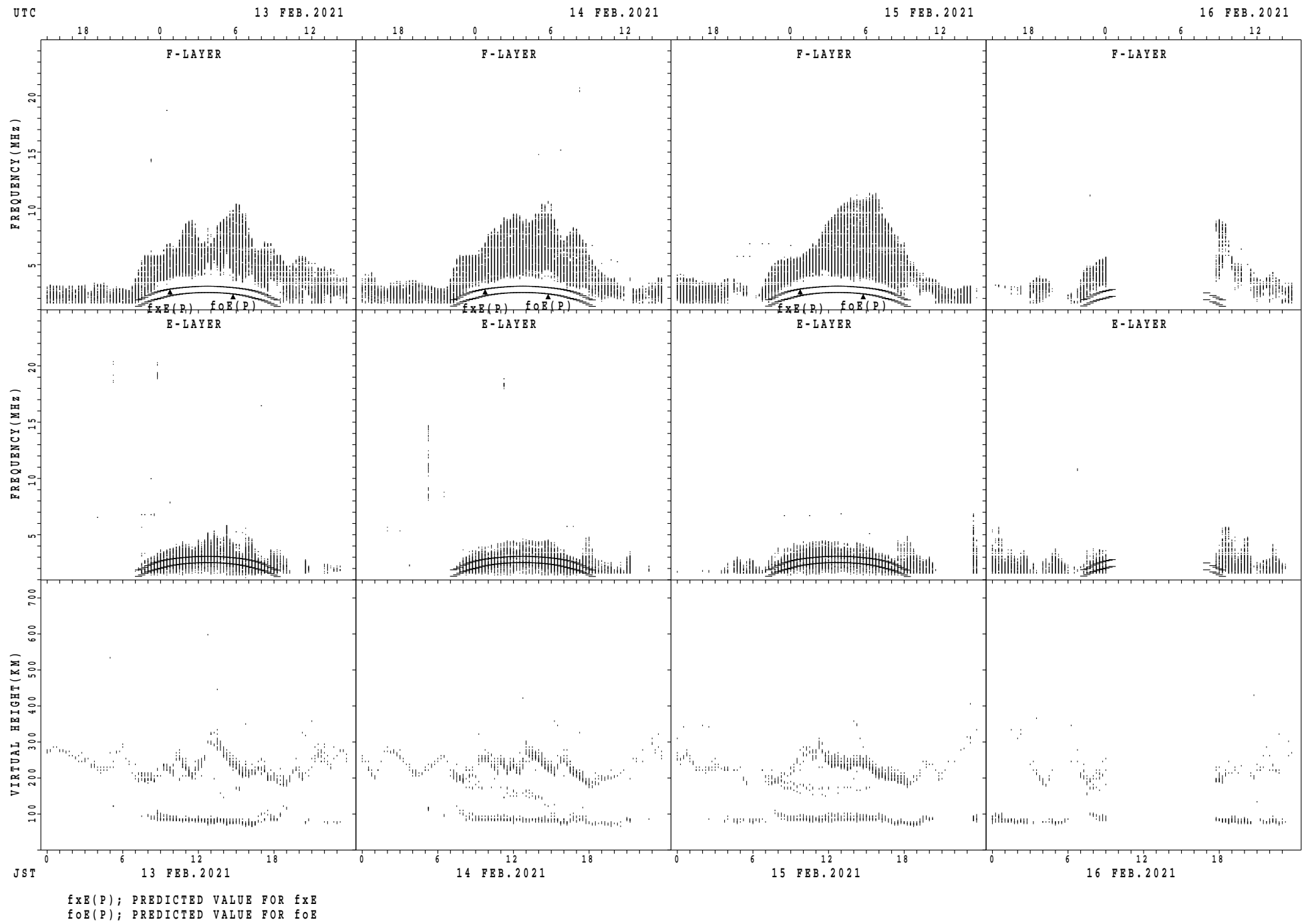
SUMMARY PLOTS AT Okinawa



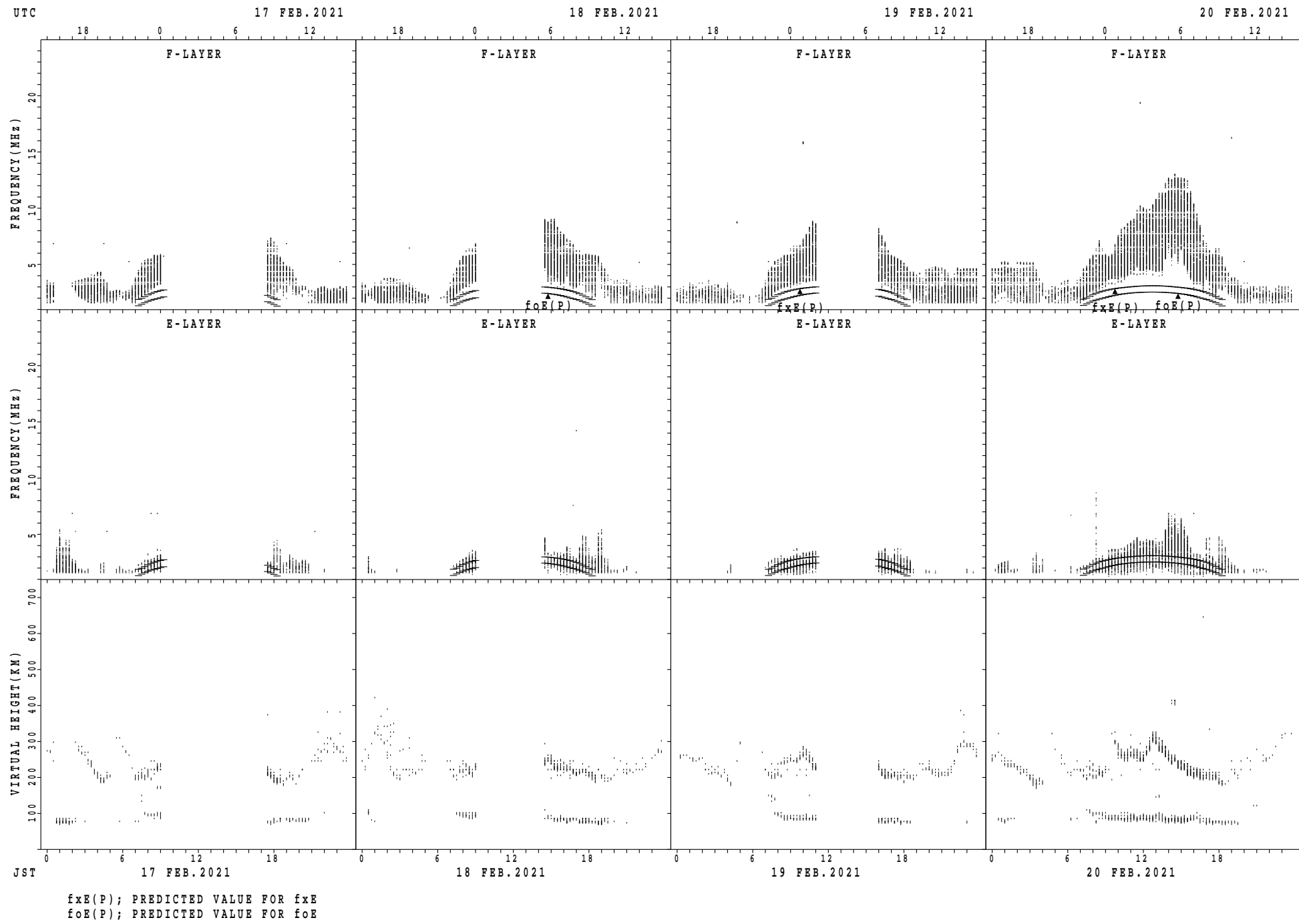
SUMMARY PLOTS AT Okinawa



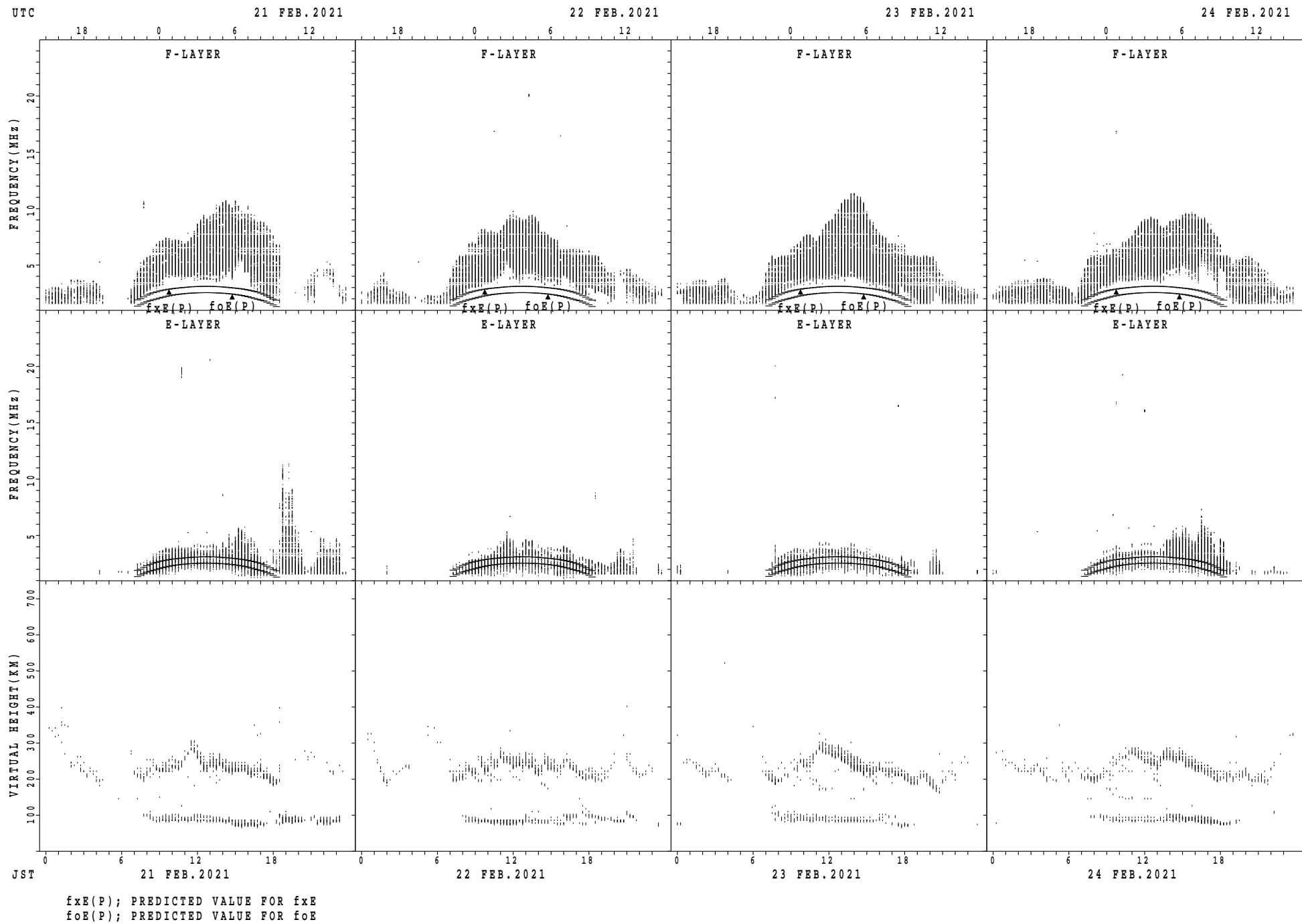
SUMMARY PLOTS AT Okinawa



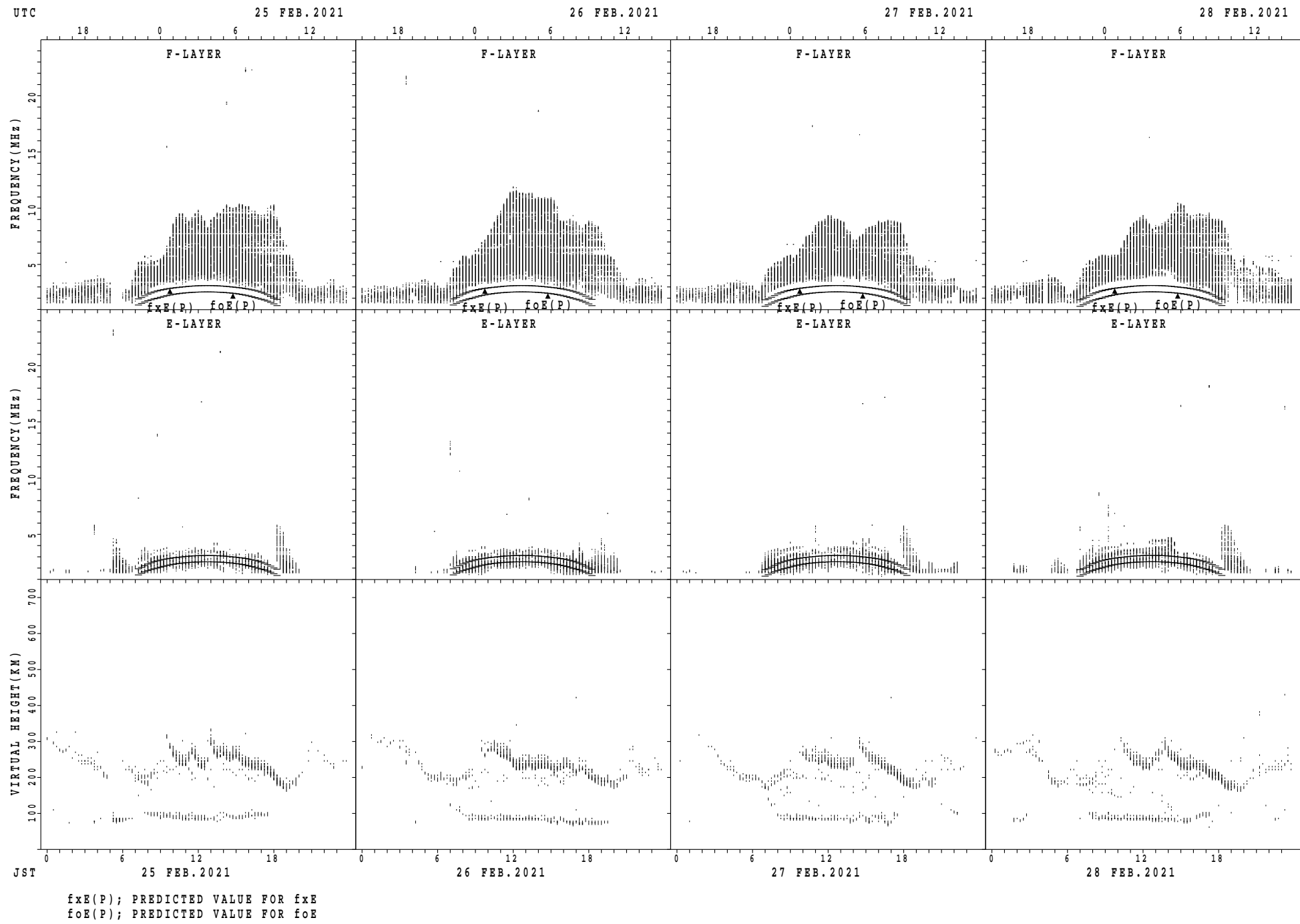
SUMMARY PLOTS AT Okinawa



SUMMARY PLOTS AT Okinawa



SUMMARY PLOTS AT Okinawa



MONTHLY MEDIAN OF h'F AND h'Es
 FEB. 2021 135E MEAN TIME(UTC+9H) AUTOMATIC SCALING

h'F STATION Wakkanai LAT. 45°10.0'N LON. 141°45.0'E

	00	01	02	03	04	05	06	07	08	09	10	11	12	13	14	15	16	17	18	19	20	21	22	23
CNT									3	8	8	3	1	7	7	6	4							
MED									218	224	224	250	242	224	240	219	208							
U_Q									230	243	238	256	121	232	250	232	216							
L_Q									202	218	216	224	121	218	232	214	205							

h'Es

	00	01	02	03	04	05	06	07	08	09	10	11	12	13	14	15	16	17	18	19	20	21	22	23
CNT	16	19	19	14	15	15	14	25	28	28	28	28	28	28	28	28	26	16	18	18	19	20	18	17
MED	98	98	96	98	96	98	98	98	98	98	100	98	98	99	98	98	96	98	98	98	98	98	98	98
U_Q	98	98	98	98	98	98	98	100	100	100	100	100	100	100	100	100	98	98	98	98	98	98	98	98
L_Q	96	98	96	98	96	98	98	98	98	98	98	98	98	98	98	98	93	96	96	96	96	96	96	95

h'F STATION Kokubunji LAT. 35°43.0'N LON. 139°29.0'E

	00	01	02	03	04	05	06	07	08	09	10	11	12	13	14	15	16	17	18	19	20	21	22	23
CNT									10	12	3					2	10	8	4					
MED									218	229	258					230	241	231	222					
U_Q									242	245	288					238	252	239	247					
L_Q									216	218	210					222	232	227	216					

h'Es

	00	01	02	03	04	05	06	07	08	09	10	11	12	13	14	15	16	17	18	19	20	21	22	23
CNT	9	11	12	10	8	9	5	14	28	28	28	28	27	28	28	28	28	14	19	15	15	18	15	12
MED	96	96	98	98	98	98	98	98	98	98	98	98	98	96	98	98	98	98	98	98	98	96	96	96
U_Q	97	98	98	98	98	99	99	98	125	98	100	99	99	98	98	100	98	98	100	98	98	98	98	97
L_Q	94	96	97	98	91	98	97	98	97	97	96	96	96	96	97	97	96	94	94	96	96	94	95	95

h'F STATION Yamagawa LAT. 31°12.0'N LON. 130°37.0'E

	00	01	02	03	04	05	06	07	08	09	10	11	12	13	14	15	16	17	18	19	20	21	22	23
CNT									4	5	4					7	10	3	3					
MED									213	238	259					224	232	234	216					
U_Q									217	255	266					244	244	258	220					
L_Q									208	232	239					214	224	218	212					

h'Es

	00	01	02	03	04	05	06	07	08	09	10	11	12	13	14	15	16	17	18	19	20	21	22	23
CNT	13	14	12	10	10	10	8	11	26	27	25	24	24	24	23	23	23	23	20	21	17	17	16	14
MED	96	96	96	96	97	98	97	98	98	100	98	98	98	98	98	98	98	98	98	96	96	96	96	96
U_Q	98	98	98	96	98	98	98	98	100	100	100	100	98	98	98	98	98	98	98	98	98	98	98	98
L_Q	94	96	96	94	96	98	96	96	98	98	98	98	96	97	96	96	94	94	95	96	93	94	94	94

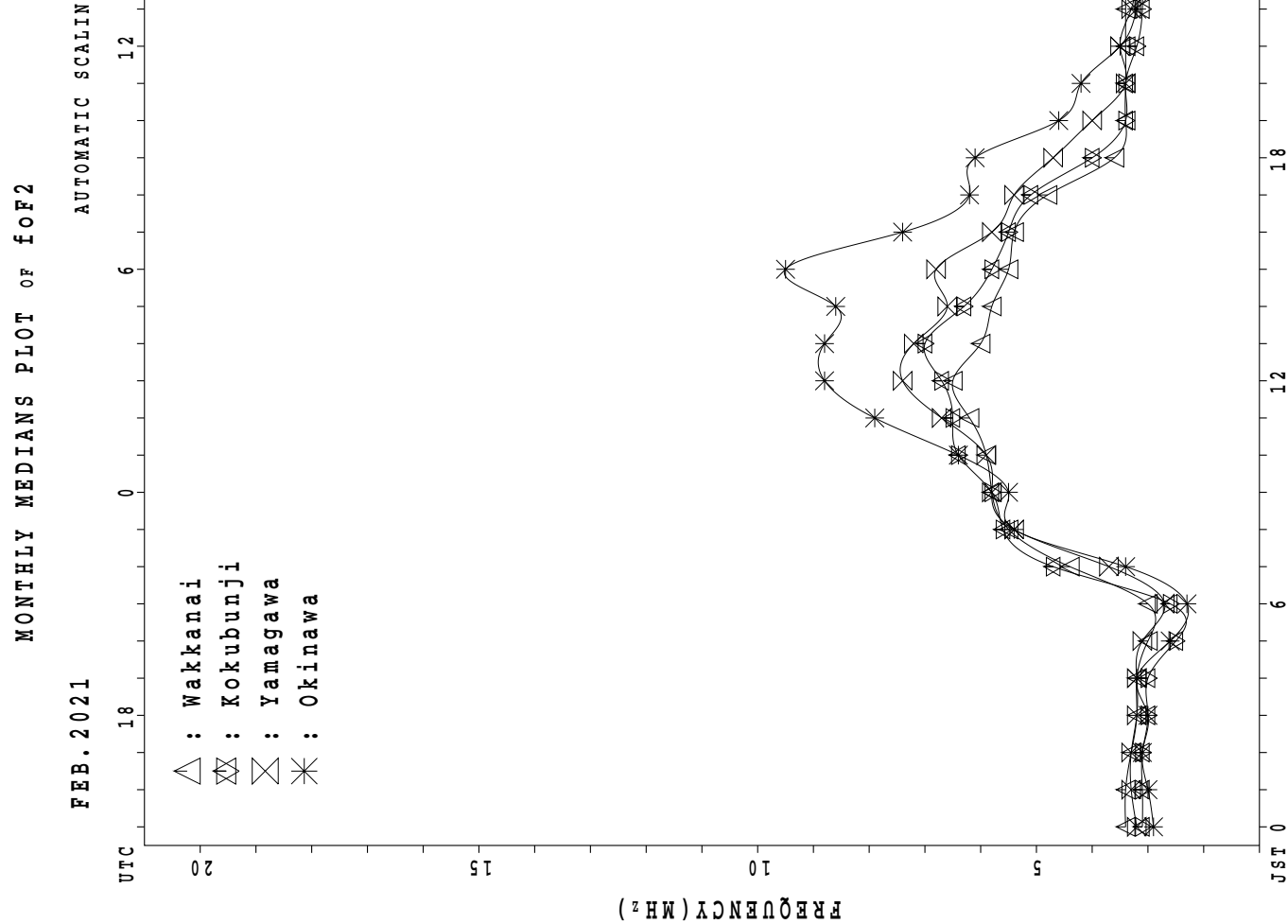
MONTHLY MEDIAN S OF h'F AND h'Es
 FEB. 2021 135E MEAN TIME(UTC+9H) AUTOMATIC SCALING

h'F STATION Okinawa LAT. 26°41.0'N LON. 128°09.0'E

	00	01	02	03	04	05	06	07	08	09	10	11	12	13	14	15	16	17	18	19	20	21	22	23
CNT										3	9						20	14	9	1				
MED									250	248							226	217	204	200				
U Q									282	275							232	236	211	100				
L Q									240	218							211	216	196	100				

h'Es

	00	01	02	03	04	05	06	07	08	09	10	11	12	13	14	15	16	17	18	19	20	21	22	23
CNT	17	13	11	9	11	11	14	15	28	28	25	25	24	24	24	25	26	26	27	27	24	18	16	17
MED	96	96	98	96	96	98	96	98	98	98	98	98	98	96	97	96	96	96	96	94	96	96	95	96
U Q	96	97	98	98	98	98	98	98	98	100	98	98	98	98	98	98	98	98	98	98	98	98	98	97
L Q	93	95	94	93	96	92	96	94	98	98	96	95	96	95	95	94	94	94	92	90	94	92	93	94



IONOSPHERIC DATA STATION Wakkanai

FEB. 2021 fxI (0.1MHz)

135°E MEAN TIME (G.M.T. + 9 H)

LAT. 45°10.0'N LON. 141°45.0'E SWEEP 1.0MHz TO 30.0MHz IN 15.0SEC IN MANUAL SCALING

H D	00	01	02	03	04	05	06	07	08	09	10	11	12	13	14	15	16	17	18	19	20	21	22	23
1	45	45	54	56	50	54													X	X	X	X	X	X
			X	X	X	X	X											39	39	40	39	37	39	
2	53	37	34	33	34	36													X	X	X	X	X	X
			X	X	X	X	X											61	41	41	43	44	44	
3	46	45	46	42	43	29													X	X	X	X	X	X
			X	X	X	X	X											47	34	41	41	41	43	
4	45	44	40	42	41	39													X	X	X	X	X	X
			X	X	X	X	X											38	41	43	42	42	42	
5	43	41	39	39	36	35													X	X	X	X	X	X
			X	X	X	X	X											34	32	38	41	40	41	
6	43	43	43	42	39	36													X	X	X	X	X	X
			X	X	X	X	X											39	41	35	36	39	41	
7	42	40	40	40	41	37													X	X	X	X	X	X
			X	X	X	X	X											38	31	38	38	41	45	
8	37	35	37	36	38	36													X	X	X	X	X	X
			X	X	X	X	X											34	36	38	36	37	38	
9	39	39	39	35	33	33													X	X	X	X	X	X
			X	X	X	X	X											38	39	43	43	47	55	
10	57	48	50	54	50	55													X	X	X	X	X	X
			X	X	X	X	X											38	37	37	41	49		
11	48		44	44	43	43													X	X	X	X	X	X
			X	X	X	X	X											36	39	41	39	41	41	
12	39	43	48	40	40	37													X	X	X	X	X	X
			X	X	X	X	X											37	40	38	39	41		
13	40	42	42	39	39	38													X	X	X	X	X	X
			X	X	X	X	X											41	41	40	41	40		
14	39	39	37	36	37	35													X	X	X	X	X	X
			X	X	X	X	X											33	35	35	38	39		
15	42	42	43	43	41	42													X	X	X	X	X	X
			X	X	X	X	X											36	36	41	40	41		
16	41	41	39	38	37	36													X	X	X	X	X	X
			X	X	X	X	X											52	38	41	37	38		
17	39	39	39	40	41	41													X	X	X	X	X	X
			X	X	X	X	X											36	42	40	41	42		
18	44	45	43	41	41	36													X	X	X	X	X	X
			X	X	X	X	X											41	43	47	45	45		
19	45	45	41	38	40	39													X	X	X	X	X	X
			X	X	X	X	X											41	41	40	42	45		
20	43	43	43	39	42	36													X	X	X	X	X	X
			X	X	X	X	X											51	46	42	45	48		
21	37	38	39	40	31	33													X	X	X	X	X	X
			X	X	X	X	X											51	43	40	43	43		
22	44	41	44	42	37	35													X	X	X	X	X	X
			X	X	X	X	X											45	45	44	44	44		
23	41	39	39	38	38	37													X	X	X	X	X	X
			X	X	X	X	X											52	48	46	45	42		
24	43	44	44	42	42	39													X	X	X	X	X	X
			X	X	X	X	X											51	42	46	43	44		
25	44	45	45	43	40	41													X	X	X	X	X	X
			X	X	X	X	X											46	45	59	56	52		
26	46	44	44	44	50	44													X	X	X	X	X	X
			X	X	X	X	X											43	42	42	44	44		
27	44	54	45	42	39	39													X	X	X	X	X	X
			X	X	X	X	X											47	45	45	44	41		
28	41	39	40	37	38	38													X	X	X	X	X	X
			X	X	X	X	X											41	43	35	39	39		
29																								
30																								
31																								
	00	01	02	03	04	05	06	07	08	09	10	11	12	13	14	15	16	17	18	19	20	21	22	23
CNT	28	27	28	28	28	28													11	28	28	28	28	28
MED	43	42	42	40	40	37													X	X	X	X	X	X
U Q	45	45	44	42	42	40													38	41	41	41	41	42
L Q	40	39	39	38	38	36													X	X	X	X	X	X

FEB. 2021 fxI (0.1MHz)

NATIONAL INSTITUTE OF INFORMATION AND COMMUNICATIONS TECHNOLOGY, JAPAN

IONOSPHERIC DATA STATION Wakkanai

FEB. 2021 foF2 (0.1MHz) 135°E MEAN TIME (G.M.T. + 9 H)

LAT. 45°10.0'N LON. 141°45.0'E SWEEP 1.0MHz TO 30.0MHz IN 15.0SEC IN MANUAL SCALING

H D	00	01	02	03	04	05	06	07	08	09	10	11	12	13	14	15	16	17	18	19	20	21	22	23	
1	F	F	F	F	F	F	28	27	40	51	53	53	54	59	54	52	54	47	30	32	32	33	32	30	32
2	F	34	30	27	26	27	29	26	40	54	52	53	58	66	56	53	54	50	46	54	34	34	36	37	37
3	39	38	39	36	36	22	25	42	64	57	57	69	69	59	54	54	52	44	40	27	34	34	34	36	
4	38	37	33	35	34	32	27	42	47	52	58	60	61	70	61	56	60	40	31	34	36	35	35	35	
5	36	34	32	32	29	28	26	41	55	58	56	60	67	61	52	58	47	36	27	25	31	34	33	34	
6	36	36	36	35	32	29	26	39	60	60	52	58	59	54	50	53	47	40	32	34	28	29	32	34	
7	35	33	33	33	34	30	30	38	54	56	53	62	68	74	70	61	58	47	31	24	31	31	34	38	
8	30	28	30	29	31	29	28	46	56	62	63	62	65	62	58	63	50	44	27	29	31	29	30	31	
9	32	32	32	28	26	26	24	39	49	57	62	64	64	57	57	54	56	42	31	32	36	36	40	43	
10	F	43	41	43	42	F	48	30	46	52	52	58	60	76	64	59	61	56	47	31	30	30	30	34	34
11	F	31	35	37	37	36	36	31	43	58	65	58	63	63	55	55	50	51	43	29	32	34	32	34	34
12	32	36	F	33	33	30	27	45	55	64	60	56	55	58	54	52	48	41	34	30	33	31	32	34	
13	33	35	35	32	32	31	30	46	60	58	55	62	58	55	59	51	58	48	32	34	34	33	34	33	
14	32	33	30	29	30	28	25	50	58	59	71	63	56	52	55	55	54	51	36	26	28	28	31	32	
15	35	35	36	36	34	29	26	45	56	62	60	65	60	54	52	51	46	44	31	29	29	34	33	34	
16	34	34	32	31	30	29	31	40	51	56	58	62	71	55	58	56	48	49	43	45	31	34	30	31	
17	32	32	32	33	34	34	39	48	51	60	58	60	77	64	55	56	55	49	29	29	35	33	34	35	
18	37	38	36	34	34	29	30	51	50	52	65	59	68	57	57	55	58	48	37	34	36	40	38	38	
19	38	38	34	31	33	32	34	52	51	68	56	63	64	56	55	54	50	53	36	34	34	33	35	38	
20	F	36	32	32	32	35	29	25	42	46	68	60	81	81	68	59	55	55	56	50	44	39	35	38	32
21	A	30	31	32	33	24	26	40	47	58	58	62	60	60	56	60	61	50	41	44	36	33	36	36	
22	37	34	37	35	30	28	32	48	55	56	58	62	62	65	55	56	52	44	39	38	38	37	37	37	
23	34	32	32	31	31	30	30	44	50	57	62	70	64	58	64	60	61	57	41	45	41	39	38	35	
24	36	37	37	35	35	32	36	51	59	58	64	67	67	64	60	62	61	50	44	44	35	39	36	37	
25	37	38	38	36	33	34	36	43	51	52	56	65	70	71	65	64	62	58	42	39	38	41	37		
26	39	37	37	37	37	37	35	48	55	58	61	61	60	65	62	62	56	55	36	36	35	37	37		
27	F	37	34	32	32	32	34	53	64	63	62	61	74	68	63	56	56	52	38	40	38	38	37	34	
28	F	34	32	30	30	31	31	34	49	61	59	61	56	65	62	58	58	56	51	38	34	36	32	32	
29																									
30																									
31																									
	00	01	02	03	04	05	06	07	08	09	10	11	12	13	14	15	16	17	18	19	20	21	22	23	
CNT	27	27	27	28	27	28	27	28	28	28	28	28	28	28	28	28	28	28	28	28	28	27	28	28	
MED	35	34	34	33	32	30	30	44	54	58	58	62	64	60	57	56	55	48	36	34	34	34	34	34	
U Q	37	37	37	36	34	32	34	48	58	61	62	64	68	64	60	60	58	51	40	38	36	36	37	37	
L Q	32	32	32	31	30	28	26	40	51	56	56	60	60	56	54	54	50	44	31	30	31	31	32	34	

FEB. 2021 foF2 (0.1MHz)

NATIONAL INSTITUTE OF INFORMATION AND COMMUNICATIONS TECHNOLOGY, JAPAN

IONOSPHERIC DATA STATION Wakkanai

FEB. 2021 foF1 (0.01MHz)

135°E MEAN TIME (G.M.T. + 9 H)

LAT. 45°10.0'N LON. 141°45.0'E SWEEP 1.0MHz TO 30.0MHz IN 15.0SEC IN MANUAL SCALING

H D	00	01	02	03	04	05	06	07	08	09	10	11	12	13	14	15	16	17	18	19	20	21	22	23		
1										L	L	L	L	L	L											
2									276		L	392	280		L	L										
3										L	L	L		L	L	L	L									
4										L	L	L	L	L	L	L	L									
5										L	L	L	L		380	352		L								
6								L		L	L	L		392	364		L	L								
7										L	L	L	L	L	L	388		L								
8										L	L	L	L	L	L	L	L	L	L	L	L	L	L			
9										L	L	L	L	L	L	L	L	L	L							
10										L		L	L	L	L	L	L	L	L	L	L	L	L			
11										L	L			L	L	L										
12										L	L	L		404	404	404		L	L							
13										L	L		L	L	L	L										
14										L	L	L	L	L	L	L										
15										L	L		396	408	384		L									
16								L		L		L	L	L	L	L	L									
17									L	L		420		L	L	L	L	L								
18								L		L			436	292			L	L								
19									L	420	448			L	300	272										
20									L	L	L	L		420	396		296	292								
21								A		L	L	L	L		400		L	L	L							
22									332	380		L	L		412		L	L	L							
23										L	L	L	L		400		L	L	256							
24									L	L	L	L		412		412		L								
25										L		L		428	380			L	L		184					
26										L	L	L	L	L	L	L										
27										L	L	L	L	L		416		L		L						
28									L	388		L	L	L	L	L	L									
29																										
30																										
31																										
	00	01	02	03	04	05	06	07	08	09	10	11	12	13	14	15	16	17	18	19	20	21	22	23		
CNT											1	2	5	6	9	13	3	1	2	1						
MED										332	384	392	414	408	384	352	296	274	184							
U Q											412	420	424	402	388											
L Q											334	404	398	332	272											

FEB. 2021 foF1 (0.01MHz)

NATIONAL INSTITUTE OF INFORMATION AND COMMUNICATIONS TECHNOLOGY, JAPAN

IONOSPHERIC DATA STATION Wakkanai

FEB. 2021 foE (0.01MHz)

135°E MEAN TIME (G.M.T. + 9 H)

LAT. 45°10.0'N LON. 141°45.0'E SWEEP 1.0MHz TO 30.0MHz IN 15.0SEC IN MANUAL SCALING

H D	00	01	02	03	04	05	06	07	08	09	10	11	12	13	14	15	16	17	18	19	20	21	22	23				
1								B	192	208	244	268	280	280	268	256	232	180										
2								B	A	208	252	280	280	292	292	272	220	200										
3										A																		
4											208	220	220	280	280	292	276	276	220	212	204							
5											B	224	184	252	268	268	272	292	260	224	196							
6											B	216	204	264	276	272	312	284	260	220		A	A					
7											B	B	216	260	268	268	280	280	252	232	216							
8												204	244	272	280	280	272	244	216	188								
9												A	192	224	248	272	272	280	288		236	204	216					
10												A	188	208	244	284	284	284	284	268	252	184						
11													196	188	236	276	296	304	288	264	252	176						
12												B	176	228	272	272	296	304	288	288	280	248	180					
13												B	248	232	252	276	288	288	288	280	248			B				
14													172	228	228	268	276	300	300	288	256	244	200					
15													184	184	248	264	A	A	284	284	272	236	200					
16													208	188	260	300	300	292	288	284	252			A	A			
17													B	184	256	268	284	300	288	288	276	244	216					
18													A	A	252	264	296	304	284	264	236	192			A	B		
19													B	180	224	268	284	284	284	296	268	248	192					
20														184	164	244	264	280	280	304	296	276	244	208				
21													B	216	256	272	272	284	284	284	268	240	208					
22														A	192	236	260	272	288	308	280	276	240	200			B	B
23													B	188	244	268	284	284	304	292	276	236	200			B	B	
24													B	196	228	260	280	300	300	304	284	268	220					
25													B	216	248	260	260	308	324	300	284	264	228	168				
26														A	204	248	252	276	304	304	304	280	256	196			B	B
27														B	216	264	280	292	284	274	292	284	256	224	176			
28														B	220	232	256	292	304	304	296	276	244	224	176			
29														B	204	236	272	296	312	312	312	296	272	240	204			
30																												
31																												
	00	01	02	03	04	05	06	07	08	09	10	11	12	13	14	15	16	17	18	19	20	21	22	23				
CNT									8	20	26	27	24	27	28	28	26	28	26	4	1							
MED									190	200	228	260	276	284	292	288	274	242	200	190	204							
U Q									202	220	244	264	282	300	304	296	280	250	216	210								
L Q									184	186	208	252	272	280	284	284	264	234	192	172								

FEB. 2021 foE (0.01MHz)

NATIONAL INSTITUTE OF INFORMATION AND COMMUNICATIONS TECHNOLOGY, JAPAN

IONOSPHERIC DATA STATION Wakkanai

FEB. 2021 foEs (0.1MHz) 135°E MEAN TIME (G.M.T. + 9 H)

LAT. 45°10.0'N LON. 141°45.0'E SWEEP 1.0MHz TO 30.0MHz IN 15.0SEC IN MANUAL SCALING

H D	00	01	02	03	04	05	06	07	08	09	10	11	12	13	14	15	16	17	18	19	20	21	22	23															
1	28	29	16	16	E	B	E	J	A	E	B	G	30	35	G	G	32	32	30	30	26	21	E	B	E	B													
2	51	16	20	16	E	B	E	B	J	A	G	G	G	32	55	J	A	G	G	G	16	E	B	E	B														
3	25	27	27	25	J	A	J	A	J	A	J	A	J	45	41	36	35	29	J	A	J	A	J	A	J	A													
4	26	26	30	31	J	A	E	B	G	J	A	24	27	29	32	32	30	27	J	A	G	E	B	E	J	A													
5	22	19	20	23	20	22	20	28	31	28	30	33	56	29	28	25	27	30	28	16	21	21	16	20	E	B													
6	16	16	16	16	E	B	E	B	E	B	E	B	16	16	24	26	29	29	28	28	28	26	30	26	16	16	22	26	18	20									
7	16	16	32	19	E	B	E	B	E	B	E	B	16	16	16	23	28	28	28	31	30	28	25	21	25	21	23	21	20	20	16								
8	21	23	19	19	J	A	J	A	J	A	J	A	G	30	28	30	40	32	J	A	G	G	G	J	A	J	A	J	A	J	A	7	20						
9	16	16	24	16	E	B	E	J	A	G	J	A	J	45	19	20	27	38	30	59	34	32	53	34	26	22	16	16	16	16	22	26							
10	29	26	23	23	J	A	J	A	J	A	J	A	J	24	27	20	25	35	45	33	30	37	32	29	26	20	26	49	45	25	29	29	33						
11	32	22	25	16	J	A	E	B	J	A	E	B	G	27	27	16	26	40	33	33	41	50	29	G	J	A	J	A	E	B	J	A	J	A					
12	24	16	19	19	J	A	E	B	J	A	J	A	J	83	16	21	28	25	87	33	34	32	32	28	26	22	16	16	16	16	19	16	23	23					
13	16	20	19	15	E	B	E	B	J	A	J	A	J	71	16	19	30	26	31	29	31	31	30	29	35	30	27	16	16	24	22	24	19						
14	16	19	22	16	E	B	E	B	J	A	J	A	G	20	16	17	22	24	28	34	40	32	36	30	26	26	26	24	42	32	23	24	24						
15	16	27	33	27	J	A	G	J	A	J	A	G	J	27	34	22	22	32	50	29	62	30	30	53	31	29	24	30	60	53	32	16	16	16					
16	16	16	16	16	E	B	E	B	E	B	E	B	J	16	16	16	16	22	35	27	41	34	33	56	27	J	A	J	A	J	A	J	A	25					
17	48	35	31	22	J	A	J	A	E	B	J	A	J	22	16	28	21	25	26	34	29	30	34	32	71	26	J	A	J	A	J	E	B	E	E				
18	26	32	23	25	J	A	J	A	E	B	J	A	J	25	16	16	20	25	29	34	38	32	33	37	23	16	16	16	16	16	16	23	23						
19	25	24	25	34	J	A	J	A	J	A	J	A	J	24	22	31	22	22	25	30	32	32	36	G	G	29	G	E	B	J	A	J	A	E	B				
20	16	18	27	16	E	B	E	B	J	A	J	A	J	16	16	24	23	23	24	28	32	32	107	31	28	25	21	51	39	20	16	16	63	16					
21	24	24	16	16	E	B	E	B	J	A	J	A	J	16	16	16	24	41	31	31	27	28	28	31	33	29	29	22	17	15	21	19	21	32	19				
22	16	16	16	16	E	B	E	B	J	A	J	A	G	20	16	20	20	29	30	27	29	34	29	29	28	27	73	16	17	31	18	20	58	16					
23	16	16	16	16	E	B	E	B	E	B	E	B	G	16	16	16	16	20	26	28	33	33	31	28	29	17	16	25	22	16	16	16	16	16					
24	16	18	23	20	J	A	E	B	E	B	J	A	J	16	16	31	16	29	31	35	31	32	32	31	31	30	24	19	16	23	16	25	34	27					
25	24	41	28	27	J	A	J	A	E	B	J	A	J	22	16	16	21	31	45	41	32	37	31	30	29	23	15	31	24	20	21	19	25						
26	30	16	16	20	E	B	E	B	J	A	J	A	J	16	16	16	29	21	27	27	30	32	32	30	35	26	J	A	G	E	B	E	E	B	E	B			
27	16	16	16	16	E	B	E	B	E	B	E	B	J	16	16	16	16	16	23	26	29	30	32	33	30	29	23	20	16	16	16	16	16	16	16				
28	21	24	20	26	E	B	E	B	E	B	J	A	J	15	15	16	16	61	27	29	32	37	32	42	29	29	24	17	28	20	22	21	20	16					
29																																							
30																																							
31																																							
	00	01	02	03	04	05	06	07	08	09	10	11	12	13	14	15	16	17	18	19	20	21	22	23															
CNT	28	28	28	28	28	28	28	28	28	28	28	28	28	28	28	28	28	28	28	28	28	28	28	28	28	28	28	28	28	28	28	28	28	28	28	28	28	28	28
MED	22	20	21	19	20	18	20	22	26	29	32	32	32	30	30	26	20	19	23	22	20	22	20	22	20	22	20	22	20	22	20	22	20	22	20	22	20	22	20
U Q	J	A	J	A	J	A	J	A	J	A	J	A	G	J	A	J	A	J	A	J	A	J	A	J	A	J	A	J	A	J	A	J	A	J	A	J	A		
L Q	E	B	E	B	E	B	E	B	E	B	E	B	G	16	16	16	16	16	25	28	29	32	32	30	28	25	22	16	16	16	16	16	16	16	16	16	17	16	

FEB. 2021 foEs (0.1MHz)

NATIONAL INSTITUTE OF INFORMATION AND COMMUNICATIONS TECHNOLOGY, JAPAN

IONOSPHERIC DATA STATION Wakkanai

FEB. 2021 fbEs (0.1MHz) 135°E MEAN TIME (G.M.T. + 9 H)

LAT. 45°10.0'N LON. 141°45.0'E SWEEP 1.0MHz TO 30.0MHz IN 15.0SEC IN MANUAL SCALING

H D	00	01	02	03	04	05	06	07	08	09	10	11	12	13	14	15	16	17	18	19	20	21	22	23	
1	E 16	B 16	G 20	G 22	G 30	G 31	G 28	G 28	G 24	G 20	E 16	B 16													
2	E 16	B 16	G 30	G 29	G 26	G 26	G 28	G 28	G 23	G 20	E 16	B 16													
3	E 16	B 16	G 22	G 26	G 28	G 28	G 26	G 25	G 23	G 20	G 18	G 20	G 16	G 16	G 16	G 16	E 16	B 16							
4	E 16	B 16	G 19	G 25	G 27	G 30	G 29	G 29	G 24	G 23	G 16	G 16	E 16	B 16	E 16	B 16	E 16	B 16							
5	E 16	B 16	G 24	G 25	G 28	G 29	G 32	G 28	G 26	G 24	G 21	E 16	B 16												
6	E 16	B 16	G 23	G 24	G 26	G 27	G 28	G 28	G 26	G 24	G 21	E 16	B 16												
7	E 16	B 16	G 23	G 26	G 27	G 26	G 30	G 30	G 27	G 24	G 18	E 16	B 16												
8	E 16	B 16	G 24	G 24	G 28	G 28	G 27	G 26	G 25	G 22	G 20	E 16	B 16												
9	E 16	B 16	G 22	G 24	G 28	G 32	G 30	G 29	G 31	G 24	G 20	E 16	B 16												
10	E 16	B 16	G 19	G 26	G 29	G 27	G 35	G 29	G 26	G 25	G 19	G 21	G 20	G 20	G 16	G 16	G 16	G 16							
11	E 16	B 16	G 24	G 28	G 28	G 30	G 29	G 27	G 28	G 22	G 34	E 16	B 16												
12	E 16	B 16	G 21	G 25	G 29	G 32	G 30	G 28	G 26	G 25	G 20	E 16	B 16												
13	E 16	B 16	G 22	G 26	G 28	G 30	G 28	G 28	G 23	G 20	E 16														
14	E 16	B 16	G 23	G 25	G 28	G 31	G 29	G 27	G 28	G 26	G 24	E 16													
15	E 16	B 16	E 17	B 20	E 18	B 16	E 16	B 20	G 22	G 26	G 30	G 29	G 30	G 27	G 28	G 27	G 22	G 25	G 21	G 22	G 16	G 16	G 16	G 16	
16	E 16	B 16	E 16	B 16	E 16	B 16	E 16	B 16	G 20	G 26	G 26	G 28	G 32	G 32	G 29	G 26	G 18	G 18	G 18	G 16					
17	E 16	B 16	G 21	G 23	G 26	G 26	G 28	G 32	G 29	G 28	G 19	E 16													
18	E 16	B 16	E 16	B 18	E 16	B 16	E 15	B 16	G 22	G 27	G 32	G 34	G 30	G 29	G 25	G 23	E 16								
19	E 16	B 16	G 21	G 24	G 29	G 30	G 30	G 34	G 27	G 16	E 16														
20	E 16	B 16	E 16	B 16	E 16	B 16	E 16	B 17	G 19	G 19	G 21	G 27	G 30	G 30	G 30	G 26	G 23	G 20	E 16						
21	E 16	B 16	G 41	G 18	G 21	G 25	G 26	G 28	G 28	G 27	G 20	E 17	E 15	E 16											
22	E 16	B 16	G 18	G 23	G 26	G 27	G 32	G 29	G 29	G 26	G 19	E 16	E 17	E 16											
23	E 16	B 16	G 20	G 25	G 28	G 32	G 32	G 30	G 29	G 26	G 20	E 17	E 16												
24	E 16	B 16	G 20	G 28	G 25	G 28	G 29	G 29	G 29	G 26	G 22	E 16													
25	E 16	B 21	E 19	B 16	E 16	B 16	E 16	B 18	G 24	G 34	G 30	G 30	G 30	G 29	G 29	G 26	G 20	E 15	E 16						
26	E 16	B 16	G 26	G 26	G 30	G 31	G 30	G 29	G 28	G 25	G 17	E 16													
27	E 16	B 16	G 22	G 26	G 28	G 28	G 30	G 30	G 28	G 26	G 22	E 18	E 16												
28	E 16	B 16	E 16	B 16	E 15	B 15	E 16	B 20	G 27	G 28	G 30	G 33	G 30	G 30	G 28	G 26	G 21	E 17	E 17	E 16					
29																									
30																									
31																									
CNT	28	28	28	28	28	28	28	28	28	28	28	28	28	28	28	28	28	28	28	28	28	28	28	28	
MED	E 16	B 16	G 18	G 23	G 26	G 28	G 30	G 29	G 28	G 25	G 20	E 16													
U Q	E 16	B 16	G 20	G 24	G 27	G 30	G 32	G 30	G 28	G 28	G 17	E 16													
L Q	E 16	B 16	G 22	G 25	G 28	G 28	G 29	G 28	G 28	G 26	G 20	E 16													

FEB. 2021 fbEs (0.1MHz)

NATIONAL INSTITUTE OF INFORMATION AND COMMUNICATIONS TECHNOLOGY, JAPAN

IONOSPHERIC DATA STATION Wakkanai

FEB. 2021 fmin (0.1MHz)

135°E MEAN TIME (G.M.T. + 9 H)

LAT. 45°10.0'N LON. 141°45.0'E SWEEP 1.0MHz TO 30.0MHz IN 15.0SEC IN MANUAL SCALING

H D	00	01	02	03	04	05	06	07	08	09	10	11	12	13	14	15	16	17	18	19	20	21	22	23
1	16	16	16	16	16	16	16	16	16	15	16	16	18	16	15	16	14	16	16	16	16	16	16	16
2	16	16	16	16	16	16	16	16	16	16	16	16	15	16	15	12	13	16	16	16	16	16	16	16
3	16	16	16	16	16	16	16	16	14	12	15	16	11	17	15	16	15	16	16	16	16	16	16	16
4	16	16	16	16	16	16	16	16	15	16	12	13	15	14	15	15	16	16	16	16	16	16	16	16
5	16	16	16	16	16	16	16	16	16	16	12	15	16	16	16	14	15	16	16	16	16	16	16	16
6	16	16	16	16	16	16	16	16	16	15	12	14	12	15	15	15	15	16	16	16	16	16	16	16
7	16	16	16	16	16	16	16	16	15	17	13	16	14	13	16	16	16	16	16	15	16	16	16	16
8	16	16	16	16	16	16	16	16	15	13	16	16	12	14	12	11	11	16	16	16	16	16	16	16
9	16	16	16	16	16	16	16	16	16	14	15	15	14	16	15	15	15	16	16	16	16	16	16	16
10	16	16	16	16	16	16	16	16	12	12	13	12	14	14	14	14	14	15	16	16	16	16	16	16
11	16	16	16	16	16	16	16	16	14	14	14	16	14	14	14	16	15	16	16	16	16	16	16	16
12	16	16	16	16	16	16	16	16	16	13	14	14	14	14	11	15	16	16	16	16	16	16	16	16
13	16	16	16	15	16	16	16	16	16	15	15	16	14	12	10	16	15	16	16	16	16	16	16	16
14	16	16	16	16	16	16	16	14	13	11	14	13	13	14	14	13	13	14	16	16	16	16	16	16
15	16	16	16	16	16	16	16	16	15	16	16	15	14	15	14	14	16	15	15	15	16	16	16	16
16	16	16	16	16	16	16	16	16	16	15	15	15	15	14	14	15	16	12	16	16	16	16	16	16
17	16	16	16	16	16	16	16	16	16	14	14	16	16	13	11	15	10	16	16	16	16	16	16	16
18	16	16	16	16	14	15	16	14	14	16	14	15	15	16	16	14	12	16	16	16	16	16	16	16
19	16	16	16	16	16	16	16	16	16	16	16	15	14	16	15	16	14	16	16	16	16	16	16	16
20	16	16	16	16	16	16	16	16	15	15	14	14	15	15	14	14	16	16	16	16	16	16	16	16
21	16	16	16	16	16	16	16	16	16	16	15	14	16	15	15	13	16	17	15	16	16	16	16	16
22	16	16	16	16	16	16	16	16	15	15	14	16	16	14	14	13	12	16	17	16	16	16	16	16
23	16	16	16	16	16	16	16	16	14	15	15	16	16	16	16	16	16	17	16	16	16	16	16	16
24	16	16	16	16	16	16	16	16	16	15	16	14	16	16	15	15	16	14	16	16	16	16	16	16
25	15	16	16	16	16	16	16	15	16	17	16	16	17	16	14	14	14	15	16	16	16	16	16	16
26	16	16	16	16	16	16	16	16	16	16	16	16	16	16	15	16	16	16	17	16	16	16	16	16
27	16	16	16	16	16	16	16	16	16	16	16	16	16	16	16	16	16	14	14	16	16	16	16	16
28	16	16	15	15	15	15	16	15	14	14	14	15	15	15	17	15	14	17	16	16	16	16	16	16
29																								
30																								
31																								
	00	01	02	03	04	05	06	07	08	09	10	11	12	13	14	15	16	17	18	19	20	21	22	23
CNT	28	28	28	28	28	28	28	28	28	28	28	28	28	28	28	28	28	28	28	28	28	28	28	28
MED	16	16	16	16	16	16	16	16	15	15	15	15	15	15	15	15	16	16	16	16	16	16	16	16
U Q	16	16	16	16	16	16	16	16	16	16	16	16	16	16	16	16	16	16	16	16	16	16	16	16
L Q	16	16	16	16	16	16	16	16	14	14	14	14	14	14	14	14	14	16	16	16	16	16	16	16

FEB. 2021 fmin (0.1MHz)

NATIONAL INSTITUTE OF INFORMATION AND COMMUNICATIONS TECHNOLOGY, JAPAN

IONOSPHERIC DATA STATION Wakkanai

FEB. 2021 M(3000)F2 (0.01) 135°E MEAN TIME (G.M.T. + 9 H)

LAT. 45°10.0'N LON. 141°45.0'E SWEEP 1.0MHz TO 30.0MHz IN 15.0SEC IN MANUAL SCALING

H D	00	01	02	03	04	05	06	07	08	09	10	11	12	13	14	15	16	17	18	19	20	21	22	23		
1	F	F	F	F	F	F	298	391	404	378	352	376	376	375	375	371	370	346	336	342	341	326	314	312		
2	F	273	340	312	263	302	301	314	371	387	378	339	358	368	375	335	376	356	331	364	344	339	290	289	303	
3	321	309	340	339	370	328	328	362	388	363	356	368	362	379	364	363	363	342	366	327	325	305	332	313		
4	306	317	317	316	328	309	368	384	397	381	375	340	351	353	378	355	381	353	329	329	300	305	305	305		
5	304	350	336	327	328	328	327	375	391	349	364	363	363	362	365	380	365	352	336	319	318	310	310	310		
6	340	312	345	322	322	321	344	357	377	375	375	351	364	377	365	372	371	370	342	352	351	311	311	311		
7	315	314	313	313	289	288	336	369	380	380	355	354	330	354	354	368	367	372	371	317	310	310	292	350		
8	382	333	332	308	307	307	347	385	349	348	358	367	367	387	363	378	357	369	343	342	341	340	288	304		
9	281	300	299	302	301	314	372	387	354	362	362	361	391	342	356	366	391	354	342	336	368	306	315	317		
10	F	343	327	307	283	F	365	314	368	375	374	365	364	383	383	361	351	360	392	368	338	337	321	309	259	
11	F	F	301	301	300	320	335	335	334	382	371	376	375	340	356	356	374	386	373	380	307	337	337	336	331	331
12	F	330	299		301	300	317	339	365	369	387	387	366	358	369	364	371	370	367	361	354	353	350	322	311	
13	311	310	310	333	301	300	315	374	381	382	358	358	372	333	363	362	362	369	318	325	303	302	324	312		
14	311	334	333	316	315	342	341	358	366	327	374	397	367	366	353	365	364	364	364	363	363	362	349	323	307	
15	F	307	307	323	320	320	352	357	367	381	380	359	371	380	373	358	379	362	371	351	261	320	319	319	318	
16	V	280	237	296	317	317	293	355	397	373	360	360	326	377	351	351	388	349	329	325	350	350	375	303	322	
17	V	322	314	300	299	299	313	380	380	380	386	310	323	352	360	368	368	367	366	335	314	330	330	317	317	
18	V	289	341	327	324	323	322	333	394	393	330	385	384	327	377	355	369	351	377	349	320	319	319	319	299	
19	V	303	307	312	320	320	320	331	345	378	378	338	338	317	355	372	372	354	359	358	358	323	322	322	310	295
20	F	285	280	280	319	334	300	338	382	334	316	334	333	348	362	355	354	353	352	355	352	318	318	282	282	
21	A	284	315	296	323	372	329		365	362	361	361	343	353	345	354	353	365	359	317	336	363	329	303	303	
22	V	303	292	291	359	328	313	311	349	355	354	342	352	331	359	358	358	358	354	351	310	310	310	310	339	
23	V	339	312	311	311	311	354	356	363	357	369	368	367	361	348	348	348	363	351	302	337	321	337	322	277	
24	V	288	303	303	330	328	351	350	371	406	372	345	345	351	351	338	338	348	353	337	350	295	328	301	323	
25	F	300	306	319	309	300	271	355	363	362	359	354	353	320	349	338	353	348	360	357	335	311	280	262		
26	V	318	317	322	284	288	294	353	361	360	360	359	358	358	371	355	354	353	360	344	319	318	317	317	332	
27	F	300	299	299	316	277	342	355	395	355	388	349	350	366	357	347	347	369	323	333	316	284	284	284		
28	F	302	289	289	289	288	332	365	395	376	375	379	347	362	370	333	339	358	358	350	350	349	349	268	298	
29																										
30																										
31																										
	00	01	02	03	04	05	06	07	08	09	10	11	12	13	14	15	16	17	18	19	20	21	22	23		
CNT	27	27	27	28	27	27	27	28	28	28	28	28	28	28	28	28	28	28	28	28	28	27	28	28		
MED	304	310	311	316	316	317	342	371	376	366	360	356	360	360	364	358	364	362	360	344	336	324	319	310	310	
U Q	321	317	323	322	328	332	355	383	388	378	374	366	368	374	364	372	367	369	358	347	345	336	319	318		
L Q	289	300	299	300	300	300	328	363	362	354	353	344	351	352	354	354	354	354	352	332	322	317	310	296	298	

FEB. 2021 M(3000)F2 (0.01)

NATIONAL INSTITUTE OF INFORMATION AND COMMUNICATIONS TECHNOLOGY, JAPAN

IONOSPHERIC DATA STATION Wakkanai

FEB. 2021 M(3000)F1 (0.01) 135°E MEAN TIME (G.M.T. + 9 H)

LAT. 45°10.0'N LON. 141°45.0'E SWEEP 1.0 MHz TO 30.0 MHz IN 15.0 SEC IN MANUAL SCALING

H D	00	01	02	03	04	05	06	07	08	09	10	11	12	13	14	15	16	17	18	19	20	21	22	23				
1										L	L	L	L	L	L													
2										535		L	385	556		L	L											
3										L	L	L		L	L	L	L											
4										L	L	L	L	L	L	L	L											
5										L	L	L	L		383	393	L											
6								L		L	L	L	396	413		L	L											
7										L	L	L	L	L	386		L											
8										L	L	L	L	L	L	L	L	L	L									
9										L	L	L	L	L	L	L	L	L										
10										L		395	L	L	L	L	L	L	L	L	L	L	L					
11										L	L		406		L	L	L											
12										L	L	L	405	412	375		L	L										
13										L	L		398	L	L	L	L											
14										L	L	L	L	L	L	L	L											
15										L	L		413	392	409		L											
16							L			L		395	L	L	L	L	L	L										
17										L	L		394		L	L	L	L	L									
18							L			L			364	532		L	L											
19										L	395	371		L	530	555												
20										L	L	L	370	393		388	380											
21								A		L	L	L	L		374		L	L	L									
22										L	L		390	387	383		L	L	L									
23										L	L	L			384		L	L	384									
24										L	L	L	385		372		L											
25										L		L	383	387		L	L	L	381									
26										L	L	L	L	L	L	L	L	L										
27										L	L	L	L		377		L		L									
28										L	L	L	399	L	L	L	L	L										
29																												
30																												
31																												
	00	01	02	03	04	05	06	07	08	09	10	11	12	13	14	15	16	17	18	19	20	21	22	23				
CNT											1	2	5	6	9	13	3	1	2	1								
MED										390	393	395	400	385	387	393	388	382	381									
U Q													466	406	394	472	555											
L Q													395	385	376	376	386											

FEB. 2021 M(3000)F1 (0.01)

NATIONAL INSTITUTE OF INFORMATION AND COMMUNICATIONS TECHNOLOGY, JAPAN

IONOSPHERIC DATA STATION Wakkanai

FEB. 2021 h'F2 (KM)

135°E MEAN TIME (G.M.T. + 9 H)

LAT. 45°10.0'N LON. 141°45.0'E SWEEP 1.0MHz TO 30.0MHz IN 15.0SEC IN MANUAL SCALING

H D	00	01	02	03	04	05	06	07	08	09	10	11	12	13	14	15	16	17	18	19	20	21	22	23	
1									222	262	236	242	242	230											
2										230	246	246	224	248	220										
3									224	238	238	238	232	232	226	222									
4									202	216	230	250	254	244	234	238									
5										242	224	242	242	242	234	216									
6								222		216	220	254	254	230	226	242									
7										214	232	260	260	246	246	230									
8									208	234	222	230	236	224	232	224	216								
9										224	228	232	232	222	222	228	224								
10										224	252	240	234	234	244	232	226	226							
11										236	224	254	230	230	230										
12										218	218	226	238	246	246	244	236								
13										214	214	226	246	226	248	228									
14										228	228	228	226	250	240	262									
15											230	230	232	232	234	252									
16							226			230	230	264	224	240	244	226									
17										220	248	298	260	252	234	234									
18								240	210	224		274	232	264	234										
19										256	224	286	246	232	242										
20										218	254	254	288	264	240	246	246	254							
21										A	244	244	244	276	238	262	238	252	234						
22											234	260	264	260	270	242	234	236							
23											226	226	240	238	252	252	244	228							
24											220	220	234	266	260	248	248	246							
25											248		250	242	268	244	254	254	246	216					
26												248	248	234	234	244	244	244							
27												224	250	226	262	244	244	232		232					
28												234	234	222	254	236	236	254	248						
29																									
30																									
31																									
	00	01	02	03	04	05	06	07	08	09	10	11	12	13	14	15	16	17	18	19	20	21	22	23	
CNT									2	2	15	23	28	27	28	28	28	20	8	2					
MED									233	221	224	230	230	248	243	240	243	235	230	221					
U Q										234	242	248	260	254	245	247	244	240							
L Q										214	220	225	238	235	232	232	226	224							

FEB. 2021 h'F2 (KM)

NATIONAL INSTITUTE OF INFORMATION AND COMMUNICATIONS TECHNOLOGY, JAPAN

IONOSPHERIC DATA STATION Wakkanai

FEB. 2021 h'F (KM)

135°E MEAN TIME (G.M.T. + 9 H)

LAT. 45°10.0'N LON. 141°45.0'E SWEEP 1.0MHz TO 30.0MHz IN 15.0SEC IN MANUAL SCALING

H D	00	01	02	03	04	05	06	07	08	09	10	11	12	13	14	15	16	17	18	19	20	21	22	23	
1	242	252	236	266	246	212	218	196	196	184	178	200	202	202	202	228	196	198	234	228	244	236	266	266	
2	278	220	262	292	264	248	244	206	206	208	188	198	198	194	194	232	222	206	220	230	272	272	234		
3	262	240	212	236	216	216	264	228	204	208	192	202	202	202	202	208	198	222	210	248	262	262	242	254	
4	254	242	260	260	242	268	212	204	198	198	186	212	198	198	198	200	210	198	224	240	270	262	274	280	
5	264	220	244	228	240	240	240	206	206	188	188	178	194	204	196	214	214	208	250	266	250	250	244	244	
6	220	226	236	232	232	242	234	202	220	196	184	196	196	182	184	196	218	204	230	216	226	256	256	248	
7	226	252	240	262	240	268	230	200	206	200	190	194	204	204	204	200	208	206	214	234	266	298	280	222	
8	198	234	228	262	270	270	238	206	190	194	178	192	192	198	198	188	196	202	226	240	230	238	266	254	
9	254	244	272	272	280	236	200	194	194	182	194	202	202	194	194	206	210	216	200	248	196	250	242	226	
10	204	242	252	264	240	202	242	218	202	194	194	202	176	190	182	204	200	200	194	236	226	234	274	274	
11	268	238	214	234	226	210	242	210	224	224	186	194	194	182	202	202	230	210	236	236	236	248	258	228	
12	240	244	270	248	256	236	212	210	196	202	202	190	190	190	196	208	208	198	220	202	214	224	256	256	
13	256	240	226	262	262	276	222	204	194	182	180	190	190	192	204	226	220	202	216	242	264	270	256	270	
14	266	240	224	256	256	216	260	212	194	182	200	200	190	200	188	232	232	208	206	212	212	226	250	274	
15	250	266	248	280	274	212	226	218	212	186	186	186	188	190	178	226	224	222	234	A	260	240	234	228	
16	270	278	266	244	258	240	200	208	216	194	186	200	228	188	188	208	210	240	240	240	228	212	282	254	
17	248	262	282	292	256	258	220	200	200	206	192	188	218	194	208	208	232	210	222	232	232	232	248	250	
18	278	214	252	252	236	216	206	190	174	208	202	224	204	192	186	212	230	206	196	248	252	250	228	256	
19	248	240	238	242	228	240	206	196	198	198	196	186	202	188	188	232	230	222	202	232	232	240	278	254	
20	244	270	264	262	238	280	226	206	180	190	220	184	220	198	198	198	254	224	214	212	226	236	290	304	
21	288	278	276	260	198	234	A	210	192	196	190	196	196	196	206	226	214	218	234	234	216	216	282	286	
22	276	276	252	214	228	248	248	238	186	198	182	218	196	190	186	186	206	218	250	250	236	256	254	252	
23	232	270	260	268	252	218	206	212	220	198	196	196	202	196	196	198	198	218	204	226	240	240	210	254	
24	270	256	256	246	246	220	234	198	200	204	188	188	188	188	196	202	240	232	212	218	218	266	236	270	268
25	288	274	252	260	278	302	230	218	206	244	204	200	200	200	204	218	200	206	218	240	232	254	254	298	
26	242	234	240	278	264	250	230	212	226	214	192	202	202	202	202	226	212	212	254	250	236	240	218		
27	256	270	254	238	242	258	218	198	190	190	182	188	194	212	224	198	220	206	224	204	254	242	274		
28	274	250	228	272	246	230	212	204	200	196	196	192	192	202	190	190	226	210	212	212	222	210	278	246	
29																									
30																									
31																									
	00	01	02	03	04	05	06	07	08	09	10	11	12	13	14	15	16	17	18	19	20	21	22	23	
CNT	28	28	28	28	28	28	27	28	28	28	28	28	28	28	28	28	28	28	28	27	28	28	28	28	
MED	255	244	252	260	246	240	228	206	200	197	190	196	197	196	197	208	214	210	217	234	232	240	256	254	
U Q	270	268	261	267	260	258	240	212	206	205	196	201	202	200	202	225	230	219	232	242	251	255	274	272	
L Q	242	239	236	243	237	217	212	201	194	190	186	189	191	190	188	199	203	205	206	220	226	235	243	245	

FEB. 2021 h'F (KM)

NATIONAL INSTITUTE OF INFORMATION AND COMMUNICATIONS TECHNOLOGY, JAPAN

IONOSPHERIC DATA STATION Wakkanai

FEB. 2021 h'E (KM)

135°E MEAN TIME (G.M.T. + 9 H)

LAT. 45°10.0'N LON. 141°45.0'E SWEEP 1.0MHz TO 30.0MHz IN 15.0SEC IN MANUAL SCALING

H D	00	01	02	03	04	05	06	07	08	09	10	11	12	13	14	15	16	17	18	19	20	21	22	23	
1								B	102	88	102	106	106	98	98	98	98	116							
2								B	A	116	110	110	112	100	100	106	102	116							
3										A															
4										98	98	116	106	106	102	108	108	108	102	102					
5										B	92	116	104	104	104	104	104	104	104	106					
6										B	106	106	106	104	104	104	104	104	104						
7										B	124	98	98	98	98	98	98	110	102	110					
8										B	114	98	110	104	104	104	104	104	104	94	110				
9										B	112	104	104	104	104	104	104	104	104	94	110				
10										B	124	98	98	98	98	98	98	110	102	110					
11										B	114	98	110	104	104	104	104	104	104	106					
12										B	112	112	112	98											
13										B	116	112	112	98	A	A	98	98	102	102	92				
14										B	110	110	110	108	96	96	96	100	108	106	106				
15										B	110	110	110	108	96	96	96	100	100	100	100				
16										B	114	104	104	106	108	98	98	98	110	110					
17										B	114	104	104	106	108	108	108	110	110	110					
18										B	108	108	108	108	108	108	108	108	108	108					
19										B	110	114	114	114	114	116	106	106	106	106					
20										B	110	114	114	114	114	116	106	106	106	106					
21										B	110	114	114	114	114	116	112	112	112	114					
22										B	116	116	104	104	106	106	106	108	108	110					
23										B	116	112	112	108	108	108	108	108	108	94	96				
24										B	116	98	102	102	102	100	100	106	116	96					
25										B	110	110	110	98	98	98	98	98	104	118	104				
26										B	114	104	104	104	104	104	104	90	108	108	108				
27										B	110	110	110	98	98	98	98	98	104	118	104				
28										B	116	112	112	112	112	112	102	102	102	102	102				
29																									
30																									
31																									
	00	01	02	03	04	05	06	07	08	09	10	11	12	13	14	15	16	17	18	19	20	21	22	23	
CNT											7	19	26	27	24	27	28	28	26	28	26	4	1		
MED											106	110	108	104	104	104	102	102	105	104	108	107	90		
U Q											116	114	112	110	108	108	104	106	108	108	110	122			
L Q											98	98	102	102	103	102	98	98	102	101	102	103			

FEB. 2021 h'E (KM)

NATIONAL INSTITUTE OF INFORMATION AND COMMUNICATIONS TECHNOLOGY, JAPAN

IONOSPHERIC DATA STATION Wakkanai

FEB. 2021 h'Es (KM)

135°E MEAN TIME (G.M.T. + 9 H)

LAT. 45°10.0'N LON. 141°45.0'E SWEEP 1.0 MHz TO 30.0 MHz IN 15.0 SEC IN MANUAL SCALING

H D	00	01	02	03	04	05	06	07	08	09	10	11	12	13	14	15	16	17	18	19	20	21	22	23		
1	100	96	B	B	98	B	B	G	98	96	G	158	158	162	92	136	112	B	B	B	98	110	98	94		
2	98	B	100	B	B	108	108	104	G	G	G	130	92	G	G	B	B	104	112	104	104	104				
3	92	92	92	92	92	92	96	92	126	98	122	96	116	116	108	142	96	102	102	102	102	98	98	98		
4	98	98	96	96	96	B	B	G	102	152	156	164	164	152	116	146	G	B	B	100	100	B	100	100		
5	100	92	92	92	92	92	92	114	114	114	114	168	94	112	112	122	92	94	110	B	96	96	B	96		
6	B	B	B	B	B	B	B	B	146	124	124	120	112	114	142	134	96	92	B	B	106	100	100	100		
7	B	B	92	92	B	B	B	B	150	150	150	124	174	164	152	126	118	92	92	92	92	106	106	B		
8	100	100	100	100	86	98	118	G	104	106	102	102	98	112	92	110	120	120	120	108	120	112	102	136	100	
9	B	B	86	B	90	104	104	100	102	100	92	152	142	108	110	150	108	B	B	B	B	B	B	98	102	
10	96	96	96	96	94	100	100	106	96	96	96	96	166	150	92	122	142	90	98	98	90	90	90	90		
11	90	94	94	B	108	102	B	G	158	90	138	138	92	90	156	G	106	106	106	B	B	90	90	90		
12	92	B	92	92	122	B	110	94	150	100	160	150	144	144	112	162	132	B	B	B	B	108	B	B	96	
13	B	96	96	B	96	B	104	104	104	102	102	142	132	128	158	98	86	86	B	B	112	102	102	94		
14	B	98	98	110	120	98	112	128	94	90	96	96	144	144	122	100	100	102	100	118	130	96	96	B		
15	B	96	96	96	96	98	88	104	102	102	92	138	142	106	90	94	94	88	110	104	104	B	B	B		
16	B	B	B	B	B	B	B	B	108	108	108	100	168	156	90	170	G	G	96	96	90	90	96	106	96	
17	102	110	96	96	B	96	96	112	124	110	106	124	172	156	94	154	96	86	92	92	B	B	B	B		
18	98	98	90	96	96	B	B	120	110	150	150	116	126	G	156	96	122	B	B	B	B	B	B	88	100	
19	94	94	94	94	94	90	86	130	116	156	138	130	166	G	172	G	B	96	86	94	94	92	B	B		
20	B	92	92	B	B	112	106	106	106	158	162	162	96	146	114	106	106	106	100	88	B	B	94	B		
21	100	98	B	B	B	108	108	112	102	108	130	98	178	164	162	178	116	B	B	98	96	96	94	94		
22	B	B	B	B	B	106	114	102	102	114	104	164	102	108	112	168	96	B	B	96	96	96	B	B		
23	B	B	B	B	B	B	B	152	142	142	142	142	G	116	116	158	102	B	B	96	94	B	B	B		
24	B	84	90	92	B	106	B	106	118	106	106	122	118	116	116	116	138	124	B	B	110	B	96	96	94	
25	94	92	92	98	106	B	B	126	112	106	106	106	106	106	106	106	130	B	94	92	94	84	84	96		
26	96	B	90	B	B	92	106	166	102	102	102	104	116	112	106	G	B	B	B	B	B	B	B	B		
27	B	B	B	B	B	B	B	144	144	126	106	134	110	110	164	142	120	136	B	B	B	B	B	B	B	
28	98	98	98	98	B	B	B	92	170	170	174	174	112	102	112	112	128	110	94	94	96	96	B			
29																										
30																										
31																										
CNT	16	18	20	15	15	14	16	22	27	27	26	28	27	25	26	26	23	15	14	18	19	19	21	18		
MED	98	96	94	96	96	101	104	106	112	108	110	132	118	116	112	135	112	96	101	97	96	96	96	96		
U Q	100	98	96	96	106	106	109	114	144	144	142	142	155	158	148	144	154	122	106	108	102	106	104	101	100	
L Q	94	92	92	92	92	96	94	102	102	102	102	111	102	107	106	110	96	90	96	92	94	96	93	94		

FEB. 2021 h'Es (KM)

NATIONAL INSTITUTE OF INFORMATION AND COMMUNICATIONS TECHNOLOGY, JAPAN

IONOSPHERIC DATA STATION Wakkanai

FEB. 2021 TYPES OF Es

135°E MEAN TIME (G.M.T. + 9 H)

LAT. 45°10.0'N LON. 141°45.0'E SWEEP 1.0MHz TO 30.0MHz IN 15.0SEC IN MANUAL SCALING

H D	00	01	02	03	04	05	06	07	08	09	10	11	12	13	14	15	16	17	18	19	20	21	22	23	
1	F	F			F				L	CL		HL	H	HL	LH	HL	C				F	F	FF	FQ	
1	1	1			1				1	11		11	1	11	11	11	2				3	3	31	21	
2	F		F			F	L	L				CL	LC		LC	12				F	2	FQ	21	11	
2	1		1			1	1	1				11	11							3	2	FQ	21	11	
3	FF	FF	F	F	F	F	LC	LC	CL	L	CL	LC	CL	C	C	C	C	C	F	F	F	F	FQ		
3	11	11	11	11	11	11	11	11	21	3	21	11	21	2	2	2	3	5	4	3	4	4	4	31	
4	FQ	FQ	FQ	F	F	F			L	HL	H	H	H	C	H				F	1			F	F	
4	31	21	11	11	1	1			1	21	2	1	2	2	2	2			2				3	2	
5	F	F	F	F	F	F	L	CL	C	C	C	HL	LH	C	C	C	L	L	F		F	F	F	F	
5	1	2	1	1	1	1	1	21	2	2	2	11	22	1	1	2	2	2	1		1	1	1	1	
6									H	C	C	C	C	H	C		L	L			F	F	F	F	
6									2	2	2	2	2	2	2	2	11	1		1	3	1	1	1	
7		F	F						HL	HL	HL	CL	CL	H	HL	CL	C	C	F	F	F	F	F		
7		2	1						21	21	22	22	22	2	21	21	2	1	2	1	1	1	1	1	
8	FQ	F	F	F	F	F	LC		L	LC	LC	LC	LC	L	CL	C	C	C	F	FF	F	F	FF	F	
8	21	1	1	1	1	1	21		3	21	21	11	21	21	3	21	2	1	2	11	2	4	21	1	
9		F		F	C	L	LC	LC	LC	HL	HL	CL	CL	HL	CL	C					F	F	1	1	
9		1		1	1	1	21	21	21	22	22	21	21	21	21	21	3						1	1	
10	F	F	F	F	F	L	L	L	LH	L	L	LC	HL	HL	L	C	C	L	F	FQ	F	F	FQ	FQ	
10	1	2	1	1	2	1	1	3	4	32	2	11	21	11	3	2	2	4	3	31	2	3	21	21	
11	F	F	F		F	F			HL	LC	HL	C	CL	LC	C	C	L	F			F	F	F	F	
11	2	1	1		1	1			22	31	22	1	11	11	2	3	3	3	3		1	1	1	1	
12	F		F	F	F		L	C	HL	C	HL	HL	HL	H	C		CL				F		F		
12	1	1	1	1	1	1	1	22	2	21	21	21	21	1	1	1	21				1		1		
13	F	F		F		C	C	C	L	C	H	C	C	H	LC	LC	L			F	F	F	F	F	
13	1	1		1		1	1	2	3	2	2	2	2	2	11	12	1		1	1	1	1	1	2	
14	F	F		F		C	LC	CL	L	L	LC	LC	H	H	C	L	L	F	FF	F	F	F	F	F	
14	1	1		1		1	11	21	21	2	3	11	11	2	2	3	1	1	3	11	11	2	1		
15	F	F	F	F	F	C	L	C	C	L	CL	H	C	LC	LC	L	L	L	F	F	F	F	F		
15	1	3	3	3	3	1	1	4	5	2	4	22	1	2	11	2	3	3	5	1					
16						C	C	L	LC	HL	HL	LC			HL		L	LL	F	F	F	FQ	F		
16						2	3	2	21	11	11	11	11			21	2	21	2	1	3	11	1		
17	FQ	FF	F	F		F	L	C	C	L	C	HL	HL	HL	HL	L	L	L	L	F					
17	11	11	2	2		1	1	3	2	3	2	2	11	11	11	21	2	1	1						
18	F	F	F	F	F			CL	C	CL	CL	C	C		CL	LC	C				F	F	2	1	
18	2	3	2	1	2			21	2	22	22	2	1	11	11	2									
19	F	F	F	F	F	C	C	C	H	H	H	HL			HL		11	L	F	F	F	F	F		
19	1	1	1	1	1	1	1	2	1	1	1	11	11	2	2	1	1	2	1	2	1	2	1		
20	F	F		F		F	L	C	H	H	H	LH	H	C	C	L	L	F			F				
20	1	1				2	4	2	1	2	1	11	2	2	2	2	1	3	1						
21	F	F				F	L	C	C	C	C	CL	HL	H	H	C			F	F	F	F	F	F	
21	1	1				2	6	4	3	2	1	11	11	2	2	2	2	1	1	2	2	2	1	1	
22						F	L	LC	C	C	C	H	C	C	H		LC		F	F	F	F	F		
22						1	1	11	2	2	1	1	1	1	1	1	1	1	1	1	1	1	1		
23							H	H	H	H	H		CL	CL	HL	C			F	F					
23							2	2	1	2	1	11	11	11	11	2		1	1						
24	F	F	F	F		F		CL	C	C	C	C	C	C	C	C	C	C	1	F	1	F	3	F	
24	1	1	1	1		1		21	3	3	2	1	2	1	2	2	2	1	1		1	3	2		
25	F	F	F	F	F			C	C	C	C	L	CL	C	C	C	C	C	2	11	1	2	1	1	
25	1	5	3	1	1			2	2	4	3	2	2	2	2	2	2	2	2	11	1	2	1	1	
26	F		F			1		L	L	LC	LC	L	LC	CL	C	C									
26	1		1			1		1	11	11	11	2	11	11	1	2									
27								H	H	C	C	H	C	C	H	L	H	C	H	2					
27								2	1	1	2	2	1	1	1	11	1	1	2						
28	F	F	F	F				LL	HL	HL	HL	HL	CL	C	C	C	C	C	C	1	F	F	F	F	
28	2	2	1	1				12	22	11	11	11	21	2	2	2	2	2	1	1	1	1	1	1	
29																									
30																									
31																									
	00	01	02	03	04	05	06	07	08	09	10	11	12	13	14	15	16	17	18	19	20	21	22	23	
CNT																									
MED																									
U Q																									
L Q																									

FEB. 2021 TYPES OF Es

NATIONAL INSTITUTE OF INFORMATION AND COMMUNICATIONS TECHNOLOGY, JAPAN

IONOSPHERIC DATA STATION Kokubunji

FEB. 2021 fxI (0.1MHz)

135°E MEAN TIME (G.M.T. + 9 H)

LAT. 35°43.0'N LON. 139°29.0'E SWEEP 1.0MHz TO 30.0MHz IN 15.0SEC IN MANUAL SCALING

H D	00	01	02	03	04	05	06	07	08	09	10	11	12	13	14	15	16	17	18	19	20	21	22	23
1	X	X	X	X	X	X											A	X	X	X	X	X		
	36	36	36	36	36	36	30										37	40	40	39	37			
2	X	X	X	X	X	X		X									59	X	X	X	X	X		
	37	37	40	34	31	31		54	60								47	49	43	36	36	40		
3	X	X	X	X	X	X												X	X	X			X	
	38	39	40	36	29	28												44	45	44	42	38	38	
4	X	X	X	X	X	X												X	X	X	X	X	X	
	38	39	38	36	38	33											40	41	41	43	40	42		
5	X	X	X	X	X	X	X											X	X	X	X	X	X	
	37	39	38	32	31	30	29											37	32	38	37	44	36	
6	X	X	X	X	X	X			X									X	A	X	X	X	X	
	36	33	33	33	34	32			60									35	44	36	34	35		
7	X	X	X	X	X	X												X	A	X	X	X	X	
	36	35	36	34	34	33												44	37	39	41	44		
8	X	X	X	X	X	X												X	X	X	X	A	X	
	41	32	33	34	33	33												44	37	35	36		34	
9	X	X	X	X	X	X												X	X	X	X	X	X	
	35	37	36	35	33	33	28											37	37	39	40	38	37	
10					X	X												X	X	X	X	X	X	
	38	39	39	39	35	33	39											40	34	34	35	36	36	
11	X	X	X	X	X	X												X	X	X	X	X	X	
	34	34	36	37	37	32												38	38	40	39	36	38	
12	X	X	X	X	X	X												X	X	X	X	X	X	
	38	37	37	37	37	32	32											36	38	40	40	38	37	
13	X	X	X	X	X	X												X	X	X	X	X	X	
	36	36	38	38	37	35												44	37	41	43	39	40	
14	X	X	X	X	X	X												A	X	X	X	X	A	
	43	39	39	38	38	35												37	34	31	34			
15	X	X	X	X	X	X												X	X	X				
	38	38	37	38	40	32												40	38	40	39	39	40	
16	X	X			X													X	X	X	X	X	X	
	36	37	39	38	35	34												53	58	53	36	34	36	
17	X	X	X	X	X	X												X	X	X	X	X	X	
	39	39	38	38	40	40												48	37	37	39	37	37	
18			X															X	X	X	X	X	X	
	39	40	38	36	41	40												43	37	41	40	40	39	
19	X	X	X	X	X	X												X	X	X	X	X	X	
	39	42	40	36	36	34												47	46	45	42	39	39	
20	X	X	X	X	X	X												X	X	X	X	X	X	
	40	40	41	40	37	35												64	44	32	34	36	38	
21	X	X	X	X	X	X	0	X										X	X	X	X	X	X	
	38	37	36	36	33	30												53	38	41	40	37	37	
22	X	X	X	X	X	X												X	X	X	X	X	X	
	37	38	38	36	27	27												53	46	48	45	42	43	
23	X	X	X	X	X	X												X	X	X	X	X	X	
	42	42	39	39	40	35												52	48	56	47	36	38	
24	X	X	X	X	X	X												X	X	X	X	X	X	
	38	39	39	39	39	39												52	50	52	38	38	36	
25	X	X	X	X	X	X												X	X	X	X	X	X	
	38	40	39	41	41	42												68	37	39	39	40	41	
26	X	X			X													X	X	X	X	X	X	
	41	41	42	37	42	40												52	42	43	46	40	37	
27	X	X	X	X	X	X												X	X	X	X	X	X	
	35	35	34	35	33	33												58	45	41	37	31	35	
28			X	X	X	X	X	X										X	X	X	X	X	X	
	39	39	34	34	34	29	38											62	43	36	33	34	32	
29																								
30																								
31																								
	00	01	02	03	04	05	06	07	08	09	10	11	12	13	14	15	16	17	18	19	20	21	22	23
CNT	28	28	28	28	28	28	5	1	2									1	26	26	28	28	27	27
MED	X	X	X	X	X	X	X	X	X									X	X	X	X	X	X	
U Q	38	38	38	36	36	33	32	54	60									59	46	38	40	39	38	37
L Q	X	X	X	X	X	X	X											X	X	X	X	X	X	
	36	36	36	35	33	32	28											53	45	44	41	40	40	

FEB. 2021 fxI (0.1MHz)

NATIONAL INSTITUTE OF INFORMATION AND COMMUNICATIONS TECHNOLOGY, JAPAN

IONOSPHERIC DATA STATION Kokubunji

FEB. 2021 foF2 (0.1MHz)

135°E MEAN TIME (G.M.T. + 9 H)

LAT. 35°43.0'N LON. 139°29.0'E SWEEP 1.0MHz TO 30.0MHz IN 15.0SEC IN MANUAL SCALING

H D	00	01	02	03	04	05	06	07	08	09	10	11	12	13	14	15	16	17	18	19	20	21	22	23			
1	30	30	30	30	30	24	23	42	48	50	55	56	56	54	54	54	47	42	A	31	34	34	33	31			
2	31	31	34	28	25	25	24	48	54	53	56	61	55	62	56	58	53	44	41	43	37	30	30	34			
3	32	33	34	30	23	22	22	40	60	71	76	63	66	65	55	55	51	43	38	39	38	F	F	32			
4	32	33	32	30	32	27	31	47	57	50	55	63	61	68	70	59	50	44	34	35	35	37	34	36			
5	31	33	32	26	25	24	23	47	54	58	61	57	60	60	58	53	50	41	31	26	32	31	38	30			
6	30	27	27	27	28	26	25	46	54	60	61	61	64	54	57	50	52	42	29	A	38	30	28	29			
7	30	29	30	28	28	27	25	53	50	51	66	59	77	74	72	62	57	58	38	31	33	35	38				
8	35	26	27	28	27	27	26	47	70	55	65	70	76	79	60	55	53	50	38	31	29	30		28			
9	29	31	30	29	27	27	22	45	55	55	61	66	58	61	56	60	61	52	31	31	33	34	32	31			
10	F	F	F	F		29	27	48	56	54	57	72	73	69	62	60	57	51	34	28	28	29	30	30			
11	28	28	30	31	31	26	26	47	61	58	65	60	58	66	61	49	V	55	44	32	32	34	33	30	32		
12	32	31	31	31	31	26	26	45	60	63	58	67	60	66	62	58	54	45	30	32	34	34	32	31			
13	30	30	32	32	31	29	30	54	54	64	64	68	60	63	63	58	52	53	38	31	35	37	33	34			
14	37	33	33	32	32	29	27	53	59	58	66	62	63	58	56	52	60	57	A	31	28	25	28				
15	32	32	31	32	34	26	29	48	53	64	58	75	70	62	56	51	53	47	34	32	34						
16	30	31				F	F	29	23	46	51	57	64	68	85	76	76	60	V	58	50	47	52	47	30	28	30
17	33	33	32	32	34	34	33	55	59	58	63	64	69	74	64	55	55	49	42	31	31				31		
18	F	F	F	F	30			26	49	62	50	56	58	69	60	60	56	60	52	37	31	35	34	34	33		
19	33	36	34	30	30	28	28	46	53	59	62	68	67	62	66	60	54	48	41	40	38	36	33	33			
20	34	34	35	34	31	29	24	52	60	56	76	76	101	94	83	64	59	63	58	38	26	28	30	32			
21	31	31	30	30	27	24	21	42	64	60	65	58	69	74	65	62	58	66	47	32	35	34	31	31			
22	31	32	32	30	21	21	26	47	61	74	72	64	64	82	64	53	53	52	47	40	42	39	36	37			
23	36	35	33	33	34	29	29	47	55	70	66	58	73	79	66	66	61	55	46	42	50	41	30	32			
24	32	33	33	33	33	33	34	55	58	62	60	69	78	76	64	67	72	58	46	44	46	32	32	30			
25	32	34	35	35	35	36	40	50	56	66	76	79	76	85	84	70	70	76	62	30	33	33					
26	F	F	F	F	31			35	58	57	58	66	80	84	72	67	58	61	59	46	36	37	39	34	31		
27	29	29	28	29	27	27	34	56	59	66	77	67	65	72	65	64	54	59	52	39	35	31	25	29			
28	F	F			28	28	28	23	32	54	60	56	60	68	60	70	68	60	60	66	56	37	30	27	28		
29																											
30																											
31																											
	00	01	02	03	04	05	06	07	08	09	10	11	12	13	14	15	16	17	18	19	20	21	22	23			
CNT	24	24	24	26	26	25	27	28	28	28	28	28	28	28	28	28	28	28	26	26	28	25	23	25			
MED	32	32	32	30	30	27	26	48	57	58	64	65	66	68	64	58	55	52	40	32	34	33	32	31			
U Q	32	33	33	32	32	29	31	53	60	64	66	68	74	75	66	61	60	58	47	39	38	35	34	33			
L Q	30	30	30	29	27	24	24	46	54	55	59	60	60	62	58	54	53	44	34	31	32	30	30	30			

FEB. 2021 foF2 (0.1MHz)

NATIONAL INSTITUTE OF INFORMATION AND COMMUNICATIONS TECHNOLOGY, JAPAN

IONOSPHERIC DATA STATION Kokubunji

FEB. 2021 foF1 (0.01MHz)

135°E MEAN TIME (G.M.T. + 9 H)

LAT. 35°43.0'N LON. 139°29.0'E SWEEP 1.0MHz TO 30.0MHz IN 15.0SEC IN MANUAL SCALING

H D	00	01	02	03	04	05	06	07	08	09	10	11	12	13	14	15	16	17	18	19	20	21	22	23		
1										L	L	A	A	A	A	A	A									
2										L	4 2 8	4 0 8	A	A	L	L										
3										L	L	L U	L	L		L										
4										L U	L	4 6 0	4 2 0	4 0 8		L										
5										L U	L	L	4 2 4	4 2 0		L										
6										A	L	4 2 4	4 1 2		A	A	A	A								
7										U	L	4 4 4	4 3 2	4 3 2		L										
8										L	U	L	L	L	L	L										
9										L	4 1 2	4 1 6	3 9 2		L	L	L									
10										U	L	4 5 2	4 1 6		L	A	L	L								
11										L	4 1 2		4 2 0		L											
12								L		A	U	L	4 4 4	4 2 0	4 1 6	4 2 8		L	L							
13										L	L	L	U	L	U	L	L									
14										L	L	L	U	L	U	L	L	L	L							
15										L	L	L	U	L	U	L	L	L	L							
16										L	U	L	4 1 2	4 3 6	4 3 6		L	4 0 4	L							
17										L	L	U	L	4 4 4	4 2 0	4 2 8		L	L							
18										L	L	L	A	L	U	L	L	4 2 8	L							
19										L	L	4 2 8		L	4 1 2		L									
20										A	A	U	L	A	4 1 2	4 2 4		A	A	L						
21										L	A	L	L	4 3 2	4 2 4		L	L								
22										L	3 8 8	4 1 2	L	4 3 6	3 9 2			L	L							
23										L	L	U	L	U	L	4 2 0	4 4 0	L	L	L	A					
24										L	A	L	U	L	4 6 0		L	L	L	L	L					
25										L	4 2 4	4 3 6	4 3 6	4 3 6	4 3 6		A	L								
26										L	L		A	L	L											
27										L		L	L	4 3 2		L	L	L	L							
28										L	U	L	U	L	3 8 4	4 5 6	4 4 0	L	4 4 0	L	L					
29																										
30																										
31																										
	00	01	02	03	04	05	06	07	08	09	10	11	12	13	14	15	16	17	18	19	20	21	22	23		
CNT											2	1 2	1 6	1 9	1 4	3										
MED											U	L	3 8 6	4 2 6	4 2 6	4 3 2	4 2 6	4 1 2								
U Q											U	L	U	L	U	L	4 4 4	4 3 8	4 3 6	4 3 2	4 2 8					
L Q											4 1 2	4 1 8	4 2 0	4 2 0	4 0 4											

FEB. 2021 foF1 (0.01MHz)

NATIONAL INSTITUTE OF INFORMATION AND COMMUNICATIONS TECHNOLOGY, JAPAN

IONOSPHERIC DATA STATION Kokubunji

FEB. 2021 foE (0.01MHz)

135°E MEAN TIME (G.M.T. + 9 H)

LAT. 35°43.0'N LON. 139°29.0'E SWEEP 1.0MHz TO 30.0MHz IN 15.0SEC IN MANUAL SCALING

H D	00	01	02	03	04	05	06	07	08	09	10	11	12	13	14	15	16	17	18	19	20	21	22	23			
1								B 236260	B 308320	R 300324	R 328320	A A	A A	A A	A A	A 288	A A	A B									
2								B 280	R 280	R A	R A	A A	A A	A A	A A			B									
3								B B	A B	A U	R 300	R 324	R 328	R 320	A A	A A	A A	A A	A A								
4								B 236280	B 296308	R 308312	R 312312	A A	A A	A A	A A	A 220	A U	R B									
5								U 184	R 276	A 308	A 324	R 300	R 296	R R	A A	A 228	A U	R B									
6								B B	B A	B A	B A	B 316	A A	A A	A A	A 216	A U	A B									
7								B 244288	B 288	R A	A A	A A	A A	A A	A 304	A A	A B										
8								B 260	B 280	R A	A A	A A	A A	A A	A AU	R R	R 288276	R 208	B								
9								U 184	R 236280	A 308	A 324	R 320	R 324	R R	R 324	R R	R 224	R B									
10								B 180	B R	A A	A A	A A	A A	A A	A A	A AU	R 232	R B									
11								B 248	B 296	A U	A 324	R R	R R	R R	R R	R 280272	R R	R R	R B								
12								U 184	R 260	A 308	A 324	R 316	R 300	R R	R U	R U	R 268	R 236	B								
13								B 200	B 256300	R 308	R 316	R 324	R 312	R R	R R	R R	R R	R R	R B								
14								B 184	B 244280	R 308	R 320	R 320	R 312	R R	R U	R AU	R U	R A	R B								
15								B 180	B 256	R A	R A	R A	R A	R AU	R U	R U	R R	R U	R B								
16								B 208	B 296312	A R	R	R R	R R	R R	R R	R 304284	R A	R B									
17								B 180	B 244296	A 312	A 328	R 328	R 316	R R	R R	R U	R U	R U	R B								
18								B 192	B 260280	R 308	R 308	R 332	A 300	R R	R R	R U	R U	R U	R B								
19								B 204	B 256292	R 312	R 308	R 312	R 304	R R	R AU	R AU	R AU	R AU	R B								
20								B 208	B 328	A A	A A	A AU	R A	A A	A AU	R 236	R B										
21								B B	B 308312	A U	R 332	R 344	R 320	R R	R R	R R	R 248	R B									
22								B 244284	B 312328	R R	R R	R 320	R R	R R	R R	R 280	R R	R R	R 196								
23								B 208	B 272288	R 312	R 320	R 340	R 320	R R	R R	R U	R R	R R	R U								
24								B 208	B 260292	R 312	R 312	R 328	A 284	R R	R AU	R AU	R AU	R AU	R R								
25								B 192	B 260308	R A	R A	R A	R A	R AU	R AU	R AU	R AU	R AU	R B								
26								B 264284	B 328348	A 328	A 348	A 332	A 320	R R	R R	R R	R R	R R	R B								
27								B 192	B 268304	R 336	R 336	R 320	R 308	R R	R R	R U	R R	R R	R B								
28								U 192	U 272304	A 324	A 340	R 340	R 312	R R	R R	R AU	R AU	R AU	R AU	R R							
29																											
30																											
31																											
	00	01	02	03	04	05	06	07	08	09	10	11	12	13	14	15	16	17	18	19	20	21	22	23			
CNT																											
MED																											
U Q																											
L Q																											

FEB. 2021 foE (0.01MHz)

NATIONAL INSTITUTE OF INFORMATION AND COMMUNICATIONS TECHNOLOGY, JAPAN

IONOSPHERIC DATA STATION Kokubunji

FEB. 2021 foEs (0.1MHz)

135°E MEAN TIME (G.M.T. + 9 H)

LAT. 35°43.0'N LON. 139°29.0'E SWEEP 1.0MHz TO 30.0MHz IN 15.0SEC IN MANUAL SCALING

H D	00	01	02	03	04	05	06	07	08	09	10	11	12	13	14	15	16	17	18	19	20	21	22	23
1	E 17	B 20	19	16	20	21	17	17	G 36	G 40	J 48	A 42	J 46	A 51	J 54	A 42	J 75	A 33	J 22	A 24	J 23	J 23		
2	E 16	B 16	16	16	16	16	22	36	G 36	G 55	J 63	A 37	J 28	A 27	J 16	A 20	E 16	B 16	A 35	J 62	A 28			
3	J 22	A 32	25	22	20	21	22	21	G 28	G 36	G 35	G 31	G 28	G 38	G 66	G 52	G 28	G 36	G 35	G 29				
4	E 16	B 16	16	16	16	16	20	24	G G	G G	J 35	A 40	J 39	A G	E 20	B 16	J 41	A 36	J 30	E 22	B 16			
5	J 20	A 26	22	16	22	21	16	35	G 32	G 37	J G	A G	G G	G G	G 29	E 16	E 21	E 15	E 21	E 21	E 16			
6	E 16	B 32	J 26	A 27	J 27	A 30	26	44	J 55	A 44	J 36	A 36	J 36	A 31	J 44	A 37	J 38	A 31	J 34	A 34	E 40	B 52	E 16	
7	E 22	B 16	16	16	16	16	17	16	E G	B G	J 38	A 34	J 36	A 34	J 34	A 37	J 34	A 49	J 32	J 32	A 30	J 34	A 48	
8	E 16	B 17	E 19	E 16	E 16	E 16	E 16	E 16	G 43	J 45	A 47	J 44	A 40	G G	E 23	B 16	J 35	A 48	E 26	J 26	A 31	J 28		
9	J 28	A 20	21	22	28	22	19		G G	G G	J 32	A 36	G G	G G	G G	J 21	A 26	J 30	A 46	J 29	A 36	J 26		
10	E 16	B 16	24	24	20	22	16		E 28	B 34	J 42	A 36	J 55	A 48	J 40	A 33	J 33	A 35	J 31	A 22	J 35	B 28	A 20	
11	E 22	B 17	16	16	16	16	16	16	E G	B J	J 40	A 34	J 34	A G	G G	G G	E B	J A	16	22	22	J 34	A 33	
12	J 12	A 28	26	25	22	16	16	16	E G	B J	J 45	A G	G G	G G	G G	35	34	32	26	20	20	E 16	B 26	
13	E 16	B 16	16	16	15	15	16		E G	B G	G G	G G	G G	G G	G G	E 17	B 20	E 16	E 16	B 16	E 24			
14	J 14	A 26	E 16	E 16	E 16	E 17	E 16		E G	B G	G G	G G	G G	G J	A 53	G 33	J 40	A 68	J 34	A 30	J 25	J 21		
15	J 15	A 50	J 22	A 29	24	22	24	16	E G	B J	J 36	A 36	J 35	A 38	G G	G G	G G	J 28	A 16	J 16	25	J 53	J 37	
16	E 16	B 17	E 16	B 16	19	19	19	19	E G	B J	J 20	A 33	J 33	A G	G G	G G	G J	A 31	J 19	A 26	J 24	J 31	J 28	
17	E 17	B 16	26	23	29	16	16	16	E G	B J	J 24	A 28	J G	A G	G G	G G	G G	E 17	B 20	A 24	J 16	B 16	J 16	
18	E 16	B 16	E 16	B 16	E 16	B 16	24		E G	B J	J 35	A 39	J 36	A 34	G G	G G	G G	E 18	B 16	J 16	B 16	E 15	B 15	
19	J 19	A 26	22	25	20	16	23	16	E G	B J	J 40	A G	G 34	J 35	G G	G G	G G	J 23	A 30	J 24	J 25	A 16	J 16	
20	E 16	B 16	J 22	23	20	16	16	22	E G	B J	J 42	A 47	J 42	A 62	G J	A 41	J 63	A 57	J 26	A 34	J 30	A 23	J 22	
21	J 21	A 24	E 22	B 16	16	16	16	20	J 30	A 62	J 80	A G	G G	G G	G G	G G	E 16	B 14	E 15	J 16	B 16	J 16		
22	E 22	B 15	23	22	20	15	15	21	E G	B J	J 21	A 21	G G	G G	G G	G G	G G	E 14	B 16	E 16	B 16	E 16	B 16	
23	E 23	B 16	17	16	16	16	15	16	E G	B J	J 37	A G	G G	G G	G G	G G	G G	E 16	B 16	20	20	27	J 22	
24	E 24	B 16	16	16	16	16	16	20	E G	B J	J 37	A 38	J 56	A 36	G G	G G	G G	J 51	A 16	24	J 16	B 16	J 21	
25	E 25	B 15	15	15	15	16	16	15	E G	B J	J 30	A 83	J 50	A 42	J 39	A 48	J 40	G 16	B 16	E 16	16	17	J 22	
26	E 26	B 16	28	25	16	15	15	16	E G	B J	J 42	A 39	J 43	A 27	G G	G G	G G	E 17	B 16	E 16	16	16	E 16	
27	E 27	B 16	16	15	15	15	16	16	E G	B J	J 35	A 38	J 36	A 31	G G	G G	G G	E 21	B 15	E 15	15	15	J 16	
28	E 28	B 16	16	16	16	16	16	16	E G	B J	J 36	A 38	J 34	A G	G G	G G	G G	E 22	B 15	E 15	15	15	J 15	
29																								
30																								
31																								
CNT	28	28	28	28	28	28	28	28	28	28	28	28	28	28	28	28	28	28	28	28	28	28	28	
MED	E 16	B 17	E 18	B 16	E 16	B 16	E 16		G G	G G	G 35	A 34	G G	G G	G G	G G	G G	G 20	A 19	J 22	J 23	J 20	J 20	
U Q	J 22	A 22	24	21	20	21	20	22	J 29	A 36	J 38	A 36	J 40	A 38	J 37	A 34	J 30	A 31	J 34	A 31	J 29	A 28	J 30	
L Q	E 16	B 16	E 16	B 16	E 16	B 16	E 16		G G	G 17	B 16	E 16	16	16	E 16									

FEB. 2021 foEs (0.1MHz)

NATIONAL INSTITUTE OF INFORMATION AND COMMUNICATIONS TECHNOLOGY, JAPAN

IONOSPHERIC DATA STATION Kokubunji

FEB. 2021 fbEs (0.1MHz)

135°E MEAN TIME (G.M.T. + 9 H)

LAT. 35°43.0'N LON. 139°29.0'E SWEEP 1.0MHz TO 30.0MHz IN 15.0SEC IN MANUAL SCALING

H D	00	01	02	03	04	05	06	07	08	09	10	11	12	13	14	15	16	17	18	19	20	21	22	23	
1	E 17	B 15	E 16	B 16	E 16	B 16	E 16	B 17	G	G	33	37	44	36	36	48	36	23	A 75	E 16	E 16	E 16	E 16	17	
2	E 16	B 16	E 16	B 16	E 16	B 16	E 16	B 29	G	G	34	47	54	32	26	23	16	16	E 16	E 16	E 16	E 16	E 16	16	
3	E 16	B 16	E 16	B 16	E 16	B 16	E 16	B 18	G	G	G	G	30	25	24	26	23	27	E 16	E 17	E 16	E 16	E 16	19	
4	E 16	B 16	E 16	B 16	E 16	B 16	E 16	B 17	G	G	G	G	32	33	33	G	E 17	E 16	E 17	E 16	E 16	E 16	E 16	16	
5	E 16	B 16	E 16	B 16	E 16	B 16	E 16	G	26	31	32	G	G	G	28	GE 16	E 16	E 16	E 16	E 16	E 16	E 16	16		
6	E 16	B 16	E 16	B 16	E 16	B 16	E 18	17	33	36	33	33	26	37	36	36	30	30	22	A 40	16	16	16	16	16
7	E 16	B 16	E 16	B 16	E 16	B 16	E 17	16	17	G	G	30	32	32	32	29	27	25	27	A 32	24	24	16	16	16
8	E 16	B 17	E 17	B 16	E 16	B 16	E 16	16	G	40	35	33	33	33	G	G	E 22	16	23	22	21	18	31	19	
9	E 18	B 16	E 16	B 16	E 16	B 16	E 16	G	G	30	31	G	G	G	G	18	23	18	21	18	16	16	E 16	16	
10	E 16	B 16	E 16	B 16	E 16	B 16	E 16	G	26	30	37	34	36	36	30	28	20	19	19	15	18	22	18	19	E A
11	E 16	B 17	E 16	B 16	E 16	B 16	E 16	16	G	33	33	31	G	G	G	GE 16	E 16	E 16	E 16	E 16	E 16	E 16	18	22	
12	E 19	B 19	E 16	B 16	E 16	B 16	E 16	G	G	34	G	G	33	32	30	26	20	E 16	16	16					
13	E 16	B 16	E 16	B 16	E 15	B 15	E 16	G	G	G	G	G	G	G	G	GE 17	E 16	E 16	E 16	E 16	E 16	E 16	16	16	
14	E 15	B 16	E 16	B 16	E 16	B 17	E 16	G	G	G	G	G	G	G	32	30	35	A 68	26	16	16	15	48	E A	
15	E 19	B 16	E 16	B 16	E 16	B 16	E 16	G	G	30	30	32	34	G	G	G	E 23	16	E 16	17	16	16	16	16	
16	E 17	B 16	E 16	B 16	E 16	B 16	E 16	19	G	G	G	G	G	G	G	26	18	E 16	17	16					
17	E 16	B 16	E 16	B 16	E 16	B 16	E 16	24	G	G	G	G	G	G	G	GE 17	16	E 16	E 16	E 16	E 16	E 16	16	16	
18	E 16	B 16	E 16	B 16	E 16	B 16	E 16	G	G	G	34	39	35	33	G	GE 18	16	E 16	E 16	E 16	E 16	E 16	15	15	
19	E 16	B 16	E 17	B 16	E 16	B 16	E 16	G	G	33	G	G	33	29	G	G	GE 16	22	16	18	16	16	E B	16	
20	E 16	B 16	E 16	B 16	E 16	B 16	E 16	G	36	42	34	42	G	36	45	45	19	22	E 19	16	16	16	16	16	E B
21	E 16	B 16	E 16	B 16	E 16	B 16	E 15	25	25	35	G	G	G	G	G	GE 16	14	E 15	15	16	16	16	16	16	
22	E 15	B 16	E 16	B 15	E 15	B 15	E 19	G	G	G	G	G	G	G	G	GE 14	16	E 16	E 16	16	16	16	16	16	
23	E 16	B 17	E 16	B 16	E 16	B 15	E 16	G	G	G	G	G	G	G	27	GE 16	16	18	16	22	16	E B	16		
24	E 16	B 16	E 16	B 16	E 16	B 16	E 16	G	G	G	34	37	37	G	34	G	E 32	16	16	16	16	16	E B	16	
25	E 15	B 15	E 15	B 15	E 15	B 16	E 15	28	G	36	34	34	36	42	30	G	GE 16	16	16	16	17	15	15	15	
26	E 16	B 15	E 15	B 16	E 15	B 15	E 21	G	G	32	37	38	G	G	26	GE 17	16	16	16	16	16	16	16		
27	E 16	B 16	E 15	B 15	E 15	B 16	E 16	G	G	34	37	35	G	G	30	G	E 20	15	15	15	15	15	16	16	
28	E 16	B 16	E 16	B 16	E 16	B 16	E 16	22	G	G	31	G	G	28	32	G	E 20	15	15	15	15	15	15	15	
29																									
30																									
31																									
CNT	28	28	28	28	28	28	28	28	28	28	28	28	28	28	28	28	28	28	28	28	28	28	28	28	
MED	E 16	B 16	E 16	B 16	E 16	B 16	E 16	G	G	30	31	G	G	G	G	E 18	E 16	E 16	E 16	E 16	E 16	E 16	E 16		
U Q	E 16	B 16	E 16	B 16	E 16	B 16	E 16	G	26	32	33	34	35	34	32	30	25	21	22	18	16	18	16	16	
L Q	E 16	B 16	E 16	B 16	E 16	B 16	E 16	18	G	G	G	G	G	G	G	GE 17	16	16	16	16	16	16	16		

FEB. 2021 fbEs (0.1MHz)

NATIONAL INSTITUTE OF INFORMATION AND COMMUNICATIONS TECHNOLOGY, JAPAN

IONOSPHERIC DATA STATION Kokubunji

FEB. 2021 fmin (0.1MHz)

135°E MEAN TIME (G.M.T. + 9 H)

LAT. 35°43.0'N LON. 139°29.0'E SWEEP 1.0MHz TO 30.0MHz IN 15.0SEC IN MANUAL SCALING

H D	00	01	02	03	04	05	06	07	08	09	10	11	12	13	14	15	16	17	18	19	20	21	22	23
1	17	15	16	16	16	16	17	17	16	16	16	16	18	18	18	16	15	15	16	16	16	16	16	16
2	16	16	16	16	16	16	16	16	17	17	19	19	18	17	17	16	15	16	16	16	16	16	16	16
3	16	16	16	16	16	16	16	15	16	16	16	16	19	20	19	16	15	15	15	16	16	17	16	16
4	16	16	16	16	16	16	17	19	16	16	16	16	15	16	16	16	16	16	16	16	16	16	16	16
5	16	16	16	16	16	16	16	16	16	14	17	17	17	17	15	16	15	16	16	15	15	16	16	16
6	16	16	16	16	16	16	16	16	16	16	16	16	18	18	16	16	17	17	17	16	16	16	16	16
7	16	16	16	16	16	17	16	17	16	17	16	16	16	15	16	16	16	16	16	16	16	16	16	16
8	16	17	17	16	16	16	16	16	16	15	15	15	15	15	15	15	15	16	16	16	16	16	16	16
9	16	16	16	16	16	16	16	16	16	14	16	14	16	17	16	16	16	15	16	16	16	16	16	16
10	16	16	16	16	16	16	16	15	16	15	17	17	17	16	14	14	14	16	15	15	14	16	16	16
11	16	17	16	16	16	16	16	16	14	13	14	14	14	16	16	16	16	16	16	16	16	16	16	16
12	16	16	16	16	16	16	16	14	16	15	15	16	18	20	19	16	16	16	16	16	16	17	17	16
13	16	16	16	16	15	15	16	15	15	16	16	16	16	16	16	16	15	17	16	16	16	16	16	16
14	15	16	16	16	16	17	16	15	15	15	16	16	16	16	16	16	14	14	14	16	16	16	15	16
15	16	16	16	16	16	16	16	15	16	14	14	16	16	16	15	15	15	14	16	16	15	16	16	16
16	17	16	16	16	16	16	16	16	16	16	16	16	16	16	16	15	15	15	16	16	16	16	17	16
17	16	16	16	16	16	16	16	15	16	15	16	16	16	19	17	17	17	17	16	16	16	16	16	16
18	16	16	16	16	16	16	16	16	15	15	16	16	18	18	18	17	16	18	16	16	16	16	15	15
19	16	16	17	16	16	16	16	16	16	16	16	16	18	18	18	16	15	13	16	16	16	16	16	16
20	16	16	16	16	16	16	16	16	15	15	15	17	17	16	16	14	14	16	16	16	16	16	16	16
21	16	16	16	16	16	16	15	17	16	16	16	15	16	19	16	16	16	16	14	15	16	16	16	16
22	15	16	16	16	15	15	15	16	15	16	16	17	16	15	17	17	16	16	14	14	16	16	16	16
23	16	17	16	16	16	15	16	16	15	15	16	16	17	16	17	17	17	15	16	16	16	16	16	16
24	16	16	16	16	16	16	16	16	16	16	16	17	17	17	17	16	15	14	16	16	16	16	16	16
25	15	15	15	15	16	16	15	15	15	16	16	17	18	20	19	16	16	16	16	16	16	17	15	15
26	16	15	15	16	15	15	16	15	16	16	16	16	24	20	18	14	15	17	16	16	16	16	16	16
27	16	16	15	15	15	16	16	16	16	16	20	20	20	20	17	17	17	14	15	15	15	15	15	16
28	16	16	16	16	16	16	16	13	16	16	17	19	21	21	21	16	15	14	15	15	15	15	15	15
29																								
30																								
31																								
	00	01	02	03	04	05	06	07	08	09	10	11	12	13	14	15	16	17	18	19	20	21	22	23
CNT	28	28	28	28	28	28	28	28	28	28	28	28	28	28	28	28	28	28	28	28	28	28	28	28
MED	16	16	16	16	16	16	16	16	16	16	16	16	17	17	16	16	15	16	16	16	16	16	16	16
U Q	16	16	16	16	16	16	16	16	16	16	16	16	17	18	19	18	16	16	16	16	16	16	16	16
L Q	16	16	16	16	16	16	16	15	15	15	16	16	16	16	16	16	15	14	16	16	16	16	16	16

FEB. 2021 fmin (0.1MHz)

NATIONAL INSTITUTE OF INFORMATION AND COMMUNICATIONS TECHNOLOGY, JAPAN

IONOSPHERIC DATA STATION Kokubunji

FEB. 2021 M(3000)F2 (0.01) 135°E MEAN TIME (G.M.T. + 9 H)

LAT. 35°43.0'N LON. 139°29.0'E SWEEP 1.0 MHz TO 30.0 MHz IN 15.0 SEC IN MANUAL SCALING

H D	00	01	02	03	04	05	06	07	08	09	10	11	12	13	14	15	16	17	18	19	20	21	22	23			
1	320	320	325	339	398	313	330	396	393	373	375	379	372	371	371	376	392	389	A	305	309	344	352	324			
2	325	325	352	322	310	329	340	384	391	385	369	391	347	377	364	368	386	362	316	368	361	340	307	304			
3	328	339	334	402	349	362	299	358	349	344	363	363	369	378	376	379	385	367	330	350	332	F	F	308			
4	309	317	339	324	351	327	370	393	414	392	346	341	350	347	370	375	375	377	349	310	311	303	318	343			
5	319	324	359	335	327	318	346	387	389	372	366	378	359	368	380	384	372	378	366	311	310	318	315	360			
6	330	335	335	335	329	334	339	372	372	377	371	372	385	367	367	376	370	389	345	A	339	352	317	323			
7	310	319	338	335	335	325	316	400	376	384	401	320	354	342	351	365	370	377	364	A	289	330	311	330			
8	356	301	331	327	304	324	330	366	373	396	363	360	353	372	383	356	370	372	361	353	340	335	A	309			
9	320	324	307	307	313	319	331	383	379	372	348	365	352	364	376	324	382	391	383	328	336	370	338	328			
10	F	F	F	F				347	321	383	376	373	345	356	359	389	335	361	367	382	389	334	334	336	323	323	
11	306	306	331	322	373	351	337	353	393	367	375	373	351	307	368	367	387	369	V	371	347	316	330	334	317		
12	315	319	323	323	364	368	345	365	376	364	321	370	359	368	379	393	381	394	358	344	329	367	321	302			
13	300	309	324	334	328	313	359	399	373	376	387	384	343	366	353	368	360	365	373	297	309	336	300	301			
14	338	331	335	317	329	329	358	374	394	353	379	370	363	364	374	360	383	384	A	364	369	346	319	F	F		
15	304	318	293	333	351	340	360	404	371	390	344	363	363	354	380	382	376	386	360	337	347						
16	339	330			F	F		318	330	400	384	371	392	335	356	333	366	346	V	359	378	338	325	412	317	306	318
17	312	313	304	304	322	331	378	373	403	368	346	352	347	349	373	367	342	384	374	357	353				336		
18	F	F	F		329				351	377	386	379	358	351	330	370	346	362	375	382	364	332	321	330	331	314	
19	315	350	372	342	346	327	330	381	385	383	352	366	359	331	363	368	398	386	346	343	351	342	339	306			
20	309	309	324	340	294	364	359	366	373	347	342	326	337	364	335	365	366	370	389	350	346	305	289	282			
21	289	299	311	329	391	388	341	382	354	379	366	347	357	372	360	363	368	368	V	372	317	324	316	352	295		
22	295	320	326	405	325	326	319	362	361	374	371	351	322	366	373	375	368	354	358	315	334	343	331	6	305		
23	299	359	323	328	329	326	330	379	374	379	373	362	350	355	347	368	379	364	360	318	346	371	321	309			
24	323	299	299	304	314	314	350	373	364	381	374	337	350	352	365	376	365	372	355	322	346	296	281	278			
25	287	311	333	334	314	327	339	387	348	345	349	369	335	342	336	350	353	369	378	349	325	325	F	F			
26	F	F	F		320				353	387	357	351	345	368	364	353	360	382	367	380	367	328	327	369	357	329	
27	325	306	301	323	322	335	362	346	390	352	362	372	334	353	348	362	369	379	376	363	358	378	297	324			
28	F	F			334	306	330	359	373	380	395	343	342	337	347	362	354	353	353	382	363	382	342	325	345	317	
29																											
30																											
31																											
	00	01	02	03	04	05	06	07	08	09	10	11	12	13	14	15	16	17	18	19	20	21	22	23			
CNT	24	24	24	26	26	25	27	28	28	28	28	28	28	28	28	28	28	28	28	26	26	28	25	23	25		
MED	315	319	328	328	329	327	341	380	376	373	363	363	352	364	366	368	370	378	364	336	335	336	319	317			
U Q	325	328	335	335	349	346	359	387	390	380	374	371	359	369	374	376	382	384	373	350	346	349	338	326			
L Q	305	309	317	322	318	322	330	369	372	358	346	349	347	350	352	362	366	369	355	318	322	322	307	304			

FEB. 2021 M(3000)F2 (0.01)

NATIONAL INSTITUTE OF INFORMATION AND COMMUNICATIONS TECHNOLOGY, JAPAN

IONOSPHERIC DATA STATION Kokubunji

FEB. 2021 M(3000)F1 (0.01) 135°E MEAN TIME (G.M.T. + 9 H)

LAT. 35°43'0"N LON. 139°29.0"E SWEEP 1.0 MHz TO 30.0 MHz IN 15.0 SEC IN MANUAL SCALING

H D	00	01	02	03	04	05	06	07	08	09	10	11	12	13	14	15	16	17	18	19	20	21	22	23
1										L	L	A	A	A	A	A	A							
2										L	382	417	A	A	L	L								
3										L	L	L	L			L								
4										L	U	L	366	402	401		L							
5										L	U	L	396		401		L							
6										A	L					A	A	A	A					
7											398	409												
8										U	L	382	381	384			L							
9										L	U	L	414	410	451									
10										U	L	368	416			L	A	L	L					
11										L		408			422		L							
12									L	A	U	L	384	407	410	379		L	L					
13										L	L	L		409	401	396		L						
14										L	L	L	U	L	416	405		L	L					
15										L	U	L	395	409	412	411		U	L	L	L			
16										L	U	L	387	408	386		L		389		L			
17										L	L	U	L	383	426	387			L	L				
18										L	L	L		A	L	U	L	393		L				
19										L	L			404		L	403		L					
20										A	A	U	L	374	439	385		U	L	A	A	L		
21										L	A	L		378	390		U	L	L	L				
22										L		414	399		412	455		L		L	L			
23										L	L	U	L	428	394		L	L	L	A				
24										L	A	L	U	L	377		L	L	L	L				
25										L		410	398	403	385			A	L					
26										L	L			A	L	L								
27										L			L		412		L	L	L					
28										L	U	L	U	L	436	399	415	L		L	L			
29																								
30																								
31																								
	00	01	02	03	04	05	06	07	08	09	10	11	12	13	14	15	16	17	18	19	20	21	22	23
CNT											2	12	16	19	14	3								
MED											U	L	425	396	409	403	398	393						
U Q											404	416	412	412	403									
L Q											U	L	U	L	383	398	391	385	389					

FEB. 2021 M(3000)F1 (0.01)

NATIONAL INSTITUTE OF INFORMATION AND COMMUNICATIONS TECHNOLOGY, JAPAN

IONOSPHERIC DATA STATION Kokubunji

FEB. 2021 h'F2 (KM)

135°E MEAN TIME (G.M.T. + 9 H)

LAT. 35°43.0'N LON. 139°29.0'E SWEEP 1.0 MHz TO 30.0 MHz IN 15.0 SEC IN MANUAL SCALING

H D	00	01	02	03	04	05	06	07	08	09	10	11	12	13	14	15	16	17	18	19	20	21	22	23											
1									240	246	236	238	238	256	E A	248	230																		
2									232	258	240	284	252	252	252	E AE A																			
3									252	228	238	238	224			246																			
4									250	260	266	262	242																						
5									234	234	234	242	242	242	232																				
6									232	232	240	218	242	234	234	218																			
7												292	246	246	236																				
8												238	244	242	226	212	236																		
9												244	244	218	230	242	242	270																	
10												270	242	242	216	258	232																		
11												236	236	222	244	264	224																		
12								234		224	282	224	230	230	230	220																			
13											234	234	222	222	244	236	236																		
14											216	230	218	234	234	234	238	258																	
15											230	224	260	234	234	234	242	224																	
16												238	218	268	228	242	234	244																	
17												236	268	250	256	248	230	230																	
18												230	244	244	262	244	256	254																	
19												254	236	236	246	246	246	234																	
20												230	240	240	264	254	242	238	228	228															
21												238	232	232	242	250	238	240	240																
22												240	240	240	244	292	214	228	248																
23												222	226	244	244	244	250	222	222																
24												232	232	260	256	246	240	238	238																
25												282	246	232	244	244	236	236																	
26												248	262		232	244	244																		
27												222		228	260	242	242	242	234																
28												234	234	276	262	246	246	246	246																
29																																			
30																																			
31																																			
	00	01	02	03	04	05	06	07	08	09	10	11	12	13	14	15	16	17	18	19	20	21	22	23											
CNT																	1	8	22	26	27	28	28	27	21	7									
MED																	234	232	234	242	240	244	242	240	237	230									
U Q																	236	240	258	250	255	246	246	247	238										
L Q																	226	232	232	234	235	235	234	231	222										

FEB. 2021 h'F2 (KM)

NATIONAL INSTITUTE OF INFORMATION AND COMMUNICATIONS TECHNOLOGY, JAPAN

IONOSPHERIC DATA STATION Kokubunji

FEB. 2021 h'F (KM)

135°E MEAN TIME (G.M.T. + 9 H)

LAT. 35°43.0'N LON. 139°29.0'E SWEEP 1.0 MHz TO 30.0 MHz IN 15.0 SEC IN MANUAL SCALING

H D	00	01	02	03	04	05	06	07	08	09	10	11	12	13	14	15	16	17	18	19	20	21	22	23				
1	E	B	E	B	E	B	E	B	E	B	200	200182202	A	A	A	A	A	202	AE	B	E	B	E	A				
	24	2	23	4	22	0	21	6	18	8	21	6	224	200	188	202			260	260	206	206	244					
2	E	B	E	B	E	B	E	B	E	B	210	210188192192	A	A	192	196	196	196	244	190	198	220	272	264				
	24	8	24	6	21	5	24	8	26	8	24	8	210	210	188	192	192			E	A	E	B	E				
3	E	B	E	B	E	B	E	B	E	B	220	220212212204	204	190196212	200	200200	232	232232232228	248		E	B	E	B	A			
	24	8	23	4	22	6	18	0	20	22	0	290	220212212204	204	190196212	200	200200	200	200200	256	256	260	256	232				
4	E	B	E	B	E	B	E	B	E	B	202	202202202	188	180194184	190202218	200	200	200	200	256	256	260	256	232				
	24	8	24	2	23	4	25	0	21	2	24	8	202	202	188	180	194	184	190	202	218	E	B	E	B			
5	E	B	E	B	E	B	E	B	E	B	230	242210224244262	238	196196204	200188182	188198210	204	198	200230	248	256	234	218					
	21	8	23	4	23	4	23	4	25	4	24	4	214	214	200	190178	A	A	A	E	A	224	202	226	238			
7	E	B	E	B	E	B	E	B	E	B	268	264230228228248	248	186190190200	200200200	200200200	208	198244	340	266	266	238						
	20	2	18	6	24	2	25	2	28	4	25	4	248	200	200200	206	186	188200	192186	206	196	214	224	244	310			
9	E	A	E	B	E	B	E	B	E	B	260	252280280276236	236	198198198192188	170194194204	210196208	244	244208	232	206		E	A	E	A			
	24	0	22	8	26	2	26	2	26	2	26	2	210	192206206206	206	192194	194194194	194208	248	248	248	256						
10	E	B	E	B	E	B	E	B	E	B	240	22826226226226	210	192206206206	206	192194	194194194	194208	248	248	248	256						
	28	8	25	6	25	2	26	2	26	2	26	2	210	196204204200	204	200192192190	196196200	192192192	192218218218	264	306							
12	E	A	E	B	E	B	E	B	E	B	258	274274248214202	224	186204	184164	174196196196196	196196	206206	206206	206230	270							
	27	6	26	4	23	4	23	4	24	4	27	0	214	190180180180	180180180176	192194202	198198192218	264	220	220264	220264	268						
13	E	B	E	B	E	B	E	B	E	B	224	232232254228252	218	196174180180180	180176176	192194210210	210210	A	E	A	244	198208	246					
	25	8	24	6	28	4	24	2	24	2	24	2	206	194184	184194184184	182182190	188188202	202202	190204	204208	240	246						
15	E	A	E	B	E	B	E	B	E	B	258	246284242224224	206	194184	184194184184	182182190	188188202	202202	190204	204208	240	246						
	21	E	B	E	B	E	B	E	B	E	212	238278258244194	232	192192190186	186190	194194190190	208202	210228	184222238	238								
17	E	B	E	B	E	B	E	B	E	B	238	266278278244226	198	206202	198190	188174184184190	198196	196196	196196	202214	252	218						
	22	E	B	E	B	E	B	E	B	E	228	242232224218198	210	202202	202186186	186198190190	208202	210220	220220	220256								
19	E	B	E	B	E	B	E	B	E	B	244	222210214226220	220	198198206206	206204	200200190194	196196	206220220228	214258									
	20	E	B	E	B	E	B	E	B	E	250	276234214258194	202214	A	A	A	A	178	178208	206206	194200	200236	296	290				
	21	E	B	E	B	E	B	E	B	E	290	2902602242190190278	206206	A	190194	194194194	194202	210210	192212226	244206	266							
	22	E	B	E	B	E	B	E	B	E	280	254244188248270	240	212204	194186	186186178	190194	192212	198238	220212212240								
	23	E	B	E	B	E	B	E	B	E	236	212230230216206	206	198202	196196	196182196	194194	194194	194194	194232	208200	284256						
	24	E	B	E	B	E	B	E	B	E	248	258240228226224	194	194194	194192	192192192	192192	192192	228244	206228	254270							
	25	E	B	E	B	E	B	E	B	E	266	256246246252248	218	188204	212194	194186	186198	218212	194190	224244	246266	286						
	26	E	B	E	B	E	B	E	B	E	286	276286250286286	210	196196	196188	188194	220	194202	208208	204216	232212212212	216						
	27	E	B	E	B	E	B	E	B	E	250	274282256234240	208194	180196222196	188176	176176198	192206	186194	200188280	274								
	28	E	B	E	B	E	B	E	B	E	282	282240268238216	200200	196188176	176182	182182196	192192	216202	188188	206206	206244	244						
	29																											
	30																											
	31																											
		00	01	02	03	04	05	06	07	08	09	10	11	12	13	14	15	16	17	18	19	20	21	22	23			
CNT	28	28	28	28	28	28	28	28	28	27	24	27	26	24	24	24	25	25	28	26	26	28	28	27	27			
MED	E	B	E	B	E	B	E	B	E	B	248	249240238231226	210	198200	194192	189186	194194	194194	202199	197218	220220	240256						
U Q	E	B	E	B	E	B	E	B	E	B	267	265268253246250239	204	204202	200194	192197	197196	200200	208203	210232	244240	264270						
L Q	E	B	E	B	E	B	E	B	E	B	237	234231224219216	207	194194	188184	186179	185190	192196	192200	205208	220238							

FEB. 2021 h'F (KM)

NATIONAL INSTITUTE OF INFORMATION AND COMMUNICATIONS TECHNOLOGY, JAPAN

IONOSPHERIC DATA STATION Kokubunji

FEB. 2021 h'E (KM)

135°E MEAN TIME (G.M.T. + 9 H)

LAT. 35°43.0'N LON. 139°29.0'E SWEEP 1.0 MHz TO 30.0 MHz IN 15.0 SEC IN MANUAL SCALING

H D	00	01	02	03	04	05	06	07	08	09	10	11	12	13	14	15	16	17	18	19	20	21	22	23				
1								B	B	114	110	110	110	110	114	114	A	A	B									
2								B		114	114	114		A	A	A	A		B									
3								B	B	A	A		114	114	114	114	A	A	A	A								
4								B	B		114	114	108	108	108	108	A	A	108	B								
5									114	114			114	108	108	108	A	108										
6								B	B			A	A	A	108		110	110		B								
7								B	B		110	110		A	A	A		110	A	A	B							
8								B	B			A	A	A	A			108	108	108	B							
9													A		110	110	110	110	110		B							
10								B			116	114	A	A		114	A	A	A	A	114	B						
11								B	B		108	108		A	A		112	112	112	110	110	B						
12												A		108	108	108	108	108	108	108	B							
13								B			110	110	110	110	110	108	108	108	108	108	B							
14								B			108	108	108	108	112	112	112	112	112	108	B							
15								B			120	118			A	A	A	A	114	114	114	114	B					
16								B			114		A		114	114	114	114	114	114	A	B						
17								B			114	116	112	112	110	110	110	110	110	110	110	B						
18								B			110	110	110	110	110	110	110	110	110	110	110	B						
19								B			110	112	112		A	108	108	108	108	108	108	108	B					
20								B			124		A	A	A	A		112	A	A	A	108	B					
21								B	B			A	A		108	112	112	112	112	112	112	B						
22								B	B			112	112	112	112	112	112	112	112	112	112	112	B					
23								B			120	120	112	108	108	108	108	108	108	108	108	108	118					
24								B			122	122	112	112	112	112		A	A		112	112	112					
25								B			112	112	116		A	A	A	A	A	A	112	B						
26								B	B		112	112		A		112	114	110	110	110	110	B						
27								B			110	110	110	110	110	110	110	110	110	110	110	B						
28											110	112	112		A	110	110	110	110	110	110	110						
29																												
30																												
31																												
CNT	00	01	02	03	04	05	06	07	08	09	10	11	12	13	14	15	16	17	18	19	20	21	22	23				
MED										17	21	19	17	20	21	21	19	18	23	4								
U Q										114	112	112	110	111	110	110	110	110	110	110	112							
L Q										118	115	114	113	113	112	112	112	112	112	112	115							
										110	110	110	108	110	108	108	108	110	108	111								

FEB. 2021 h'E (KM)

NATIONAL INSTITUTE OF INFORMATION AND COMMUNICATIONS TECHNOLOGY, JAPAN

IONOSPHERIC DATA STATION Kokubunji

FEB. 2021 h'Es (KM)

135°E MEAN TIME (G.M.T. + 9 H)

LAT. 35°43.0'N LON. 139°29.0'E SWEEP 1.0MHz TO 30.0MHz IN 15.0SEC IN MANUAL SCALING

H D	00	01	02	03	04	05	06	07	08	09	10	11	12	13	14	15	16	17	18	19	20	21	22	23	
1	B	90	90	B	90	104	B	B	G	G	140	138	116	116	116	98	102	102	90	90	90	90	90	90	
2	B	B	B	B	B	B	96	96	96	G	G	122	106	112	104	100	100	B	86	B	86	86	112		
3	112	98	92	92	98	98	98	102	102	102	G	G	G	102	102	100	100	96	96	96	96	92	90	B	
4	B	B	B	B	B	B	96	96	G	G	G	124	104	104	108	108	108	108	108	104	96				
5	90	90	90	B	90	90	B	G	104	152	104	G	G	G	104	G	B	104	90	98	98	B	B	B	
6	B	114	114	102	102	106	106	106	106	102	100	100	100	100	100	124	124	112	112	112	112				
7	96	B	B	B	B	B	B	B	G	G	96	98	98	92	G	92	90	90	90	90	90	90	90	90	
8	B	B	96	B	B	B	B	B	G	96	96	96	96	96	G	G	134	104	98	96	92	92	92	92	
9	82	82	94	94	94	94	94	94	G	G	112	102	G	G	G	G	128	100	100	96	96	96	96	96	
10	B	B	106	96	96	96	96	B	G	114	104	100	114	96	96	96	96	96	94	94	84	84	84	84	
11	84	B	B	B	B	B	B	B	G	84	126	82	G	G	G	G	B	82	88	88	88	88	86		
12	90	90	90	90	B	B	B	G	G	90	G	G	136	136	136	142	122	80	B	B	90	90	B		
13	B	B	B	B	B	B	B	G	G	G	G	G	G	G	G	B	86	B	B	B	B	B	86		
14	96	B	B	B	B	B	B	G	G	G	G	G	G	G	G	96	114	92	92	92	92	92	88	88	
15	88	116	92	92	92	92	B	G	G	92	92	92	92	G	G	G	G	94	94	102	102	102			
16	B	B	B	B	86	86	156	116	102	G	G	G	G	G	G	G	94	94	94	94	94	94	110	116	
17	B	96	96	96	B	B	B	B	152	152	G	G	G	G	G	G	G	B	80	88	B	B	B	B	
18	B	B	B	B	B	B	B	88	G	G	G	124	146	132	146	G	G	B	B	B	B	B	B	B	
19	90	90	90	90	B	90	B	G	G	96	G	G	142	96	G	G	96	86	86	86	B	B	B		
20	B	86	90	90	B	B	120	G	96	96	94	88	G	80	80	80	80	80	80	80	80	84	B	B	
21	84	88	B	B	B	B	106	104	104	94	G	G	G	G	G	G	B	B	B	B	B	B	B		
22	B	94	94	94	B	B	94	136	G	G	G	G	G	G	G	G	B	B	B	B	B	B	B		
23	B	B	B	B	B	B	B	G	G	G	G	G	136	G	G	G	B	B	B	B	86	86	86	90	
24	B	B	B	B	B	90	B	G	G	G	148	138	106	G	98	G	G	98	B	98	B	B	104		
25	B	B	B	B	B	B	146	100	100	100	100	92	92	G	G	B	B	B	B	B	B	B	92		
26	B	92	92	B	B	B	B	112	G	G	106	170	178	G	G	G	B	B	B	B	B	B	B	B	
27	B	B	B	B	B	B	B	G	G	148	158	144	G	G	G	160	120	B	B	B	B	B	B		
28	B	B	B	B	B	B	134	G	G	98	G	G	82	140	G	G	140	B	B	B	B	B	B		
29																									
30																									
31																									
CNT	00	01	02	03	04	05	06	07	08	09	10	11	12	13	14	15	16	17	18	19	20	21	22	23	
MED	10	13	14	10	8	10	10	10	10	11	16	15	12	13	13	14	12	14	18	14	17	17	15	15	
U Q	90	90	92	93	93	93	97	109	104	96	100	102	103	100	102	99	101	101	93	93	92	90	90	90	
L Q	84	89	90	90	90	90	94	102	102	92	96	96	97	94	96	92	95	94	86	88	87	86	88	88	

FEB. 2021 h'Es (KM)

NATIONAL INSTITUTE OF INFORMATION AND COMMUNICATIONS TECHNOLOGY, JAPAN

IONOSPHERIC DATA STATION Kokubunji

FEB. 2021 TYPES OF Es

135°E MEAN TIME (G.M.T. + 9 H)

LAT. 35°43.0'N LON. 139°29.0'E SWEEP 1.0MHz TO 30.0MHz IN 15.0SEC IN MANUAL SCALING

H D	00	01	02	03	04	05	06	07	08	09	10	11	12	13	14	15	16	17	18	19	20	21	22	23
1	F 1	F 1		F 1	F 2					H 1	H 1	C 1	C 2	C 2	L 2	L 4	L 4	F 5	F 3	F 1	F 3	F 2	F 2	
2					L 2	L 4	F 8			C 1	L 2	L 2	L 3	L 3			F 1			F 4	F 2	F 2	F 2	
3	F 1	F 3	F 2	F 1	F 1	F 3	F 2	F 3	F 4	F 2				F 2	F 3	F 4	F 4	F 2	F 2	F 2	F 2	F 2	F 4	
4					L 1	L 1					C 1	L 3	L 3			L 2		F 3	F 3	F 2	F 2	F 2		
5	F 1	F 2	F 1		F 2	F 2		L 2	H 1	L 2					L 2			F 1		F 2	F 2	F 2		
6	F 1	F 3	F 3	F 2	F 2	L 3	L 2	L 2	L 3	L 3	L 2	L 2	L 3	L 3	C 3	C 5	C 5	F 6	F 2	F F				
7	F 2									L 1	L 1	L 1	L 2	L 2	L 2	L 3	L 2	F 3	F 7	F 5	F 4	F 2	F 3	
8		F 1							L 3	L 3	L 3	L 2	L 2				H 1	F 4	F 3	F 2	F 2	F 8	F 6	
9	F 2	F 2	F 2	F 2	F 2	F 1				C 1	L 1						C 2	F 5	F 2	F 4	F 3	F 3	F 3	
10		F 1	F 2	F 1	F 1		C 2	L 1	L 2	C 1	L 2	L 2	L 3	L 2	L 2	L 2	L 2	F 2	F 1	F 3	F 3	F 2	F 1	
11	F 1							L 3	C 1	L 2								F 2	F 1	F 2	F 3	F 4	F 4	
12	F 1	F 1	F 1	F 1				L 3			H 1	H 1	H 1	H 1	C 2	F 1				F 1	F 1			
13																	L 1						F 2	
14	F 2													L 2		C 2	L 5	F 5	F 4	F 2	F 2	F 1	F 4	
15	F 3	F 1	F 3	F 3	F 1	F 3			L 3	L 2	L 1	L 2					L 2			F 1	F 2	F 2	F 1	
16				F 1	F 1	H 1	C 1	L 2								L 3	L 2	F 2	F 2	F 3	F 1	F 1	F 1	
17	F 2	F 2	F 2	1			H 2	H 2										F 1	F 2					
18						L 3				C 1	H 1	C 1	H 1											
19	F 2	F 1	F 1	F 1	F 2				L 2		H 1		L 2					F 2	F 3	F 2	F 2	F 2		
20	F 1	F 1	F 1		C 1		L 3	L 3	L 2	L 2		L 2	L 2	L 2	L 2	L 4	F 3	F 1	F 2	F 2	F 1			
21	F 1	F 1				L 2	L 4	L 2	L 2															
22	F 1	F 2	F 1			L 1	H 2																	
23											H 1				H 2				F 1	F 1	F 2	F 1	F 1	
24					F 1				H 1	H 1	L 2		L 1					F 4		F 1			F 2	
25							H 1		L 2	L 1	L 2	L 2	L 3	L 3									F 1	
26	F 2	F 2			C 2			L 1	H 1	H 1				L 2										
27							H 1	H 1	H 1					H 1		C 2								
28						H 2		L 2		L 2	H 1				H 1									
29																								
30																								
31																								
	00	01	02	03	04	05	06	07	08	09	10	11	12	13	14	15	16	17	18	19	20	21	22	23
CNT																								
MED																								
U Q																								
L Q																								

FEB. 2021 TYPES OF Es

NATIONAL INSTITUTE OF INFORMATION AND COMMUNICATIONS TECHNOLOGY, JAPAN

IONOSPHERIC DATA STATION Yamagawa

FEB. 2021 fxI (0.1MHz)

135°E MEAN TIME (G.M.T. + 9 H)

LAT. 31°12.0'N LON. 130°37.0'E SWEEP 1.0MHz TO 30.0MHz IN 15.0SEC IN MANUAL SCALING

H D	00	01	02	03	04	05	06	07	08	09	10	11	12	13	14	15	16	17	18	19	20	21	22	23	
1	X 34	X 35	X 35	X 36	X 34	X 32												X 47	A 37	X 39	X 42	X 35			
2	X 35	X 36	X 38	X 33	X 31	X 28	X 38											X 48	X 48	X 40	X 37	X 37	X 37		
3	X 39	X 39	X 40	X 39	A 0	X 27												X 50	X 50	X 50	X 42	X 40	X 42		
4	X 41	X 38	X 38	X 33	X 35	X 33												X 50	X 37	A 41	X 42	X 44			
5	X 41	X 38	X 38	X 34	X 32	X 30										X 57	X 53	X 43	X 33	X 36	X 37	X 40			
6	X 34	X 35	X 35	X 35	X 33	X 37											X 48	X 36	X 37	X 42	X 36	X 35			
7	X 40	X 36	X 36	X 36	X 36	X 34	X 33										X 54	X 45	X 41	X 44	X 40	X 41			
8	X 41	A 32	X 34	X 32	X 32											X 64		X 53	X 46	X 36	X 38	X 35			
9	X 36	X 35	X 35	X 34	X 34	X 34	X 39										X 56	X 42	X 40	X 34	X A				
10	X 34	X 35	X 36	X 38	X 35	X 35											X 59	X 43	A 39	X 37	X 42	X X			
11	X 37	X 38	X 36	X 37	X 39	X 30											X 52	X 39	X 40	X 43	X 39	X 36			
12	X 36	X 36	X 36	X 36	X 36	X 31											X 48	X 39	X 38	X 38	X 34	X 34			
13	X 35	X 36	X 38	X 38	X 37	X 34	X 33										X 59	X 42	X 44	X 46	X 43	X 39			
14	X 42	X 40	X 40	X 40	X 40	X 36											X 61	X 40	X 34	X 30	X 32	X 33			
15	X 33	X 33	X 35	X 35	X 37	X 37											X 52	X 40	X 35	X 33	X 30	X 40			
16	X 40	X 40	X 36	X 36	X 46	X 40											X 79	X 61	X 58	X 37	X 35	X 32			
17	X 37	X 36	X 38	X 38	X 39	X 37											X 59	X 47	X 36	X 33	X 33	X 34			
18	X 40	X 36	X 32	X 38	X 32	X 40	X 34										X 52	X 42	X 42	X 40	X 38	X 35			
19	X 36	X 38	X 38	X 36	X 34	X 31	X 29										X 50	X 46	X 47	X 44	X 42	X 38			
20	X 40	X 40	X 42	X 42	X 36	X 36											X 60	X 40	X 38	X 35	X 35	X 35			
21	X 35	X 38	X 38	X 38	X 38	X 29											X 66	X 39	X 39	X 38	X 45	X 36			
22	X 37	X 39	X 37	X 36	X 28	X 27	X 44										C C C C C C	C C C C C C	X 62	X 50	X 45	X 50	X 40	X 37	
23	X 40	X 42	X 44	X 40	X 38	X 34											X 56	X 57	X 50	X 32	X 32	X 34			
24	X 35	X 38	X 40	X 40	X 40	X 40											C C C C C C	X 56	X 50	X 54	X 52	X 38	X 36		
25	X 37	X 37	X 38	X 40	X 39	X 37											X 83	X 48	X 35	X 38	X 40	X 38			
26	X 37	X 38	X 42	X 41	X 42	X 38											X 68	X 54	X 46	X 43	X 38	X 32			
27	X 32	X 32	X 33	X 32	X 34	X 36	X 34		C		C	C	C	C	C	C	C C C C C C	C C C C C C	C C C C C C	C C C C C C	C C C C C C	C C C C C C			
28	C	C	C	C	C	C	C	C	C	C	C	C	C	C	C	C	C C C C C C	C C C C C C	C C C C C C	C C C C C C	C C C C C C	C C C C C C			
29																									
30																									
31																									
	00	01	02	03	04	05	06	07	08	09	10	11	12	13	14	15	16	17	18	19	20	21	22	23	
CNT	27	26	27	27	26	27	4	3										1	1	25	24	24	25	26	25
MED	X 37	X 38	X 38	X 36	X 36	X 34	X 33	X 39									X 64	X 57	X 54	X 44	X 40	X 38	X 36		
U Q	X 40	X 38	X 38	X 39	X 39	X 37	X 34	X 44									X 60	X 49	X 46	X 44	X 40	X 40	X 38		
L Q	X 35	X 36	X 35	X 35	X 34	X 31	X 31	X 38									X 50	X 40	X 36	X 37	X 35	X 34	X X		

FEB. 2021 fxI (0.1MHz)

NATIONAL INSTITUTE OF INFORMATION AND COMMUNICATIONS TECHNOLOGY, JAPAN

IONOSPHERIC DATA STATION Yamagawa

FEB. 2021 foF2 (0.1MHz)

135°E MEAN TIME (G.M.T. + 9 H)

LAT. 31°12.0'N LON. 130°37.0'E SWEEP 1.0MHz TO 30.0MHz IN 15.0SEC IN MANUAL SCALING

H D	00	01	02	03	04	05	06	07	08	09	10	11	12	13	14	15	16	17	18	19	20	21	22	23		
1	28	29	29	30	28	26	21	30	46	52	55	62	59	52	59	54	49	50	41	A	31	33	36	29		
2	29	30	32	27	25	22	20	32	59	59	58	62	57	62	66	64	57	52	42	42	34	31	31	31		
3	33	33	34	33		A	21	22	29	56	70	78	82	73	65	59	65	56	49	44	44	44	36	F	F	
4	F	32	32	27	29	27	25	36	68	50	46	62	71	74	73	68	56	50	44	31	A	35	36	F		
5	F	32	32	28	26	24	23	33	50	56	59	67	62	66	62	58	51	51	47	37	27	30	31	34		
6	28	29	29	29	27		26	30	54	54	57	64	62	64	63	54	54	50	42	30	31	36	30	29		
7	F	30	30	30	29	28		F	35	53	57	57	64	74	78	87	68	61	61	48	39	35	38	34	F	
8	A	35	26	28	26	26	25	37	63	56	63	71	84	86	60	58	58	54	47	40	30	32	29	A		
9	30	29	29	29	28	28	25	33	51	59	62	61	61	58	63	67	59	58	50	A	36	34	28	A		
10		28	29	30		F	F	F	26	34	51	56	59	74	78	80	89	75	69	56	53	37	A	33	31	36
11	31	32	30	31	33	24	22	31	52	60	60	62	70	66	78	70	54	54	46	33	34	37	33	30		
12	30	30	30	30	30	25	22	35	50	63	62	68	78	72	62	62	56	52	42	33	32	32	28	28		
13	29	30	32	32	31	28	27	38	57	59	57	66	62	61	63	68	58	55	53	36	38	40	37	33		
14	36	34	34	34	34	30	29	38	61	58	61	74	68	58	62	55	64	60	55	34	28	24	26	27		
15	27	27	29	29	31	31	26	38	51	51	61	67	79	72	62	56	58	55	46	34	29	27	24	F		
16	F	F	30	30			F	F	22	35	51	54	63	67	78	101	131	118	110	82	73	55	52	31	29	26
17	31	30	32	32	33	31	30	45	52	57	60	68	79	82	67	66	61	61	53	41	30	27	27	28		
18	F	F	26	26			F	F	37	57	61	58	58	68	66	65	71	66	60	46	36	36	34	32	29	
19	30	32	32	30	28	25	23	37	54	56	63	67	82	73	83	68	65	50	44	40	41	38	36	32		
20	34	34	36	36	30	30	26	38	58	55	72	76	R	100	105	86	70	60	54	34	32	29	29	29		
21	29	31	32	32	32	23	25	34	58	63	60	65	68	76	79	72	61	60	60	33	32	32	39	30		
22	31	33	31	30	22	21	23	38	59	76	74	74	67	78	81	C	C	C	C	56	43	39	44	34	31	
23	34	36	38	34	32	28	26	40	59	59		C	C	C	C	C	C	C	C	50	51	44	26	28		
24	29	32	34	34	34	34	26	43	61	55		C	C	C	C	C	C	C	C	50	44	48	46	32	30	
25	31	31	32	34	33	31	29	47	54	59	75	88	74	86	86	76	80	73	77	42	29	32	34	32		
26	31	32	F	35		32	32	48	52	62	74	88	92	93	83	64	63	59	62	48	40	37	32	26		
27	26	27	28	28	30	28	27	49		55	68	C	C	C	C	C	C	C	C	C	C	C	C	C		
28	C	C	C	C	C	C	C	C	C	C	C	C	C	C	C	C	C	C	C	C	C	C	C	C		
29																										
30																										
31																										
	00	01	02	03	04	05	06	07	08	09	10	11	12	13	14	15	16	17	18	19	20	21	22	23		
CNT	22	24	26	25	23	23	25	27	26	27	25	24	23	24	24	23	23	23	25	24	24	25	25	21		
MED	30	31	32	30	30	28	25	37	54	57	61	67	71	72	66	67	59	55	48	38	34	34	32	29		
U Q	31	32	32	34	32	30	26	38	59	60	66	74	78	81	83	71	65	60	54	42	40	38	34	32		
L Q	29	30	29	29	27	24	22	33	51	55	58	63	62	64	62	58	56	51	44	34	30	31	28	28		

FEB. 2021 foF2 (0.1MHz)

NATIONAL INSTITUTE OF INFORMATION AND COMMUNICATIONS TECHNOLOGY, JAPAN

IONOSPHERIC DATA STATION Yamagawa

FEB. 2021 foF1 (0.01MHz)

135°E MEAN TIME (G.M.T. + 9 H)

LAT. 31°12.0'N LON. 130°37.0'E SWEEP 1.0MHz TO 30.0MHz IN 15.0SEC IN MANUAL SCALING

H D	00	01	02	03	04	05	06	07	08	09	10	11	12	13	14	15	16	17	18	19	20	21	22	23	
1									L	L	A	A	AU	L	L	A	A	A							
2										L	L	416	428	428	420	U	L	A							
3										L	L	LU	L	416	432	432		L	400	A	A				
4												428	432	432	412			A		L					
5										L	L	L	LU	L	L	L	L								
6										L	L	416		432	420		L	L							
7										L		424	428		428	L		L	A						
8										L	LU	L	436	436	416										
9										L	L	AU	L	436	448	432		A	A						
10										L		424	436	424	436	428			L	L					
11										L	L	428	428	428	428				L						
12										L	LU	L	480	436	448		U	L	L	408		L			
13										L	L	424	428	440	412	412	U	L		L					
14										L	L	424	432			A	U	L		L					
15										L		424	432	436		440	400	L			L				
16										L	LU	432	416	436	448	424	408	U	L						
17										L	LU	L	416	424	440	428	U	L	L						
18										L	L	436	436			L	452	416		L					
19										L	L	436	432	448	444			A	L						
20										L	LU	L	452	A	444	444	U	L	L	L					
21										L	LU	LU	L	444	456	424	LU	L	L	L					
22										L	LU	L	444	464	444	420	U	LU	LU	C	C	C			
23										C	C	C	C	C	C	C	C	C	C	C					
24										C	C	C	C	C	C	C	C	C	C	C					
25										L	L	L	L	432		L	L	L	L						
26										L	L	452	452	452	440			L	L	L					
27										C	L	C	C	C	C	C	C	C	C	C					
28										C	C	C	C	C	C	C	C	C	C	C					
29																									
30																									
31																									
	00	01	02	03	04	05	06	07	08	09	10	11	12	13	14	15	16	17	18	19	20	21	22	23	
CNT												3	20	19	18	18	7	1							
MED												424	430	432	438	428	408	380							
U Q												U	LU	L	432	440	436	448	440	416					
L Q												424	420	428	432	420	400								

FEB. 2021 foF1 (0.01MHz)

NATIONAL INSTITUTE OF INFORMATION AND COMMUNICATIONS TECHNOLOGY, JAPAN

IONOSPHERIC DATA STATION Yamagawa

FEB. 2021 foE (0.01MHz) 135°E MEAN TIME (G.M.T. + 9 H)

LAT. 31°12.0'N LON. 130°37.0'E SWEEP 1.0MHz TO 30.0MHz IN 15.0SEC IN MANUAL SCALING

H D	00	01	02	03	04	05	06	07	08	09	10	11	12	13	14	15	16	17	18	19	20	21	22	23				
1						B	B	U R	U 224	A 256	U 292	A 312	A	A	A	A	U 288	A	B									
2						B		A	A U R	A 304	A	A	A	A	A	A	A	B										
3						B	B	A	A	A	A U R	332	A	A	A	A	A	B										
4						B	B	A	A U R	U 300	U 320	U R	332	320	U R	312	292	A	B									
5						B	B	U R	U A	A 236	U 276	A	A	A	A	A	A		B									
6						B	B	U R	A 232	A	A	A	A	A	A	A U A	284	A	B									
7						B	B	U A	A 232	A	A	A	A	A	A	A	A	A	B									
8						B	B	A	A	A	A	A	A	A	A	A		A	B									
9						B		U R	U R	U R	U 232	U 268	U 288	U 312	U 328	A	A	A	A	B								
10						B	B	U R	R	A 232	U 272	A	A	A	A	A U R	A 316	A	B									
11						B	B	U R	R	U 236	U 276	U 300	U 328	A	A U R	U A	324	296	A	B								
12						B	B	U R	A U R	U 240	U 280	U 308	U 312	U 328	U 320	U 312	U R	292	A U A	236								
13						B	B	U R	U R	U 224	U 268	U 300	U 328	U 320	U 324	U 320	U R	284	A	B								
14						B	B	U R	U R	U 232	U 280	U 300	A	A	A U A	A U R	308	300	300	A	B							
15						B	B	U R	A	A U R	U 232	A	A 316	U R	U R	U R	U R	U R	U R	A U R	268	232						
16						B	B	U R	A U A U R	U 248	U 292	U 300	U 324	A	A U R	A 312			A	A	B							
17						B	B	U R	A A	U 220	A	A 328	A U R	A 328	A U R	U R	U R	U R	296	276	B							
18						B	B	U R	R	U 256	U 288	U 308	A	A 324	A 316	A U R	U R	280	212									
19						B	B	A U R	U A U A U R	U 280	U 300	U 328	U 344	U 332	U 312	A	A	A	B									
20						B	B	U R	R	U 236	U 272	A	A 316	A U R	A U R	A U R	U R	316	284	236								
21						B	B	U R	A	U 252	U 292	A	A 316	A U R	A 340	A U R	U R	U R	U R	216								
22						B	B	U R	R	U 220	U 292	A	A 316	A U R	A 332	A U R	U R	U R	U R	C	C	C						
23						B	B	U R	A	U 260	C	C	C	C	C	C	C	C	C	C	C	C	C					
24						B	B			U 224	U 268	C	C	C	C	C	C	C	C	C	C	C	C					
25						B	B	U R	A A	U 176	U 252	A	A 348	A U R	U 336	U 320	U 304	U R	U R	U R	276	232						
26						B	B	U R	A U A U R	U 252	U 284	U 312	U 324	U 328	U 344	A U R	U R	U R	308	280	232							
27						B	B	C		304	328	C	C	C	C	C	C	C	C	C	C	C	C					
28						C	C	C	C	304	328	C	C	C	C	C	C	C	C	C	C	C	C					
29																												
30																												
31																												
	00	01	02	03	04	05	06	07	08	09	10	11	12	13	14	15	16	17	18	19	20	21	22	23				
CNT											1	21	17	13	10	13	11	13	13	7	7							
MED											U	R	R	R	R	R	R	R	R	R	R	R	R	R	R			
U Q											176	232	280	300	318	328	332	316	296	276	232							
L Q											U	R	R	R	R	R	R	R	R	R	R	R	R	R	R			

FEB. 2021 foE (0.01MHz)

NATIONAL INSTITUTE OF INFORMATION AND COMMUNICATIONS TECHNOLOGY, JAPAN

IONOSPHERIC DATA STATION Yamagawa

FEB. 2021 foEs (0.1MHz)

135°E MEAN TIME (G.M.T. + 9 H)

LAT. 31°12.0'N LON. 130°37.0'E SWEEP 1.0MHz TO 30.0MHz IN 15.0SEC IN MANUAL SCALING

H D	00	01	02	03	04	05	06	07	08	09	10	11	12	13	14	15	16	17	18	19	20	21	22	23
1	E 16	B 16	E 16	B 16	E 16	B 16	E 24	B 23	G 34	J 39	A 44	J 55	J 36	A 41	J 47	A 47	J 35	A 26	J 45	A 30	J 27	A 24	J 21	
2	E 16	B 16	E 16	B 16	E 16	B 16	E 16	B 16	J 29	A 33	J 38	A 39	J 42	A 40	J 65	A 44	J 34	A 28	J 28	A 26	J 23	A 16	J 21	
3	J 26	A 34	J 33	A 39	J 34	A 32	J 27	A 21	J 31	A 32	J 36	A 39	J 40	A 38	J 39	A 48	J 45	A 45	J 38	A 29	J 23	A 86	J 65	
4	20	22	20	21	21	16	21	30	34	E J	E A	G G	G G	G G	G G	32	32	24	25	42	40	32	40	16
5	E 21	B 16	E 19	B 16	E 16	B 16	E 16	B 16	G 32	J 35	A 41	J 76	A 43	J 39	A 42	J 31	A 26	J 25	A 21	E 16	J 61	A 38	J 23	
6	J 23	A 28	E 16	B 16	E 16	B 15	E 15	B 16	G 32	J 34	A 37	J 54	A 39	J 36	J 39	A 33	J 29	A 29	J 24	A 47	J 36	A 22	J 31	
7	J 42	A 41	J 55	A 36	J 33	A 23	J 16	A 23	29	J 32	A 44	J 52	A 55	J 52	A 49	J 44	J 38	A 24	J 15	A 15	J 21	A 51	J 51	
8	J 37	A 65	J 42	A 26	J 22	A 22	J 32	A 23	24	J 29	A 39	J 57	A 71	J 44	A 64	J 64	A 86	J 55	A 80	J 88	A 79	J 37	A 42	J 38
9	J 48	A 44	J 15	A 23	J 15	A 23	J 21	A 21	G G	G G	G G	38	A 41	A 41	A 44	A 46	A 42	A 44	A 62	A 50	A 42	A 36	A 32	J 37
10	J 29	A 26	J 21	A 32	J 23	A 22	J 21	A 20	G G	J 34	A 40	J 49	A 42	J 38	A 34	J 41	A 52	J 53	A 48	J 41	A 35	J 29		
11	E 22	B 16	E 16	B 16	E 16	B 16	E 16	B 20	G G	G 33	G 40	A 41	G 34	J 36	A 46	J 36	A 40	J 28	A 31	J 20	A 15			
12	E 15	B 16	E 16	B 16	E 16	B 16	E 16	B 16	G 33	G 36	G 36	G 36	G 36	G 53	J 48	A 28	J 36	A 20	J 16	A 16	J 16	A 16		
13	E 13	B 16	E 20	B 20	E 15	B 20	E 15	B 16	G G	G 36	G G	G G	G G	J 33	A 42	J 31	A 23	J 21	A 15	J 21	A 16	J 16	E B	
14	E 15	B 15	E 15	B 16	E 16	B 16	E 16	B 16	G G	J 35	A 35	J 38	A 41	J 38	G 32	J 46	A 37	J 38	A 32	J 23	A 16	J 16	E B	
15	E 15	B 16	E 16	B 38	E 35	B 20	E 20	B 19	E 15	G 32	G 36	G G	G G	G G	G 32	J 15	A 16	J 16	A 16	J 34	A 71			
16	J 43	A 37	J 35	A 22	J 22	A 16	J 16	A 16	G 33	J 36	A 52	J 41	A 39	G 44	J 43	A 28	J 38	A 34	J 34	A 64	J 42	A 22		
17	E 17	B 16	E 33	B 16	E 16	B 22	E 22	B 16	E 16	G 33	J 35	A 68	G 54	G G	G G	28	E 15	A 15	J 17	A 16	J 16	A 16		
18	E 18	B 15	E 21	B 15	E 16	B 16	E 15	B 15	G G	G 42	J 39	A 43	J 36	A 42	G 14	J 24	A 24	J 15	A 16	J 16	A 16	E B		
19	E 19	B 16	E 24	B 16	E 15	B 16	E 16	B 15	22	30	G 35	J 37	G 37	G 37	J 42	A 31	J 35	A 48	J 28	A 15	J 15	A 16	J 16	
20	E 19	B 16	E 16	B 16	E 16	B 16	E 16	B 23	G G	J 34	A 40	J 57	G 42	G 28	J 24	A 22	J 22	A 16	E B					
21	E 16	B 16	E 22	B 22	E 15	B 15	E 20	B 17	G 41	G 41	A 41	G 45	G 45	G 16	J 21	J 35	A 47	J 39	A 16					
22	E 16	B 16	E 16	B 15	E 15	B 15	E 15	B 15	G 40	G G	J A	G G	G C	C C	C C	J 24	A 26	J 31	A 15	J 15	A 15	J 15		
23	E 15	B 15	E 23	B 16	E 15	B 15	E 15	B 16	G 33	C C														
24	E 21	B 21	E 23	B 23	E 16	B 16	E 16	B 16	28	30	C C	J 28	A 30	J 35	A 24	J 21	A 16							
25	E 21	B 16	E 23	B 23	E 34	B 34	E 29	B 33	G 38	J 41	A 40	G 36	G 36	G G	G 32	J 20	A 16	J 22	A 24	J 22				
26	J 35	A 51	J 51	A 26	J 26	A 15	J 26	A 23	E 16	17	G 32	J 35	A 38	G 39	G 39	G 30	J 23	A 21	J 16	A 16	J 16	A 16		
27	E 16	B 16	E 24	B 25	E 16	B 16	E 20	B 34	C 36	C 37	C C													
28	C C																							
29																								
30																								
31																								
	00	01	02	03	04	05	06	07	08	09	10	11	12	13	14	15	16	17	18	19	20	21	22	23
CNT	27	27	27	27	27	27	27	27	26	27	25	24	24	24	24	23	23	23	25	26	26	26	26	26
MED	19	21	19	16	16	16	16	17	G	J 32	A 35	J 38	A 38	J 39	A 36	J 39	A 33	J 28	A 28	J 25	A 27	J 23	A 22	J 18
U Q	J 26	A 33	J 24	A 25	J 22	A 22	J 20	A 21	24	J 33	A 38	J 42	A 52	J 42	A 40	J 44	A 43	J 41	A 38	J 38	A 35	J 36	A 38	J 29
L Q	E 16	B 16	E 16	B 16	E 16	B 16	E 16	B 16	G G	E B														

FEB. 2021 foEs (0.1MHz)

NATIONAL INSTITUTE OF INFORMATION AND COMMUNICATIONS TECHNOLOGY, JAPAN

IONOSPHERIC DATA STATION Yamagawa

FEB. 2021 fbEs (0.1MHz)

135°E MEAN TIME (G.M.T. + 9 H)

LAT. 31°12.0'N LON. 130°37.0'E SWEEP 1.0MHz TO 30.0MHz IN 15.0SEC IN MANUAL SCALING

H D	00	01	02	03	04	05	06	07	08	09	10	11	12	13	14	15	16	17	18	19	20	21	22	23
1	E 16	B 16	G 31	38	41	41	35	35	40	40	30	20	A 45	A 16	E 16	B 16	E 16							
2	E 16	B 16	22	28	31	32	32	32	40	32	24	24	24	23	16	16	16							
3	E 16	B 16	A 18	E 23	34	16	E 16	B 16	23	24	28	31	G 32	32	31	31	39	26	24	E 16	E 16	E 16	26	
4	E 16	B 16	23	23	G G	G G	G G	G G	32	28	22	20	25	A 40	A 16	E 16	E 16							
5	E 16	B 16	G 30	32	33	33	33	32	29	26	24	22	15	E 16	16	E 16	E 16							
6	E 20	B 15	E 16	B 16	E 16	B 15	E 15	B 16	29	30	32	48	34	34	34	26	27	22	21	26	19	16	16	
7	E 16	B 21	E 23	B 16	20	B 16	E 16	B 18	26	28	34	34	34	36	33	32	32	22	15	15	15	15	15	24
8	A 24	A 65	E 16	B 16	E 16	B 16	E 16	B 16	22	28	33	33	35	35	36	31	28	33	23	15	15	42	24	20
9	E 23	B 16	E 15	B 15	E 15	B 15	E 15	B 15	G G	G G	37	37	34	34	36	36	36	36	36	50	27	26	19	37
10	E 10	B 15	E 18	B 16	E 16	B 16	E 16	B 16	G G	G G	34	34	34	33	32	28	33	33	29	A 48	26	25	25	
11	E 11	B 16	E 16	B 16	E 16	B 16	E 16	B 16	G G	G G	32	33	35	31	31	24	24	16	16	20	15	15		
12	E 12	B 15	E 16	B 16	E 16	B 16	E 16	B 16	G G	G G	32	35	34	34	34	26	26	25	21	15	16	16	16	
13	E 13	B 16	E 16	B 15	E 15	B 15	E 15	B 16	G G	G G	32	G G	G G	31	28	23	22	16	15	15	16	16		
14	E 14	B 15	E 15	B 15	E 15	B 16	E 16	B 16	G G	G G	33	31	32	35	35	31	38	16	19	21	18	16	16	
15	E 15	B 16	E 16	B 16	E 16	B 16	E 16	B 15	25	28	G G	G G	G G	30	15	16	16	16	16	16	16	16		
16	E 16	B 16	E 16	B 16	E 16	B 16	E 16	B 16	G 32	32	28	34	34	32	29	23	34	27	23	24	16	16		
17	E 17	B 16	E 16	B 16	E 16	B 16	E 16	B 16	G G	G G	26	26	32	32	32	G G	23	15	15	17	16	16		
18	E 18	B 15	E 15	B 16	E 16	B 16	E 15	B 15	G G	G G	34	36	32	34	32	G G	14	15	16	15	16	16		
19	E 19	B 16	E 18	B 16	E 15	B 16	E 16	B 15	26	G G	33	34	G G	34	35	28	23	23	17	15	15	15	16	
20	E 20	B 16	E 16	B 16	E 16	B 16	E 16	B 16	G G	G G	30	34	40	G G	G G	G G	18	15	15	15	15	16		
21	E 21	B 16	E 16	B 15	E 15	B 15	E 15	B 17	G G	G G	30	32	G G	32	32	G G	16	16	19	16	19	16		
22	E 22	B 16	E 16	B 15	E 15	B 15	E 15	B 15	G G	G G	30	G G	G G	C C	C C	C C	19	19	19	15	15	15		
23	E 23	B 15	E 15	B 16	E 15	B 15	E 15	B 16	G 29	C C	C C	C C	C C	C C	C C	C E	B E	B E	B E	B E	B E	16		
24	E 24	B 15	E 15	B 15	E 16	B 16	E 16	B 16	25	30	C C	C C	C C	C C	C C	E B	18	16	29	16	16	16		
25	E 25	B 16	E 16	B 16	E 18	B 16	E 16	B 16	G 28	32	32	G G	G G	34	G G	G E	B E	B E	B E	B E	B E	16		
26	E 26	B 18	E 17	B 17	E 15	B 16	E 16	B 17	G 31	33	G G	G G	G G	G G	G G	G E	B E	B E	B E	B E	B E	17		
27	E 27	B 16	E 16	B 16	E 16	B 16	E 16	B 16	C 34	34	C C	C C	C C	C C	C C	C C	C C	C C	C C	C C	C C	C C		
28	C C	C C	C C	C C	C C	C C	C C	C C	C C	C C	C C	C C	C C	C C	C C	C C	C C	C C	C C	C C	C C	C C		
29																								
30																								
31																								
	00	01	02	03	04	05	06	07	08	09	10	11	12	13	14	15	16	17	18	19	20	21	22	23
CNT	27	27	27	27	27	27	27	27	26	27	25	24	24	24	24	23	23	23	25	26	26	26	26	26
MED	E 16	B 16	G 26	30	32	32	32	32	31	28	23	20	16	E 16	16	16	16	16						
U Q	E 16	B 16	22	30	33	34	34	34	32	31	30	24	24	23	18	16	16	16						
L Q	E 16	B 16	E 16	B 15	E 16	B 16	E 15	B 16	G G	G G	G G	G G	G G	G G	G G	G E	B E	B E	B E	B E	B E	16	15	

FEB. 2021 fbEs (0.1MHz)

NATIONAL INSTITUTE OF INFORMATION AND COMMUNICATIONS TECHNOLOGY, JAPAN

IONOSPHERIC DATA STATION Yamagawa

FEB. 2021 fmin (0.1MHz)

135°E MEAN TIME (G.M.T. + 9 H)

LAT. 31°12'0"N LON. 130°37'0"E SWEEP 1.0MHz TO 30.0MHz IN 15.0SEC IN MANUAL SCALING

H D	00	01	02	03	04	05	06	07	08	09	10	11	12	13	14	15	16	17	18	19	20	21	22	23
1	16	16	16	16	16	16	16	16	16	16	16	17	23	23	24	15	16	16	16	15	16	16	16	16
2	16	16	16	16	16	16	16	16	16	15	14	15	15	16	16	23	18	17	16	16	16	16	16	16
3	16	16	16	16	16	16	16	16	16	16	15	15	19	21	18	18	15	16	16	16	16	16	16	16
4	16	16	16	16	16	16	16	16	14	14	16	18	18	20	19	16	16	16	16	16	15	16	16	16
5	16	16	16	16	16	16	16	16	14	15	14	14	16	16	17	17	16	15	15	15	16	16	16	16
6	15	15	16	16	16	15	15	16	15	15	15	15	20	18	17	16	16	16	16	14	16	16	16	16
7	16	16	15	16	16	16	16	16	16	15	15	15	20	16	16	16	15	15	15	15	15	15	15	16
8	16	16	16	16	16	16	16	16	15	16	16	14	16	16	20	22	18	16	16	15	15	16	16	16
9	16	16	15	15	15	15	15	15	14	14	14	16	16	16	19	17	17	16	15	15	15	15	15	16
10	15	16	16	16	16	16	16	16	16	16	16	16	17	17	17	18	15	15	15	15	15	16	16	16
11	16	16	16	16	16	16	16	16	15	14	14	15	15	17	17	17	16	16	16	16	16	15	15	15
12	15	16	16	16	16	16	16	16	16	14	15	16	15	15	17	17	13	13	15	15	16	16	16	16
13	16	16	15	15	15	15	15	16	14	14	14	14	16	22	17	16	15	10	15	16	15	15	16	16
14	15	15	15	15	16	16	16	16	14	15	16	13	17	23	17	21	21	16	16	15	15	16	16	16
15	16	16	16	16	16	16	16	15	14	12	12	16	17	18	19	18	18	15	15	16	16	16	16	16
16	16	16	16	16	16	16	16	16	14	14	16	23	16	16	18	17	12	16	15	15	16	16	16	16
17	16	16	16	16	16	16	16	16	16	13	13	18	21	17	18	18	13	15	15	15	17	16	16	16
18	15	15	15	16	16	16	15	15	14	15	15	15	18	14	16	16	16	12	14	15	16	15	16	16
19	16	16	16	15	16	16	15	16	14	12	16	17	16	18	22	21	17	16	15	15	15	15	15	16
20	16	16	16	16	16	16	16	16	16	14	12	13	17	17	17	13	12	14	14	15	15	16	16	16
21	16	16	15	15	15	15	16	17	17	16	14	14	22	24	24	16	15	15	16	16	16	16	16	16
22	16	16	16	15	15	15	15	15	12	16	14	21	22	20	16	C	C	C	C	15	15	15	15	15
23	15	15	16	15	15	15	15	16	14	13	C	C	C	C	C	C	C	C	C	16	15	15	15	15
24	15	15	15	16	16	16	16	16	15	16	C	C	C	C	C	C	C	C	C	16	16	16	16	16
25	16	16	16	16	16	16	16	15	15	15	15	17	17	20	20	18	18	14	16	16	16	16	16	16
26	16	17	17	15	16	16	16	17	14	16	15	16	16	17	18	17	17	16	16	16	16	16	16	16
27	16	16	16	16	16	16	16	16	C	13	15	C	C	C	C	C	C	C	C	C	C	C	C	
28	C	C	C	C	C	C	C	C	C	C	C	C	C	C	C	C	C	C	C	C	C	C	C	
29																								
30																								
31																								
	00	01	02	03	04	05	06	07	08	09	10	11	12	13	14	15	16	17	18	19	20	21	22	23
CNT	27	27	27	27	27	27	27	27	26	27	25	24	24	24	24	23	23	23	25	26	26	26	26	26
MED	16	16	16	16	16	16	16	16	15	15	15	16	17	17	17	16	16	16	15	16	16	16	16	16
U Q	16	16	16	16	16	16	16	16	16	16	16	16	17	20	20	19	18	17	16	16	16	16	16	16
L Q	15	16	15	15	16	16	15	16	14	14	14	14	16	16	17	16	15	15	15	15	15	16	16	16

FEB. 2021 fmin (0.1MHz)

NATIONAL INSTITUTE OF INFORMATION AND COMMUNICATIONS TECHNOLOGY, JAPAN

IONOSPHERIC DATA STATION Yamagawa

FEB. 2021 M(3000)F2 (0.01) 135°E MEAN TIME (G.M.T. + 9 H)

LAT. 31°12.0'N LON. 130°37.0'E SWEEP 1.0 MHz TO 30.0 MHz IN 15.0 SEC IN MANUAL SCALING

H D	00	01	02	03	04	05	06	07	08	09	10	11	12	13	14	15	16	17	18	19	20	21	22	23						
1	323	308	340	342	387	322	297	361	361	377	363	374	382	345	355	360	381	400	378	A	302	316	363	349						
2	328	335	349	343	320	296	308	328	372	380	366	368	353	348	362	353	378	374	359	357	343	334	335	306						
3	305	318	311	392		A	416	307	316	348	353	368	368	364	366	350	371	368	370	355	330	335	336	F	F					
4	F	319	336	321	321	340	329	355	398	390	374	335	345	348	354	379	372	381	375	325	A	300	322		F					
5	F	326	336	331	345	317	340	353	396	368	362	369	367	356	362	385	373	365	372	369	324	322	313	335						
6	342	333	325	325	345		F	339	346	356	356	361	362	355	359	371	376	355	384	384	350	346	333	362	334					
7	F	330	307	325	330	335		F	367	369	378	348	350	335	340	346	360	370	370	384	353	285	321	362		F				
8	A	362	319	310	317	317	329	355	364	375	338	355	358	384	348	337	366	377	373	378	362	A	360	310						
9	317	335	335	319	324	317	353	376	383	374	357	352	353	342	353	353	379	346	399	A	348	369	348	A						
10	344	337	323		F	F	F	359	354	383	371	353	365	358	342	361	366	348	371	388	393	A	348	339	328					
11	331	332	323	348	374	368	370	355	363	364	364	367	347	328	344	382	368	397	396	353	331	361	342	327						
12	326	334	334	334	343	339	341	367	383	377	369	345	357	344	353	372	383	367	397	375	354	330	351	324						
13	322	316	316	326	335	317	327	372	389	379	348	379	378	328	357	364	359	348	367	340	302	336	335	311						
14	319	343	336	319	330	332	327	355	397	363	347	352	379	362	383	328	362	371	386	369	328	376	321	310						
15	310	313	334	334	337	373	359	375	379	380	366	353	367	342	355	366	354	375	392	371	356	360	321		F					
16	F	F	334	326		F	F	340	380	386	389	358	347	326	322	333	341	344	343	358	350	377	351	332	311					
17	354	317	314	325	341	343	331	371	381	349	362	345	356	351	329	348	374	364	368	381	348	347	354	339						
18	F	F	356		366		F	F	356	375	368	369	361	349	336	336	358	372	372	383	362	347	337	334	338					
19	330	334	352	353	349	341	318	371	372	343	362	351	353	345	355	359	380	395	363	343	351	332	330	310						
20	329	307	305	366	337	332	340	352	360	354	343	312	R	326	344	368	375	392	384	347	342	334	308	296						
21	293	301	349	328	372	396	250	360	369	364	371	349	326	343	370	365	372	361	393	346	316	317	336	346						
22	285	306	336	355	347	315	327	347	364	362	374	374	332	345	371	C	C	C	C	359	365	302	344	362	313					
23	316	325	338	349	359	345	318	375	358	358		C	C	C	C	C	C	C	C	C	330	362	377	321	308					
24	325	325	338	338	334	361	372	362	371	376		C	C	C	C	C	C	C	C	379	329	311	367	344	292					
25	300	304	307	315	332	298	323	378	373	327	342	362	314	342	334	345	357	344	381	385	315	314	341	346						
26	293	295		F	316		F	322	333	394	364	347	340	354	345	361	369	358	369	345	365	361	359	335	381	347				
27	318	311	335	315	352	344	359	396		C	353	339	C	C	C	C	C	C	C	C	C	C	C	C	C	C				
28	C	C	C	C	C	C	C	C	C	C	C	C	C	C	C	C	C	C	C	C	C	C	C	C	C	C				
29																														
30																														
31																														
	00	01	02	03	04	05	06	07	08	09	10	11	12	13	14	15	16	17	18	19	20	21	22	23						
CNT	22	24	26	25	23	23	25	27	26	27	25	24	23	24	24	23	23	23	25	24	24	25	25	21						
MED	322	322	334	328	341	335	331	361	372	368	362	354	353	344	354	360	370	371	379	355	342	336	339	324						
U Q	330	334	338	346	352	345	347	375	383	377	367	368	364	354	362	371	375	381	387	370	352	356	357	338						
L Q	310	310	319	320	330	317	320	354	364	354	348	350	345	341	345	353	359	361	366	344	316	326	326	310						

FEB. 2021 M(3000)F2 (0.01)

NATIONAL INSTITUTE OF INFORMATION AND COMMUNICATIONS TECHNOLOGY, JAPAN

IONOSPHERIC DATA STATION Yamagawa

FEB. 2021 M(3000)F1 (0.01) 135°E MEAN TIME (G.M.T. + 9 H)

LAT. 31°12.0'N LON. 130°37.0'E SWEEP 1.0 MHz TO 30.0 MHz IN 15.0 SEC IN MANUAL SCALING

H D	00	01	02	03	04	05	06	07	08	09	10	11	12	13	14	15	16	17	18	19	20	21	22	23
1									L	L	A	A	AU	L	L	A	A	A						
2									L	L	399	400	409	390	U	L	A							
3									L	L	LU	L	417	402	402	L	384	A	A					
4											392	389	389	407		A	L							
5									L	L	L	LU	L	L	L	L								
6									L	L	411		401	410		L	L							
7									L		406	418		379	L		L	A						
8									L	LU	399	400	419											
9									L	L	AU	L	410	397	413	A	A							
10									L		410	385	412	401	408		L	L						
11									L	L	424	425	418	394			L							
12									L	LU	L	364	426	405		U	L	L	L					
13									L	L	416	427	409	406	406	U	L	L	L					
14									L	L	412	420		A	390	388	U	L	L	L				
15									L		404	400	432		396	413	L		L					
16									L	LU	397	420	415	394	413	401	U	L						
17									L	LU	L	432	425	409	410	U	L	L	L					
18									L	L	403	403		381	380		L		L					
19									L	L	406	410	396	378			A	L						
20									L	LU	392	A		384	U	L	L	L						
21									L	LU	LU	399	388		402	LU	L	L	L					
22									L	LU	L	383	386	398	409	U	LU	LU	C	C	C	C	C	C
23									C	C	C	C	C	C	C	C	C	C	C	C	C	C	C	C
24									C	C	C	C	C	C	C	C	C	C	C	C	C	C	C	C
25									L	L	L	L	412		L	L	L	L						
26									L	L	374	385	386	396			L	L	L					
27									C	L	C	C	C	C	C	C	C	C	C	C	C	C	C	C
28									C	C	C	C	C	C	C	C	C	C	C	C	C	C	C	C
29																								
30																								
31																								
	00	01	02	03	04	05	06	07	08	09	10	11	12	13	14	15	16	17	18	19	20	21	22	23
CNT																3	20	19	18	18	7	1		
MED																404	402	410	402	399	401	384		
U Q																410	414	425	409	409	406			
L Q																U	L	397	392	400	397	390	384	

FEB. 2021 M(3000)F1 (0.01)

NATIONAL INSTITUTE OF INFORMATION AND COMMUNICATIONS TECHNOLOGY, JAPAN

IONOSPHERIC DATA STATION Yamagawa

FEB. 2021 h'F2 (KM)

135°E MEAN TIME (G.M.T. + 9 H)

LAT. 31°12.0'N LON. 130°37.0'E SWEEP 1.0 MHz TO 30.0 MHz IN 15.0 SEC IN MANUAL SCALING

H D	00	01	02	03	04	05	06	07	08	09	10	11	12	13	14	15	16	17	18	19	20	21	22	23	
1									236	236	226	234	226	270	262	250	240	212							
2									222	236	236	258	258	234	242										
3									250	250	238	220	220	232	242	240	220	232							
4											274	258	250	236	228	228									
5									240	240	232	232	240	240	234										
6									238	246	246	236	238	228	236	246									
7									252	262	262	250	238	238	238										
8									238	262	238	238	224												
9									224	230	232	246	274	260	248	212									
10									232	258	232	224	248	228	218	218									
11									236	236	244	244	264	248		242									
12									240	240	266	240	240	242	242	242	236								
13									236	256	232	242	262	248	240	250									
14									238	262	248	232	250	242	288	240									
15									226	242	242	234	234	244	244	244	244								
16									236	254	254	254	254	234	222	230									
17									250	230	272	232	250	250	250										
18									232	240	244	258	264	270	242	232									
19									242	246	256	244	244	244	224	220									
20									246	272	260			238	228	228									
21									242	242	260	268	254	234	242	234									
22									234	222	222	276	244	228			C	C	C						
23										C	C	C	C	C	C	C	C	C	C						
24										C	C	C	C	C	C	C	C	C	C						
25									314	250	232	274	254	254	254	238	252								
26									248	258	244	238	226	226	226	238	238								
27									C			C	C	C	C	C	C	C	C						
28										256															
29																									
30																									
31																									
	00	01	02	03	04	05	06	07	08	09	10	11	12	13	14	15	16	17	18	19	20	21	22	23	
CNT									2	21	24	24	24	23	23	21	19	4							
MED									243	238	244	244	243	250	242	240	235	235							
U Q									242	255	258	258	258	248	246	240	240	245							
L Q									233	237	232	233	240	234	228	228	222								

FEB. 2021 h'F2 (KM)

NATIONAL INSTITUTE OF INFORMATION AND COMMUNICATIONS TECHNOLOGY, JAPAN

IONOSPHERIC DATA STATION Yamagawa

FEB. 2021 h'F (KM)

135°E MEAN TIME (G.M.T. + 9 H)

LAT. 31°12.0'N LON. 130°37.0'E SWEEP 1.0MHz TO 30.0MHz IN 15.0SEC IN MANUAL SCALING

H D	00	01	02	03	04	05	06	07	08	09	10	11	12	13	14	15	16	17	18	19	20	21	22	23		
1	E	B	E	B	E	B	E	B	E	B	A	A	A	A	A	A	A	A	E	B	E	B	B			
1	250	250	230	218	198	198	276	210	192	194									196	260	238	188	210			
2	E	B	E	B	E	B	E	B	E	B										E	A	E	B	B		
2	248	238	230	230	278	288	288	222	206	190	190	190	188	188	188			208	200	202	204	242	222	238	272	
3	E	B	E	B	E	A		A	E	B									A	A	E	B	E	A		
3	262	238	246	196		194	276	238	206	204	196	184	184	184	192	192			202	218	218	210	260	278		
4	E	B	E	B	E	B	E	B	E	B									A	186	206	202	278	270	244	232
4	218	242	216	248	248	224	242	198	196	196	176	182	182	182	192					E	A	E	B	E	B	
5	E	B	E	B	E	B	E	B												E	A	E	B	E	B	
5	244	246	212	222	232	246	238	204	200	200	200	196	192	186	186	186	190	206	196	196	220	234	244	228		
6	E	A	E	B	E	B	E	B	E	B									A		E	A	E	E	B	
6	244	234	246	220	208	230	242	222	212	186	190	190	190	190	190	190	200	196	196	184	226	304	230	214	228	
7	E	B	A	E	E	B	E	B										A		E	B	E	B	E	A	
7	264	294	310	218	246	234	264	208	208	208	204	204	196	196	186	196	196	196	196	242	242	214	276			
8					A	E	B	E	B	E	B									A	E	A	E	A		
8	220		256	256	282	252	252	78	226	208	194	194	194	180	180	210	210	210	210	210	190	194	202	240	276	
9	E	A	E	B	E	B	E	B	E	B								A			A	E	A	A		
9	280	240	240	252	252	252	214	208	208	188	188	188	188	188	188	188	202	202	202	202	244	220	220			
10	E	B	A	E	B	E	B	E	B												A	E	A	E	A	
10	220	238	264	276	256	216	206	202	202	202	200	200	190	186	188	188	192	192	196	266	266	284				
11	E	B	E	B	E	B	E	B												E	B	E	A	B		
11	228	222	230	238	208	200	200	200	200	188	188	188	184	184	184	188	204	196	196	204	224	222	222	240		
12	E	B	E	B	E	B	E	B	E	B										E	B	E	B	B		
12	240	240	240	240	226	202	248	200	196	196	196	196	180	190	190	184	192	196	192	192	208	214	250			
13	E	B	E	B	E	B	E	B	E	B										E	B	E	B	B		
13	256	258	236	236	244	256	248	204	204	196	196	190	182	168	168	176	188	188	200	200	200	252	220	202	260	
14	E	B	E	B	E	B	E	B	E	B							A			E	B	A	E	B		
14	248	228	234	246	226	226	242	210	196	184	194	184	174	198	192	200	218	196	196	250	226	244	248			
15	E	B	E	B	E	B	E	B												E	B	E	B	B		
15	248	262	252	246	224	198	210	196	190	174	174	174	174	180	180	180	192	192	184	184	192	202	208	248		
16	E	B	E	B	E	B	E	B												E	A		E	B		
16	258	242	242	242	220	184	240	192	192	198	194	190	190	184	178	178	190	200	198	212	188	230	210	270		
17	E	B	E	B	E	B	E	B	E	B										E	B	E	B	B		
17	218	256	256	258	226	206	236	196	196	174	198	180	180	180	180	180	206	216	194	184	194	200	222	228		
18	E	B	E	B	E	B	E	B												E	B	E	B	B		
18	292	240	218	238	212	198	250	214	208	180	174	180	194	212	196	210	198	202	196	196	212	212	212	226		
19	E	B	E	B	E	B	E	B	E	B							A			E	A	E	B	B		
19	236	234	210	206	210	210	258	204	204	178	214	198	190	190	190	188	202	202	218	218	218	218	268			
20	E	B	E	B	E	B	E	B	E	B						A				E	B	E	B	B		
20	264	262	238	212	210	224	222	222	208	200	196	190				226	206	194	188	192	192	188	210	252	300	
21	E	B	E	B	E	B	E	B												E	A	E	B	B		
21	300	274	230	230	204	186	298	216	216	212	192	182	182	188	188	202	198	208	188	198	258	262	224	218		
22	E	B	E	B	E	B	E	B	E	B							C	C	C		E	B	E	B		
22	294	266	212	204	216	278	262	216	204	190	194	186	186	182	182			204	204	260	204	198	246			
23	E	B	E	B	E	B	E	B	E	B						C	C	C	C	C	E	B	E	B		
23	246	216	216	212	204	206	236	194	202	202										202	194	194	208	246		
24	E	B	E	B	E	B	E	B								C	C	C	C	C	E	B	E	B		
24	254	240	222	222	228	204	204	204	204	200								194	204	240	188	206	278			
25	E	B	E	B	A	E	B	E	B											E	B	E	B	B		
25	288	278	262	262	234	256	256	194	194	200	200	200	192	188	210	202	198	198	174	204	230	222	220			
26	E	A	E	B	E	B	E	B	E	B										E	B	E	B	B		
26	274	264	264	246	274	236	224	186	186	198	204	194	194	194	194	182	186	180	196	190	190	226	192	208		
27	E	B	E	B	E	B	E	B	E	B						C	C	C	C	C	C	C	C	C		
27	246	266	234	264	232	238	230	176			212	206				C	C	C	C	C	C	C	C	C		
28	C	C	C	C	C	C	C	C	C	C										C	C	C	C	C		
29																										
30																										
31																										
	00	01	02	03	04	05	06	07	08	09	10	11	12	13	14	15	16	17	18	19	20	21	22	23		
CNT	27	26	27	27	26	27	27	26	27	24	22	21	23	24	18	19	21	25	24	24	25	26	25			
MED	248	242	236	238	226	224	242	202	203	196	194	190	186	188	189	192	192	200	196	197	219	222	220	248		
U Q	E	B	E	B	E	B	E	B	E	B										E	A	E	B	A		
L Q	E	B	E	B	E	B	E	B	E	B										E	B	E	B	B		

FEB. 2021 h'F (KM)

NATIONAL INSTITUTE OF INFORMATION AND COMMUNICATIONS TECHNOLOGY, JAPAN

IONOSPHERIC DATA STATION Yamagawa

FEB. 2021 h'E (KM)

135°E MEAN TIME (G.M.T. + 9 H)

LAT. 31°12.0'N LON. 130°37.0'E SWEEP 1.0 MHz TO 30.0 MHz IN 15.0 SEC IN MANUAL SCALING

H D	00	01	02	03	04	05	06	07	08	09	10	11	12	13	14	15	16	17	18	19	20	21	22	23								
1								B	B		114	114	114	114	A	114	114	114		A	B											
2								B		A	A		114	A	A	A	A	A	A	B												
3								B	B	A	A	A	A		114	A	A	A	A	B												
4								B	B	A	A		114	114	108	108	110	110	110		B											
5								B	B		110	110	110		A	A	A	A			B											
6								B	B		110	110	110		A	A	A	A	110	A	B											
7								B	B		110	110		A	A	A	A	A	A	A	B											
8								B	B	A	A	A	A	A	A	A	A	A	A	B												
9								B			110	110	110	110	110		A	A	A	A	B											
10								B	B		110	110		A	A	A	A		110	A	A	B										
11								B	B		110	110	110	108		A	A		108	108	A	B										
12								B	B		108	108	108	108	108	108	108	108	108	108	A	108										
13								B			108	110	110	110	110	110	110	110	110	110	A	B										
14								B	B		110	110	110		A	A		110	110	110	110		B									
15								B	B			A	A			110	110	110	110	110	110	110										
16								B	B		110	112	116	114		A	A			110	A	A	B									
17								B	B			A	A	A		110		A	110	110	110	110	B									
18								B	B		110	110	110		A		110	A	110		A	112	112									
19								B			114	114	114	110	110	110	110	110	110	110	A	A	B									
20								B	B		110	110		A	A	A		118		118	110	106										
21								B	B		120	116		A	A		114	114		A	108	108	108									
22								B			108	108		A		108	108	108	108	C	C	C										
23								B	B		110		A	C	C	C	C	C	C	C	C	C	C									
24								B	B		110	110		C	C	C	C	C	C	C	C	C	C	C								
25								B			118	108		A	A	A	108	108	108	108	108	108	108									
26								B	B		108	108	108	112	110	110	110	110	110	110	110	110	110									
27								B	B	C		110	110		C	C	C	C	C	C	C	C	C	C								
28								C	C	C	C	C	C	C	C	C	C	C	C	C	C	C	C	C								
29																																
30																																
31																																
	00	01	02	03	04	05	06	07	08	09	10	11	12	13	14	15	16	17	18	19	20	21	22	23								
CNT											1	22	19	15	11	13	12	14	13	9	7											
MED											118	110	110	110	110	110	110	110	110	110	108											
U Q											110	110	114	114	110	112	111	110	110	110	110											
L Q											110	110	110	108	108	108	108	108	109	108												

FEB. 2021 h'E (KM)

NATIONAL INSTITUTE OF INFORMATION AND COMMUNICATIONS TECHNOLOGY, JAPAN

IONOSPHERIC DATA STATION Yamagawa

FEB. 2021 h'Es (KM)

135°E MEAN TIME (G.M.T. + 9 H)

LAT. 31°12.0'N LON. 130°37.0'E SWEEP 1.0MHz TO 30.0MHz IN 15.0SEC IN MANUAL SCALING

H D	00	01	02	03	04	05	06	07	08	09	10	11	12	13	14	15	16	17	18	19	20	21	22	23	
1	B	B	B	B	B	B	98	90	G	112	122	122	106	106	110	110	98	98	98	98	98	90	90	90	
2	B	B	B	B	B	B	B	98	98	98	98	98	98	98	98	90	90	90	90	90	90	90	90	90	
3	92	92	92	86	86	86	86	86	96	96	96	96	G	96	96	98	98	92	92	92	102	92	92	92	
4	92	92	92	92	92	B	B	92	92	92	G	G	G	G	156	110	110	90	90	90	90	94	94	B	
5	94	100	B	B	B	B	B	G	122	118	102	96	96	96	96	96	96	96	96	96	96	86	86	86	
6	110	110	B	B	B	B	B	G	116	116	96	90	90	110	110	90	120	88	88	88	88	88	88	92	
7	94	94	90	90	90	90	B	134	132	114	104	104	98	96	96	100	100	100	100	100	100	100	100	100	100
8	100	94	94	94	94	94	94	94	102	102	98	98	98	98	90	90	90	90	90	90	100	94	94	94	
9	94	86	86	86	86	86	86	G	G	G	140	124	100	100	100	94	94	92	92	92	92	92	92	92	
10	92	86	86	86	86	86	86	G	G	86	92	96	96	G	96	96	86	86	86	86	86	86	86	86	
11	86	B	B	B	B	B	B	86	G	G	152	102	100	156	102	102	102	102	96	88	88	B	B	B	
12	B	B	B	B	B	B	B	G	G	160	148	142	142	134	84	84	124	106	98	B	B	B	B	B	
13	B	98	98	B	B	88	B	B	G	G	112	G	G	G	142	96	90	90	86	B	86	B	B	B	
14	B	B	B	B	B	B	B	G	G	152	92	94	142	142	G	132	100	88	88	96	84	B	B	B	
15	B	B	88	104	98	98	98	B	G	98	98	G	G	G	G	158	G	B	B	B	B	114	98		
16	94	94	94	94	94	B	B	B	G	156	150	112	94	90	G	90	90	98	108	108	94	92	92	92	
17	B	92	B	B	92	92	B	B	G	94	94	94	G	94	G	G	G	96	B	B	B	B	B	96	
18	B	110	B	B	B	B	B	G	G	98	122	88	130	84	G	G	B	84	84	B	B	B	B		
19	B	96	B	B	B	B	B	G	134	120	132	136	G	138	94	94	88	88	80	B	B	B	B		
20	80	B	B	B	B	B	B	134	G	G	94	94	94	G	94	G	G	88	88	88	88	88	88		
21	B	B	102	102	B	B	B	164	B	G	96	96	G	G	G	G	G	B	92	90	90	90	B		
22	B	B	B	B	B	B	B	B	G	G	90	G	G	G	C	C	C	94	94	94	B	B	B		
23	B	94	B	B	B	B	B	G	94	C	C	C	C	C	C	C	C	C	B	B	B	B	B		
24	86	86	86	B	B	B	B	B	150	150	C	C	C	C	C	C	C	90	94	86	86	86	B		
25	100	B	110	90	90	90	90	G	G	100	100	100	G	G	150	G	G	80	80	88	88	88	88		
26	88	94	94	B	94	94	B	B	G	142	144	C	C	C	C	C	C	90	90	90	B	B	B		
27	B	B	50	74	B	B	84	90	C	150	132	C	C	C	C	C	C	C	C	C	C	C	C		
28	C	C	C	C	C	C	C	C	C	C	C	C	C	C	C	C	C	C	C	C	C	C	C		
29																									
30																									
31																									
	00	01	02	03	04	05	06	07	08	09	10	11	12	13	14	15	16	17	18	19	20	21	22	23	
CNT	14	15	14	11	10	10	9	11	7	17	19	19	14	15	16	16	17	17	20	22	17	18	16	13	
MED	93	94	93	90	92	90	90	90	102	112	104	98	98	96	99	98	96	96	90	91	90	90	90	92	
U Q	94	96	98	94	94	94	94	98	134	132	146	132	112	106	100	132	110	101	101	95	96	96	92	93	
L Q	88	92	88	86	90	86	86	86	96	97	96	96	94	94	95	92	90	90	88	88	88	88	88	89	

FEB. 2021 h'Es (KM)

NATIONAL INSTITUTE OF INFORMATION AND COMMUNICATIONS TECHNOLOGY, JAPAN

IONOSPHERIC DATA STATION Yamagawa

FEB. 2021 TYPES OF Es

135°E MEAN TIME (G.M.T. + 9 H)

LAT. 31°12.0'N LON. 130°37.0'E SWEEP 1.0MHz TO 30.0MHz IN 15.0SEC IN MANUAL SCALING

H D	00	01	02	03	04	05	06	07	08	09	10	11	12	13	14	15	16	17	18	19	20	21	22	23
1						L 3	L 2		C 2	C 2	C 3	L 4	C 2	L 3	C 4	L 8	L 2	F 3	F 7	F 2	F 4	F 2	F 1	
2								L 2	L 2		L 2	L 2	L 2	L 4	L 5	L 5	L 3	F 9	F 6	F 7	F 3		F 2	
3	F 2	F 3	F 4	F 7	F 6	F 4	L 3	L 2	L 2	L 1	L 1	L 2	L 2	L 2	L 3	L 9	L 6	F 3	F 2	F 1	F 2	F 4		
4	F 2	F 4	F 1	F 1	F 3			L 1	L 3	L 3					H 1	C 2	C 1	F 7	F 5	F 2	F 5			
5	F 1		F 1						C 2	C 2	L 1	L 2	L 2	L 3	L 2	L 3	L 2	L 3	L 1		F 3	F 4	F 4	
6	F 3	F 3							C 3	C 2	L 3	L 7	L 3	L 2	L 3	L 2	L 3	L 2	F 4	F 4	F 3	F 3	F 1	
7	F 2	F 3	F 7	F 2	F 2	F 3		H 2	C 2	C 2	L 4	L 4	L 2	L 3	L 3	L 4	L 2			F 1	F 2	F 4		
8	F 5	F 6	F 3	F 2	F 2	F 3		F 2	L 1	L 2	L 3	L 2	L 2	L 3	L 6	L 3	L 3	L 3	F 2	F 2	F 4	F 4	F 3	
9	F 4	F 1	F 2	F 2	F 2	F 2				H 2	C 2	L 2	L 2	L 3	L 2	L 4	L 4	L 6	F 5	F 6	F 3	F 4	F 3	
10	F 10	F 2	F 2	F 2	F 2	F 2		L 1		L 3	L 3	L 2	L 2			L 4	L 2	L 5	L 9	L 3	L 6	F 3	F 3	F 2
11	F 11							L 1		H 2		L 2	L 3			H 1	L 3	L 2	L 2	F 2	F 3	F 2	F 1	
12									H 2		H 1	H 1	H 1	H 2	L 1	L 2	L 2	L 3	CL 2	F 2	F 1			
13	F 1	F 1		F 1						C 1					H 1	L 2	L 2	L 2	F 1		F 1			
14									H 1	L 2	L 2	H 2	H 2	HL 22		C 2	L 6	F 3	F 3	F 4	F 2			
15		F 2	F 2	F 1	F 1	L 1			L 2	L 2						H 2					F 2	F 4		
16	F 16	F 2	F 2	F 1	F 2				H 2	H 1	L 3	L 2	L 3		L 3	L 1	L 2	F 4	F 3	F 2	F 3	F 3	F 1	
17		F 2		F 2	F 2				L 2	L 2	L 3		L 2				L 2					F 1		
18	F 1									LH 22	CL 12	LH 21	HL 12	L 5					F 1	F 1				
19	F 2							H 1	C 1	H 2	H 1				H 2	L 3	L 2	L 3	F 5	F 3				
20	F 20							H 1		L 3	L 3	L 4		L 2				F 3	F 1	F 2	F 2	F 2		
21		F 1	F 2			H 1			L 2	L 1				L 3					F 1	F 3	F 4	F 4		
22										L 2								F 3	F 2	F 4				
23	F 1								L 2															
24	F 24	F 1	F 1					H 2	H 2								F 4	F 3	F 7	F 5	F 1			
25	F 25	F 1	F 1	F 4	F 2	F 4	F 2	L 2		L 2	L 3	L 2		H 1			F 2	F 1		F 2	F 2	F 2	F 2	
26	F 26	F 3	F 2	F 2	F 1	F 1			H 2	H 2				L 3			F 1	F 1	F 1	F 1				
27		F 2	F 2			L 2	L 1		H 2	H 2														
28																								
29																								
30																								
31																								
	00	01	02	03	04	05	06	07	08	09	10	11	12	13	14	15	16	17	18	19	20	21	22	23
CNT																								
MED																								
U Q																								
L Q																								

FEB. 2021 TYPES OF Es

NATIONAL INSTITUTE OF INFORMATION AND COMMUNICATIONS TECHNOLOGY, JAPAN

IONOSPHERIC DATA STATION Okinawa

FEB. 2021 fxI (0.1MHz)

135°E MEAN TIME (G.M.T. + 9 H)

LAT. 26°41.0'N LON. 128°09.0'E SWEEP 1.0MHz TO 30.0MHz IN 15.0SEC IN MANUAL SCALING

H D	00	01	02	03	04	05	06	07	08	09	10	11	12	13	14	15	16	17	18	19	20	21	22	23
1	X	X	X	X	X	X	X												X	X	X		X	
	39	39	40	40	39	28	26												36	33	39	53	34	
2	X	X	X	X	X	X	X												X	X	X	X	X	
	32	34	33	30	29	28	26												52	40	39	37	37	
3	X	X	X	X	X	X	X	X											X	X	X	X	X	
	43	42	43	44	26	27	28	32											52	48	50	40	38	
4	X	X	X	X	X	X	X											A	X	X	X	X	X	
	39	38	39	32	34	35	31												42	44	44	42		
5	X	X	X	X	X	X	X												X	X	X	X	X	
	40	38	36	34	33	30	27												64	45	31	34	37	
6	X	X	X	X	X	X	X												42	38	40	43	41	
	32	35	32	30	32	30	30												X	X	X	X	X	
7	X	X	X		X	A													61	54	49	45	34	
	38	34	32	37	34		31												X	A	A	X	X	
8	X	X	X	A	X	A	X												48		36	33		
	38	39	30		32		28												X	A	X	A	X	
9	X	X	X	X	X	X	X												45		39	32		
	34	34	34	32	32	31	30												X	X	X	X	X	
10	X	X	X	X	X	X	X												50	55	51	56	47	
	32	32	33	33	40	36	27												X	X	X	X	X	
11	X	X	X	X	X	X	X												45	38	44	38	38	
	47	46	35	35	41	32	27												X	X	X	X	X	
12	X	X	X	X	X	X	X												43	32	33	34	32	
	39	37	38	38	36	30	26												X	X	X	X	X	
13	X	X	X	X	X	X	X												53	63	54	52	44	
	34	34	34	34	36	32	30												X	X	X	X	X	
14	X	X	X	X	X	X	X												45	40	33	32	36	
	42	41	36	38	38	34	31												X	X	X	X	X	
15	X	X	X	X	X	X	X												48	41	33	30	32	
	41	37	36	35	38	36	24												X	X	X	X	X	
16	X	X	X	X	X	A	X									C	C	C	C	C	C	C		
	35	33	34	35	42		25												61	53	42	42	34	
17	X	A	X	X	X	X	X									C	C	C	C	C	C	C		
	35	36	39	44	29	30													51	35	31	32	24	
18	X	X	X	X	X	X	X									C	C	C	C	C	C	C		
	37	35	41	41	30	24	22												54	39	38	33	32	
19	X	X	X	X	X	X	X									C	C	C	C	C	C	C		
	33	35	36	36	35	26	25												44	49	49	43	45	
20	X	X	X	X	X	X	X	X	X										X	X	X	X	X	
	51	52	53	53	35	33	37	40											44	36	33	34	34	
21	X	X	X	X	X	X	X												X	X	X	X	X	
	34	34	38	37	36	27	20												66	47	47	52	41	
22	X	X	X	X	X	X	X												X	X	X	X	X	
	34	36	37	29	23	24	25												45	49	44	37		
23	X	X	X	X	X	X	X												X	X	X	X	X	
	36	38	39	36	36	26	25												66	43	38	32		
24	X	X	X	X	X	X	X												X	X	X	X	X	
	34	36	38	37	41	33	30												59	56	39	32		
25	X	X	X	X	X	X	X												39	33	36	36		
	35	37	37	38	41	36	34												X	X	X	X	X	
26	X	X	X	X	X	X	X												58	41	40	36		
	31	33	35	35	36	38	34												X	X	X	X	X	
27	X	X	X	X	X	X	X												52	50	40	39	31	
	34	32	32	33	37	37	32												X	X	X	X	X	
28	X	X	X	X	X	X	X												56	53	47	39		
	32	34	35	35	38	40	28												X	X	X	X	X	
29																								
30																								
31																								
	00	01	02	03	04	05	06	07	08	09	10	11	12	13	14	15	16	17	18	19	20	21	22	23
CNT	28	27	28	27	28	25	28	2												21	26	27	27	28
MED	X	X	X	X	X	X	X	X											X	X	X	X	X	
	35	36	36	35	36	31	28	36											50	45	41	39	36	
U Q	X	X	X	X	X	X	X	X											X	X	X	X	X	
	39	38	38	38	38	36	30												54	54	49	44	38	
L Q	X	X	X	X	X	X	X	X											44	39	33	34	32	

FEB. 2021 fxI (0.1MHz)

NATIONAL INSTITUTE OF INFORMATION AND COMMUNICATIONS TECHNOLOGY, JAPAN

IONOSPHERIC DATA STATION Okinawa

FEB. 2021 foF2 (0.1MHz)

135°E MEAN TIME (G.M.T. + 9 H)

LAT. 26°41.0'N LON. 128°09.0'E SWEEP 1.0MHz TO 30.0MHz IN 15.0SEC IN MANUAL SCALING

H D	00	01	02	03	04	05	06	07	08	09	10	11	12	13	14	15	16	17	18	19	20	21	22	23			
1	33	33	34	34	33	22	20	A	54	51	58	59	60	56	58	60	55	56	46	30	27	33	F	28			
2	26	28	27	24	23	22	20	27	54	68	83	70	69	68	75	68	70	52	50	46	34	33	31	31			
3	37	36	37	38	20	21	22	26	56	75	88	87	86	80	70	61	63	55	44	45	42	44	34	32			
4	F	32	32	33	26	28	29	25	30	62	52	49	54	76	83	83	70	60	56	54	A	36	38	38	36		
5	34	32	30	28	27	24	21	30	48	52	60	73	81	68	74	75	67	66	59	58	39	25	28	31			
6	26	29	26	24	26	24	24	29	52	54	60	62	76	76	68	66	56	55	48	36	32	34	37	35			
7	32	28	26	26	28	22	30	A	53	56	60	76	87	86	94	98	74	67	55	55	48	43	39	28			
8	32	33	24		26	22	A	A	57	56	61	78	98	87	82	77	64	53	61	42	A	A	30	27			
9	28	28	28	26	26	25	24	30	52	58	78	61	58	60	70	88	80	56	70	38	A	33	A	26			
10	26	26	27	27	34	30	21	29	50	56	66	85	89	90	123	128	100	90	74	44	49	45	50	41			
11	41	40	29	29	35	26	21	29	48	55	62	74	85	99	112	122	89	61	59	39	32	38	31	32			
12	33	31	32	32	30	24	20	30	52	52	60	78	94	104	102	103	72	55	50	37	26	27	28	26			
13	28	28	28	28	30	26	24	33	57	54	64	82	70	J	R	100	76	62	63	47	57	48	46	38			
14	36	35	30	32	32	28	25	33	54	54	70	82	91	89	95	98	70	77	54	39	34	27	26	30			
15	35	31	30	29	32	30	18	33	50	51	56	62	86	96	109	108	104	79	66	42	34	27	24	26			
16	F	26	27	28	29	36	A	19	32	46	52	C	C	C	C	C	C	C	C	89	55	47	36	36	28		
17	A	29	30	33	38	23	24	35	50	55	C	C	C	C	C	C	C	C	C	66	45	29	25	26	23		
18	F	F	F	28	24	18	16	31	54	64	C	C	C	C	C	C	87	73	59	56	48	33	32	27	26		
19	27	29	30	30	29	20	19	32	50	60	68	82	C	C	C	C	77	53	48	38	43	43	37	39			
20	45	46	47	47	30	27	31	34	57	55	72	85	96	105	123	126	101	63	59	37	30	27	28	28			
21	28	28	32	31	30	20	U	R	R	33	53	66	67	65	82	90	101	100	H	H	85	76	60	41	41	46	35
22	28	30	31	23	17	18	19	36	57	66	76	77	94	88	84	72	60	63	59	48	39	43	38	31			
23	30	32	33	30	30	20	19	39	54	60	70	68	85	101	109	93	74	65	64	54	60	37	32	26			
24	28	30	32	31	35	27	24	36	58	60	64	72	86	85	84	90	92	83	64	52	53	49	33	26			
25	29	31	31	32	35	30	28	41	48	52	82	89	94	86	95	96	96	90	98	65	32	27	30	30			
26	25	27	29	29	30	32	28	37	53	58	72	94	115	108	107	108	84	79	85	75	52	35	34	30			
27	28	26	26	27	30	31	26	37	48	54	65	80	90	85	68	77	84	81	73	46	44	34	32	24			
28	26	28	29	29	32	34	22	37	48	53	55	79	88	79	87	101	88	91	85	63	50	46	41	33			
29																											
30																											
31																											
	00	01	02	03	04	05	06	07	08	09	10	11	12	13	14	15	16	17	18	19	20	21	22	23			
CNT	28	27	27	27	28	25	27	26	28	28	25	25	24	24	24	25	26	26	28	27	26	27	26	28			
MED	28	30	30	29	30	25	22	32	53	55	65	77	86	86	87	93	75	63	60	46	39	35	32	30			
U Q	33	32	32	32	32	30	24	36	55	60	72	82	92	93	104	102	89	79	72	55	48	43	38	32			
L Q	27	28	28	27	26	22	20	30	50	52	60	66	78	78	74	74	67	56	54	39	32	27	28	26			

FEB. 2021 foF2 (0.1MHz)

NATIONAL INSTITUTE OF INFORMATION AND COMMUNICATIONS TECHNOLOGY, JAPAN

IONOSPHERIC DATA STATION Okinawa

FEB. 2021 foF1 (0.01MHz)

135°E MEAN TIME (G.M.T. + 9 H)

LAT. 26°41.0'N LON. 128°09.0'E SWEEP 1.0MHz TO 30.0MHz IN 15.0SEC IN MANUAL SCALING

H D	00	01	02	03	04	05	06	07	08	09	10	11	12	13	14	15	16	17	18	19	20	21	22	23						
1								A		L 3 9 6	L 4 4 0	A 4 3 6	L 4 3 2	L 4 1 6	U 3 8 8	L														
2									L 4 2 4	4 1 6	4 3 2	4 4 0	4 4 0	4 2 8	4 2 4	L	L													
3										L 3 9 2	4 2 8	4 3 6	4 4 4		4 4 0	4 1 6	A													
4									L 3 4 4	A 4 5 2	4 3 6	4 3 6	4 3 2	4 0 8	L	L	L													
5										A 4 1 6		4 4 4	4 4 0	4 4 0	4 1 6	U 3 8 8	L													
6								L 2 5 2	L 4 2 4	4 2 8	4 3 6	4 4 4		4 2 4	3 9 2	U L														
7									L 4 2 4	4 3 6	4 2 8	4 4 0	4 4 0	4 2 8		A 3 2 0	L													
8								A	L 4 1 2	4 4 0	4 3 6	4 4 0	4 3 6	4 2 0		L														
9									L 4 0 8	4 3 2	4 5 6	4 4 0		4 2 8	3 9 2	L	L													
10								L 2 5 6	U 3 8 4	4 3 2	4 3 6	4 4 0	4 2 4	4 3 6	4 2 0	4 1 6	L													
11									L 4 2 4	4 3 6	4 3 6	4 4 4	4 3 2	4 2 8		L	L													
12								L 3 8 0	U L	4 3 2	4 2 0	4 2 8	4 3 6	4 3 6	4 2 4		L													
13									L 4 2 8	4 4 0	4 3 6	4 5 2	4 3 2	4 2 4		L	L													
14								L 2 5 2	L 4 2 4	L 4 5 6	4 3 6	4 5 2	4 4 0	4 2 4	4 0 0	L	L													
15									L 4 4 0	L 4 1 2	4 2 0	4 5 6	4 4 0	4 2 8	4 0 0	3 0 4														
16								L 2 8 0	U L	C	C	C	C	C	C	C	C													
17									L 3 5 6	C	C	C	C	C	C	C	C	C												
18									L 4 3 2	C	C	C	C	C		4 2 0	4 0 4	L	L											
19									L 4 3 2	4 3 6		C	C	C	C	4 0 4		L	2 0 4											
20								L 4 2 4	L 4 4 0	L 4 5 2	L 4 6 8	L	A	A		4 0 0	L	A												
21								L 2 5 2	L 4 4 4	L 4 2 8	L 4 5 2	L 4 4 0					L													
22									L 4 4 4	L 4 6 0	L 4 3 6	L 4 4 8	L 4 2 4				L	L	L	L										
23									L 4 2 4	L 4 5 6	L 4 5 6	L 4 6 8	L 4 5 2	L 4 3 6	4 0 4	3 1 2	U L	L												
24									L 4 6 0	L 4 5 6	L 4 5 6	L 4 5 6	L 4 5 2	L 4 4 0	4 2 0		L	L												
25								L 2 7 2	L 4 4 0	L 4 5 6	L 4 5 2	L 4 8 4	L 4 5 2	L 4 4 4	L 4 1 2		L	L	L	L										
26									L 4 4 8	L 4 4 8	L 4 5 2	L 4 5 6	L 4 5 6	L 4 6 0	L 4 4 0	4 1 2		L	L											
27									L 4 4 8	L 4 6 0	L 4 6 0	L 4 6 0	L 4 3 2	L 4 4 8			L	L												
28								L 1 7 6	L 2 8 4		L 4 4 4	L 4 5 6	L 4 6 0	L 4 5 2	L 4 3 6	L 4 2 0		L												
29																														
30																														
31																														
	00	01	02	03	04	05	06	07	08	09	10	11	12	13	14	15	16	17	18	19	20	21	22	23						
CNT									1	6	7	20	24	23	23	21	23	15	3	1										
MED									1	7	6	4 2 4	4 4 0	4 4 0	4 4 4	4 4 0	4 2 4	4 0 4	3 1 2	2 0 4										
U Q									2	8	0	3 9 2	4 3 2	4 5 0	4 5 6	4 5 6	4 5 0	4 3 6	4 1 2	3 2 0										
L Q									2	5	2	3 4 8	4 2 0	4 3 6	4 3 6	4 4 0	4 3 2	4 2 0	3 9 2	3 0 4										

FEB. 2021 foF1 (0.01MHz)

NATIONAL INSTITUTE OF INFORMATION AND COMMUNICATIONS TECHNOLOGY, JAPAN

IONOSPHERIC DATA STATION Okinawa

FEB. 2021 foE (0.01MHz) 135°E MEAN TIME (G.M.T. + 9 H)

LAT. 26°41.0'N LON. 128°09.0'E SWEEP 1.0MHz TO 30.0MHz IN 15.0SEC IN MANUAL SCALING

H D	00	01	02	03	04	05	06	07	08	09	10	11	12	13	14	15	16	17	18	19	20	21	22	23
1									A	204	260	292	316	324	320	320	A	A	220	A				
2									B	U	A	U	A	A	U	A	A	A	A	A	A			
3									200	268	292		324											
4										A	A	A	A	A	320	300	296	256	A	A				
5									B	208	252	292	308		A	A	A	A	A	A	A			
6									B	204	272	292	308		A	A	A	A	A	A	A			
7									B	216	256	284	304	316	304		A	A	A	A	A	A		
8									A	196	252		292	312	292	276	U	A	A	A	A	A	A	
9									B	208	260	284		A	A	A	A	A	A	A	A			
10									B	260	292	320		A	A	A	A	A	A	A	A			
11									B	224	272	300	320	324	324		A	A	A	A	A	A		
12									B	A	U	A	272	284	312		A	A	A	A	A	A		
13									B	180	A	A	A	A	A	296	A	244	A					
14									B	220	264	276	300	324	324	312	300	276		A	A			
15									B	212	240	280	292		A	328	320	296	280	232	A			
16									B	180	252		C	C	C	C	C	C	C	C	A			
17									B	224	264		C	C	C	C	C	C	C	C	A			
18									B	A	A	C	C	C	C	300	272	240	A					
19									B	212	260	292	316		C	C	C	C	A	A	B			
20									B	A	256	284		A	308	300	A	A	284	A	A			
21									B	200	252	300	312	328	312		A	A	A	A	A			
22									B	212	260	304		A	A	328	320	304	272	232	A	A		
23									B	U	A	220	268	308	300	324	312	288	A	276	224	A	B	
24									B	224	268	300	320	332	332	304		A	A	A	A	B		
25									A	232	268	308	324	328	320	316	308	276	244		B	B		
26									B	232	268	308	320	324	300	324	308	280	240		A	B		
27									B	232	272	300	320	332	332	328	312	284	240		A			
28									B	212	268	300	312	332	324		A	308	288	248	A	B		
29																								
30																								
31																								
	00	01	02	03	04	05	06	07	08	09	10	11	12	13	14	15	16	17	18	19	20	21	22	23
CNT										23	25	21	18	15	16	12	10	11	10					
MED										212	260	292	312	324	320	314	302	276	240					
U Q										224	268	300	320	328	326	320	308	284	244					
L Q										204	256	284	304	316	308	302	296	272	232					

FEB. 2021 foE (0.01MHz)

NATIONAL INSTITUTE OF INFORMATION AND COMMUNICATIONS TECHNOLOGY, JAPAN

IONOSPHERIC DATA STATION Okinawa

FEB. 2021 foEs (0.1MHz) 135°E MEAN TIME (G.M.T. + 9 h)

LAT. 26°41.0'N LON. 128°09.0'E SWEEP 1.0 MHz TO 30.0 MHz IN 15.0 SEC IN MANUAL SCALING

FEB. 2021 f o E s (0 . 1 M H z)

NATIONAL INSTITUTE OF INFORMATION AND COMMUNICATIONS TECHNOLOGY, JAPAN

IONOSPHERIC DATA STATION Okinawa

FEB. 2021 fbEs (0.1MHz)

135°E MEAN TIME (G.M.T. + 9 H)

LAT. 26°41.0'N LON. 128°09.0'E SWEEP 1.0MHz TO 30.0MHz IN 15.0SEC IN MANUAL SCALING

H D	00	01	02	03	04	05	06	07	08	09	10	11	12	13	14	15	16	17	18	19	20	21	22	23	
1	E 16	B 16	G 17	32	35	40	47	39	37	32	30	27	20	E 16	E 20	E 16	E 16	E 16							
2	E 16	B 16	22	31	34	35	38	38	35	34	31	25	27	20	29	26	25	16							
3	E 16	B 16	E 16	32	33	33	36	46	35	33	40	34	37	40	E 16	E 24	E 16	E 16							
4	E 16	B 16	20	27	33	34	34	35	27	32	21	27	34	72	A 26	16	18	22							
5	E 18	B 16	E 22	B 16	E 16	B 18	E 16	B 16	22	27	33	47	36	42	34	34	36	30	33	22	22	16	16	16	
6	E 16	B 18	E 16	B 16	E 16	B 16	E 16	B 16	G 30	33	36	36	38	50	38	33	25	27	30	26	26	26	21		
7	E 16	B 16	E 16	B 16	E 16	B 53	E 16	B 16	26	30	33	37	36	41	35	36	50	29	27	16	16	16	16	16	
8	E 16	B 16	E 16	B 72	E 16	B 47	E 16	B 52	22	27	34	34	33	33	34	33	30	27	17	16	122	88	18	22	
9	E 21	B 19	E 16	B 16	E 16	B 16	E 16	B 16	G 20	35	38	41	54	38	30	23	22	33	65	16	52	16			
10	E 16	B 16	E 16	B 16	E 16	B 16	E 17	B 16	21	32	34	36	36	35	33	32	32	25	19	24	24	16	16		
11	E 16	B 16	G 29	32	35	36	38	35	33	30	24	21	20	16	22	16	16								
12	E 16	B 16	22	29	38	23	37	37	35	32	29	24	17	16	16	16	16								
13	E 16	B 16	23	28	32	33	33	36	40	36	32	27	29	16	16	16	16								
14	E 16	B 16	G 29	30	G	G	40	38	36	19	23	20	16	16	18	16	16								
15	E 16	B 16	G 27	38	33	34	34	34	30	19	22	23	21	16	16	16	16								
16	E 16	B 16	E 16	B 16	E 16	B 40	E 16	B 16	G 21	C	C	C	C	C	C	C	C	C	28	26	30	18	16	16	
17	E 16	B 51	E 16	B 16	E 16	B 16	E 16	B 16	G 31	C	C	C	C	C	C	C	C	C	E 18	E 16	E 16	E 16	E 16		
18	E 16	B 16	24	31	C	C	C	C	C	32	22	G	G	26	25	16	16	16							
19	E 16	B 16	25	31	34	34	C	C	C	C	29	24	16	16	16	16	16								
20	E 16	B 16	24	30	31	36	35	38	45	52	G	32	18	17	16	16	16								
21	E 16	B 16	E 16	B 16	E 16	B 17	E 17	B 16	23	28	33	34	35	36	35	36	33	26	18	35	22	18	35	21	
22	E 16	B 16	23	30	33	34	34	40	36	33	34	26	23	18	18	19	16	16							
23	E 16	B 16	G 24	30	G	G	37	36	34	G	28	20	16	16	16	16	16								
24	E 16	B 16	G 36	36	38	35	35	32	32	30	40	16	16	16	16	16	16								
25	E 16	B 16	G 32	33	G	G	36	33	29	G	16	16	16	16	16	16	16								
26	E 16	B 16	G 31	34	25	35	34	26	26	G	20	20	16	16	16	16	16								
27	E 16	B 16	28	33	34	35	36	35	34	G	32	18	18	16	16	16	18	16							
28	E 16	B 16	24	33	36	G	35	39	42	24	20	18	16	16	16	16	16								
29																									
30																									
31																									
	00	01	02	03	04	05	06	07	08	09	10	11	12	13	14	15	16	17	18	19	20	21	22	23	
CNT	28	28	28	28	28	28	28	28	28	28	25	25	24	24	24	25	26	26	28	28	28	28	28	28	
MED	E 16	B 16	22	30	33	34	36	38	35	33	30	26	22	16	16	16	16	16							
U Q	E 16	B 16	24	31	34	36	36	40	38	36	32	28	27	24	23	18	17	16							
L Q	E 16	B 16	G	27	32	G	34	35	34	32	G	G	E 18	16	16	16	16	16							

FEB. 2021 fbEs (0.1MHz)

NATIONAL INSTITUTE OF INFORMATION AND COMMUNICATIONS TECHNOLOGY, JAPAN

IONOSPHERIC DATA STATION Okinawa

FEB. 2021 fmin (0.1MHz)

135°E MEAN TIME (G.M.T. + 9 H)

LAT. 26°41.0'N LON. 128°09.0'E SWEEP 1.0MHz TO 30.0MHz IN 15.0SEC IN MANUAL SCALING

H D	00	01	02	03	04	05	06	07	08	09	10	11	12	13	14	15	16	17	18	19	20	21	22	23
1	16	16	16	16	16	16	16	16	16	16	15	16	18	17	16	14	15	16	16	16	16	16	16	16
2	16	16	16	16	16	16	16	16	16	16	14	15	17	16	16	15	14	15	16	16	16	16	16	16
3	16	16	16	16	16	16	16	16	16	16	16	15	19	17	18	16	15	15	16	16	16	16	16	16
4	16	16	16	16	16	16	16	16	16	16	14	15	16	16	14	14	14	14	16	16	16	16	16	16
5	16	16	16	16	16	16	16	16	16	16	15	15	15	14	14	16	15	16	16	16	16	16	16	16
6	16	16	16	16	16	16	16	16	16	16	16	16	16	18	16	16	14	16	16	16	16	16	16	16
7	16	16	16	16	16	16	16	16	16	16	16	16	15	16	16	16	15	16	16	16	16	16	16	16
8	16	16	16	16	16	16	16	16	16	16	14	14	15	15	14	15	15	14	16	16	16	16	16	16
9	16	16	16	16	16	16	16	16	16	16	14	14	14	15	15	14	14	16	16	16	16	16	16	16
10	16	16	16	16	16	16	16	16	16	16	13	15	16	16	14	14	15	16	16	16	16	16	16	16
11	16	16	16	16	16	16	16	16	16	16	15	16	17	18	18	16	16	16	16	16	16	16	16	16
12	16	16	16	16	16	16	16	16	16	16	16	16	16	16	16	14	14	13	16	16	16	16	16	16
13	16	16	16	16	16	16	16	16	16	16	16	16	16	16	16	15	14	15	16	16	16	16	16	16
14	16	16	16	16	16	16	16	16	16	16	16	16	14	16	15	15	16	14	14	16	16	16	16	16
15	16	16	16	16	16	16	16	16	16	15	14	15	16	17	16	16	16	15	16	16	16	16	16	16
16	16	16	16	16	16	16	16	16	16	16	C	C	C	C	C	C	C	C	16	16	16	16	16	
17	16	16	16	16	16	16	16	16	16	16	C	C	C	C	C	C	C	C	16	16	16	16	16	
18	16	16	16	16	16	16	16	16	16	17	C	C	C	C	C	C	17	15	14	16	16	16	16	
19	16	16	16	16	16	16	16	16	16	15	15	16	C	C	C	C	16	14	16	16	16	16	16	
20	16	16	16	16	16	16	16	16	16	16	16	16	16	18	17	16	14	13	15	14	16	16	16	16
21	16	16	16	16	16	17	17	16	16	16	16	16	20	18	18	18	16	15	13	16	16	16	16	16
22	16	16	16	16	16	16	16	16	16	16	16	16	16	17	19	16	17	12	16	16	16	16	16	16
23	16	16	16	16	16	16	16	16	16	15	15	15	15	18	20	18	16	16	14	15	16	16	16	16
24	16	16	16	16	16	16	16	16	16	17	17	17	18	18	18	18	18	18	15	16	16	16	16	16
25	16	16	16	16	16	16	16	16	16	16	17	16	21	22	17	16	16	16	16	16	16	16	16	16
26	16	16	16	16	16	16	16	16	16	16	17	19	19	17	17	16	14	14	16	16	16	16	16	16
27	16	16	16	16	16	16	16	16	16	16	16	17	17	17	22	20	16	14	15	16	16	16	16	16
28	16	16	16	16	16	16	16	16	16	16	18	19	22	20	18	19	16	15	15	16	16	16	16	16
29																								
30																								
31																								
	00	01	02	03	04	05	06	07	08	09	10	11	12	13	14	15	16	17	18	19	20	21	22	23
CNT	28	28	28	28	28	28	28	28	28	28	25	25	24	24	24	25	26	26	28	28	28	28	28	28
MED	16	16	16	16	16	16	16	16	16	16	16	16	17	17	16	16	15	15	16	16	16	16	16	16
U Q	16	16	16	16	16	16	16	16	16	16	16	16	16	18	18	18	16	16	16	16	16	16	16	16
L Q	16	16	16	16	16	16	16	16	16	16	14	15	16	16	16	14	14	14	16	16	16	16	16	16

FEB. 2021 fmin (0.1MHz)

NATIONAL INSTITUTE OF INFORMATION AND COMMUNICATIONS TECHNOLOGY, JAPAN

IONOSPHERIC DATA STATION Okinawa

FEB. 2021 M(3000)F2 (0.01) 135°E MEAN TIME (G.M.T. + 9 H)

LAT. 26°41.0'N LON. 128°09.0'E SWEEP 1.0MHz TO 30.0MHz IN 15.0SEC IN MANUAL SCALING

H D	00	01	02	03	04	05	06	07	08	09	10	11	12	13	14	15	16	17	18	19	20	21	22	23		
1	326	335	355	374	399	348	312	A	383	372	379	352	379	359	338	368	360	372	393	383	314	290	F	329		
2	323	330	359	323	300	301	300	332	362	340	373	367	310	337	357	346	373	373	363	336	379	352	313	286		
3	320	318	299	374	369	303	324	305	355	352	356	354	359	337	348	343	361	376	356	335	343	350	340	305		
4	F	318	340	354	330	311	364	337	335	377	380	346	299	338	336	353	350	347	361	379	A	328	319	322	359	
5	309	312	325	315	334	360	314	353	387	368	376	362	384	344	339	346	321	282	352	360	311	327	325	340		
6	337	333	338	337	349	338	322	344	389	358	355	337	357	366	351	354	359	367	386	336	323	318	350	327		
7	F	346	335	339	325	356	A	F	311	333	374	358	344	328	344	335	327	334	360	372	379	312	323	320	369	309
8	A	329	377	323	325	318	A	A	368	366	328	327	353	354	328	338	387	364	373	368	A	A	347	328		
9	333	320	327	317	322	317	370	373	382	354	386	389	343	337	324	344	380	358	389	390	A	314	A	296		
10	320	316	322	306	359	399	330	355	372	357	342	355	367	337	327	348	361	364	365	359	294	329	312	301		
11	315	318	342	330	378	384	314	352	369	367	354	347	350	307	325	360	346	356	381	320	314	300	364	317		
12	R	319	326	327	337	372	368	348	362	383	382	352	343	347	336	326	301	377	381	372	390	361	309	338	324	
13	J R	312	313	324	335	358	338	327	358	393	350	360	359	368	314	310	334	368	335	350	335	317	298	308	289	
14	309	352	315	319	356	346	325	349	393	347	348	331	351	271	311	315	329	349	404	355	352	342	312	299		
15	R R	323	307	349	331	368	369	311	379	394	380	348	337	341	338	289	305	333	332	357	348	355	364	333	284	
16	F	307	312	306	337	387	A	348	358	395	358	C	C	C	C	C	C	C	C	374	383	343	344	326	314	
17	F	308	308	324	379	383	323	366	376	371	C	C	C	C	C	C	C	C	390	375	398	324	307	342		
18	F F	353	295	367	375	374	B	354	365	361	C	C	C	C	C	C	C	343	359	367	373	380	325	350	335	340
19	323	324	335	357	390	329	321	350	362	355	343	354	C	C	C	C	C	362	384	363	324	327	355	313	303	
20	312	329	347	382	404	321	366	362	359	372	330	321	329	312	335	338	359	388	402	341	337	312	327	295		
21	U R R	284	285	341	364	379	286	352	354	362	354	340	338	332	354	327	317	315	317	303	265	284	361	371		
22	288	312	394	352	368	316	322	349	373	359	348	332	329	333	359	342	355	347	350	353	318	305	337	335		
23	307	326	351	343	394	365	292	356	355	345	345	347	321	312	329	353	352	343	365	373	340	369	350	343	316	
24	320	326	352	344	354	368	378	344	377	372	332	325	338	349	327	332	351	368	380	334	332	343	328	291		
25	291	310	317	335	350	357	341	362	367	315	330	349	349	311	327	327	343	344	374	338	350	300	325	347		
26	347	292	301	308	322	375	389	384	373	332	314	330	354	340	333	329	313	317	336	360	339	296	340	331		
27	309	310	306	319	359	384	403	379	382	366	340	348	352	351	332	334	351	364	404	357	353	302	366	301		
28	R	311	317	311	311	338	392	372	377	385	363	321	348	362	313	317	329	334	358	376	367	310	304	304	332	
29																										
30																										
31																										
	00	01	02	03	04	05	06	07	08	09	10	11	12	13	14	15	16	17	18	19	20	21	22	23		
CNT	28	27	27	27	28	25	26	26	28	28	25	25	24	24	24	25	26	26	28	27	26	27	26	28		
MED	318	318	327	335	359	360	324	354	375	360	348	343	350	336	330	338	357	364	374	353	330	319	330	316		
U Q	324	330	349	352	378	374	348	362	384	370	356	354	358	342	350	347	361	372	384	368	352	344	343	334		
L Q	309	312	315	319	344	325	314	349	366	353	336	329	338	322	326	329	343	347	360	335	317	302	313	300		

FEB. 2021 M(3000)F2 (0.01)

NATIONAL INSTITUTE OF INFORMATION AND COMMUNICATIONS TECHNOLOGY, JAPAN

IONOSPHERIC DATA STATION Okinawa

FEB. 2021 M(3000)F1 (0.01) 135°E MEAN TIME (G.M.T. + 9 H)

LAT. 26°41.0'N LON. 128°09.0'E SWEEP 1.0 MHz TO 30.0 MHz IN 15.0 SEC IN MANUAL SCALING

H D	00	01	02	03	04	05	06	07	08	09	10	11	12	13	14	15	16	17	18	19	20	21	22	23				
1								A		L	L		A	L		U	L	L										
2									L	435	379		414	404	380	381		L										
3									369	389	385	412	383	391	378		L	L										
4									372	371	372	385		A	L	L		A										
5									417	A	U	L	370	387	397	386	389	L	L									
6									397		A			A				A										
7									419	383	396	415	389		382	391	U	L										
8									379	388	418			A	383	374		A	L									
9								A	400	383	408	400	394	383			L											
10									391	405	388	381			375	388	L	L										
11									420	399	377	402	392	432	397	386	386											
12									L	L	406	396	411	393	403	372		L	L									
13									421	373	433	416	387	392	392	392		L	A	L								
14									401	391	408	457			383		L	L										
15									L	L	392	383	423	377	375	390	382	L	L									
16									L	U	L	C	C	C	C	C	C	C	C	C	C	C	C	C				
17									456	433																		
18									L	C	C	C	C	C	396	387	L	L										
19									413		376	381		C	C	C	C	385	L	433								
20									L	L	371	390	391	375	A	A	L	396	A									
21									440	L	378	396	376	387				L										
22									L	L	395	371	424	377	388		L	L	L	L								
23									L	L	392	380	391	375	370	378	383	L	U	L								
24									L	L	366	369	382	375	371	369		L	L									
25									462	L	364	371	380	364	364	367	374	L	L	L								
26									L	U	L	367	381	385	376	376	377	383	L	L								
27									L	L	367	375	384	392	417	382		L	L									
28									465	460	L		395	389	371	A	377	383	L									
29																												
30																												
31																												
	00	01	02	03	04	05	06	07	08	09	10	11	12	13	14	15	16	17	18	19	20	21	22	23				
CNT									1	6	7	20	24	23	21	19	23	14	3	1								
MED									465	448	413	381	384	391	387	386	380	384	409	433								
U Q									460	421	394	396	412	398	397	388	388	453										
L Q									420	372	371	378	385	376	376	377	382	404										

FEB. 2021 M(3000)F1 (0.01)

NATIONAL INSTITUTE OF INFORMATION AND COMMUNICATIONS TECHNOLOGY, JAPAN

IONOSPHERIC DATA STATION Okinawa

FEB. 2021 h'F2 (KM)

135°E MEAN TIME (G.M.T. + 9 H)

LAT. 26°41.0'N LON. 128°09.0'E SWEEP 1.0 MHz TO 30.0 MHz IN 15.0 SEC IN MANUAL SCALING

H D	00	01	02	03	04	05	06	07	08	09	10	11	12	13	14	15	16	17	18	19	20	21	22	23			
1									A	234	240	266	242	266	278	248	258	220									
2										268	224	240	290	274	248	262	220										
3										258	238	236	226	250	254	256	238										
4										212	208	366	264	268	244	242	248	236									
5										234	246	218	260	262	244	240											
6										216	246	264	272	248	226	254	246	252									
7											272	266	252	260	278	240	230	212									
8									A		222	266	264	242	234	248	242	218									
9										224	248	220	222	278	278	294	250	222	226								
10										210	262	260	250	232	262	240	212	228									
11										210	240	266	258	248	262	246	232	212	230								
12										214	220	264	258	242	230	230	240	218									
13											228	240	244	312	280	242	220										
14										208	238	260	256	246	286	262	232	260	222								
15										204	226	282	276	256	244	254	248	216	210								
16										200	226		C	C	C	C	C	C	C								
17										222	236		C	C	C	C	C	C	C								
18											248		C	C	C		250	234	222								
19											264	278	238		C	C	C	C		236	216	204					
20											240	280	274	262	310	266	240	216	214								
21											224	244	248	268	274	250	248		240								
22											224	234	240	274	248	258	226	246	252	238							
23												226	250	288	286	268	244	234	240	236							
24											214	238	282	286	262	244	274	264	240								
25											198		276	250	250	310	278	272	248	238							
26											U	L	222	256	290	274	248	240	244	238	244	232					
27													280	260	252	246	252	274	256	226							
28											192	200	220		266	240	268	278	246	244	228						
29																											
30																											
31																											
	00	01	02	03	04	05	06	07	08	09	10	11	12	13	14	15	16	17	18	19	20	21	22	23			
CNT										1	15	23	24	25	24	24	24	25	17	1							
MED										192	214	238	262	264	248	261	254	245	238	226	204						
U Q										222	248	277	274	262	271	276	250	248	236								
L Q										204	226	239	248	242	245	245	240	220	218								

FEB. 2021 h'F2 (KM)

NATIONAL INSTITUTE OF INFORMATION AND COMMUNICATIONS TECHNOLOGY, JAPAN

IONOSPHERIC DATA STATION Okinawa

FEB. 2021 h'F (KM)

135°E MEAN TIME (G.M.T. + 9 H)

LAT. 26°41.0'N LON. 128°09.0'E SWEEP 1.0MHz TO 30.0MHz IN 15.0SEC IN MANUAL SCALING

H D	00	01	02	03	04	05	06	07	08	09	10	11	12	13	14	15	16	17	18	19	20	21	22	23	
1	236	232	218	206	200	232	300	A	226	206	192	252	200	190	204	200	210	194	186	E A	316	278	206	222	
2	248	244	216	250	298	298	322	240	216	206	200	192	190	218	196	226	214	214	196	220	E AE	AE A	226	246	304
3	246	236	256	188	206	306	288	254	218	234	208	204	196	198	202	A	224	242	298	204	236	214	258	E A	E A
4	270	250	216	246	272	210	242	218	216	186	A	204	178	190	210	198	210	214	206	A E A	272	250	246	234	
5	260	262	258	296	246	230	290	216	208	194	212	214	196	202	A	222	224	200	218	242	262	230	E AE	AE A	E AE A
6	262	258	236	248	226	238	272	226	204	216	214	204	176	222	A	214	216	202	264	284	296	244	242	E A	E A
7	220	216	244	268	222	A	246	246	216	210	214	218	186	180	228	A	206	204	200	206	238	202	250	E A	E A
8	256	206	274	A	262	286	202	200	206	186	178	178	194	186	210	218	212	192	A A	248	A	232	256	E A	
9	278	272	248	272	266	286	214	206	184	222	196	210	200	250	234	190	202	204	212	248	A	248	296	E A	
10	260	268	256	282	224	186	280	208	180	186	184	174	210	182	182	194	206	220	190	178	216	246	224	244	
11	248	224	218	248	214	200	260	214	190	200	180	180	182	210	174	182	200	194	194	184	226	296	202	226	
12	252	248	248	234	204	206	238	212	194	190	248	168	200	214	200	200	208	218	198	186	188	260	232	248	
13	274	274	260	256	234	238	284	202	204	186	196	202	190	170	H	A	222	214	228	206	192	214	224	248	250
14	250	206	268	256	214	214	248	216	202	200	170	172	162	246	228	222	204	210	190	198	198	246	262	284	
15	258	254	220	228	220	206	356	200	194	188	234	172	162	164	196	210	198	190	200	184	214	200	230	314	
16	306	272	274	232	192	A	250	218	176	194	C	C	C	C	C	C	C	C	E A	204	192	230	196	222	216
17	258	A	290	256	208	198	274	206	210	208	C	C	C	C	C	C	C	C	202	192	194	248	274	288	
18	240	322	258	202	214	256	B	224	206	226	C	C	C	C	C	C	204	206	206	216	202	194	216	218	238
19	254	258	232	214	194	274	334	226	222	224	222	212	C	C	C	C	190	208	178	204	230	212	246	292	
20	254	240	228	204	186	268	214	226	216	220	184	224	184	216	A	A	204	198	204	216	254	248	304		
21	322	320	240	216	198	B	G	230	188	216	200	200	194	202	190	240	232	214	196	224	258	264	246	216	
22	310	284	194	218	284	328	306	226	212	216	222	194	202	206	214	182	220	222	220	196	248	250	208	228	
23	264	246	222	228	194	224	338	224	208	188	202	188	172	194	208	218	192	214	218	198	196	200	208	248	
24	264	244	224	218	222	204	204	218	200	174	236	220	224	200	200	194	218	224	208	206	224	206	210	292	
25	302	276	268	244	232	214	234	204	184	238	212	204	186	174	226	218	210	214	210	178	194	266	252	226	
26	228	298	288	280	256	214	202	202	196	208	208	196	190	184	188	182	198	192	221	216	188	182	196	222	240
27	232	274	296	274	228	204	200	180	204	210	218	190	196	186	170	178	238	212	198	180	188	228	214	260	
28	284	272	274	274	248	196	196	172	174	198	202	170	178	232	A	208	204	214	206	180	178	204	218	232	
29																									
30																									
31																									
	00	01	02	03	04	05	06	07	08	09	10	11	12	13	14	15	16	17	18	19	20	21	22	23	
CNT	28	27	28	27	28	24	26	26	28	28	24	24	23	21	19	23	23	25	28	27	26	27	27	28	
MED	258	256	247	246	222	216	258	217	204	206	206	196	190	195	196	203	206	214	204	194	205	244	226	247	
U Q	272	274	268	268	247	262	290	226	214	216	216	207	200	217	208	222	214	219	211	204	230	254	248	286	
L Q	248	240	223	218	205	205	234	206	192	192	196	183	178	183	188	194	200	207	197	186	194	212	214	231	

FEB. 2021 h'F (KM)

NATIONAL INSTITUTE OF INFORMATION AND COMMUNICATIONS TECHNOLOGY, JAPAN

IONOSPHERIC DATA STATION Okinawa

FEB. 2021 h'E (KM)

135°E MEAN TIME (G.M.T. + 9 H)

LAT. 26°41.0'N LON. 128°09.0'E SWEEP 1.0 MHz TO 30.0 MHz IN 15.0 SEC IN MANUAL SCALING

H D	00	01	02	03	04	05	06	07	08	09	10	11	12	13	14	15	16	17	18	19	20	21	22	23
1									A	106	106	104	104	104	104	104	A	A	104	A				
2									B	112	108	102		A	A	A	A	A	A	A				
3										110	106		A	A	A	106	A	A	A	A				
4									B	A	A	A	A	A	102	104	102	102	A	A				
5									B	110	104	104	102		A	A	A	A	A	A	A			
6									B	110	108	106	104		A	A	A	A	A	A	A			
7									B	112	106	102	102	102	102	102	A	A	A	A	A	A		
8									A	106	100		100	100	100	100	A	A	A	A	A			
9									B	108	108	102		A	A	A	A	A	A	A	A			
10									B	A		102	102	102		A	A	A	A	A	A	A		
11									B	106	102	104	104	102	102		A	A	A	A	A	A		
12									B	A		102	102	102		A	A	A	A	A	A	A		
13									B	102		A	A	A	A	A	102		106	A				
14									B	106	104	102	102	100	102	102	102	102	102	A	A			
15									B	102	100	104	102		102	102	102	102	106	108	A			
16									B	102	102		C	C	C	C	C	C	C	C	A			
17									B	98	104		C	C	C	C	C	C	C	C	A			
18									B	A	A	C	C	C	C	104	112	102		A				
19									B	104	102	102	104		C	C	C	C	A	A	B			
20									B	A		102	102		102	102	A	A	100		A	A		
21									B	104	104	104	104	102	100		A	A	A	A	A			
22									B	100	100	104		A	A	104	104	102	102	104	A	A		
23									B	104	104	106	102	102	102	102	A	104	104		A	B		
24									B	106	104	102	102	102	102	102	A	A	A	A	B			
25									A		102	102	102	102	102	102	102	102	104		B	B		
26									B	104	104	104	104	104	104	104	110	104	102	108	A	B		
27									B	122	114	102	102	108	102	102	102	102	102	102	A			
28									B	102	102	102	102	102	102	102	106	106	106	106	A	B		
29																								
30																								
31																								
	00	01	02	03	04	05	06	07	08	09	10	11	12	13	14	15	16	17	18	19	20	21	22	23
CNT										23	25	21	18	15	16	12	10	11	10					
MED										106	104	102	102	102	102	102	102	102	104					
U Q										110	106	104	104	104	102	102	104	104	106	106				
L Q										102	102	102	102	102	102	102	102	102	104					

FEB. 2021 h'E (KM)

NATIONAL INSTITUTE OF INFORMATION AND COMMUNICATIONS TECHNOLOGY, JAPAN

IONOSPHERIC DATA STATION Okinawa

FEB. 2021 h'Es (KM)

135°E MEAN TIME (G.M.T. + 9 H)

LAT. 26°41.0'N LON. 128°09.0'E SWEEP 1.0MHz TO 30.0MHz IN 15.0SEC IN MANUAL SCALING

H D	00	01	02	03	04	05	06	07	08	09	10	11	12	13	14	15	16	17	18	19	20	21	22	23	
1	88	B	96	96	96	100		92	92	142	158	124	112	112	100	104	116	142	96	90	94	94	118		
2	88	88	94		B	B	B	B	134	110	104	104	104	100	100	102	98	96	94	94	94	90	92	90	
3		B	B	B	114	114	108	108		90	110	112	116	108	106	108	114	100	110	96	96	98	96	96	
4	96	94		B	B	98		94	104	102	100	98	98	156	130	92	128	86	86	82	98	98	94	92	92
5	90	94	90	90	88	86	90	88	148	140	132	106	102	100	100	98	96	92	92	96	98		100		
6	102	102	102	108		B	B	B	G	188	116	108	98	92	92	92	94	92	90	90	88	88	88	88	
7	88	108	86	94	108	96	100	142	142	138	118	108	110	100	102	98	94	94	94	108	92				
8	102	96	94	94	94	92	92	92	174	120	106	104	108	104	102	98	98	102	100	112	104	96	94	88	
9	90	90	94	98	94	98	94	92		90	174	132	114	98	98	98	100	96	94	96	94	94	92		
10		B	B	B	88	88	92	88	92	92	112	108	104	100	98	94	94	92	90	90	86	84	84	92	
11	82	82		B	B	B	B	B	G	116	110	112	108	104	112	108	102	108	100	96	94	86	86	90	
12	90		B	B	B	B	B	B	112	108	170	92	160	152	144	88	88	88	88	88		B	B	B	
13		B	B	B	B	B	B	B	140	108	106	100	96	94	94	168	90	160	102	126		94	88	84	
14		B	B	88	B	B	B	B	G	118	120		G	G	176	148	124	94	102	92	84	82	102	96	96
15	84	84	92		B	98	96	94	94	120	190	106	106		174	174	166	94	90	86	102			B	B
16	100	98	90	90	86	90	90		B	114	G	C	C	C	C	C	C	C	C	96	96	94	94	90	90
17	94	90	94	90		B	90	90	90	G	172	C	C	C	C	C	C	C	C	90	92	94	94	110	
18		B	90	B	B	B	B	B	102	172	158	C	C	C	C	C	C	C	G	90	88	104		B	B
19		B	B	B		B	B	B	B	160	190	190	164		C	C	C	C	96	94	108		B	B	B
20		B	92	100		94	98	128	180	190	110	106	106	102	98	96		G	86	92	84	84	124		B
21		B	B	B	B	B	B	144	144	138	120	116	112	106	106	98	94	90	90	88	108	98	102	100	100
22	88		B	B	B	B	B	B	162	162	158	144	94	110	118	120	110	154	112	104	100	116		B	B
23	88		B	B	B	B	B	B	112	116	G	G	G	152	142	168		196	86	86			B	B	B
24	88		B	B	B	B	B	B		170	146	152	130	114	106	104	100	94	94	92		B	122	116	
25	120		B	B	B	B	94	94	102	G	168	164	G	G	G	158	154	146		G	B	B	B	B	
26		B	B	B	B	B	B	B	G	182	170	98	116	110	94	92		G	88	88	88	90		86	
27	86	86		B	B	B	B	B	170	172	152	130	136	124	130		G	162	90	136			134	116	
28	114		B	94	104	B	B	B	B	126	174	152	G	124	150	126	92	92	132	110		B	B	96	94
29																									
30																									
31																									
	00	01	02	03	04	05	06	07	08	09	10	11	12	13	14	15	16	17	18	19	20	21	22	23	
CNT	19	14	13	12	10	12	15	12	19	25	23	21	21	22	24	24	23	23	27	25	22	18	17	18	
MED	90	91	94	94	95	94	94	93	138	138	120	108	108	108	105	101	96	94	94	94	94	94	94	92	
U Q	100	96	95	101	98	97	100	116	162	172	164	127	128	130	128	126	104	108	100	101	98	102	98	96	
L Q	88	88	90	90	88	91	90	92	112	113	110	104	104	100	98	95	94	90	90	88	90	94	89	88	

FEB. 2021 h'Es (KM)

NATIONAL INSTITUTE OF INFORMATION AND COMMUNICATIONS TECHNOLOGY, JAPAN

IONOSPHERIC DATA STATION Okinawa

FEB. 2021 TYPES OF Es

135°E MEAN TIME (G.M.T. + 9 H)

LAT. 26°41.0'N LON. 128°09.0'E SWEEP 1.0MHz TO 30.0MHz IN 15.0SEC IN MANUAL SCALING

H D	00	01	02	03	04	05	06	07	08	09	10	11	12	13	14	15	16	17	18	19	20	21	22	23	
1	F 3		F 1	F 2	F 4	F 1		L 5	L 1	H 2	H 1	C 2	C 2	C 2	C 1	C 2	C 2	H 1	F 1	F 4	F 2	F 3	F 1		
2	F 1	F 1	F 1					H 1	C 3	C 1	C 2	C 2	C 2	C 2	C 2	L 3	L 2	L 2	F 4	F 5	F 9	F 9	F 3		
3			F 1	F 1	F 2	F 5		L 1	CQ 41	C 2	C 2	C 2	C 3	C 1	CQ 21	C 4	CQ 41	L 9	F 7	F 3	F 5	F 4	F 2		
4	F 2	F 3		F 1	F 1	F 4	C 3	C 2	LH 21	LH 21	H C 11	H C 11	H C 11	H C 11	H C 11	L 2	L 3	L 6	L 7	FF 66	F 5	F 4	F 4	F 9	
5	F 2	F 2	F 3	F 4	F 4	F 4	F 2	L 2	HL 11	H 1	C 3	C 1	C 3	C 3	C 3	L 6	L 6	L 9	L 6	F 5	F 1			F 1	
6	F 2	F 5	F 3	F 2					H 1	C 1	C 2	C 1	C 2	C 1	C 2	L 3	L 3	L 3	L 8	F 8	F 9	F 5	F 8	F 4	
7	F 3	FF 11	F 1	F 1	F 4	F 1	F 2	H 2	H 3	H 2	C 1	C 2	C 2	C 3	C 2	L 3	L 4	L 6	L 4	F 1	F F				
8	F 3	F 3	F 4	F 4	F 3	F 5	F 4	F 6	H 1	C 1	C 2	C 1	C 1	C 1	C 1	L 2	L 2	CH 22	L 3	FF 12	F Q 31	F Q 31	F 41	F 3	
9	F 1	F 4	F 1	F 1	F 1	F 4	F 1	F 1	L 1	HL 11	H C L 32	C L 4	L Q 31	L Q 2	L Q 3	L 3	L 3	L 4	L 3	F Q 41	F 6	F 4	F 3	F 2	
10			F 4	F 3	F 1	F 4	F 2	L C 22	C 1	C 1	C 1	C 2	C 2	C 4	L Q 31	L Q 51	L Q 4	L Q 3	F 3	F 4	F 5	F 1	F 1		
11	F 1	F 1				F 2			C 1	C 1	C 1	C 2	C 1	C 1	C 2	C 1	C 2	C 2	C 2	F 4	F 3	F 2	F 1		
12	F 1							C 2	C 1	H C 11	L 1	H C 11	H L 11	H L 11	H L 11	L 2	L 2	L 2	L Q 11	F 1	FF 11				
13									H C 11	C 2	C 1	C 1	C 1	C 1	C 1	L 1	L H 21	L H 11	L H 31	L H 2	F 4	F 2	F 1	F 1	
14		F 1							C 1	C 1			H 1	H 1	C 1	L H 21	L H 21	C 2	L 1	F 2	F 2	F 4	F 1	F 1	
15	F 1	F 1	F 1	F 1	F 3	F 3	L 1		C 1	H C 11	C 1	C 1	C 1	C 1	C 1	H 1	H 1	H 1	L 2	F 4	F 3	F 6			
16	F 2	F 2	F 3	F 2	F 1	F 3	F 1	C 1											L 6	F 4	F 4	F 2	F 3	F 2	
17	F 1	F 4	F 2	F 1	F 1	F 1	F 1	L 1	H 1										L 1	F 1	F 3	F 1	F 1		
18	F 1				F 1			HC 11	HC 11							H 1	L 1	L 1	L 3	F 4	F 1				
19			F 1					H 1	H 1	H 1	H 1					L 1	L 2	CL 11						F 1	
20	F 3	F 1			F 1	F 1	C 1	HC 11	HC 11	C 1	C 1	C 2	CH 21	L 3	L 3	L 4	L 4	L 2	F 2	F 1	F 1				
21						F 1	H 1	H 1	C 1	C 1	C 1	C 1	C 1	C 1	C 1	C 1	C 3	L 3	L 3	L C 11	F 3	F 2	F F 54	F 3	
22	F 1							H 1	H 1	H L 11	H L 11	L 1	C 1	C 1	C 1	C 1	C 1	CL 31	HC 21	C 5	C 6	F 4	F 4		
23	F 2							C 1	C 1				HC 11	HC 11	HC 11			HL 11	L 3	L 3					
24	F 1								H 1	H 1	H 1	H 1	H 1	H 1	C 1	C 2	C 3	C 5	L 1	F 1	F 1	F 1	F 1		
25	F 1				F 1	F 3	C 1		HC 11	H 1					H 1	H 1	H 1								
26									H 1	H 1	L 1	CL 11	C 1	L 1	L 2			L 2	L 2	L 1	F 1			F 1	
27	F 1	F 1						HL 11	HL 11	H 1	HL 11	C 1	C 1	C 1	C 1	H 1	L 1	H 1			F 1	F 3			
28	F 1		F 1	F 1				C 1	H 1	H 1		CL 11	H C L 11	CL 11	L 1	L 1	L 1	L 1	HL 11	C 1		F 1	F 1		
29																									
30																									
31																									
	00	01	02	03	04	05	06	07	08	09	10	11	12	13	14	15	16	17	18	19	20	21	22	23	
CNT																									
MED																									
U Q																									
L Q																									

FEB. 2021 TYPES OF Es

NATIONAL INSTITUTE OF INFORMATION AND COMMUNICATIONS TECHNOLOGY, JAPAN

f - PLOTS OF IONOSPHERIC DATA

KEY OF f - PLOT	
	S P R E A D
◇	f_{oF2}, f_{oF1}, f_{oE}
×	f_{xF2}
*	D O U B T F U L f_{oF2}, f_{oF1}, f_{oE}
✗	f_{bE}s
L	E S T I M A T E D f_{oF1}
*, Y	f_{min}
^	G R E A T E R T H A N
▽	L E S S T H A N

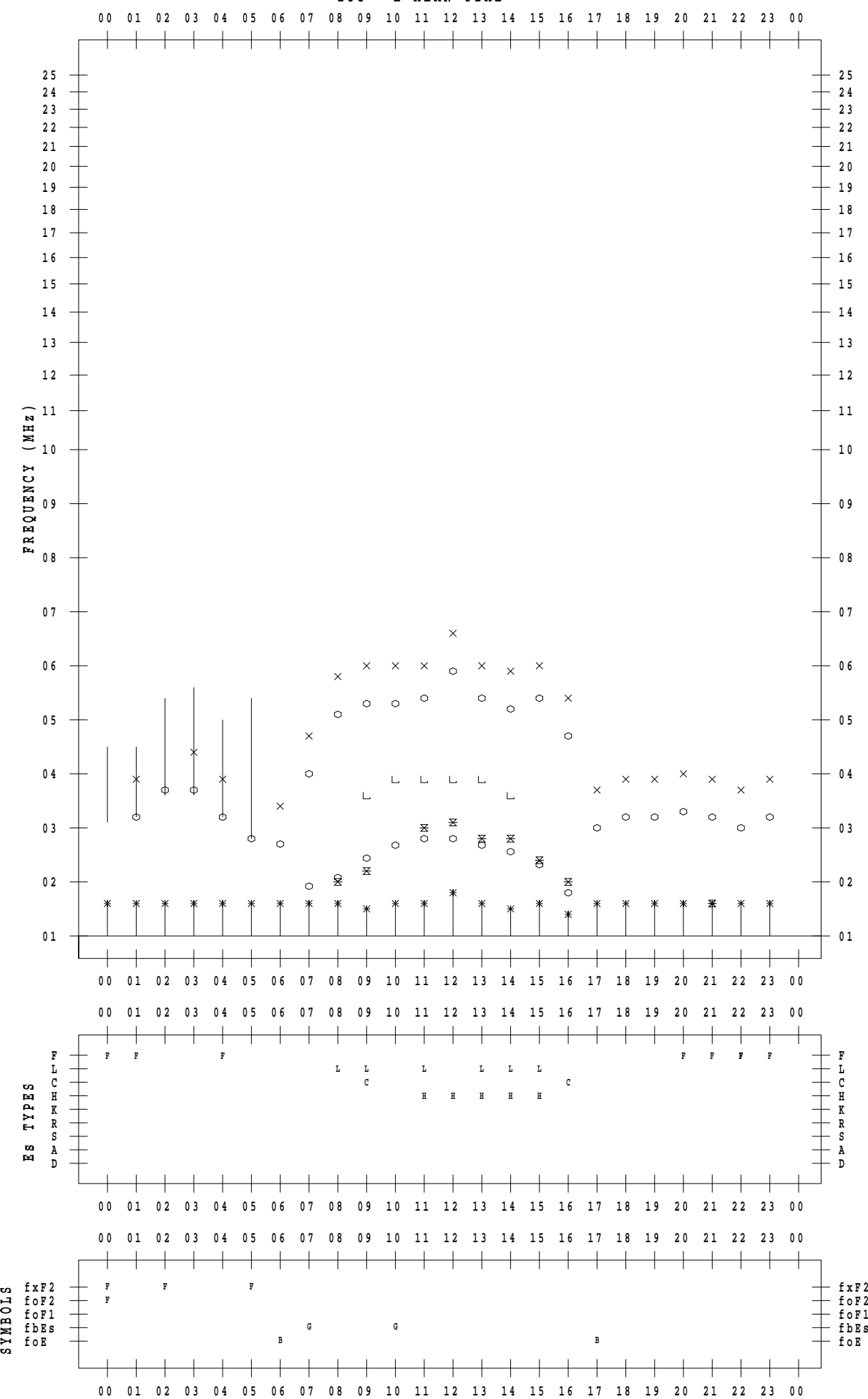
f - P L O T D A T A

SCALER : K.FUKUSHIMA

STATION : Wakkanai

DATE : 2021 / 2 / 1

135 ° E MEAN TIME



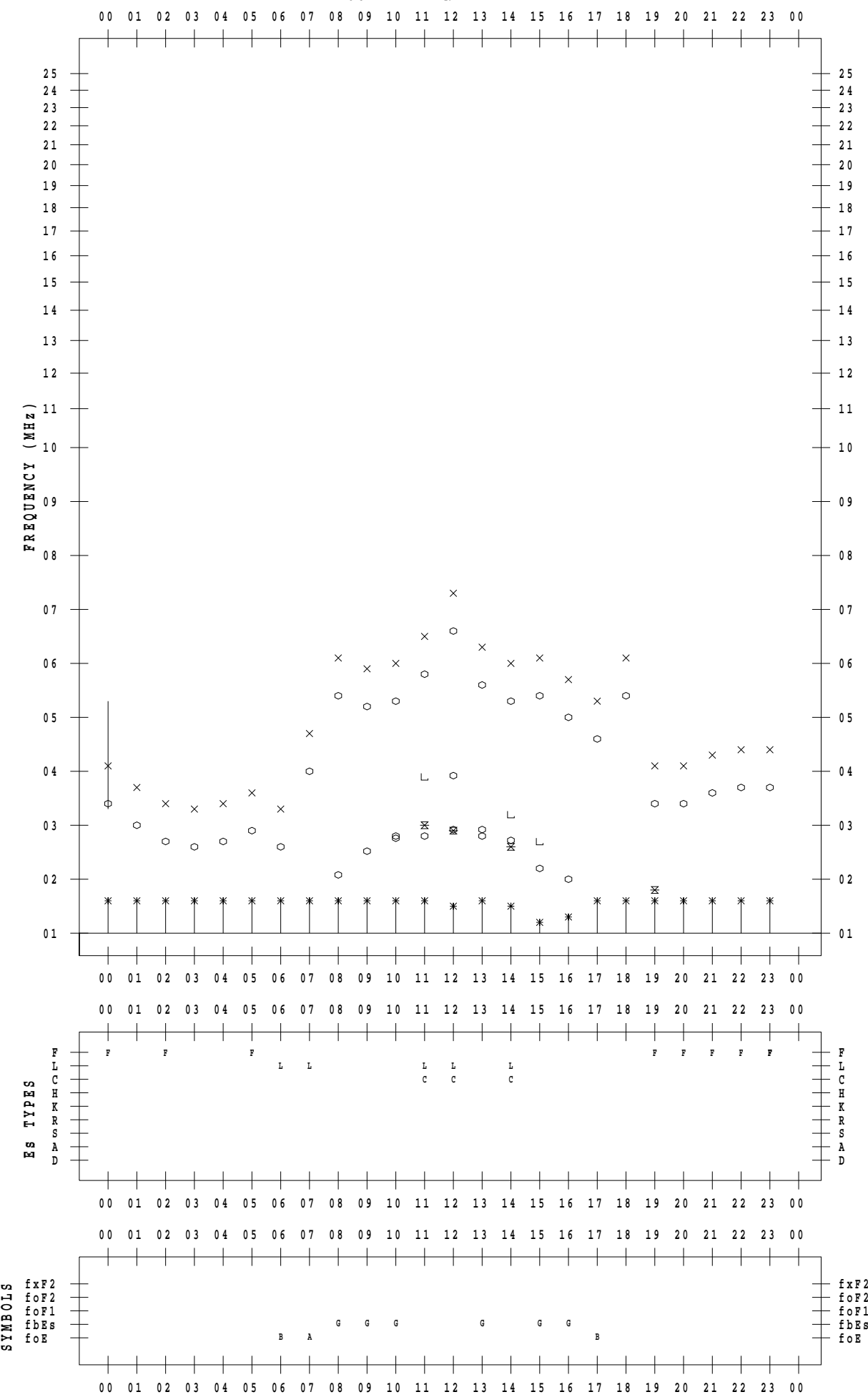
f - P L O T D A T A

SCALER : K.FUKUSHIMA

STATION : Wakkanai

DATE : 2021 / 2 / 2

135 ° E MEAN TIME



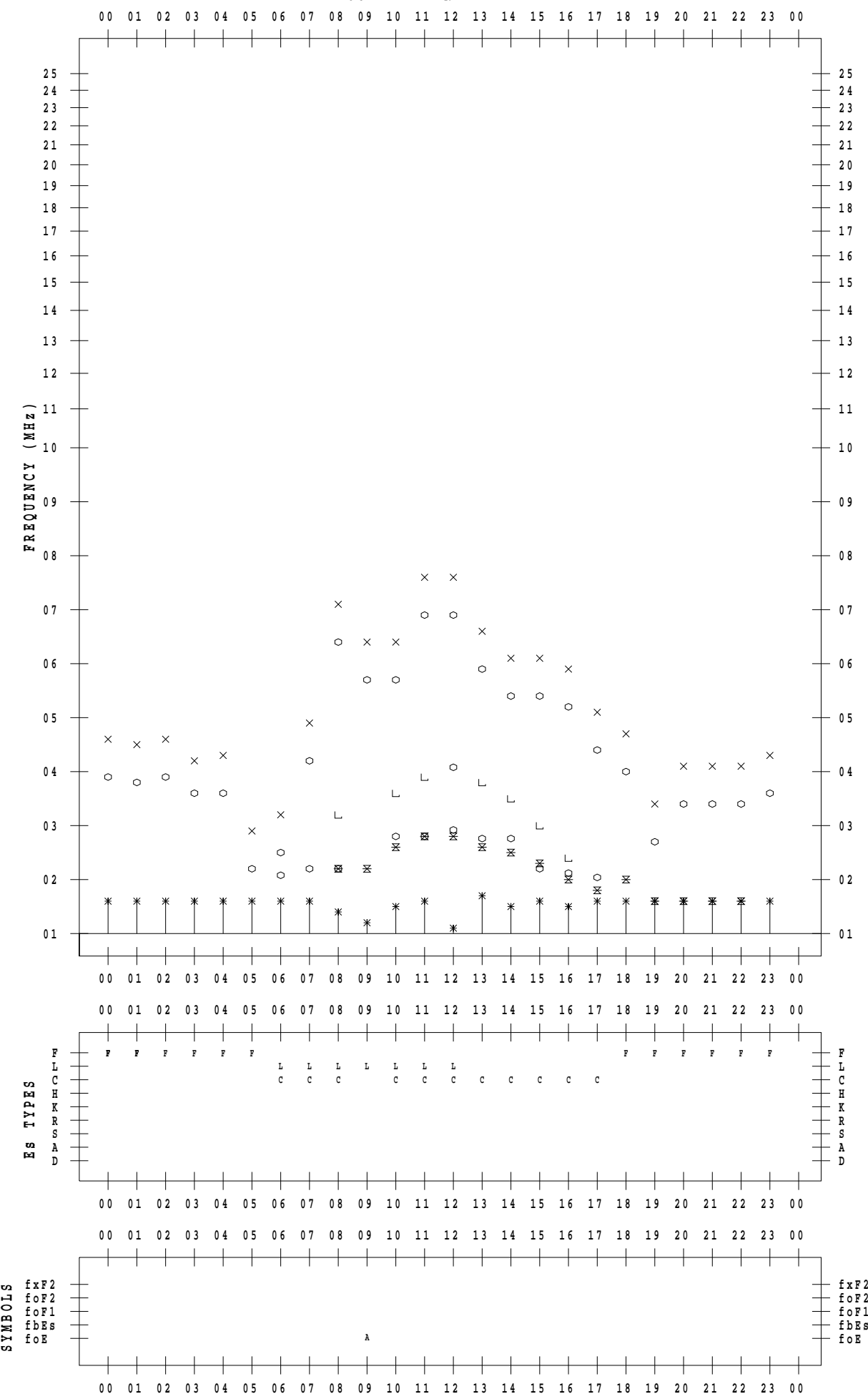
f - P L O T D A T A

SCALER : K.FUKUSHIMA

STATION : Wakkanai

DATE : 2021 / 2 / 3

135 ° E MEAN TIME



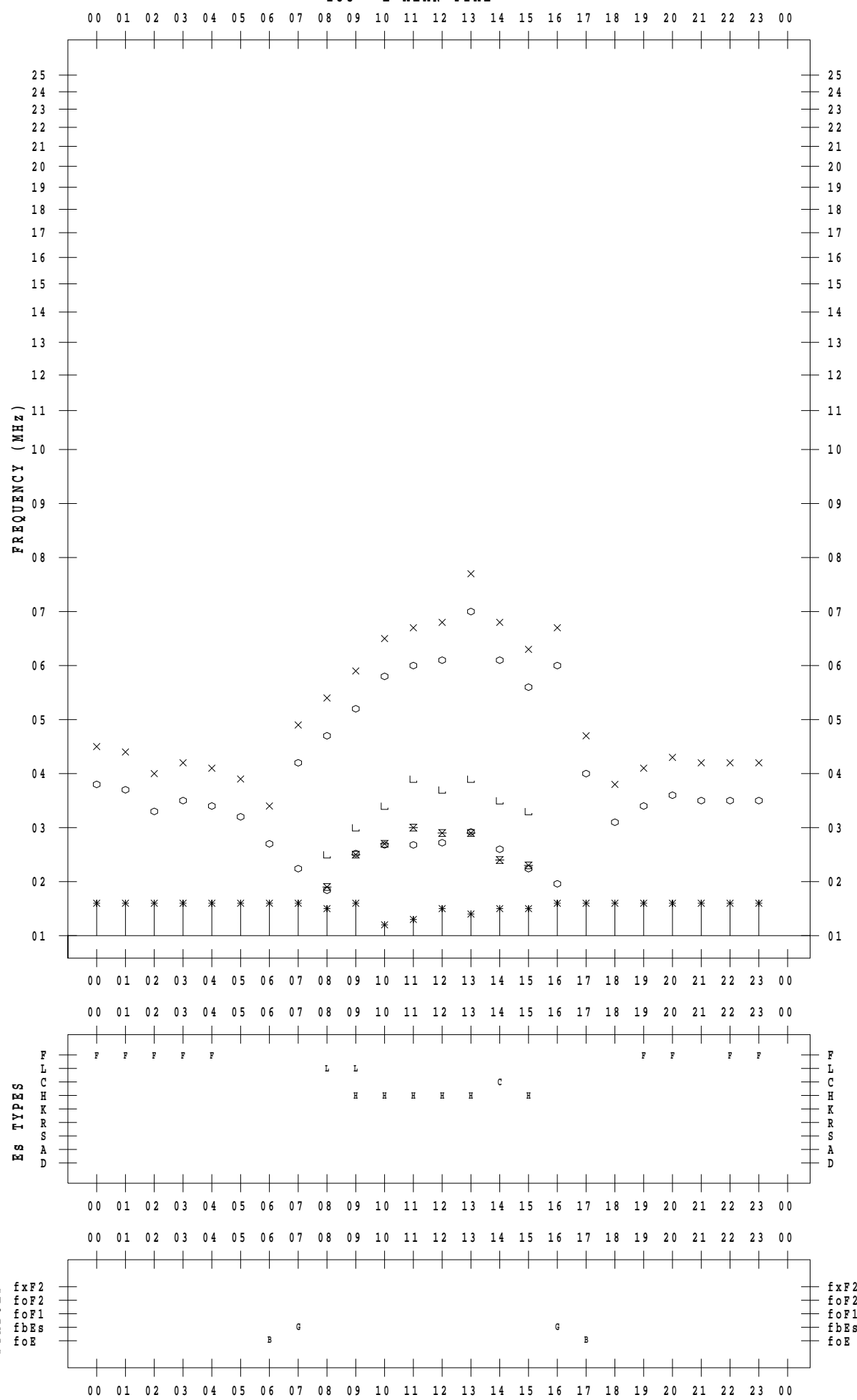
f - P L O T D A T A

SCALER : K.FUKUSHIMA

STATION : Wakkanai

DATE : 2021 / 2 / 4

135 ° E MEAN TIME



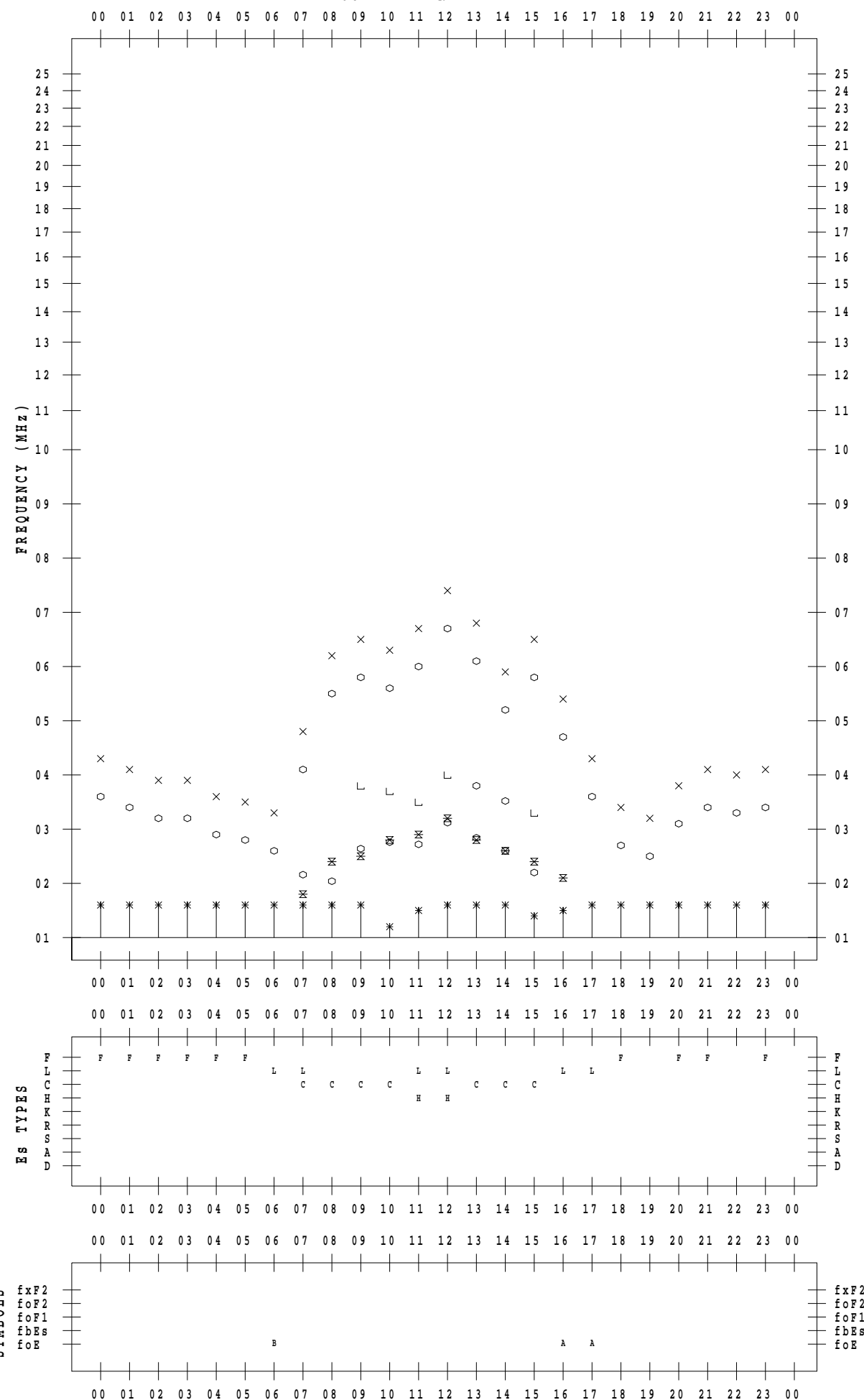
f - P L O T D A T A

SCALER : K.FUKUSHIMA

STATION : Wakkanai

DATE : 2021 / 2 / 5

135 ° E MEAN TIME



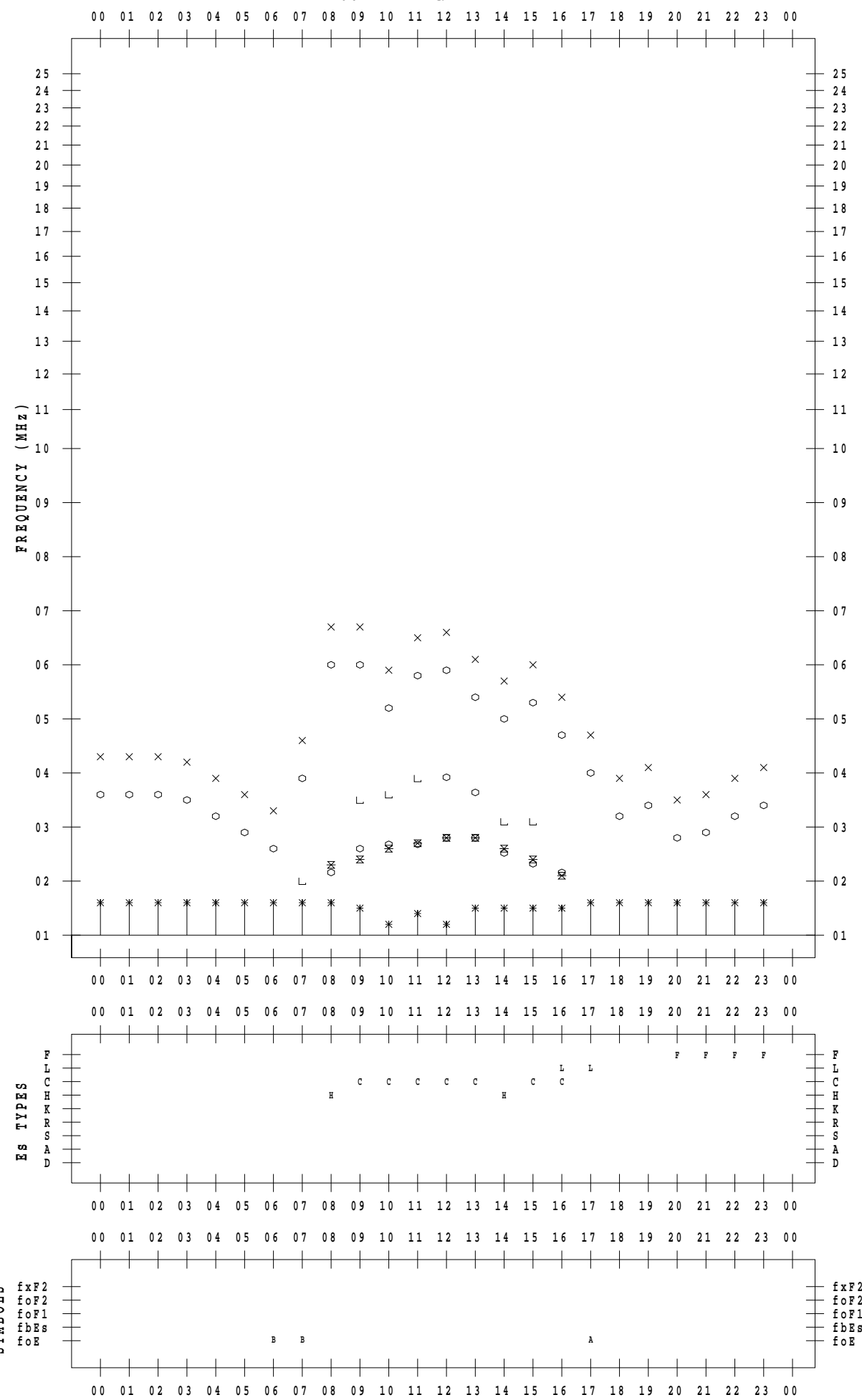
f - P L O T D A T A

SCALER : K.FUKUSHIMA

STATION : Wakkanai

DATE : 2021 / 2 / 6

135 ° E MEAN TIME



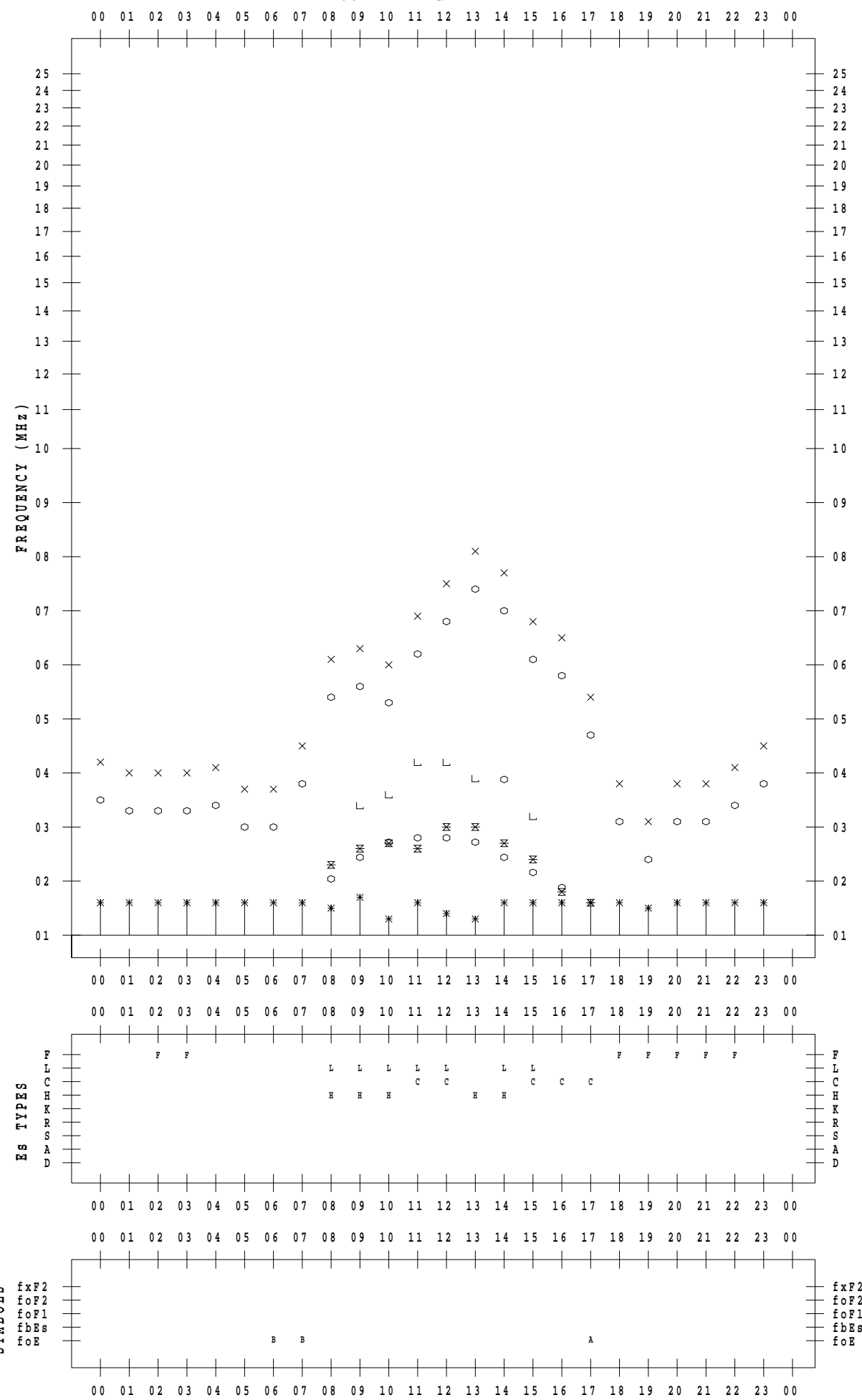
f - P L O T D A T A

SCALER : K.FUKUSHIMA

STATION : Wakkanai

DATE : 2021 / 2 / 7

135 ° E MEAN TIME



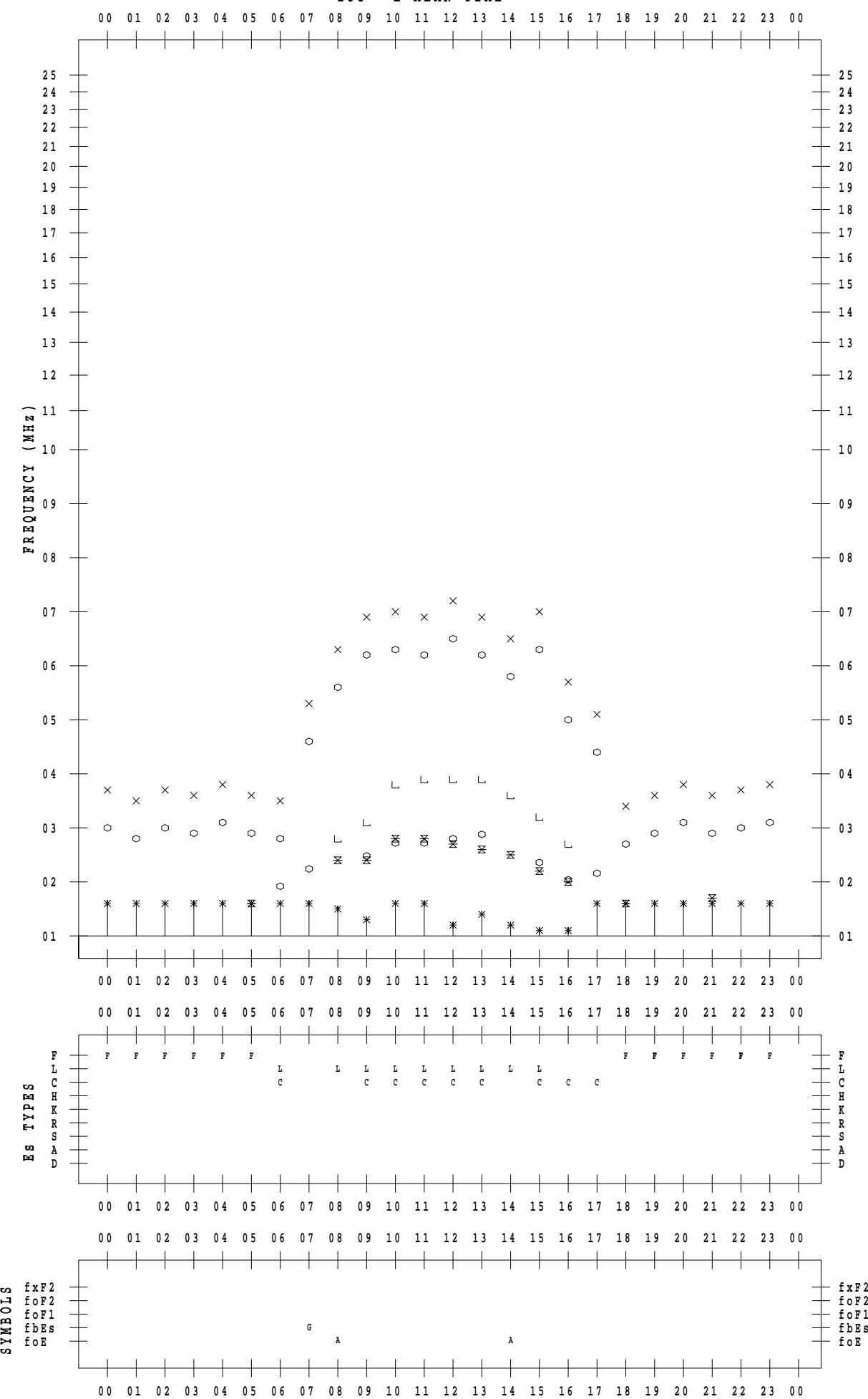
f - P L O T D A T A

SCALER : K.FUKUSHIMA

STATION : Wakkanai

DATE : 2021 / 2 / 8

135 ° E MEAN TIME



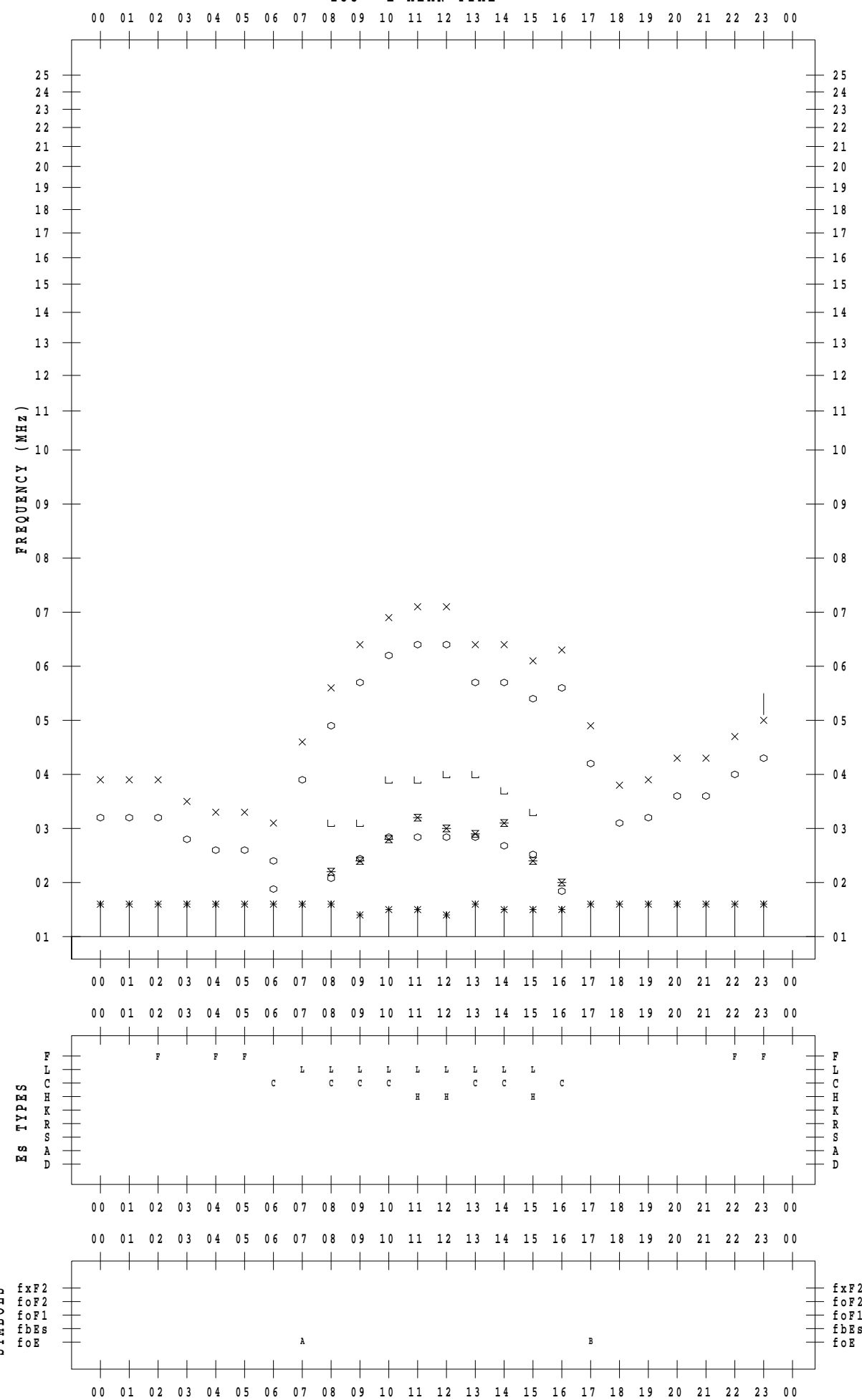
f - P L O T D A T A

SCALER : K.FUKUSHIMA

STATION : Wakkanai

DATE : 2021 / 2 / 9

135 ° E MEAN TIME



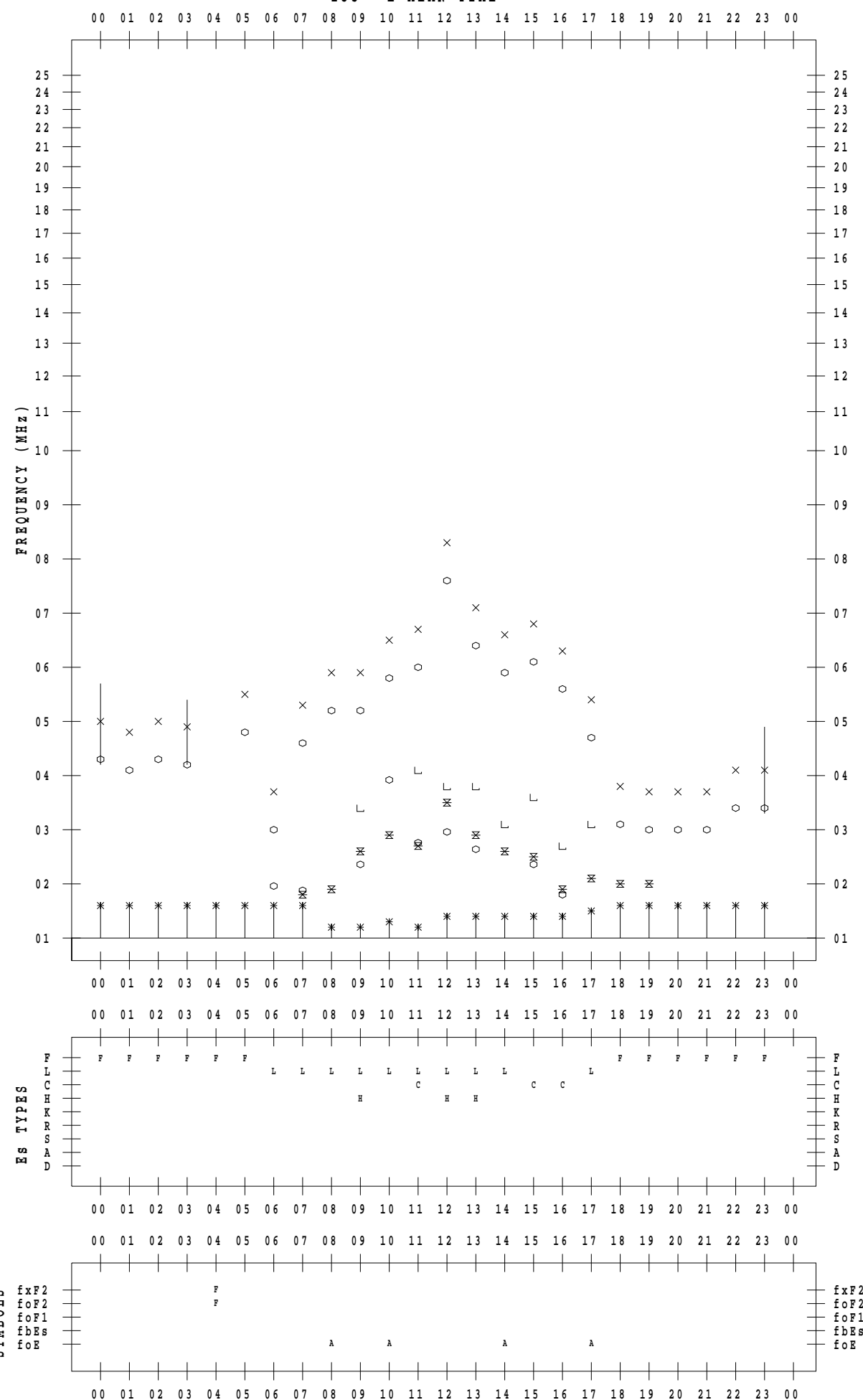
f - P L O T D A T A

SCALER : K.FUKUSHIMA

STATION : Wakkanai

DATE : 2021 / 2 / 10

135 ° E MEAN TIME



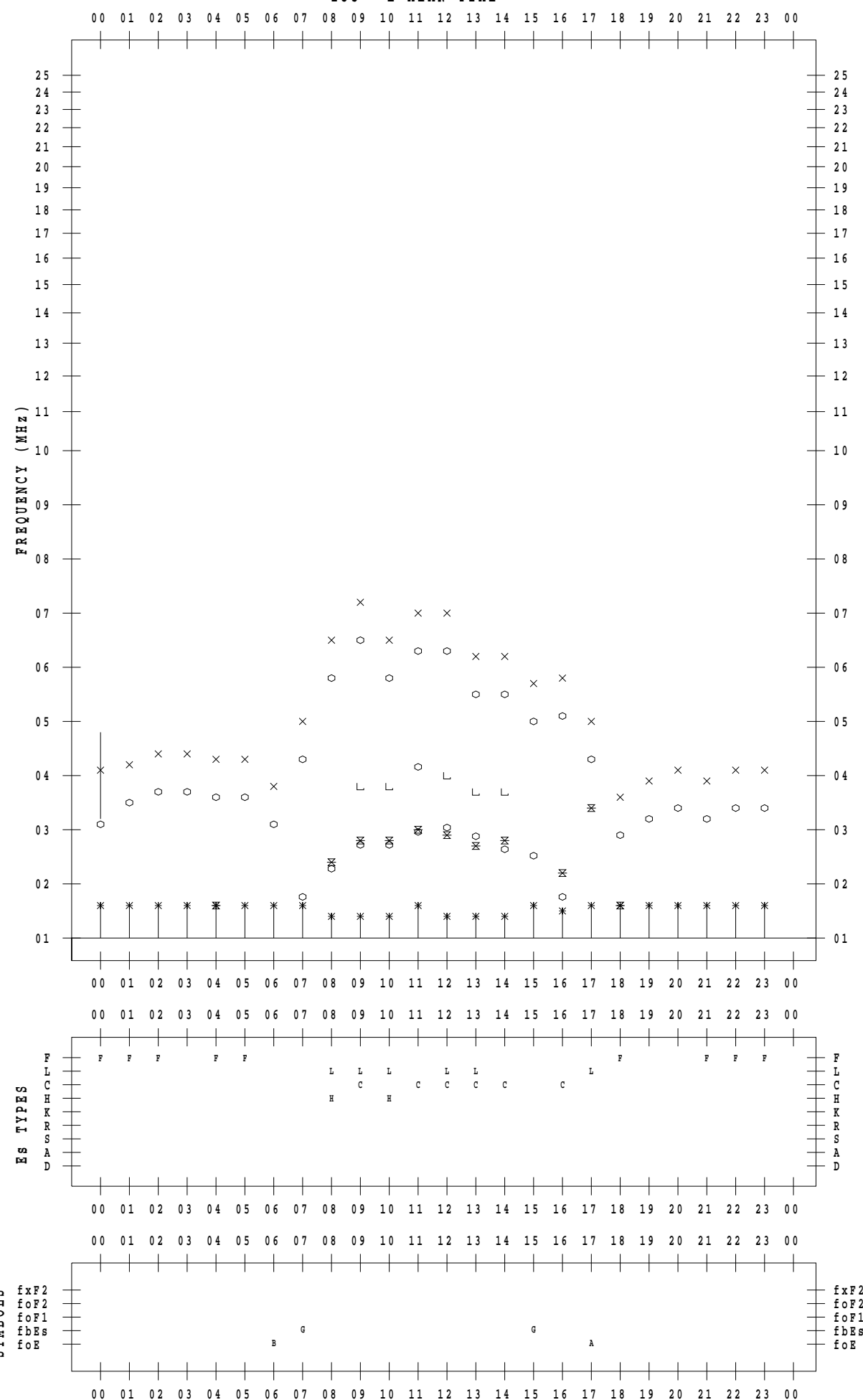
f - P L O T D A T A

SCALER : K.FUKUSHIMA

STATION : Wakkanai

DATE : 2021 / 2 / 11

135 ° E MEAN TIME



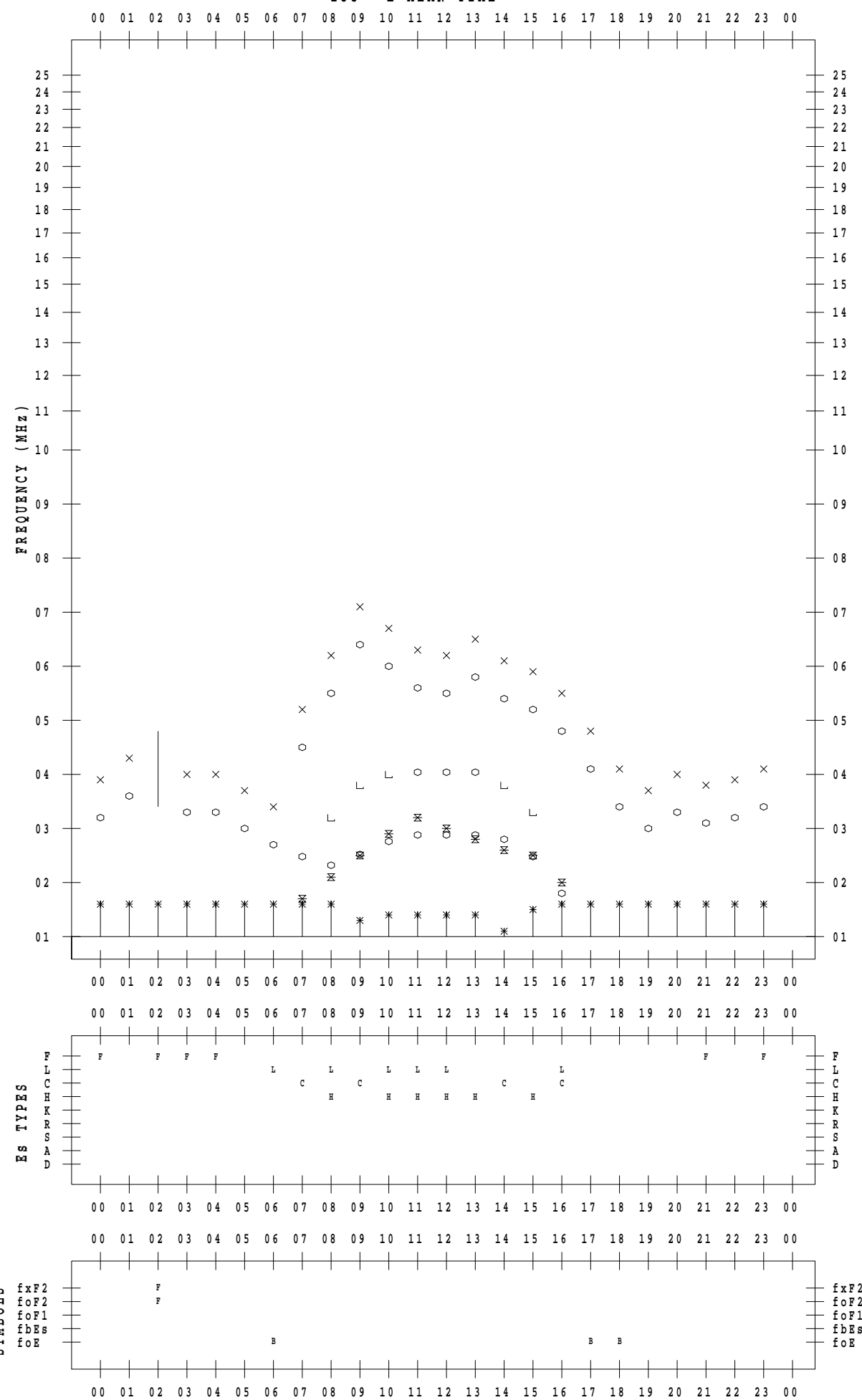
f - P L O T D A T A

SCALER : K.FUKUSHIMA

STATION : Wakkanai

DATE : 2021 / 2 / 12

135 ° E MEAN TIME

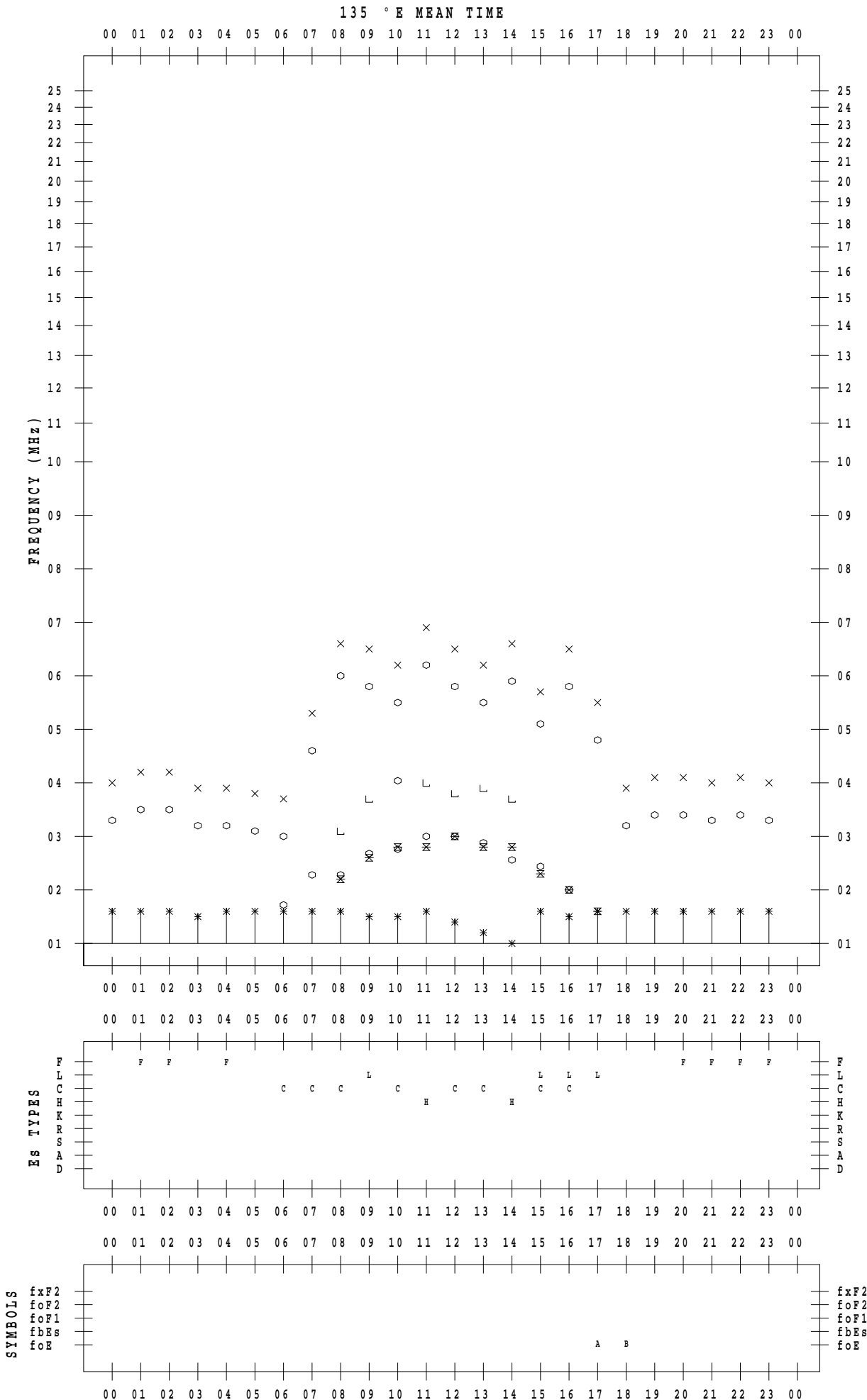


f - PLOT DATA

SCALER : K.FUKUSHIMA

STATION : Wakkai

DATE : 2021 / 2 / 13

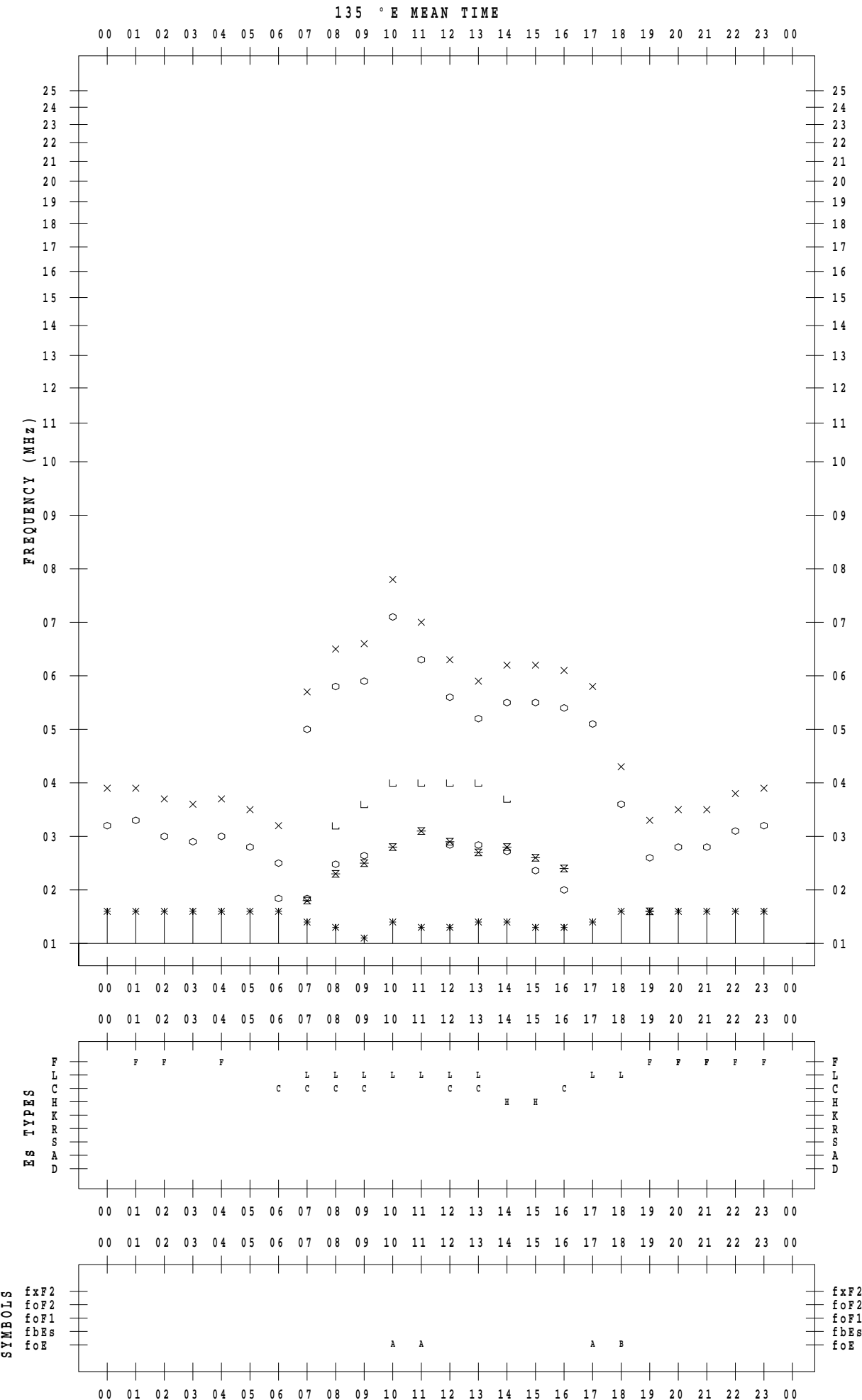


f - PLOT DATA

SCALER : K.FUKUSHIMA

STATION : Wakkai

DATE : 2021 / 2 / 14



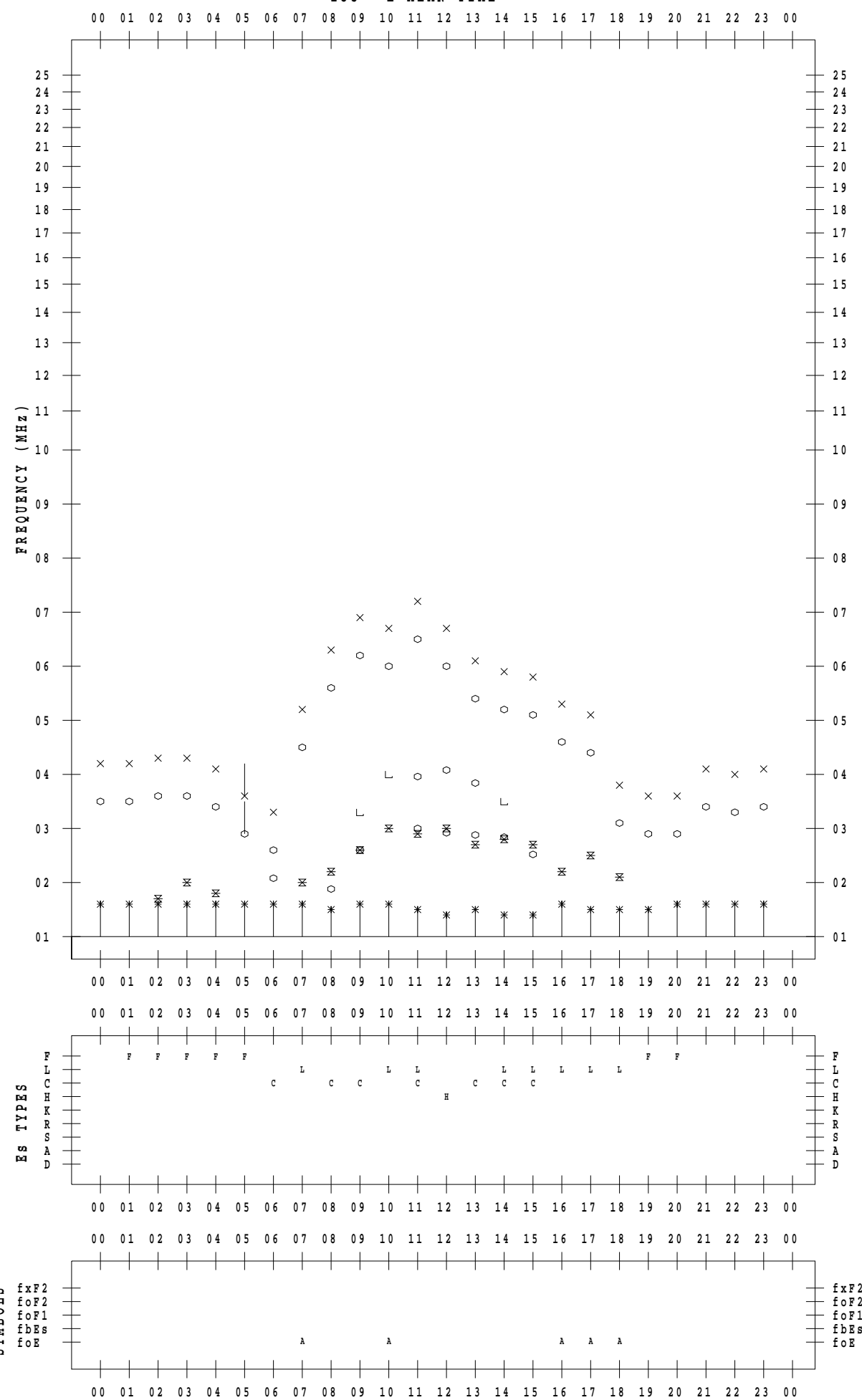
f - P L O T D A T A

SCALER : K.FUKUSHIMA

STATION : Wakkanai

DATE : 2021 / 2 / 15

135 ° E MEAN TIME



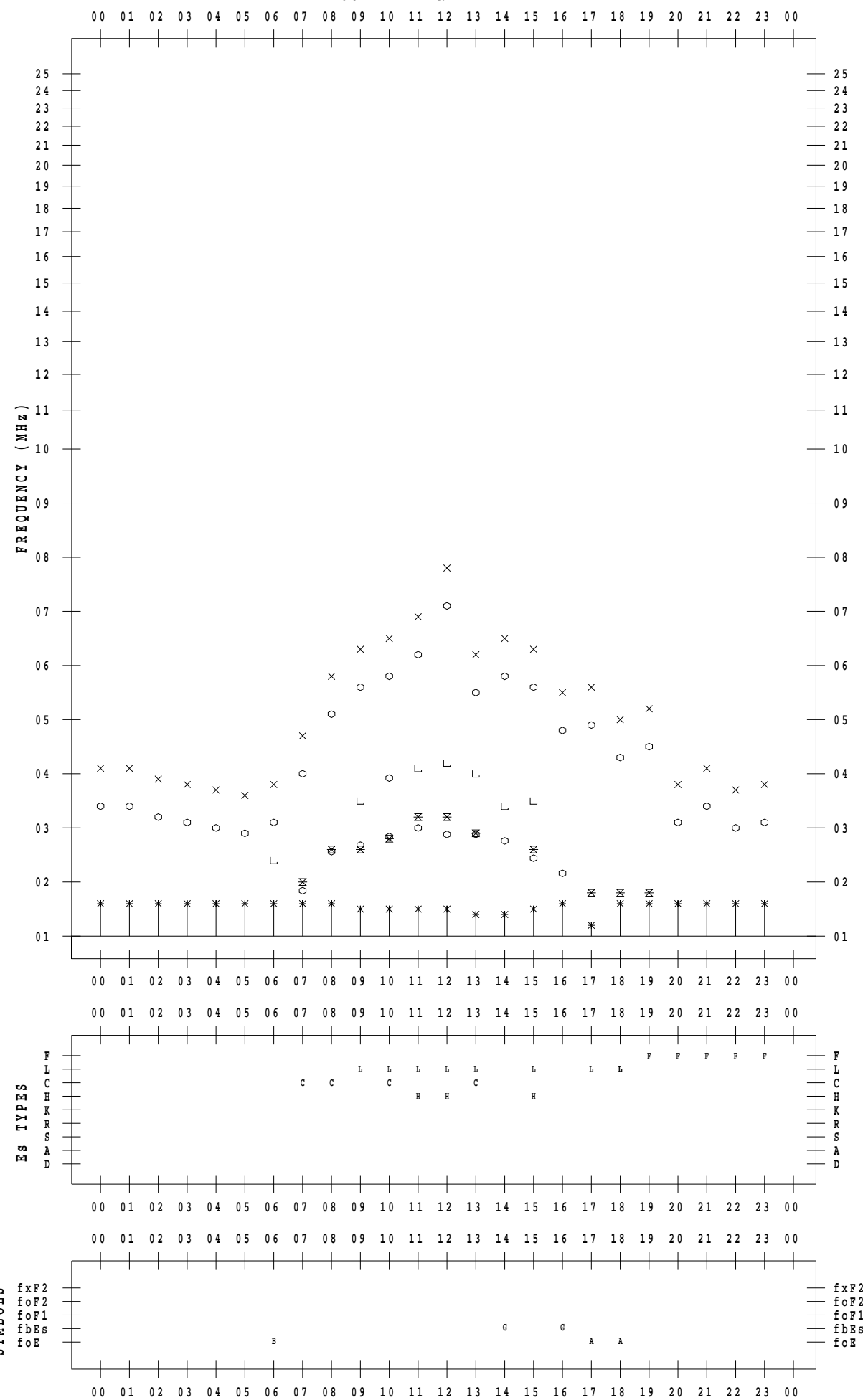
f - P L O T D A T A

SCALER : K.FUKUSHIMA

STATION : Wakkanai

DATE : 2021 / 2 / 16

135 ° E MEAN TIME



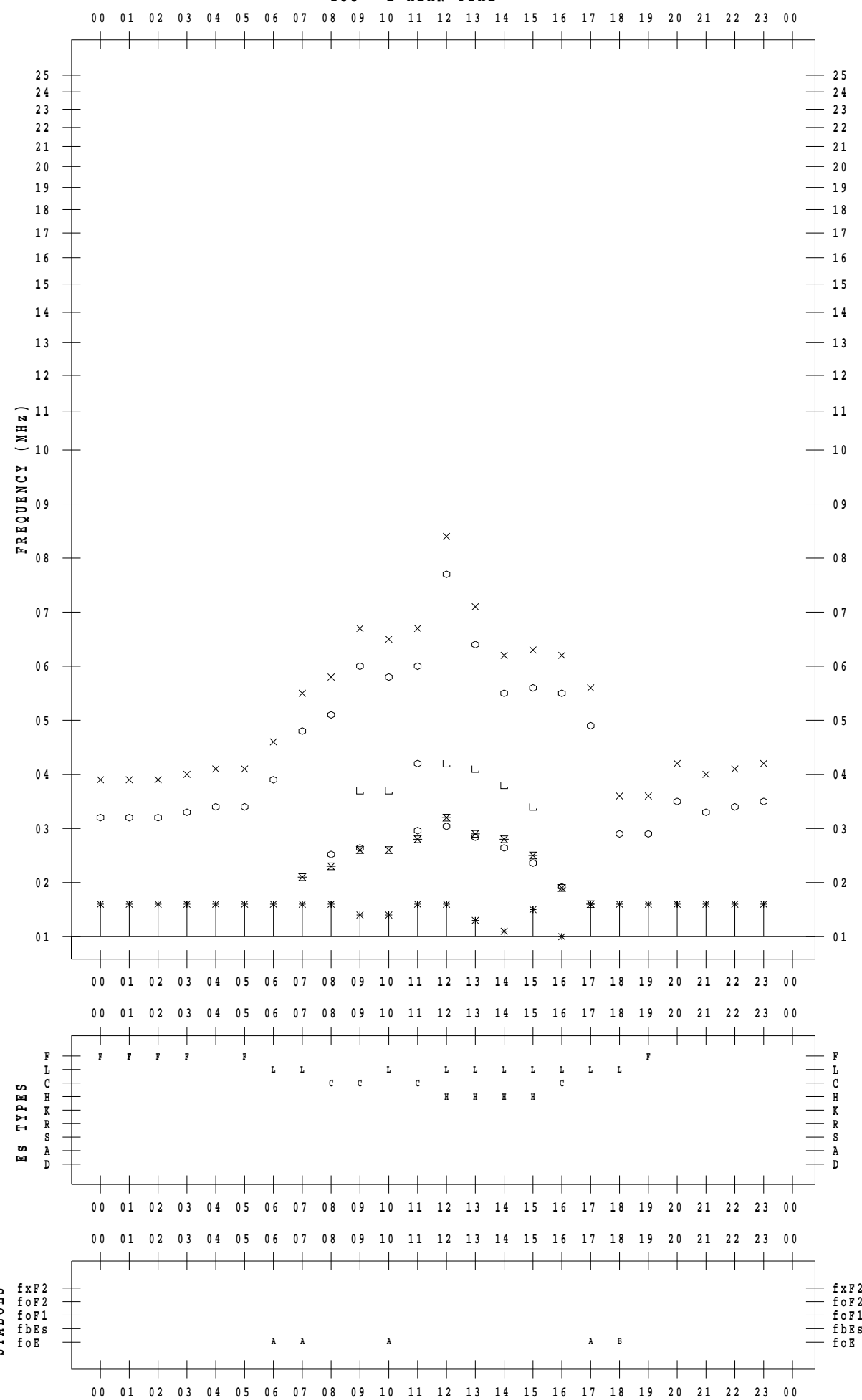
f - P L O T D A T A

SCALER : K.FUKUSHIMA

STATION : Wakkanai

DATE : 2021 / 2 / 17

135 ° E MEAN TIME



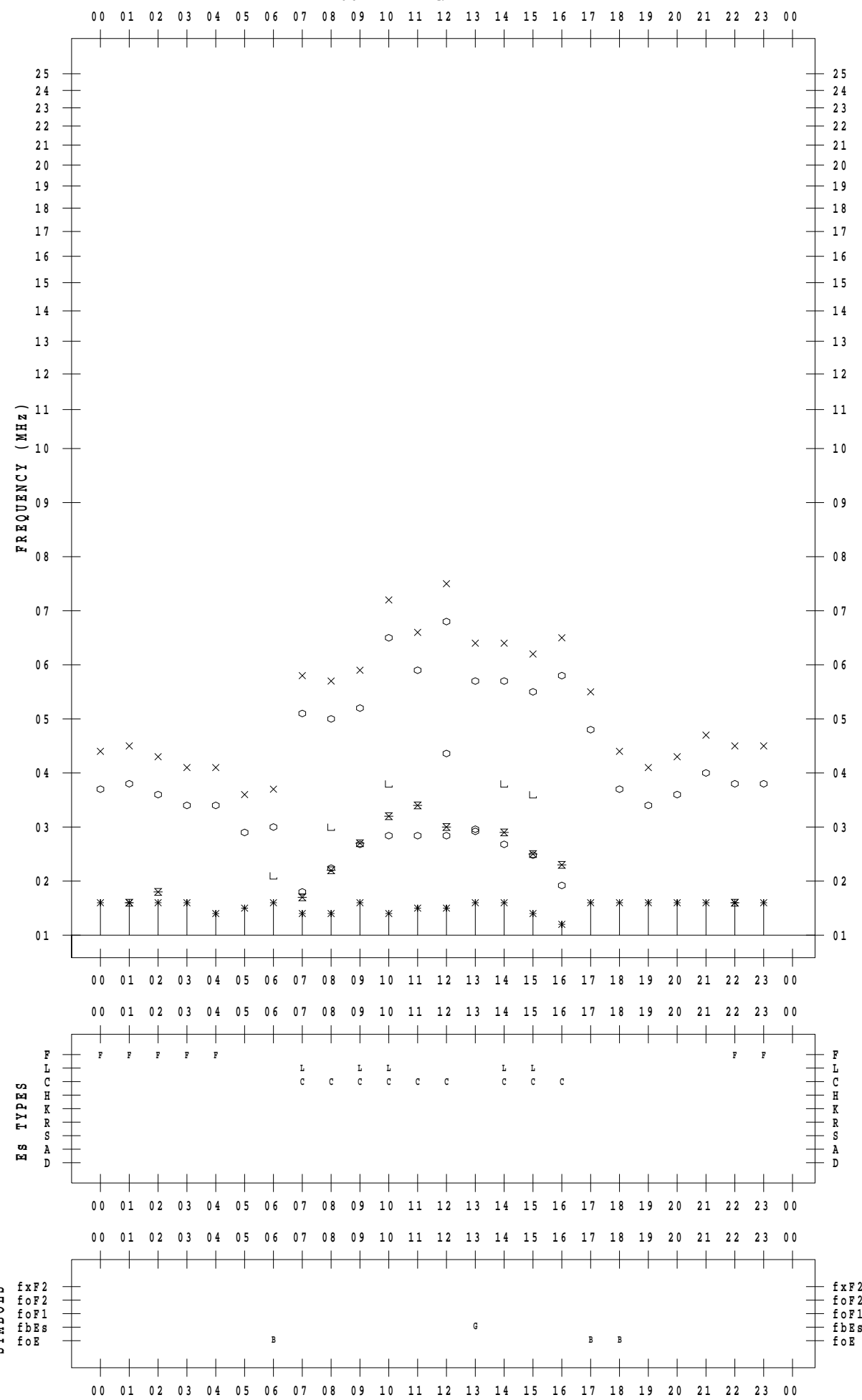
f - P L O T D A T A

SCALER : K.FUKUSHIMA

STATION : Wakkanai

DATE : 2021 / 2 / 18

135 ° E MEAN TIME



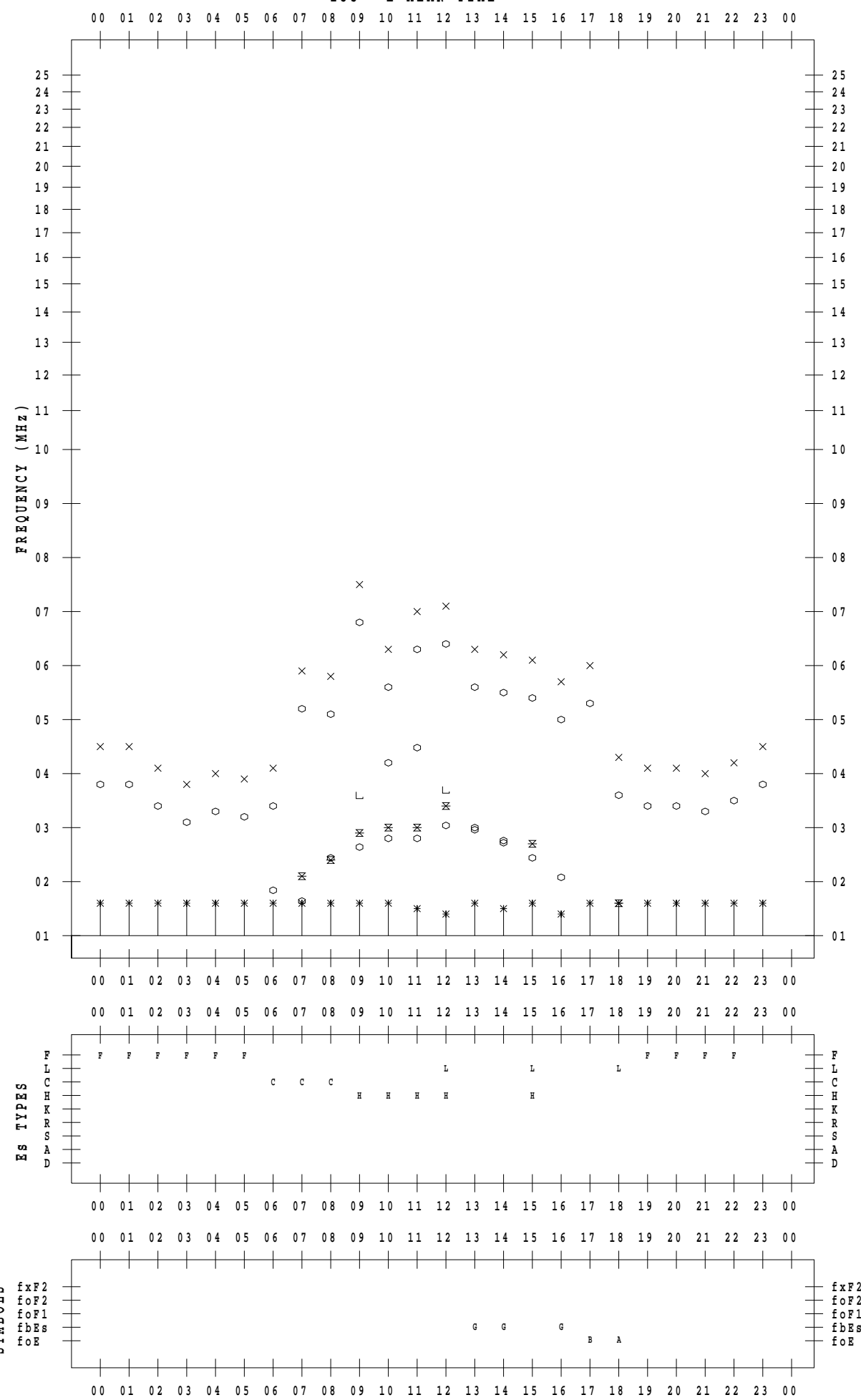
f - P L O T D A T A

SCALER : K.FUKUSHIMA

STATION : Wakkanai

DATE : 2021 / 2 / 19

135 ° E MEAN TIME



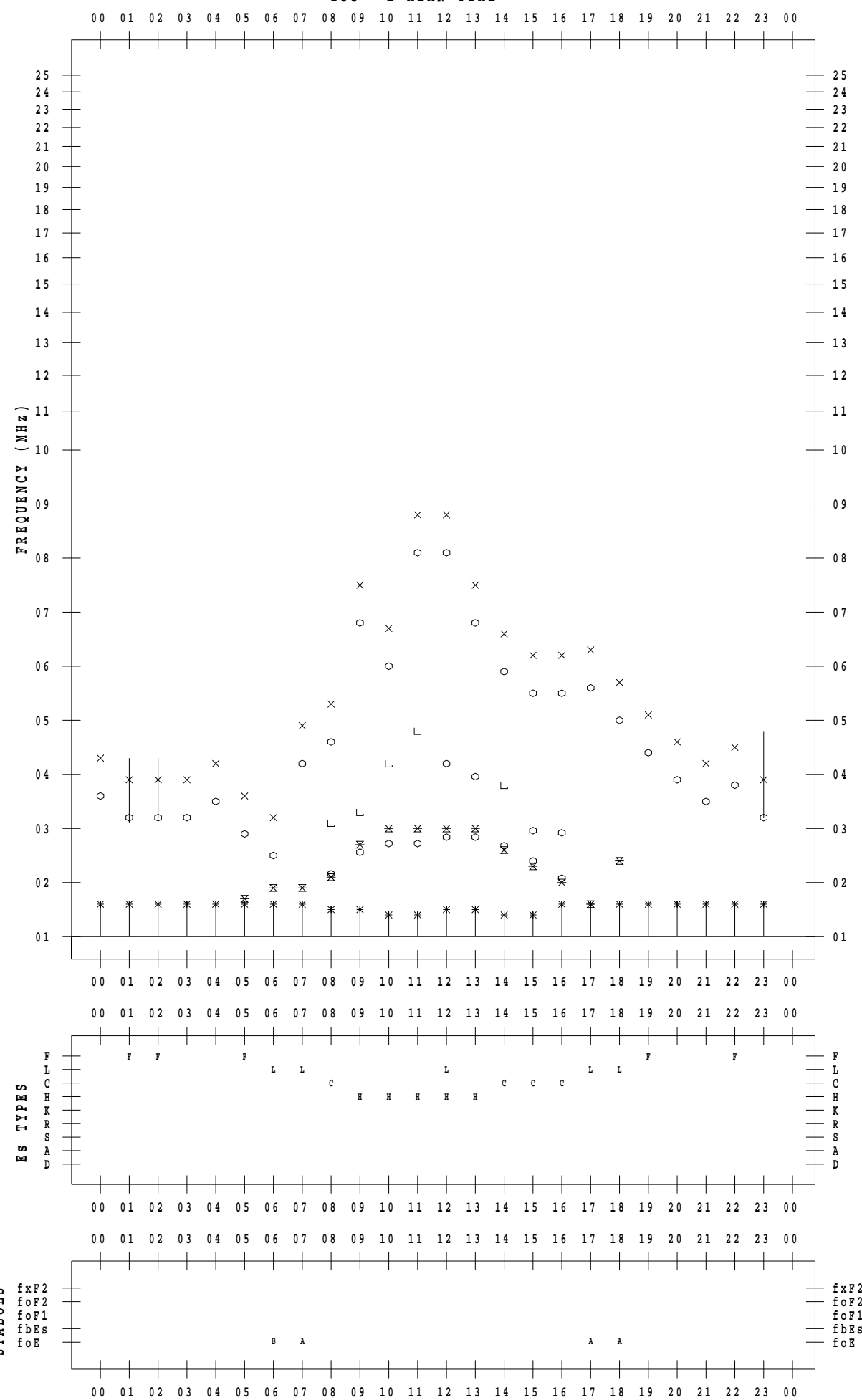
f - P L O T D A T A

SCALER : K.FUKUSHIMA

STATION : Wakkanai

DATE : 2021 / 2 / 20

135 ° E MEAN TIME



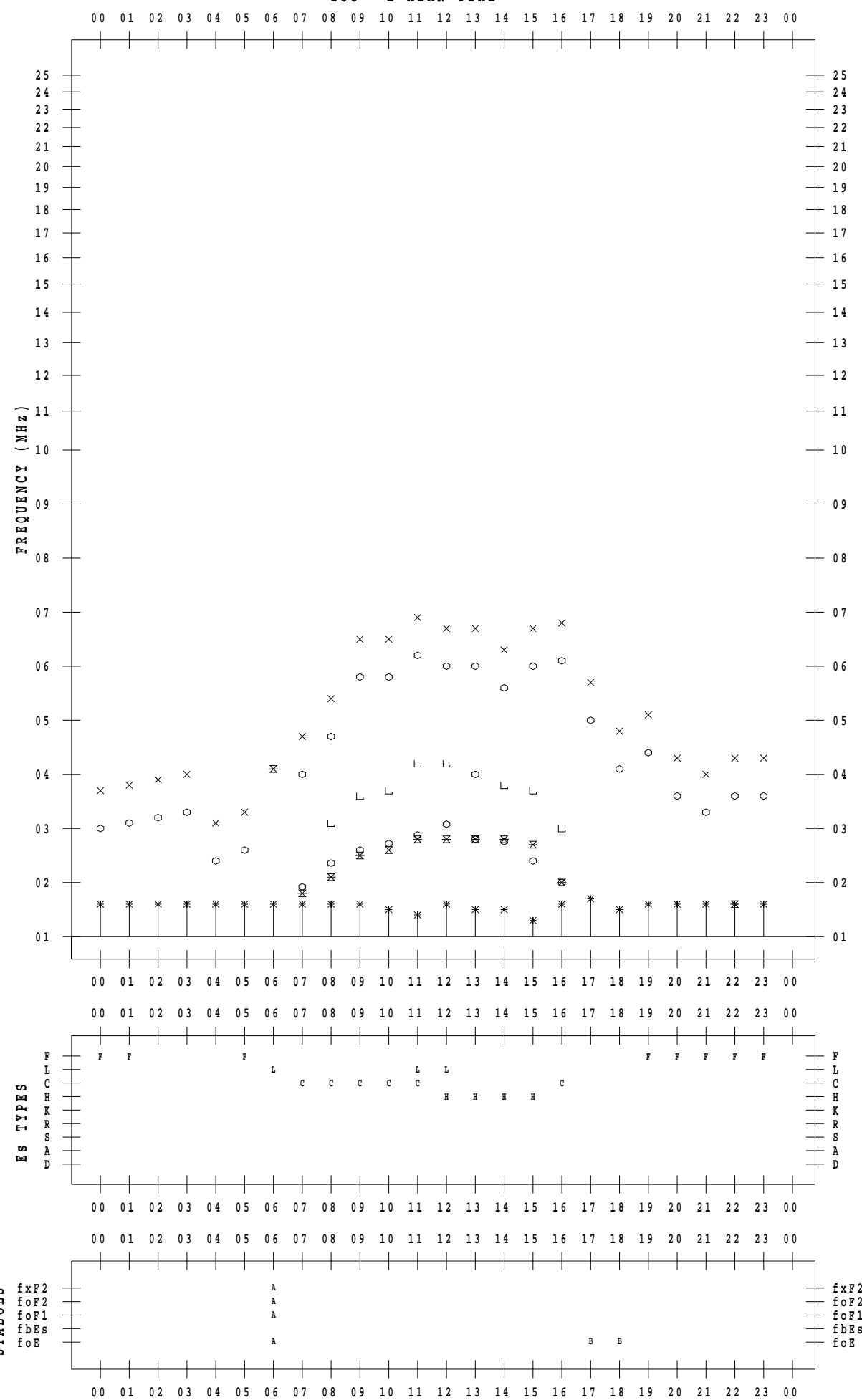
f - P L O T D A T A

SCALER : K.FUKUSHIMA

STATION : Wakkanai

DATE : 2021 / 2 / 21

135 ° E MEAN TIME



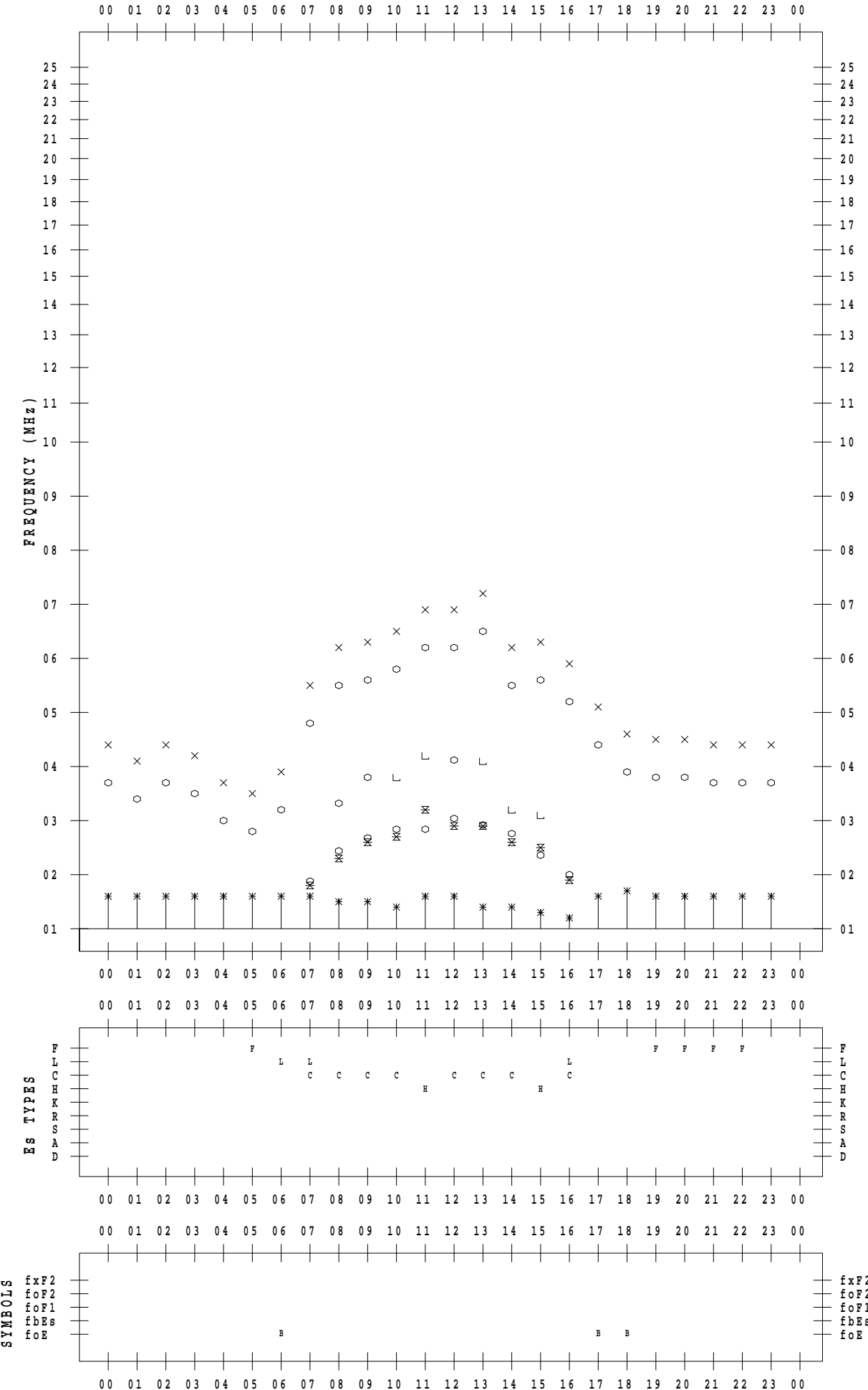
f - PLOT DATA

SCALER : K. FUKUSHIMA

STATION : Wakkai

DATE : 2021 / 2 / 22

135 ° E MEAN TIME



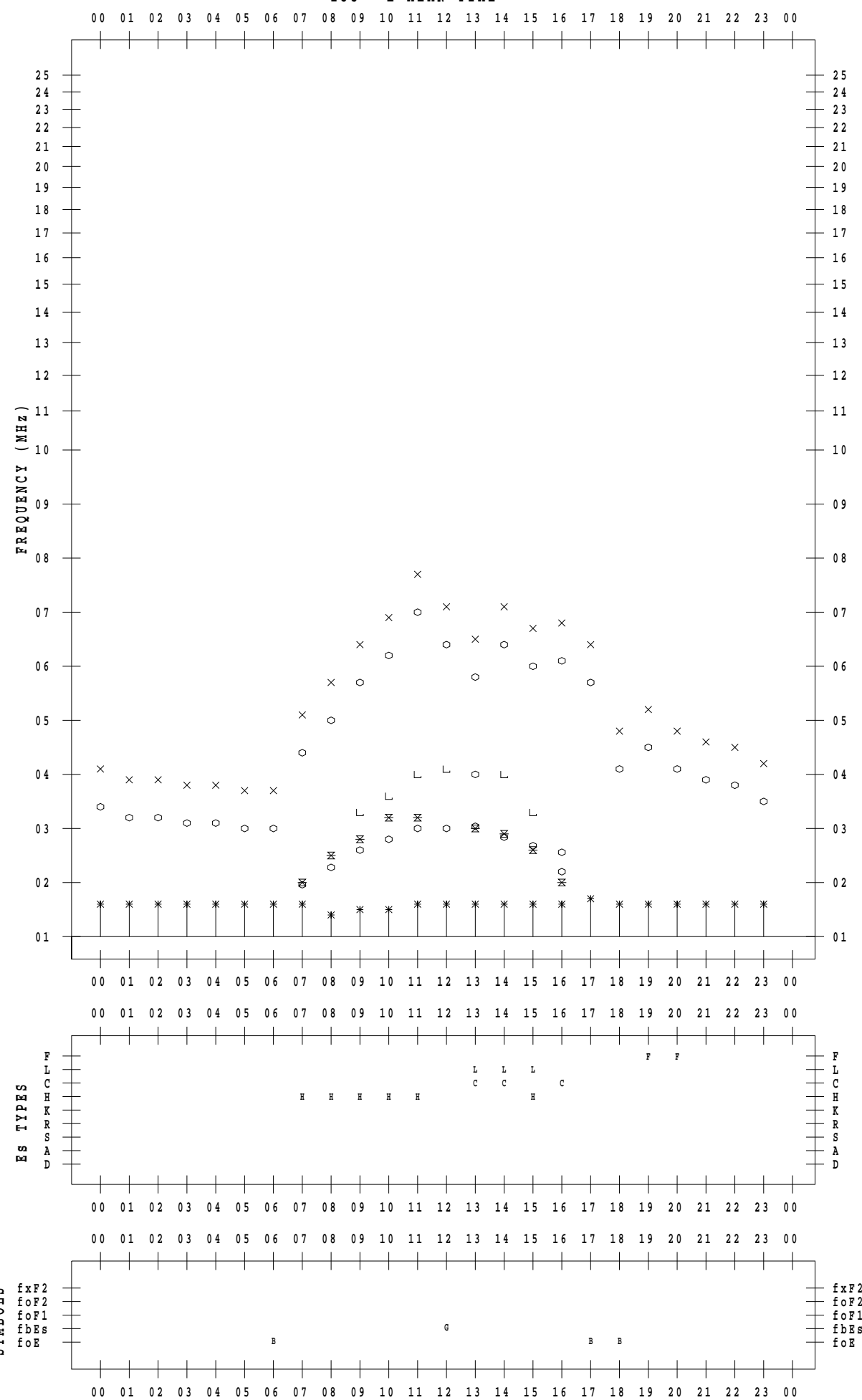
f - P L O T D A T A

SCALER : K.FUKUSHIMA

STATION : Wakkanai

DATE : 2021 / 2 / 23

135 ° E MEAN TIME



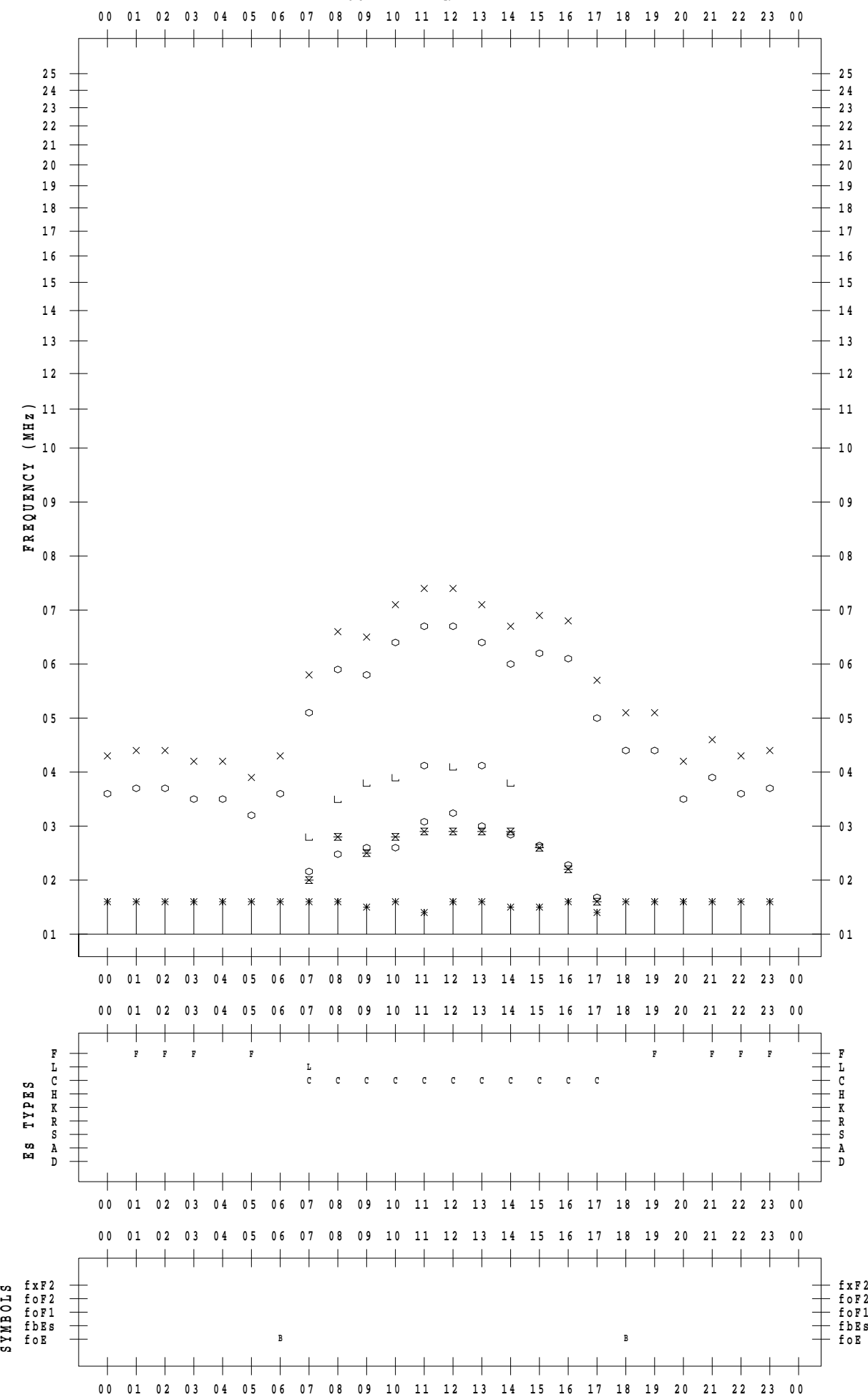
f - P L O T D A T A

SCALER : K.FUKUSHIMA

STATION : Wakkanai

DATE : 2021 / 2 / 24

135 ° E MEAN TIME



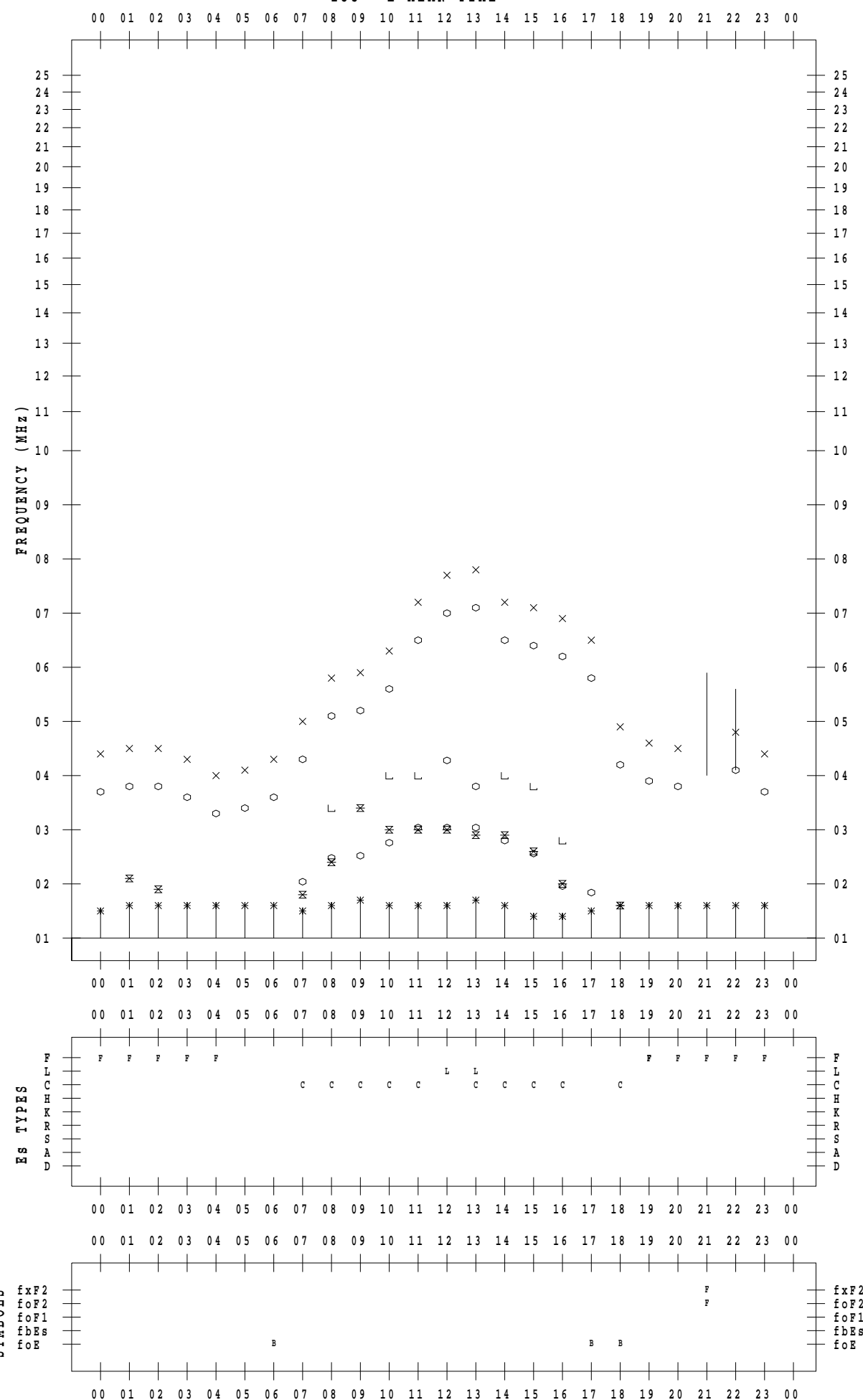
f - P L O T D A T A

SCALER : K.FUKUSHIMA

STATION : Wakkanai

DATE : 2021 / 2 / 25

135 ° E MEAN TIME



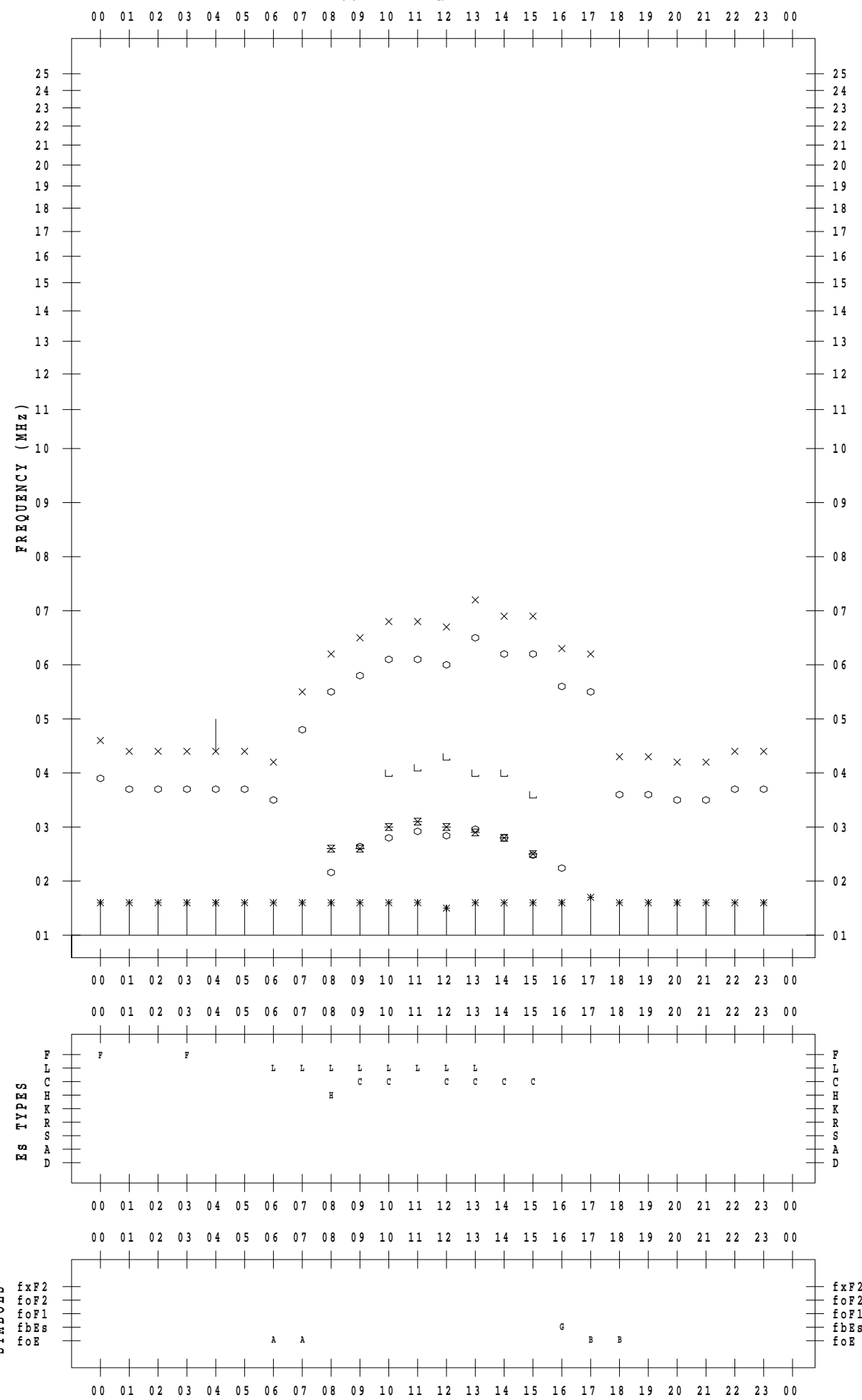
f - P L O T D A T A

SCALER : K.FUKUSHIMA

STATION : Wakkanai

DATE : 2021 / 2 / 26

135 ° E MEAN TIME



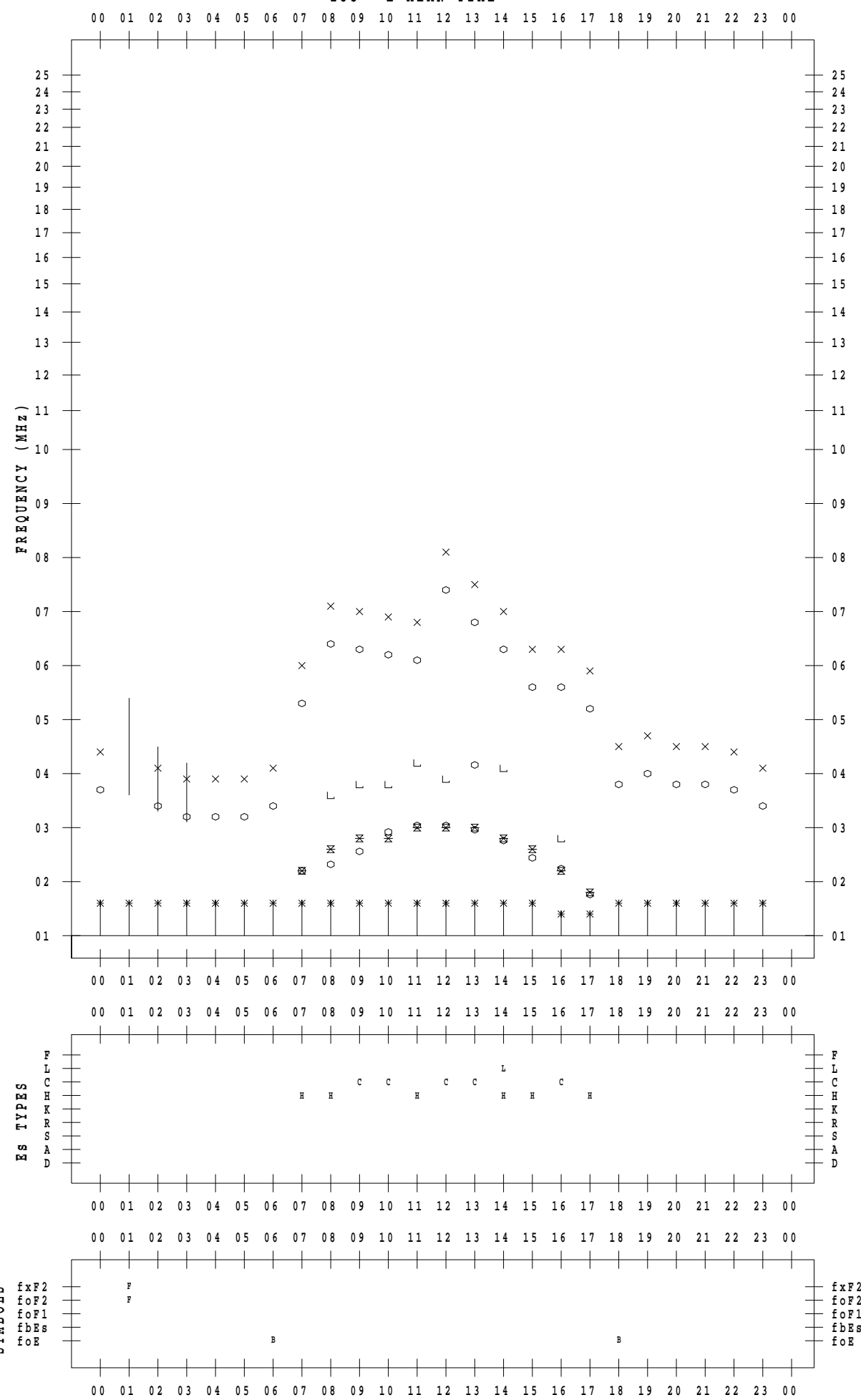
f - P L O T D A T A

SCALER : K.FUKUSHIMA

STATION : Wakkanai

DATE : 2021 / 2 / 27

135 ° E MEAN TIME



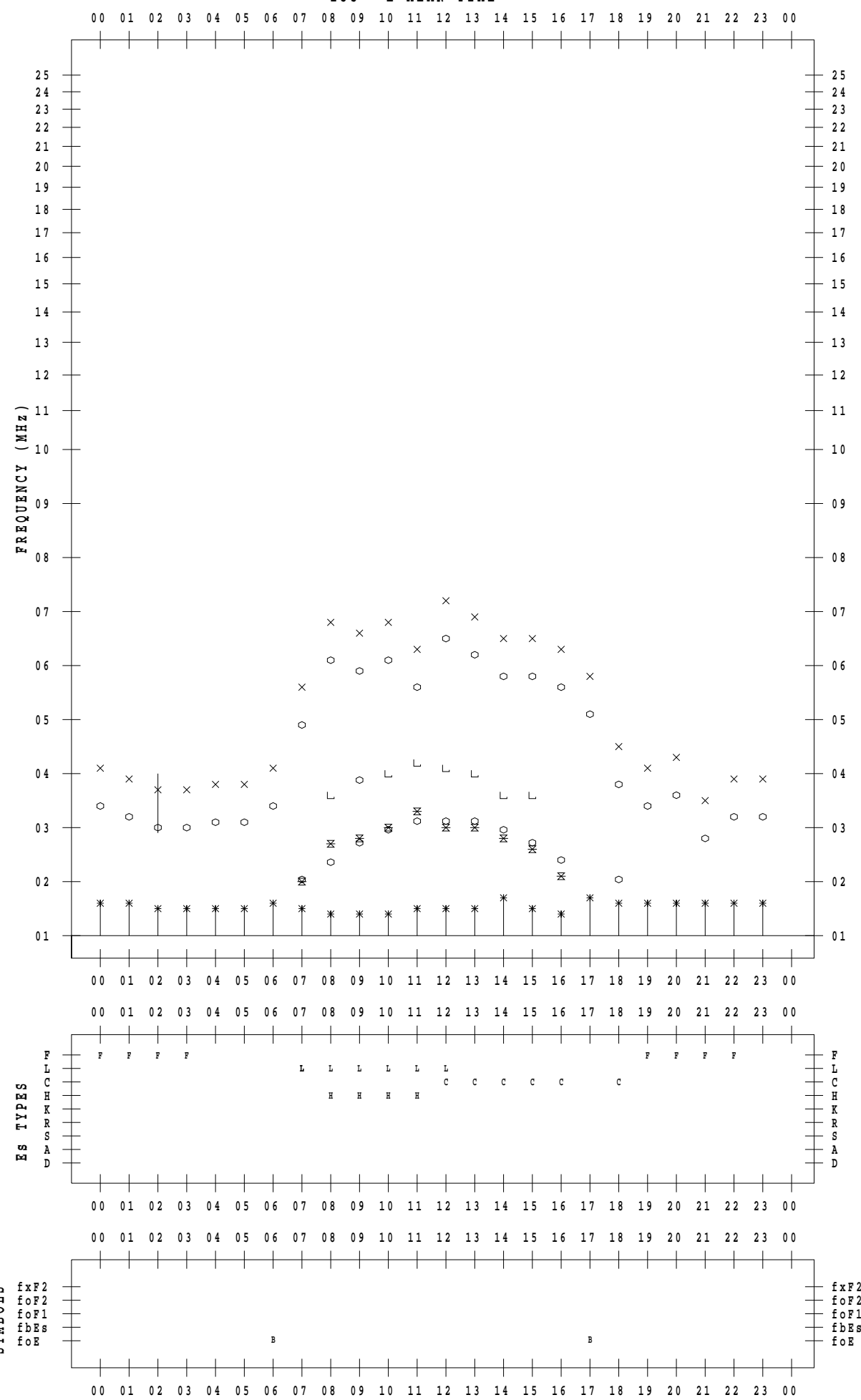
f - P L O T D A T A

SCALER : K.FUKUSHIMA

STATION : Wakkanai

DATE : 2021 / 2 / 28

135 ° E MEAN TIME



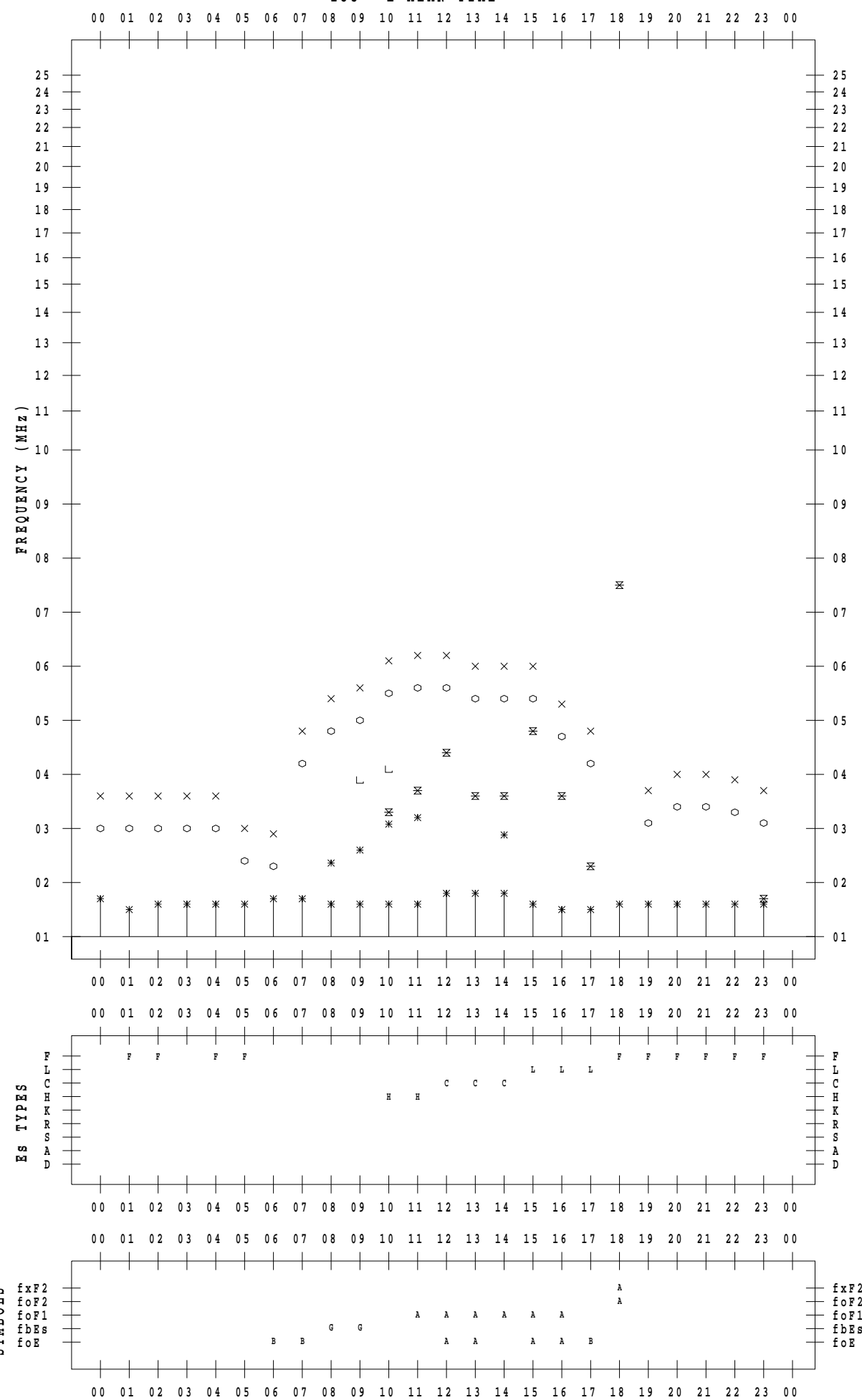
f - P L O T D A T A

SCALER : I.NISHIMUTA

STATION : Kokubunji

DATE : 2021 / 2 / 1

135 ° E MEAN TIME



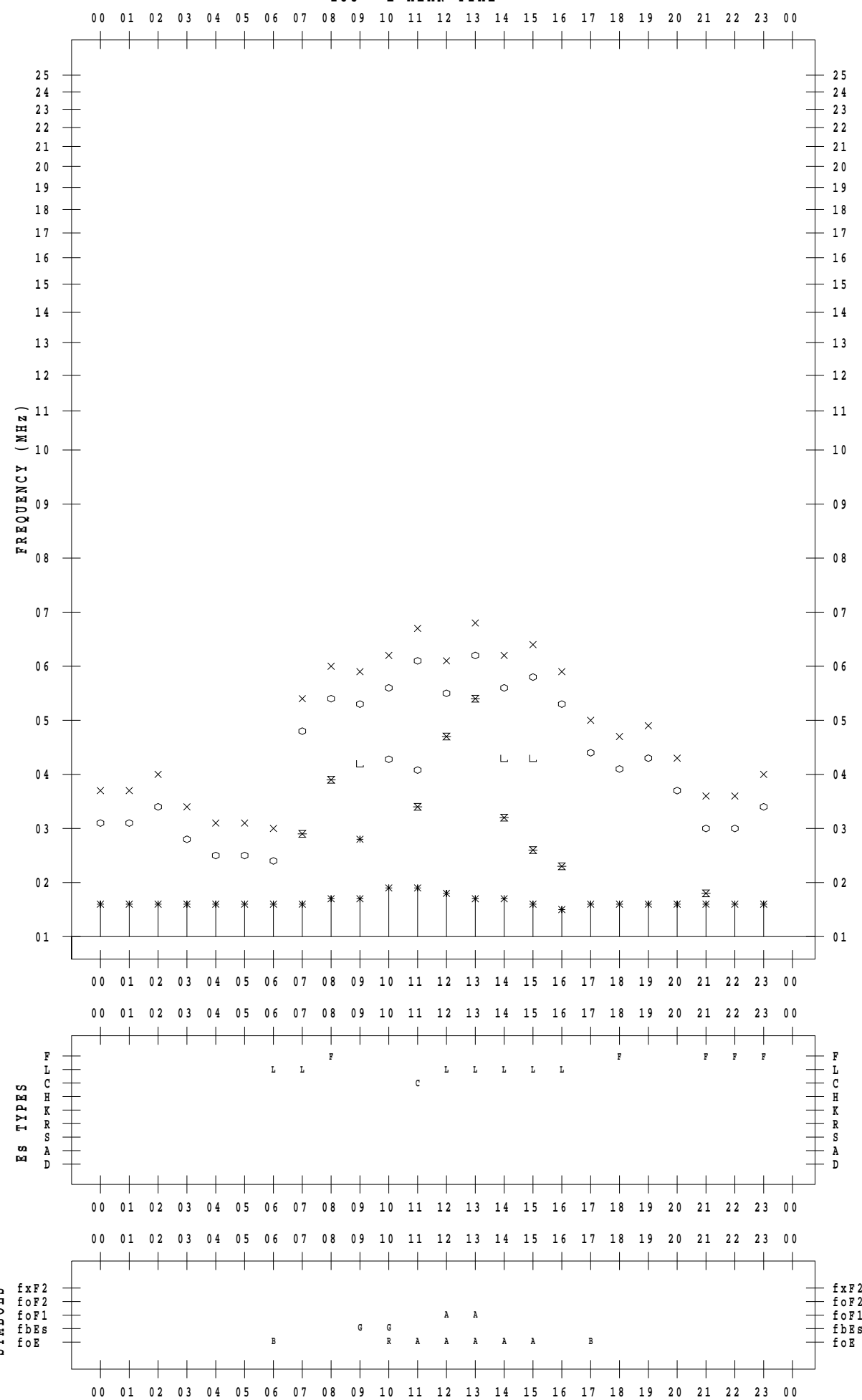
f - P L O T D A T A

SCALER : I.NISHIMUTA

STATION : Kokubunji

DATE : 2021 / 2 / 2

135 ° E MEAN TIME



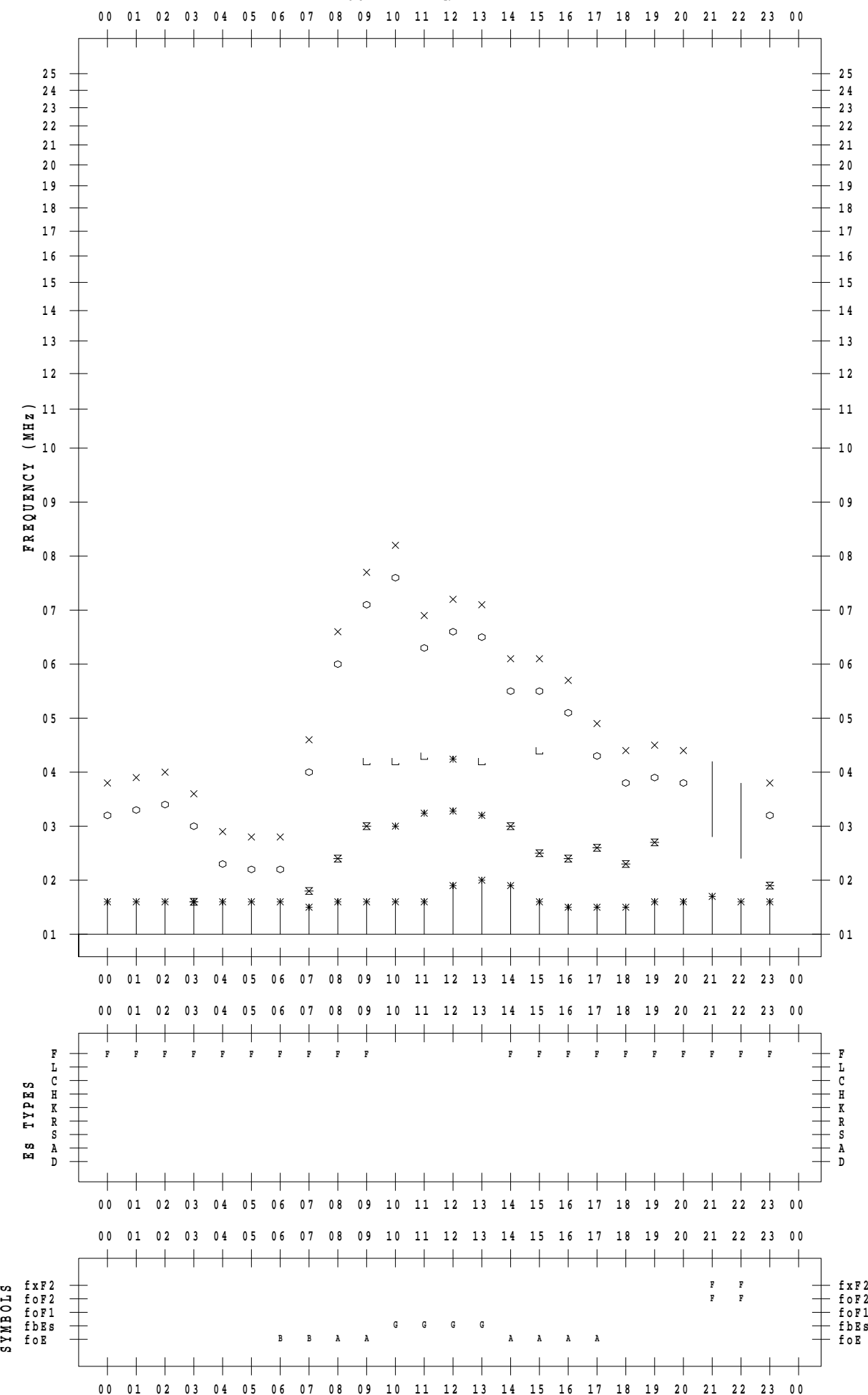
f - P L O T D A T A

SCALER : I.NISHIMUTA

STATION : Kokubunji

DATE : 2021 / 2 / 3

135 ° E MEAN TIME



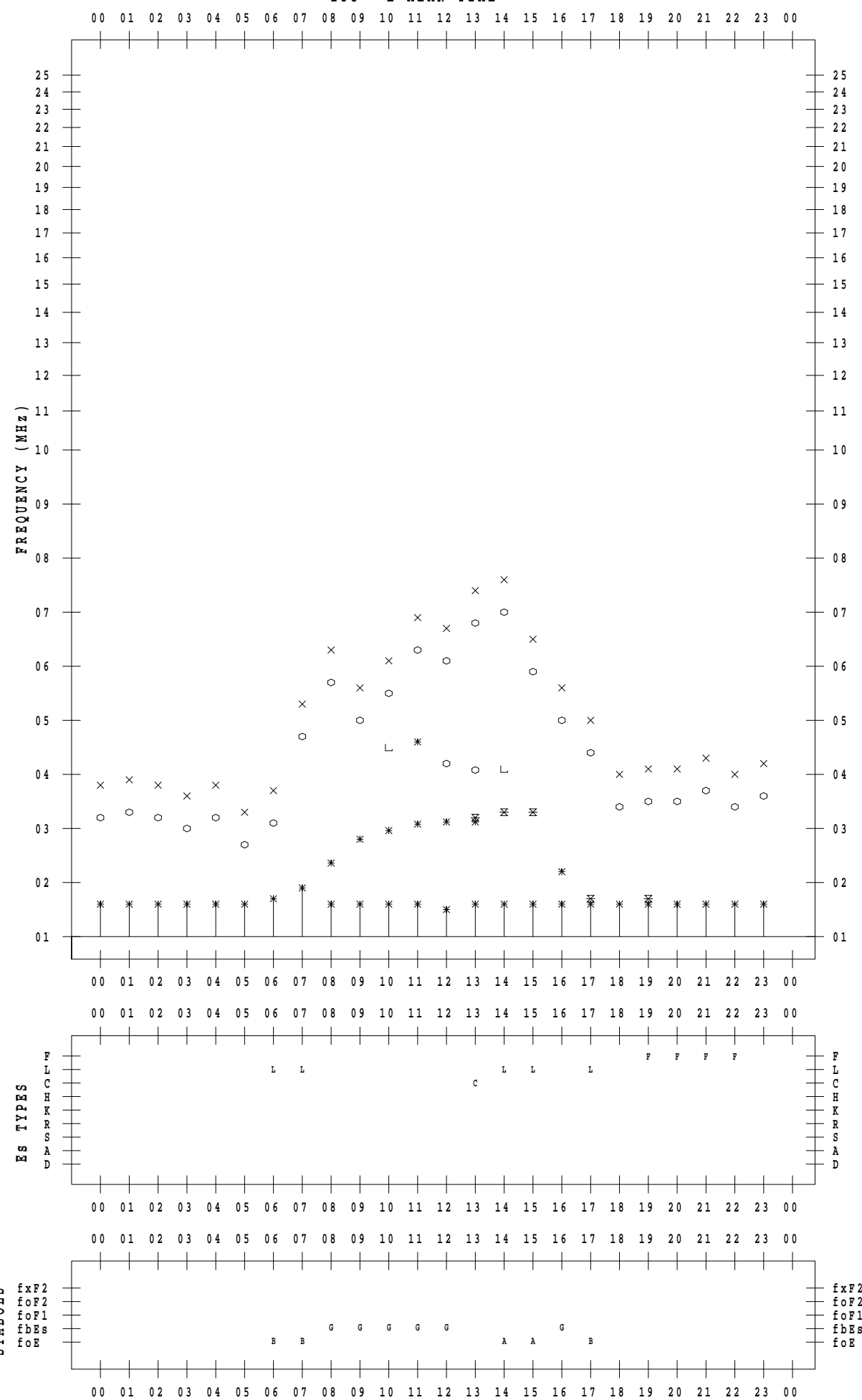
f - P L O T D A T A

SCALER : I.NISHIMUTA

STATION : Kokubunji

DATE : 2021 / 2 / 4

135 °E MEAN TIME

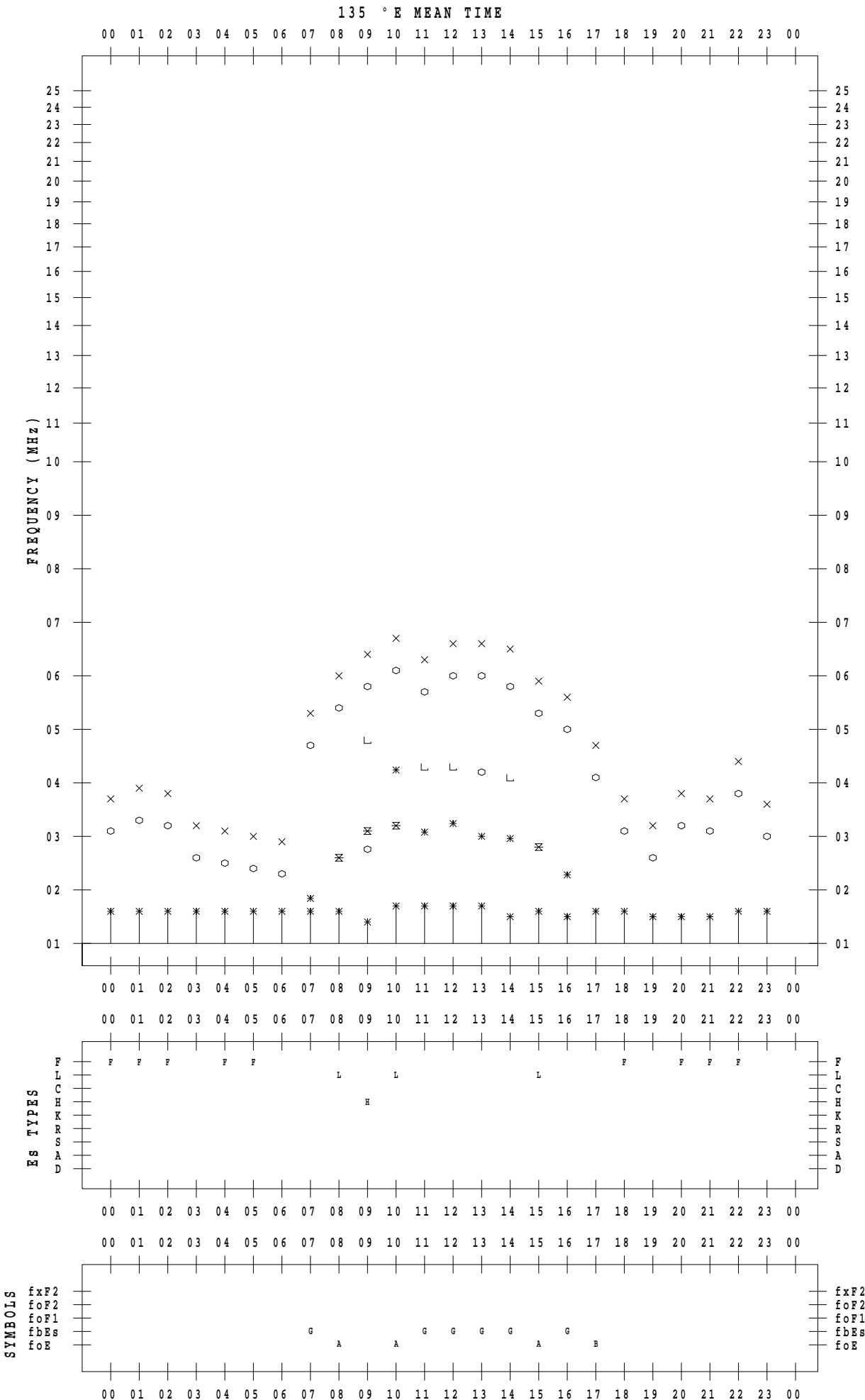


f - PLOT DATA

SCALER : I.NISHIMUTA

STATION : Kokubunji

DATE : 2021 / 2 / 5



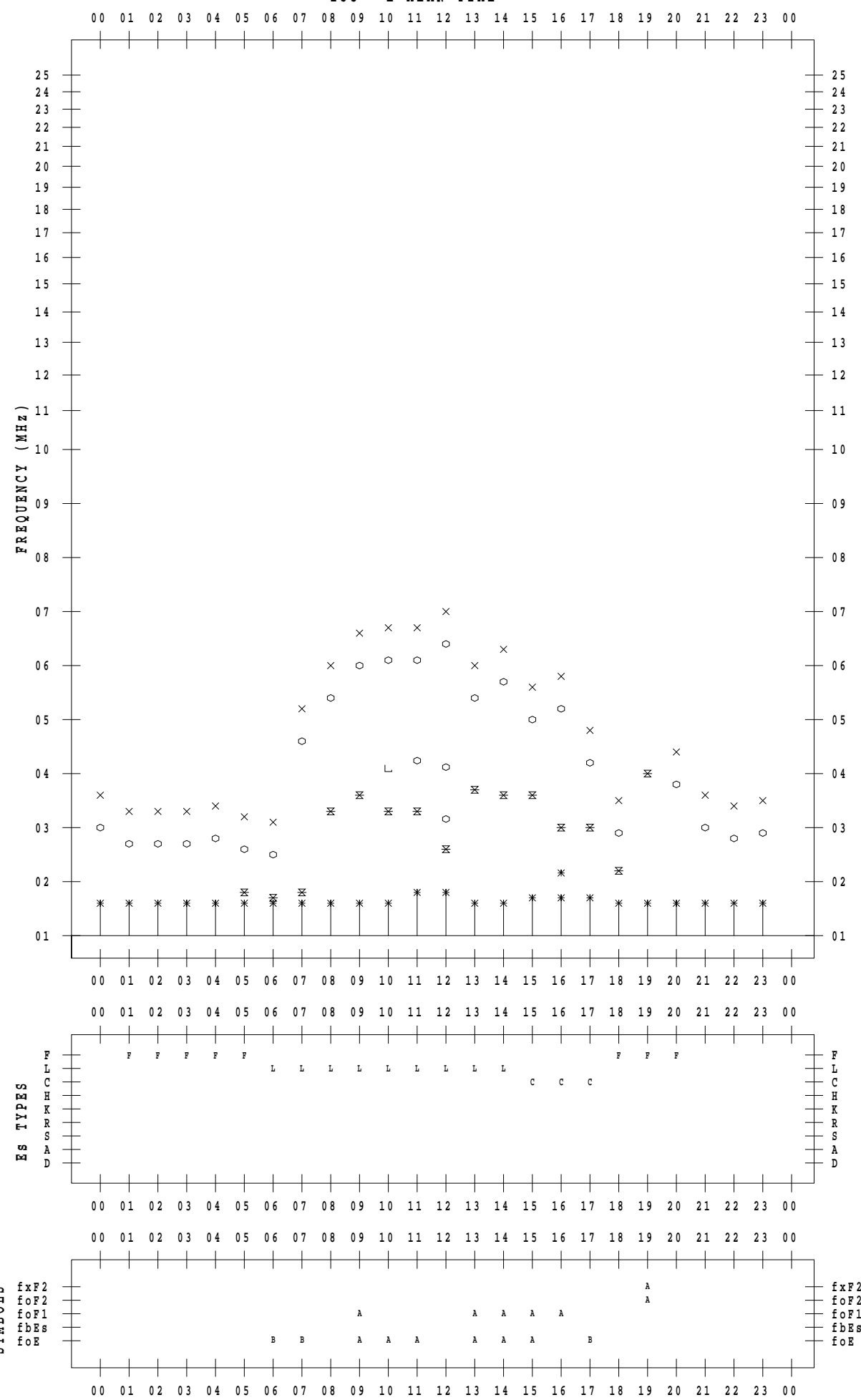
f - P L O T D A T A

SCALER : I.NISHIMUTA

STATION : Kokubunji

DATE : 2021 / 2 / 6

135 ° E MEAN TIME



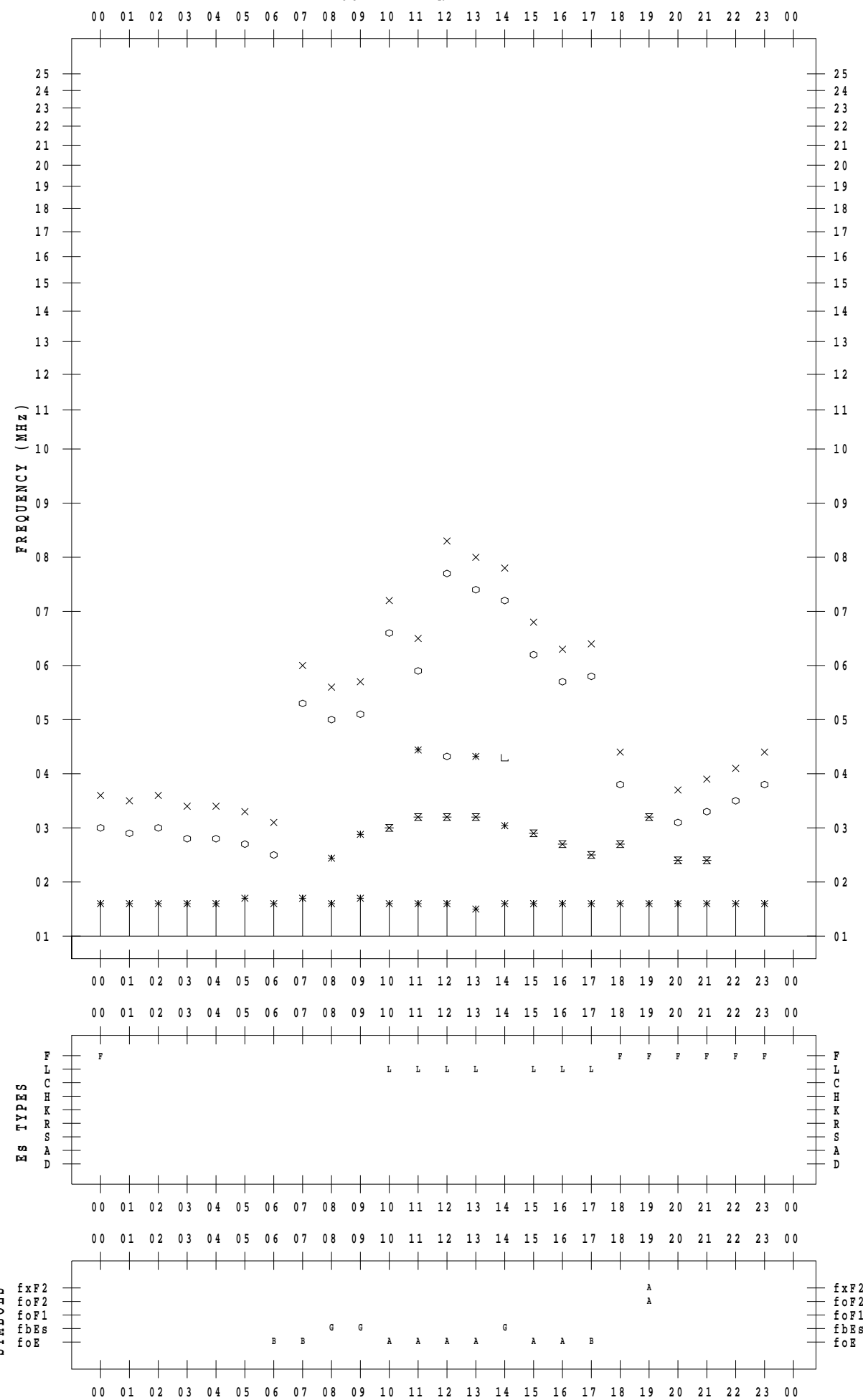
f - P L O T D A T A

SCALER : I.NISHIMUTA

STATION : Kokubunji

DATE : 2021 / 2 / 7

135 ° E MEAN TIME



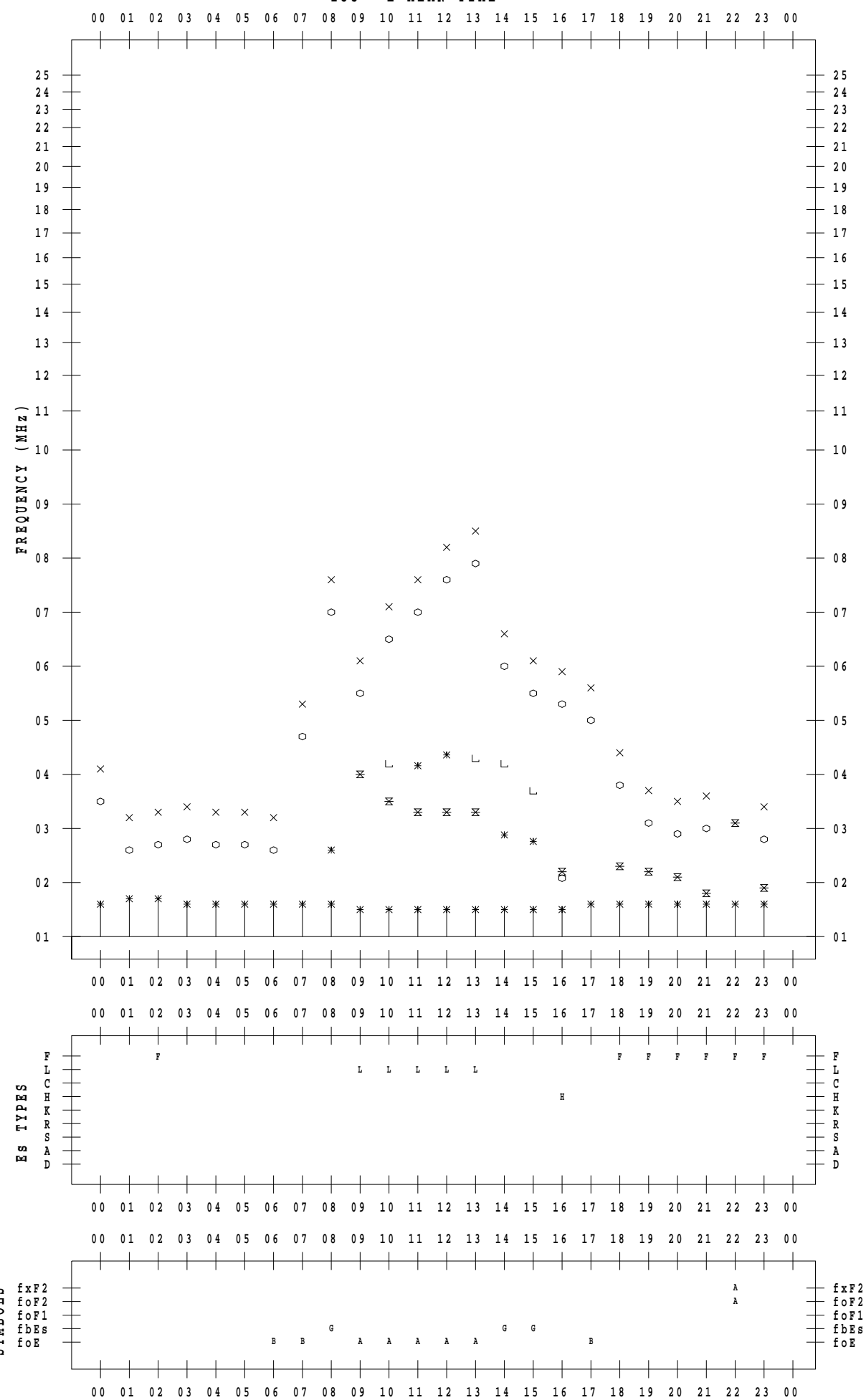
f - P L O T D A T A

SCALER : I.NISHIMUTA

STATION : Kokubunji

DATE : 2021 / 2 / 8

135 ° E MEAN TIME

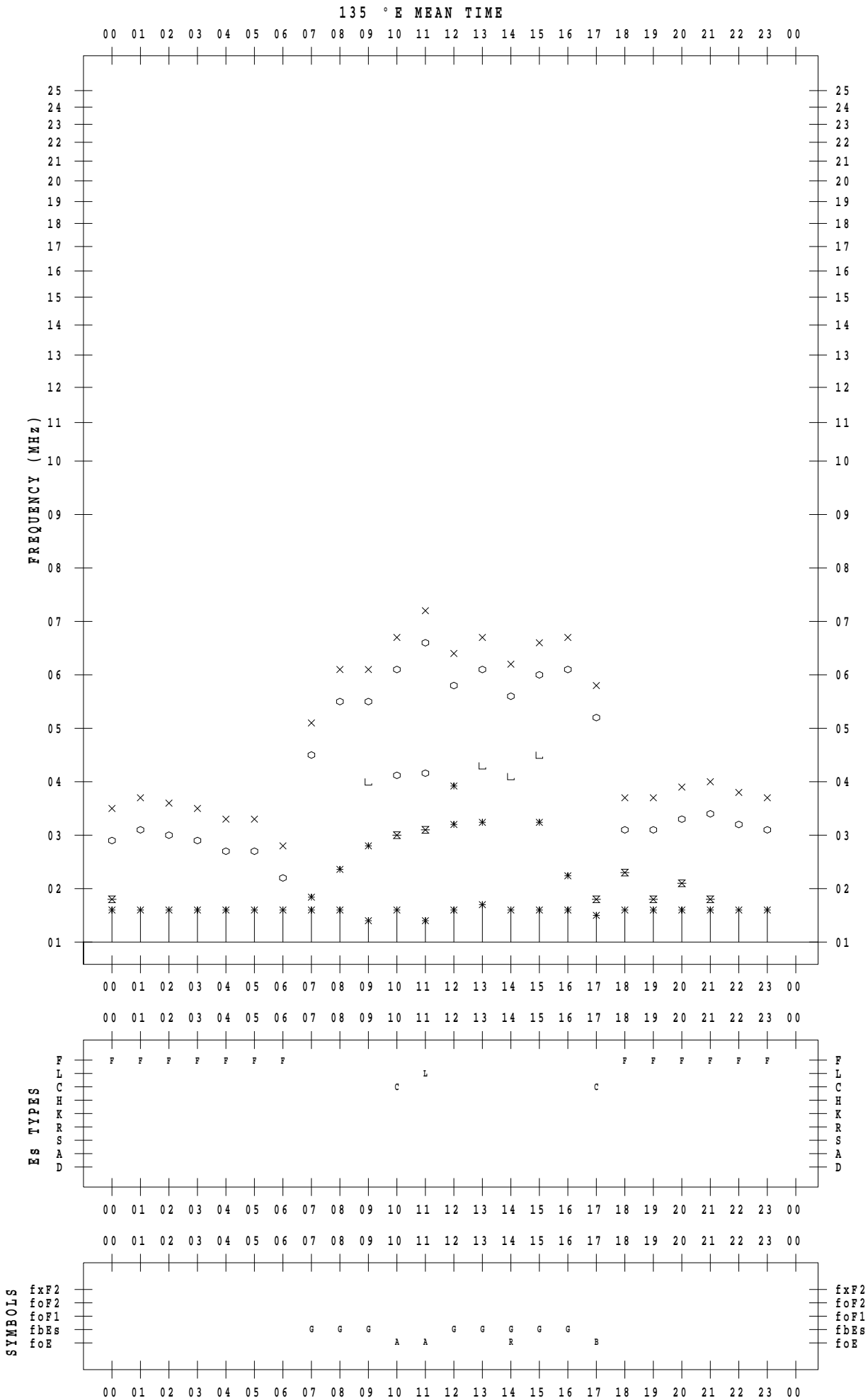


f - PLOT DATA

SCALER : I.NISHIMUTA

STATION : Kokubunji

DATE : 2021 / 2 / 9



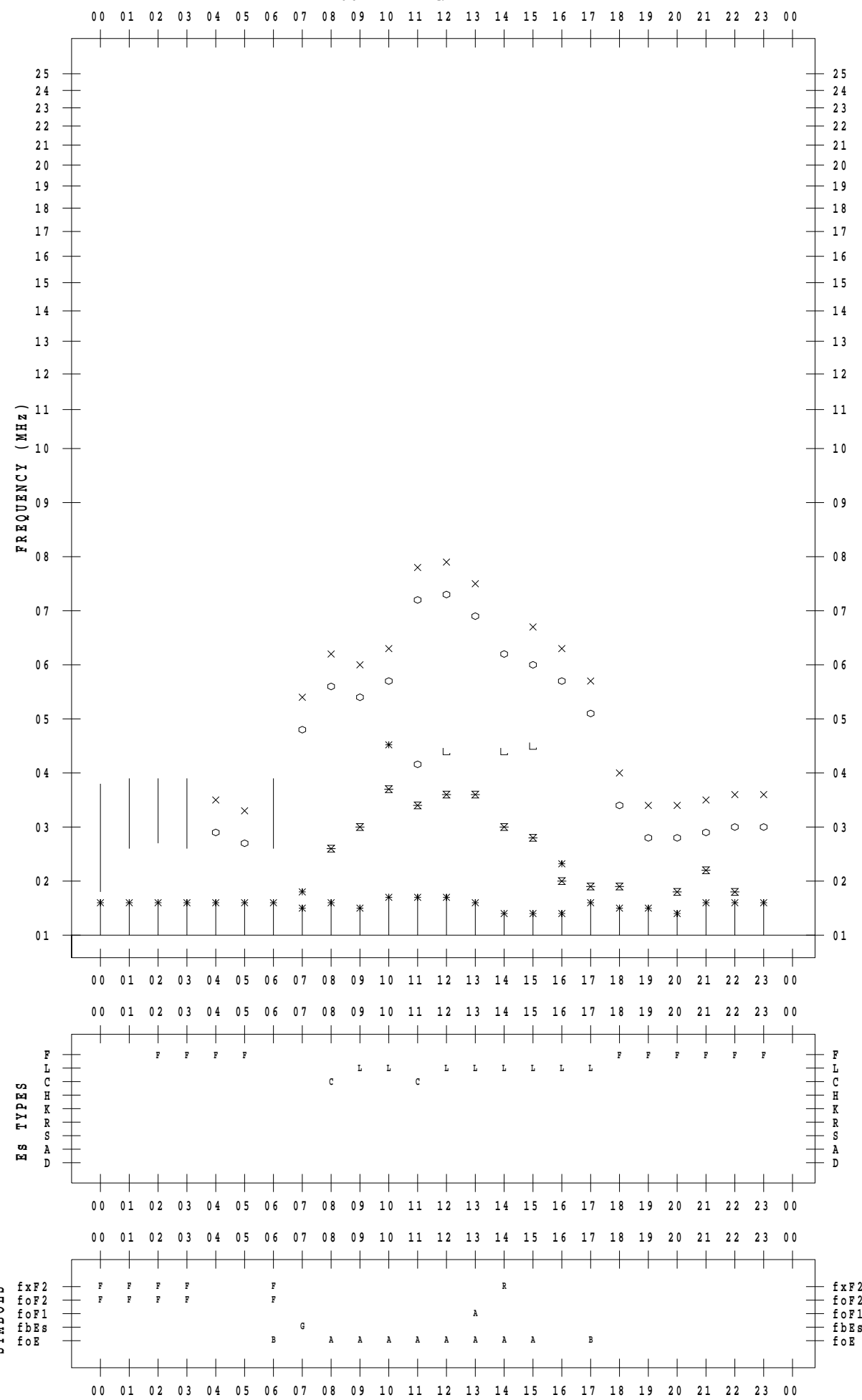
f - P L O T D A T A

SCALER : I.NISHIMUTA

STATION : Kokubunji

DATE : 2021 / 2 / 10

135 ° E MEAN TIME



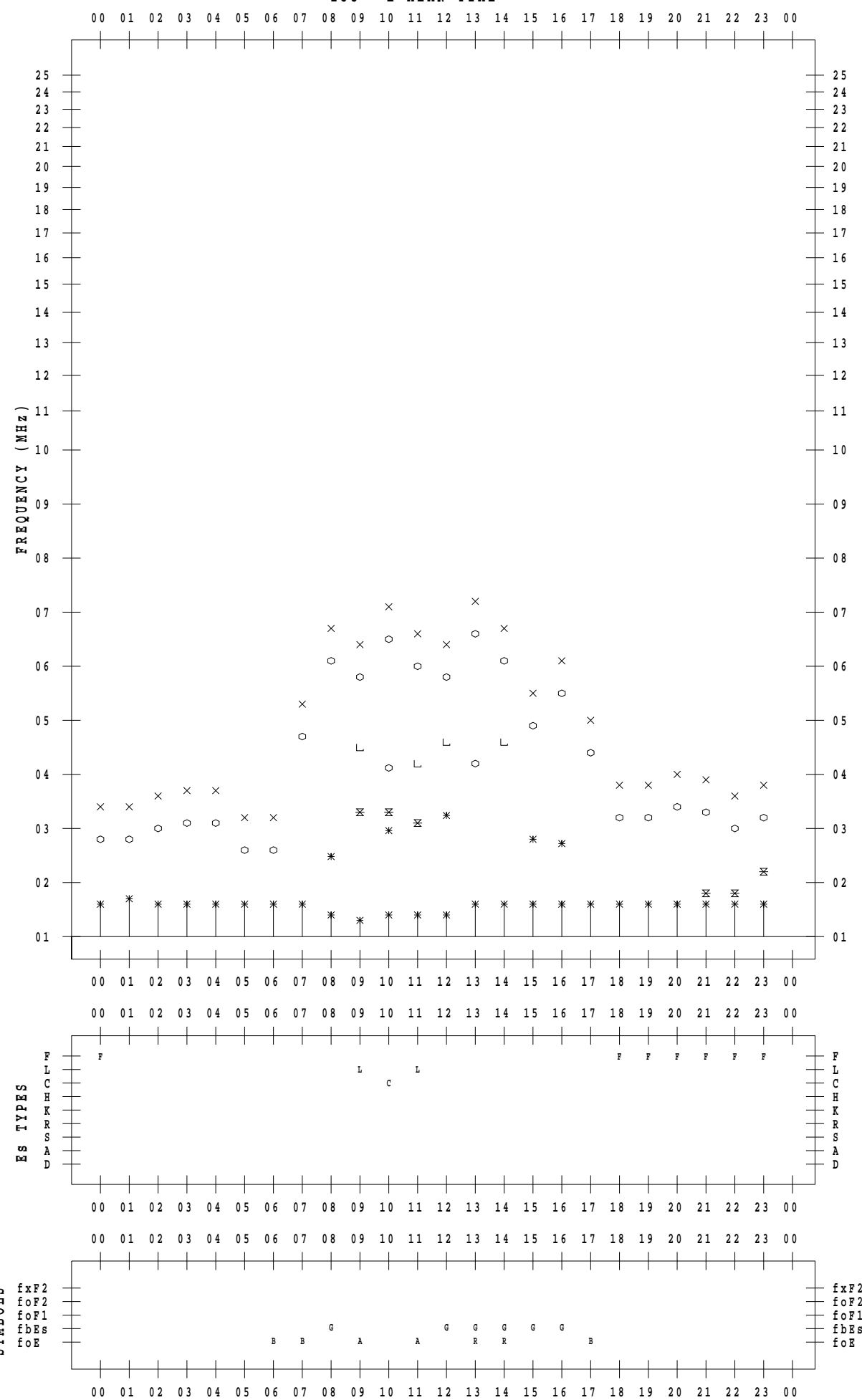
f - P L O T D A T A

SCALER : I.NISHIMUTA

STATION : Kokubunji

DATE : 2021 / 2 / 11

135 ° E MEAN TIME



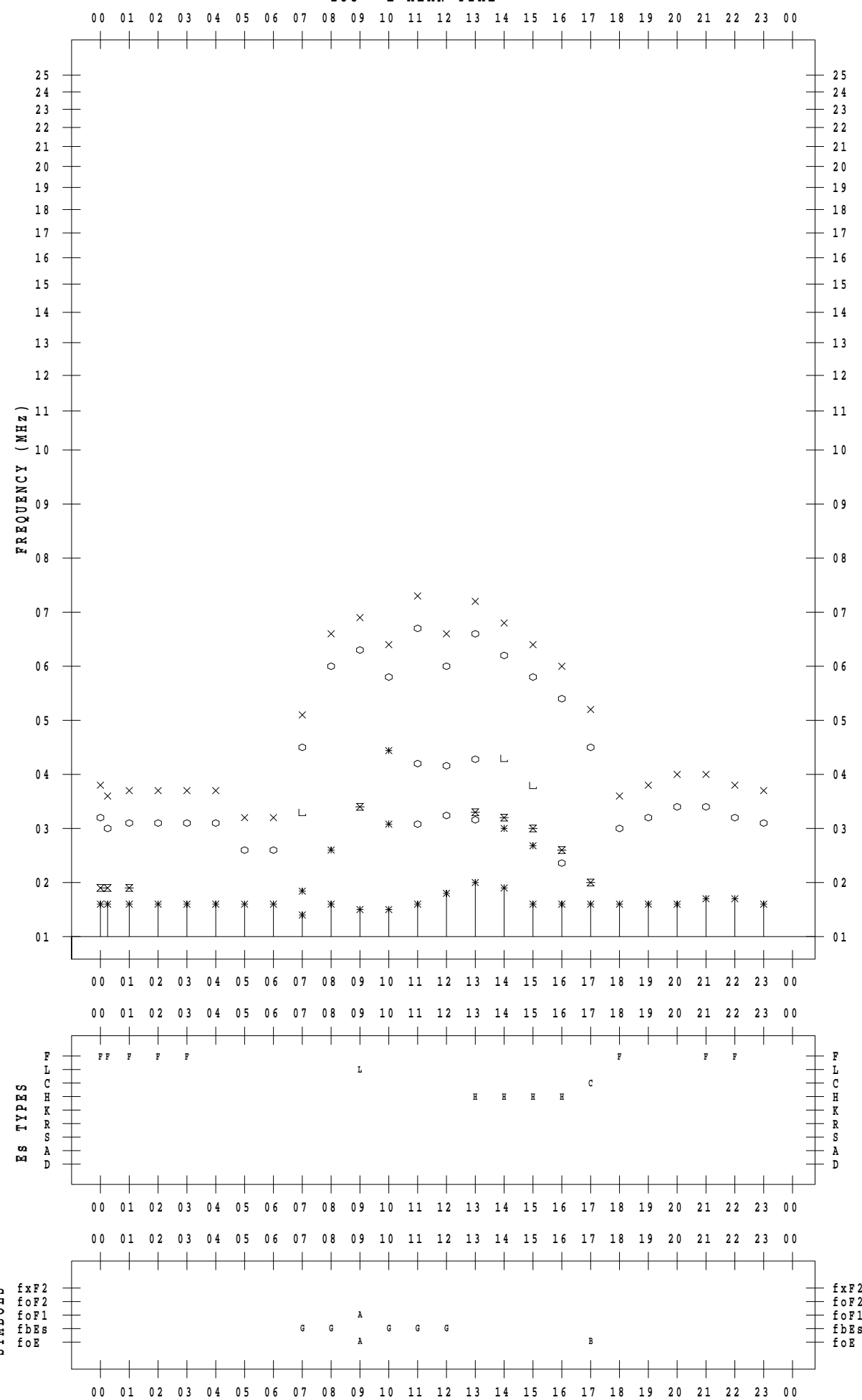
f - P L O T D A T A

SCALER : I.NISHIMUTA

STATION : Kokubunji

DATE : 2021 / 2 / 12

135 ° E MEAN TIME



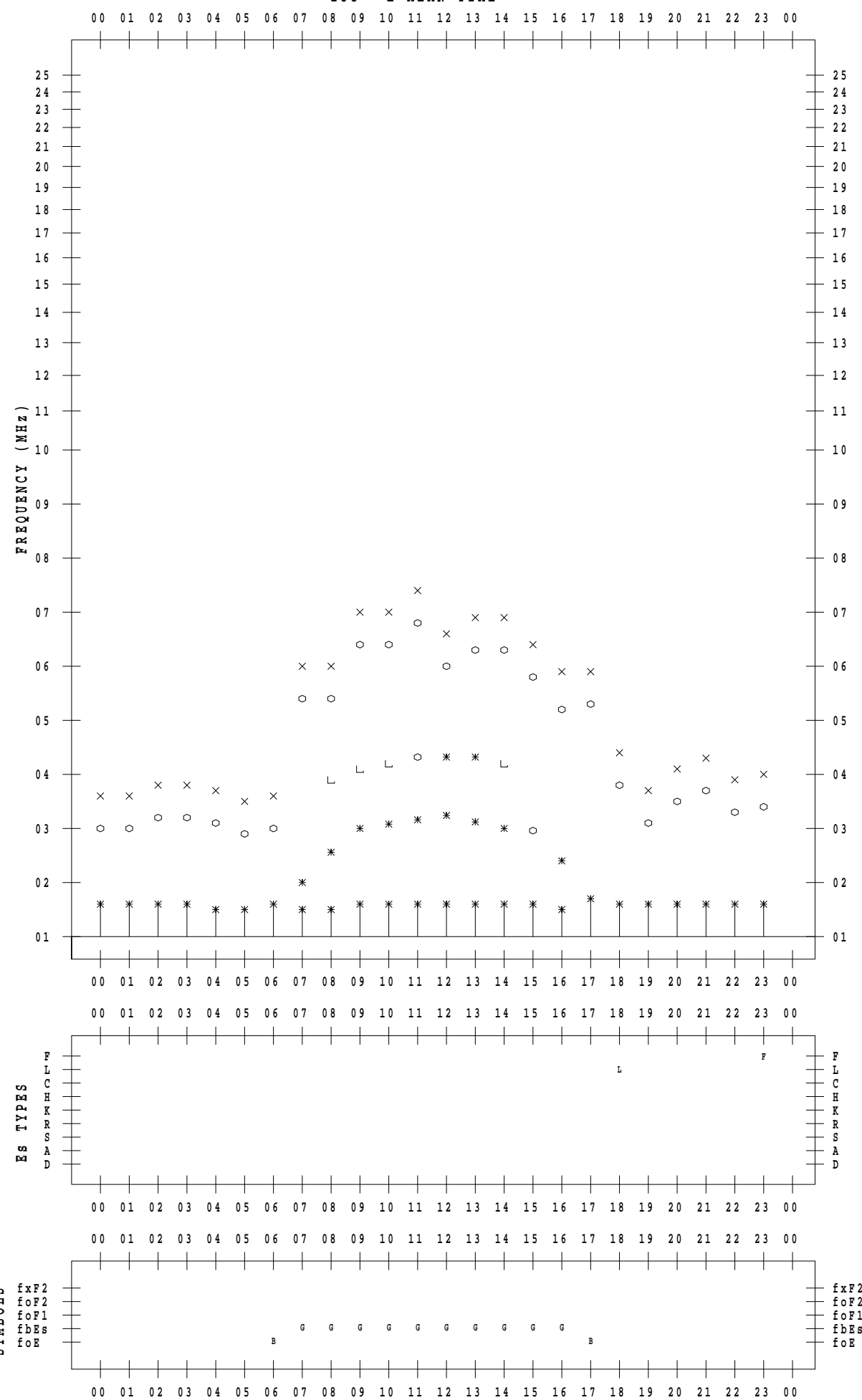
f - P L O T D A T A

SCALER : I.NISHIMUTA

STATION : Kokubunji

DATE : 2021 / 2 / 13

135 ° E MEAN TIME



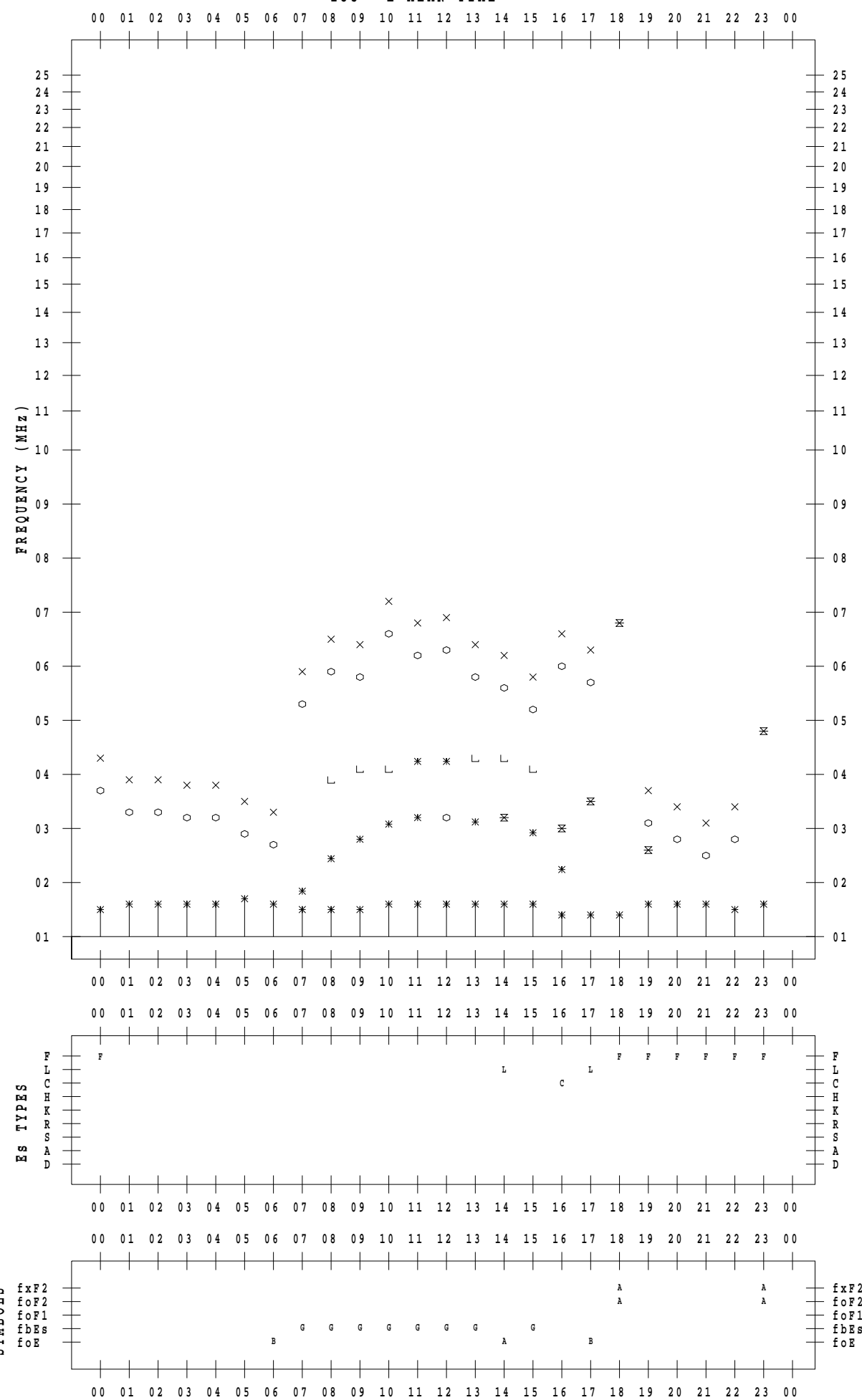
f - P L O T D A T A

SCALER : I.NISHIMUTA

STATION : Kokubunji

DATE : 2021 / 2 / 14

135 ° E MEAN TIME



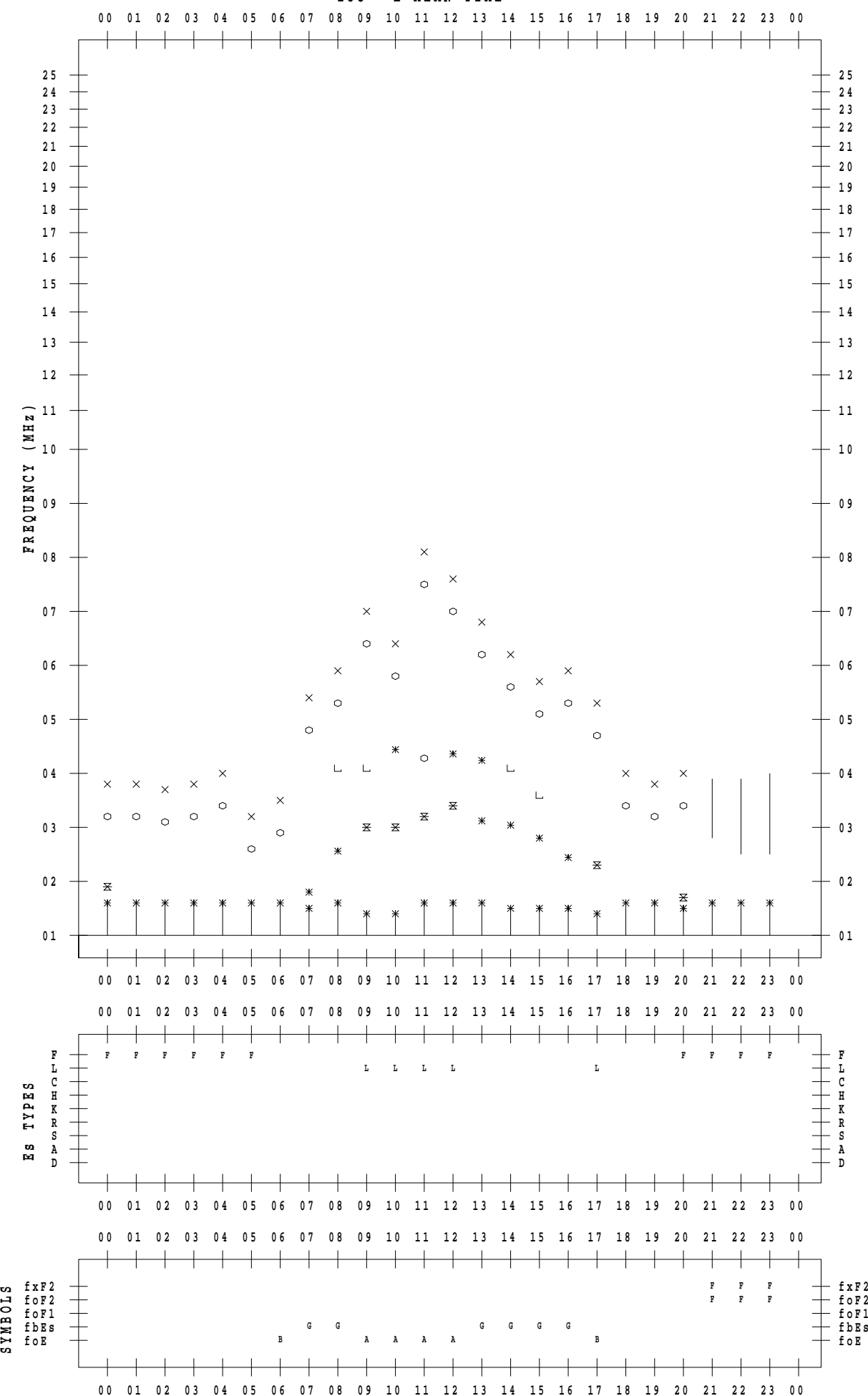
f - P L O T D A T A

SCALER : I.NISHIMUTA

STATION : Kokubunji

DATE : 2021 / 2 / 15

135 ° E MEAN TIME



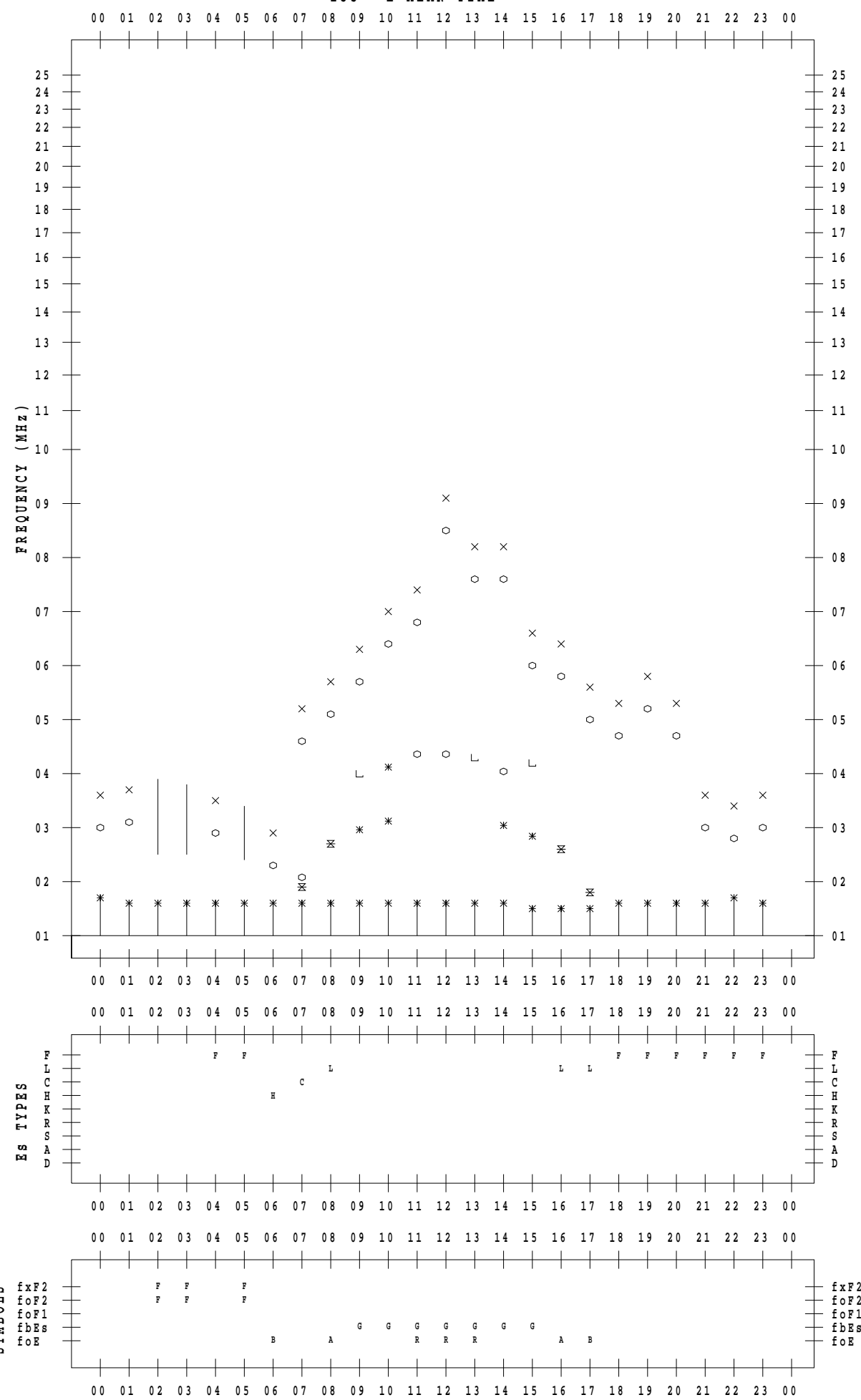
f - P L O T D A T A

SCALER : I.NISHIMUTA

STATION : Kokubunji

DATE : 2021 / 2 / 16

135 ° E MEAN TIME



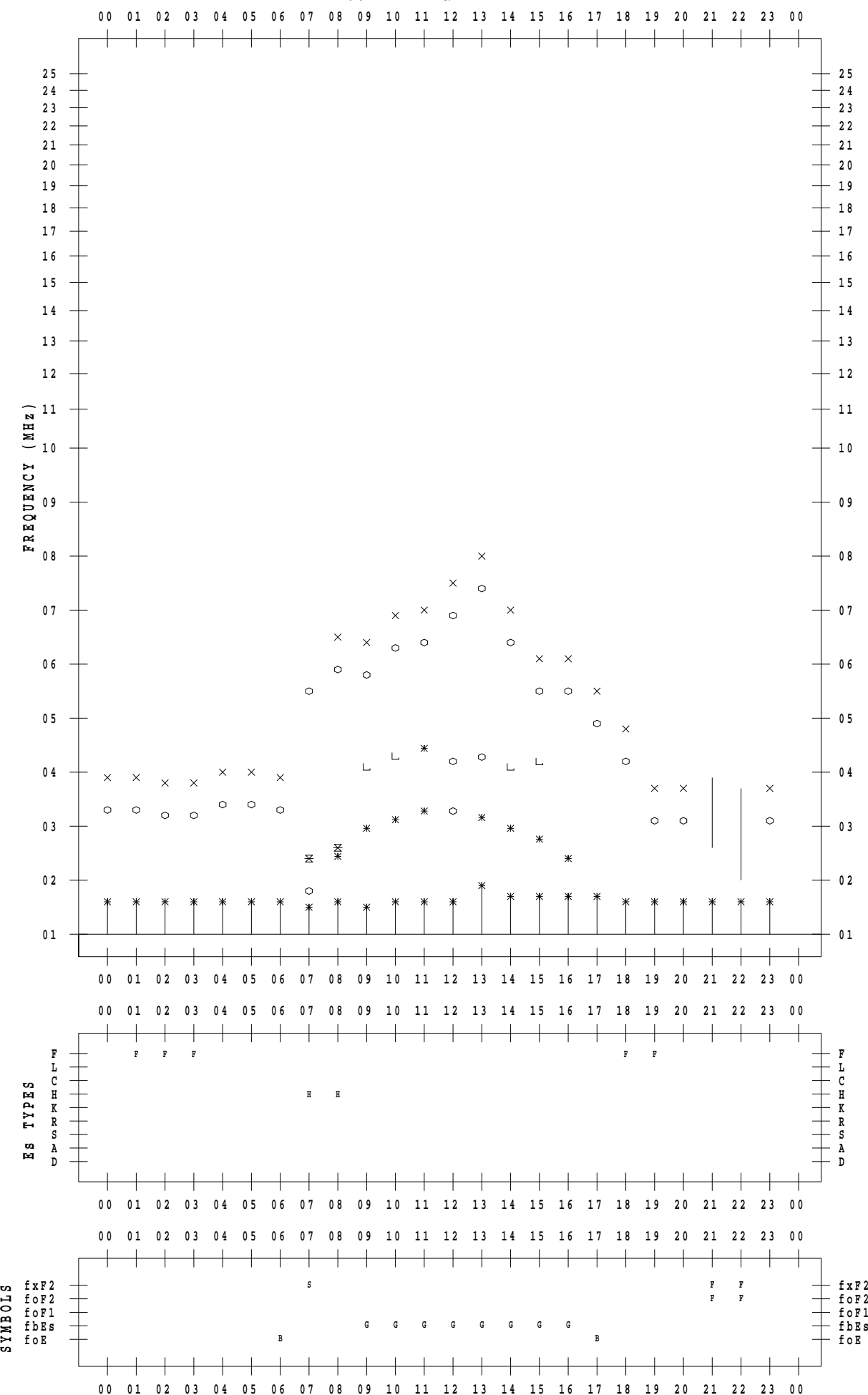
f - P L O T D A T A

SCALER : I.NISHIMUTA

STATION : Kokubunji

DATE : 2021 / 2 / 17

135 ° E MEAN TIME



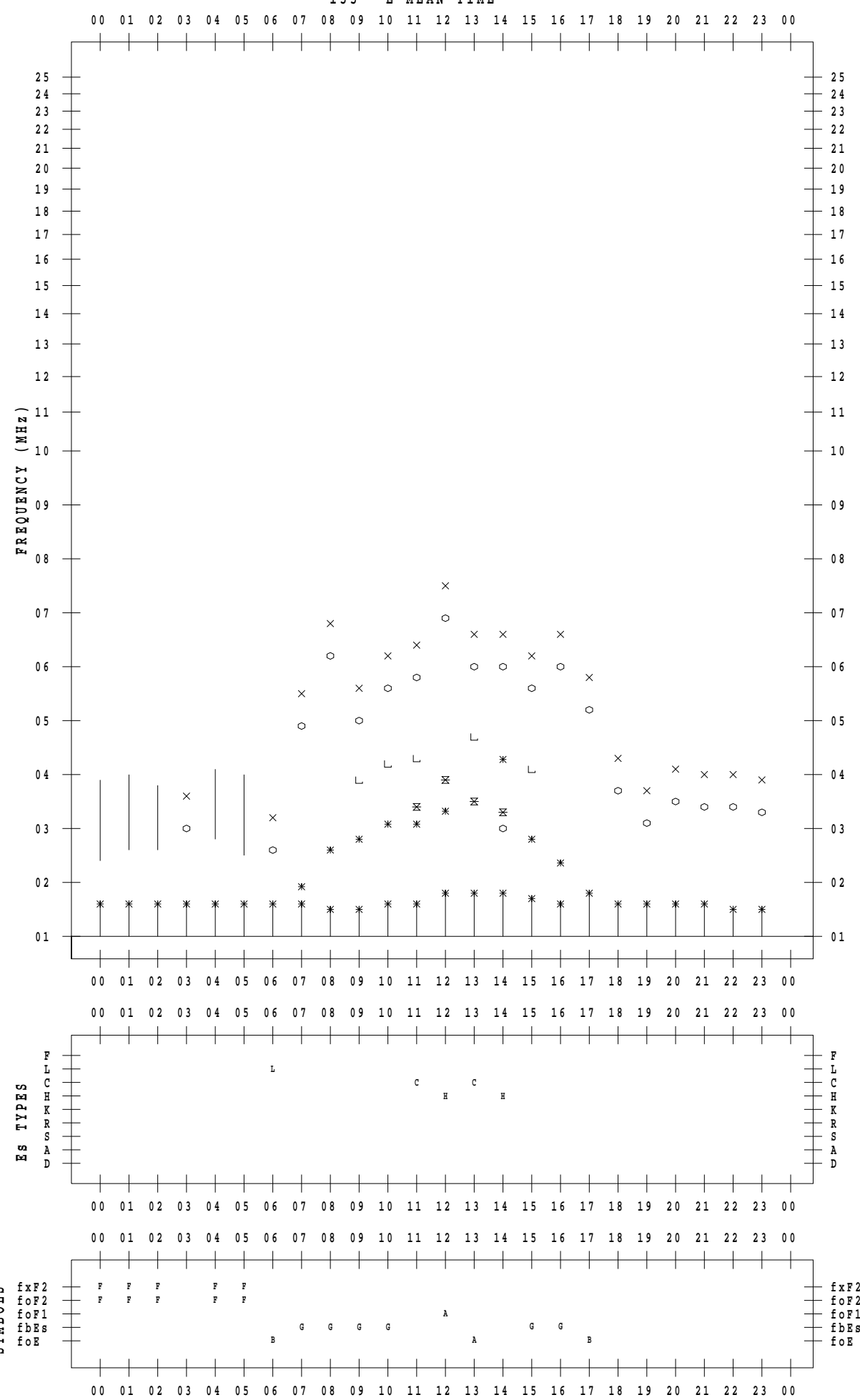
f - P L O T D A T A

SCALER : I.NISHIMUTA

STATION : Kokubunji

DATE : 2021 / 2 / 18

135 ° E MEAN TIME



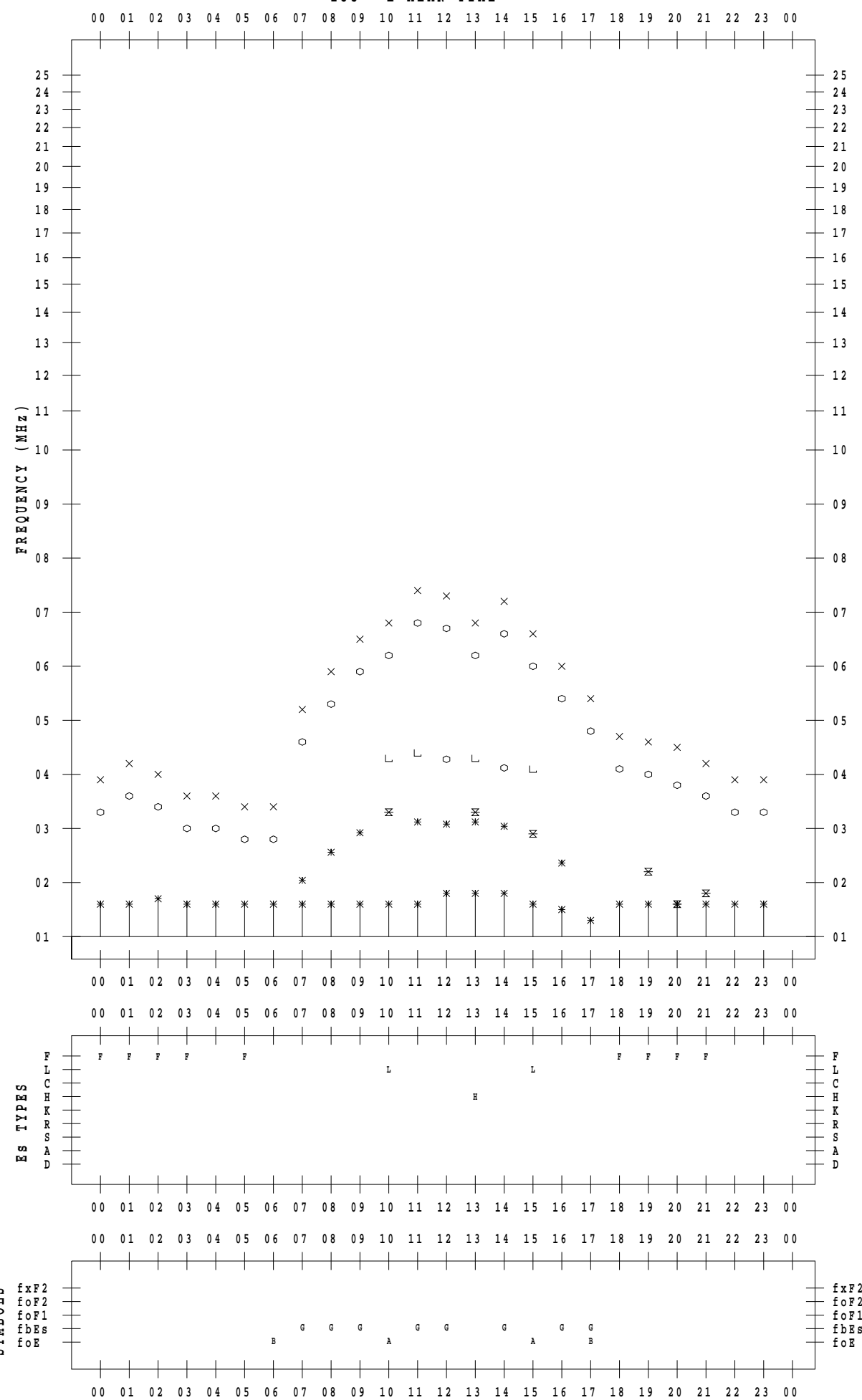
f - P L O T D A T A

SCALER : I.NISHIMUTA

STATION : Kokubunji

DATE : 2021 / 2 / 19

135 ° E MEAN TIME



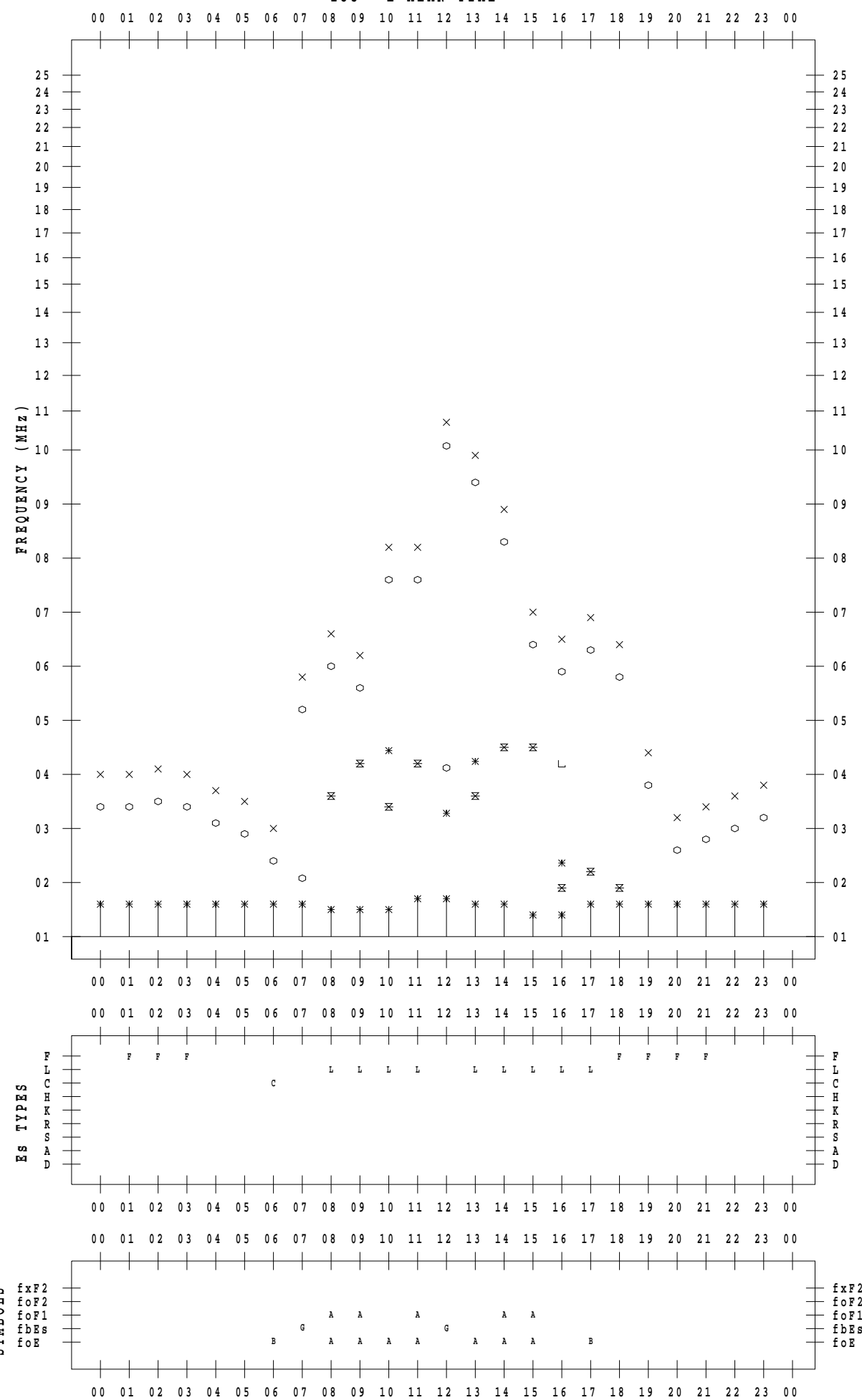
f - P L O T D A T A

SCALER : I.NISHIMUTA

STATION : Kokubunji

DATE : 2021 / 2 / 20

135 ° E MEAN TIME



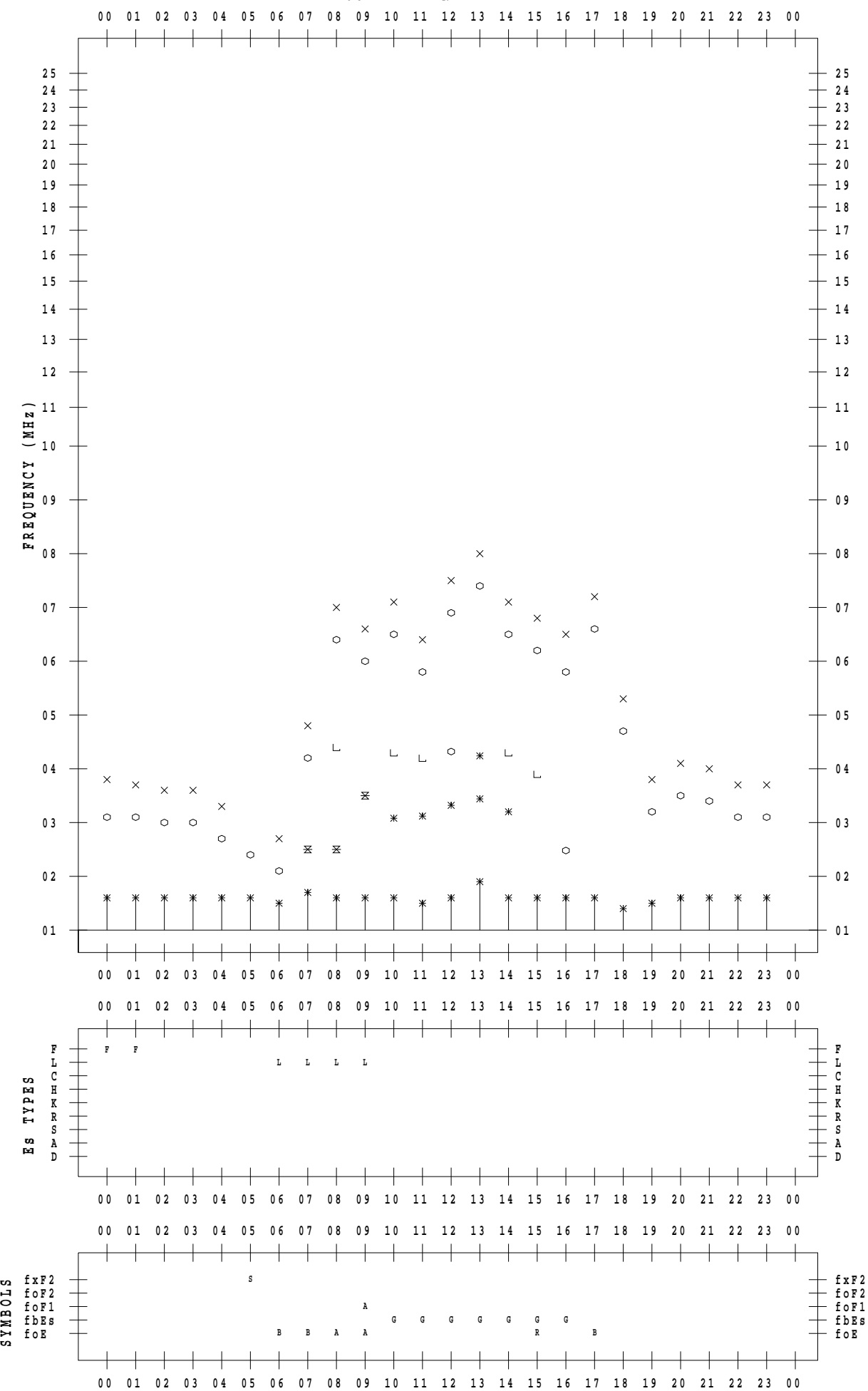
f - P L O T D A T A

SCALER : I.NISHIMUTA

STATION : Kokubunji

DATE : 2021 / 2 / 21

135 ° E MEAN TIME



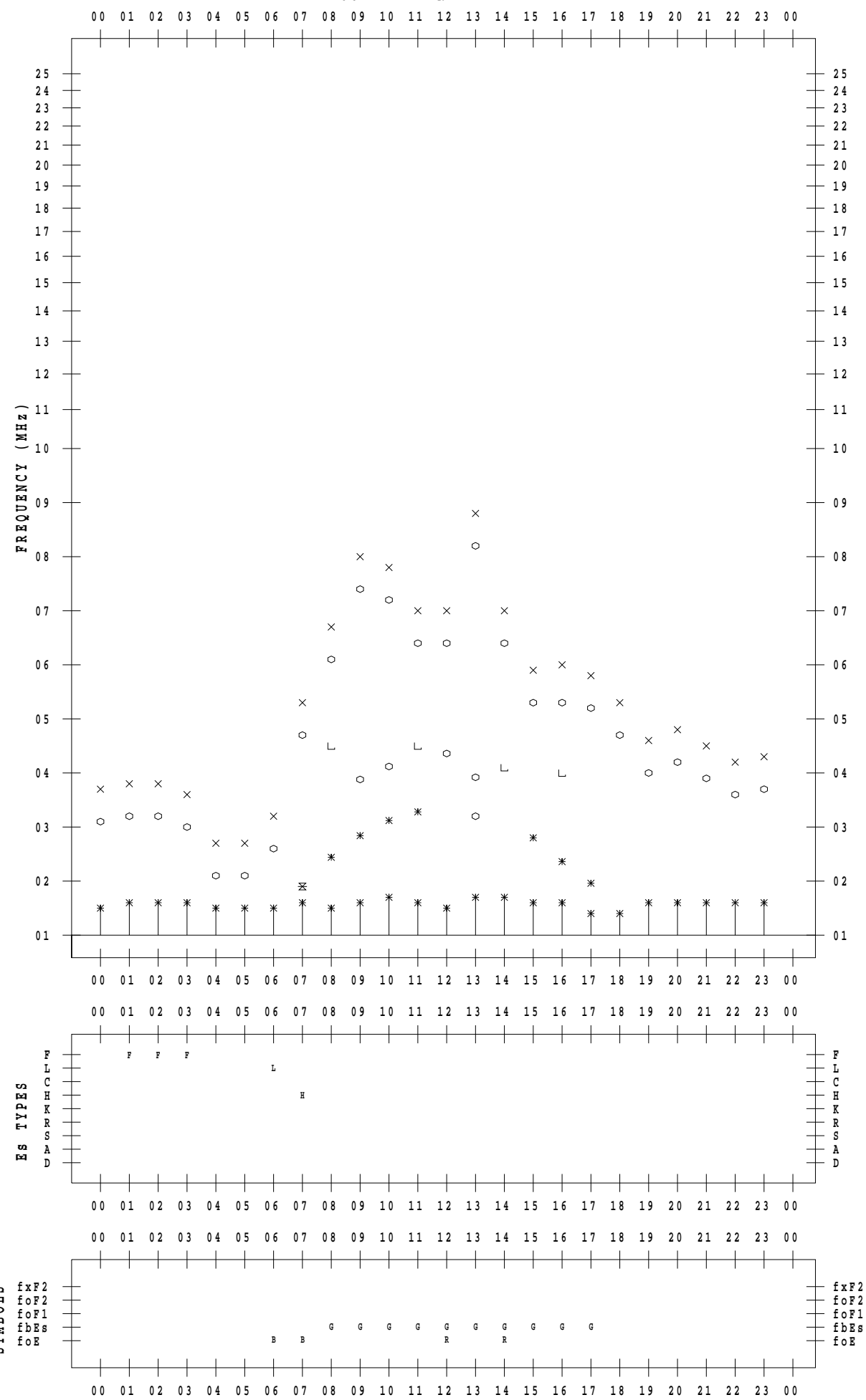
f - P L O T D A T A

SCALER : I.NISHIMUTA

STATION : Kokubunji

DATE : 2021 / 2 / 22

135 ° E MEAN TIME



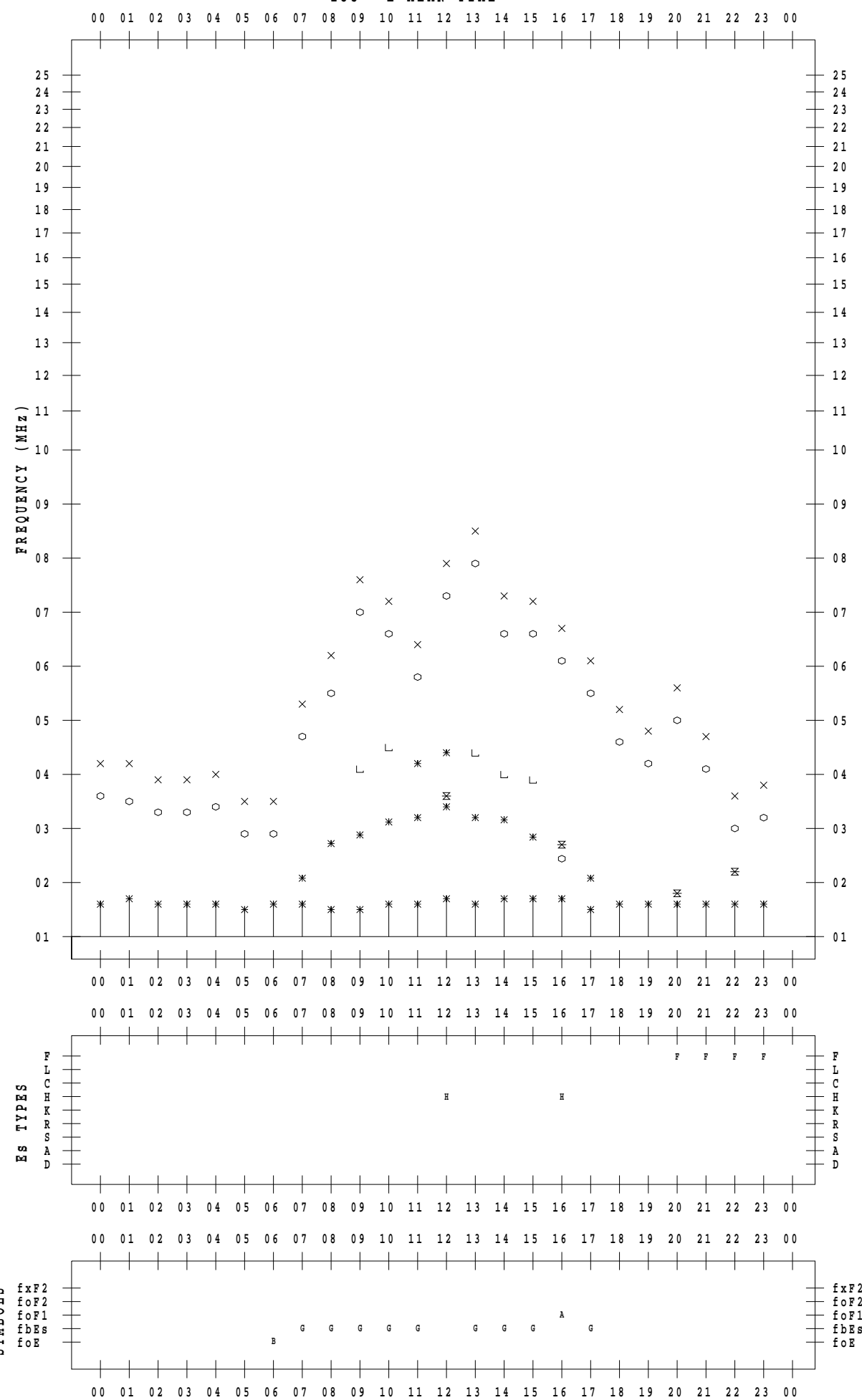
f - P L O T D A T A

SCALER : I.NISHIMUTA

STATION : Kokubunji

DATE : 2021 / 2 / 23

135 ° E MEAN TIME



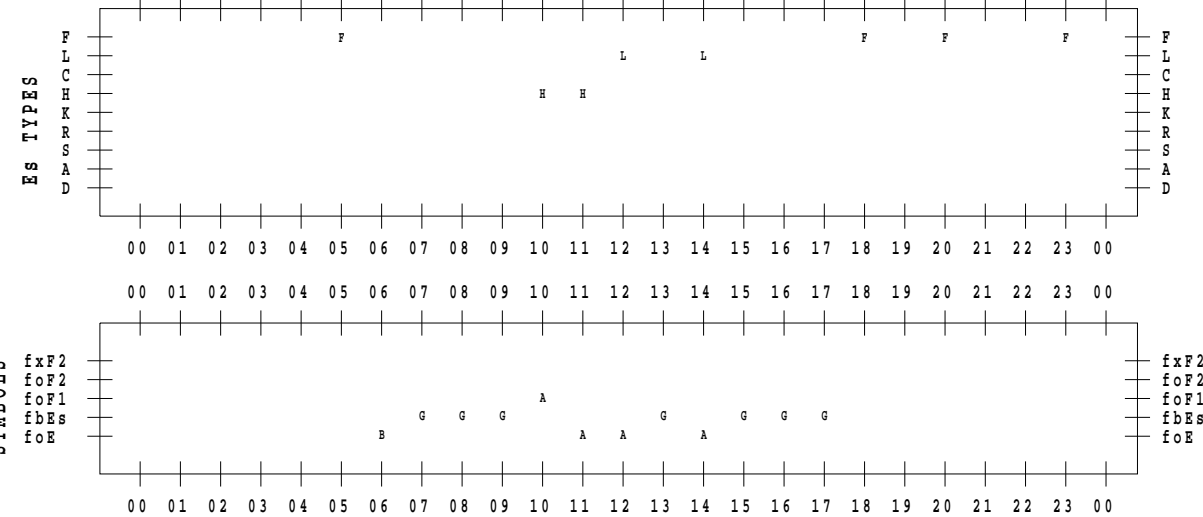
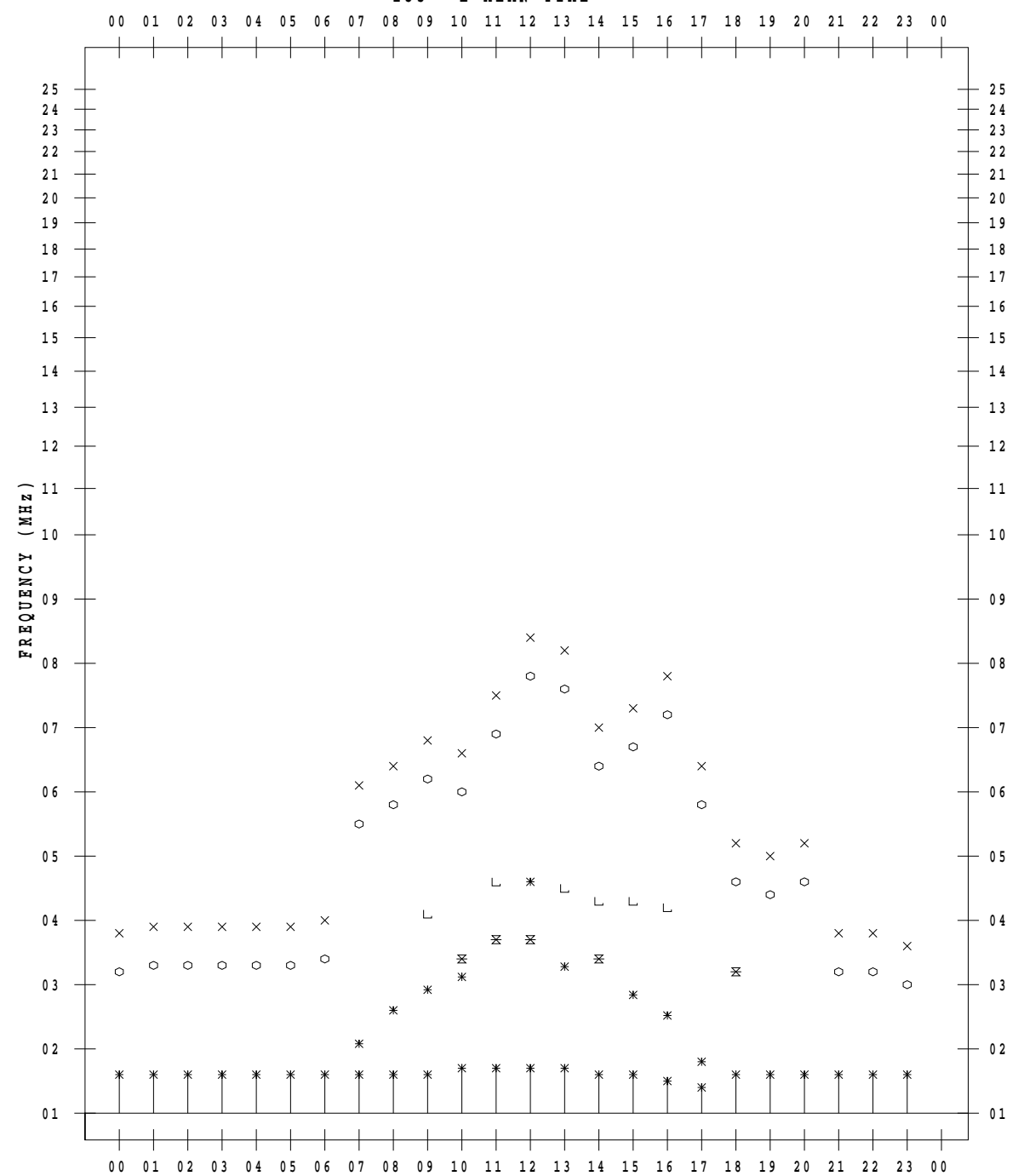
f - P L O T D A T A

SCALER : I.NISHIMUTA

STATION : Kokubunji

DATE : 2021 / 2 / 24

135 ° E MEAN TIME



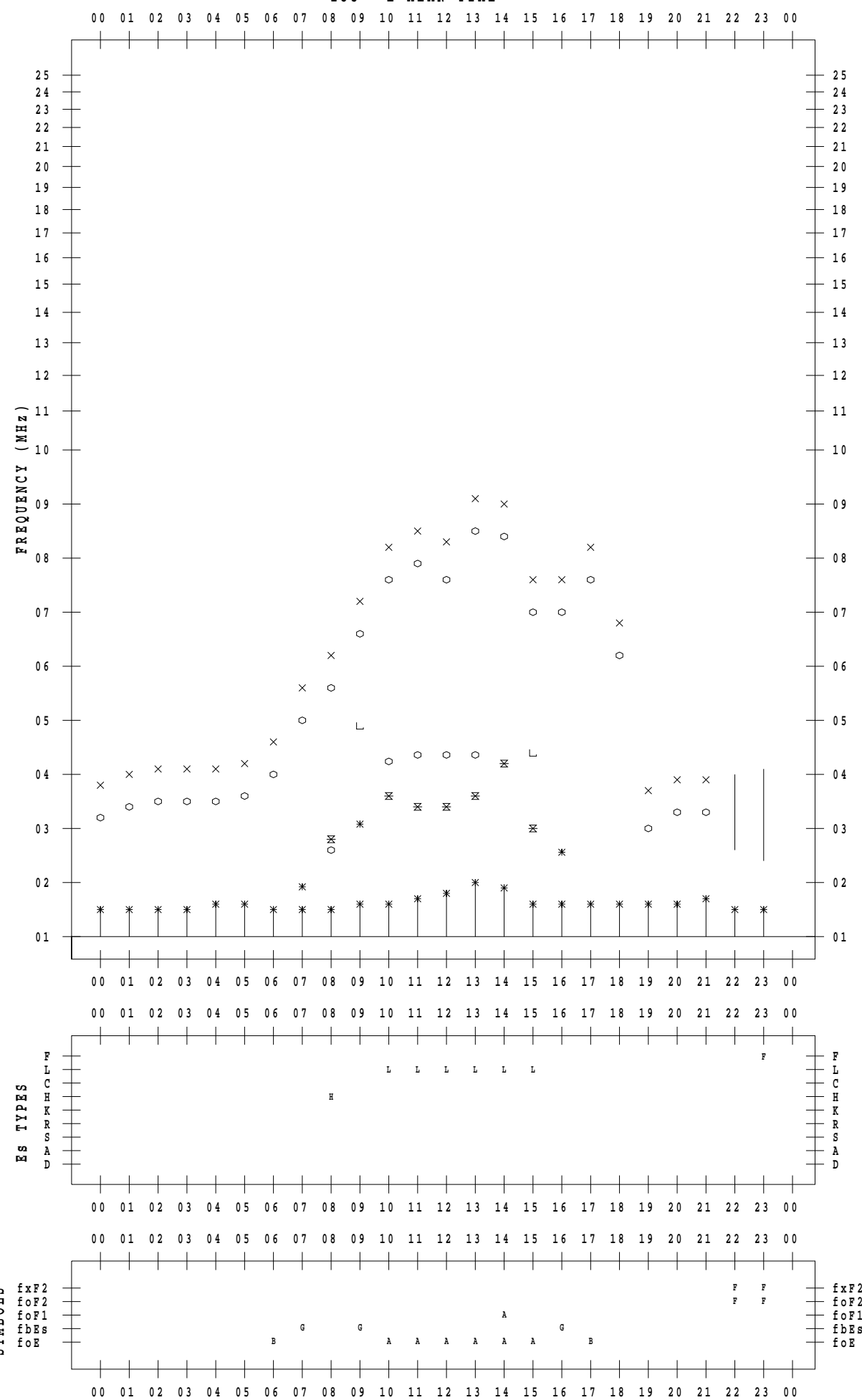
f - P L O T D A T A

SCALER : I.NISHIMUTA

STATION : Kokubunji

DATE : 2021 / 2 / 25

135 ° E MEAN TIME



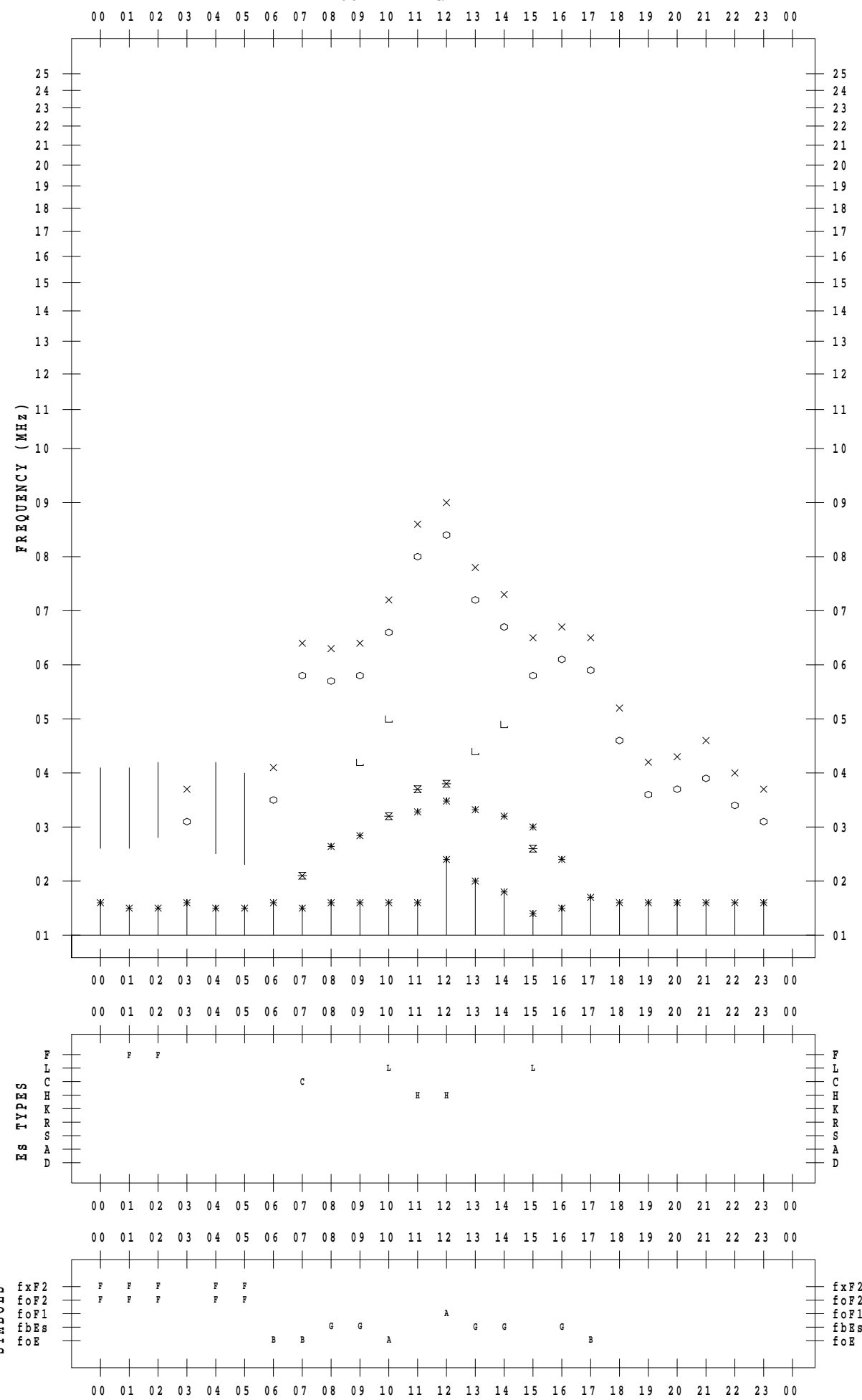
f - P L O T D A T A

SCALER : I.NISHIMUTA

STATION : Kokubunji

DATE : 2021 / 2 / 26

135 ° E MEAN TIME



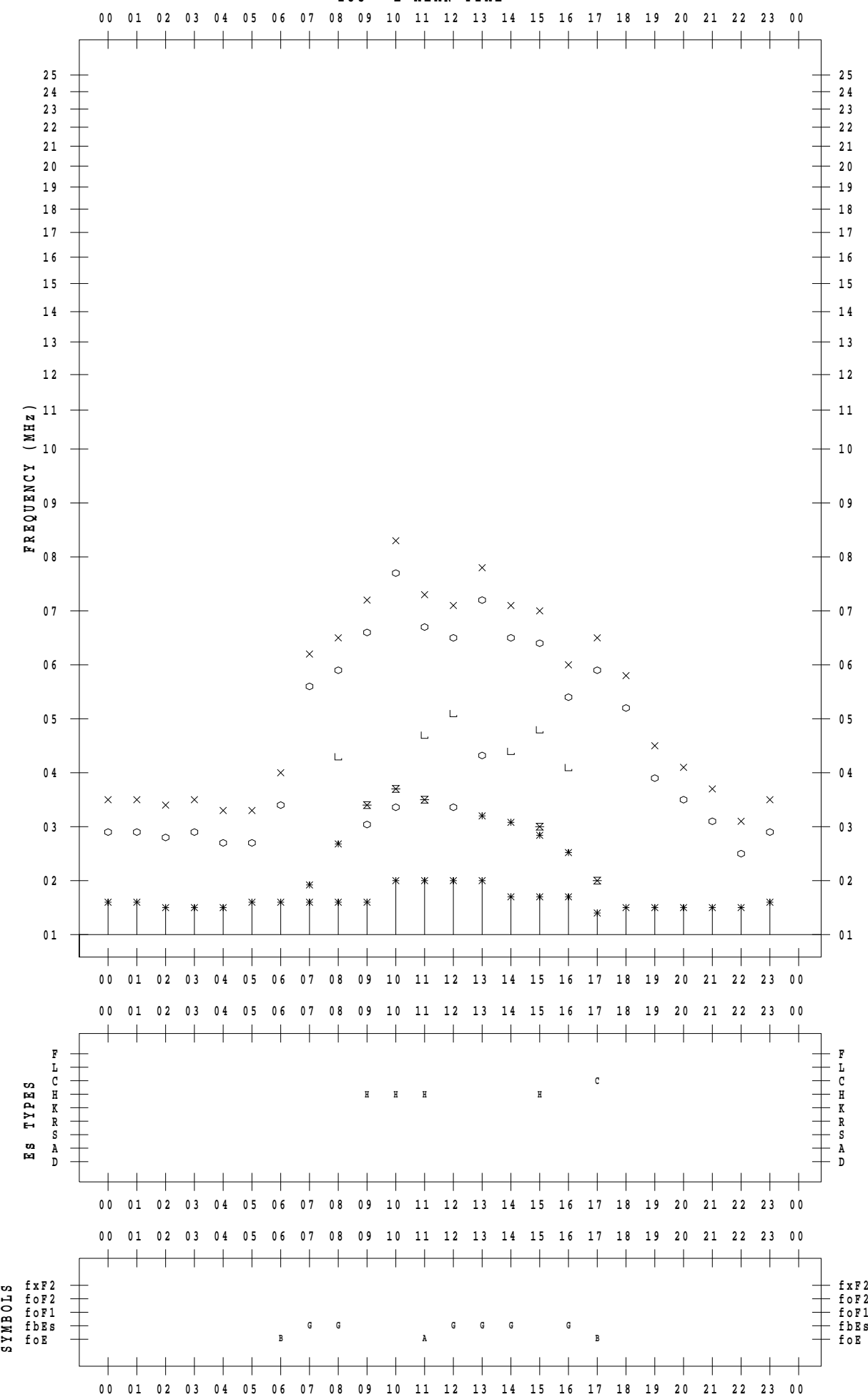
f - P L O T D A T A

SCALER : I.NISHIMUTA

STATION : Kokubunji

DATE : 2021 / 2 / 27

135 ° E MEAN TIME



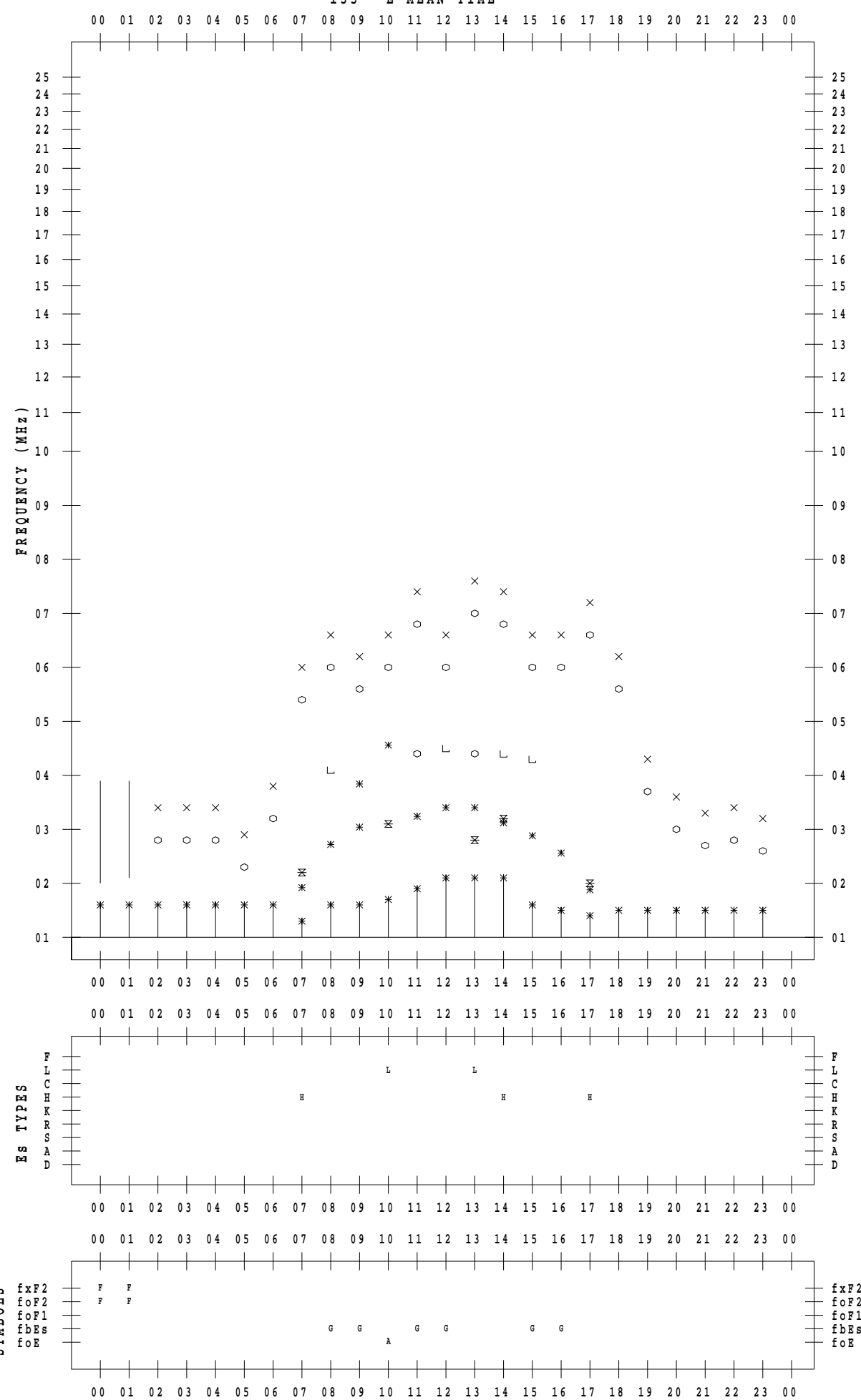
f - P L O T D A T A

SCALER : I.NISHIMUTA

STATION : Kokubunji

DATE : 2021 / 2 / 28

135 ° E MEAN TIME



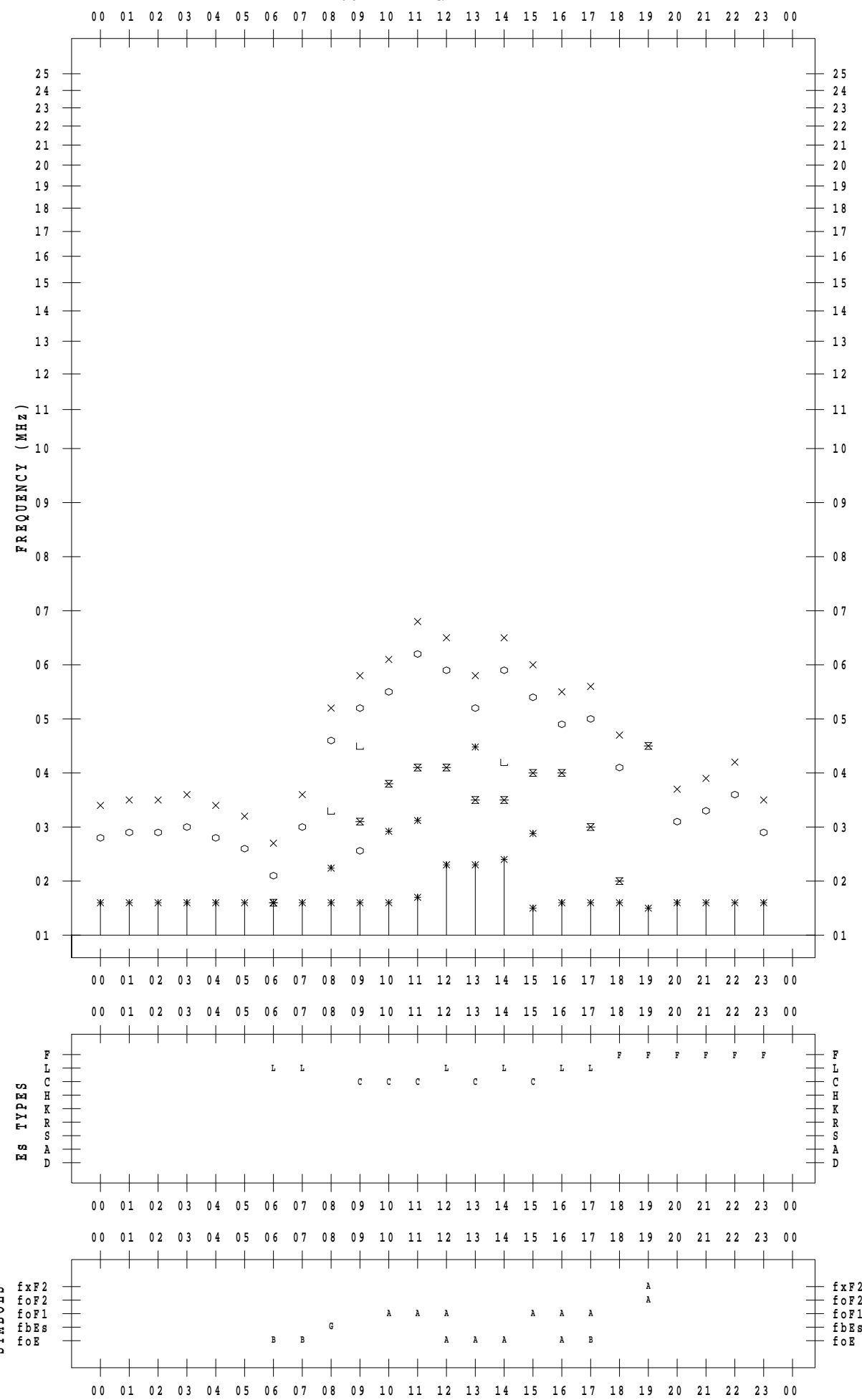
f - P L O T D A T A

SCALER : I.NISHIMUTA

STATION : Yamagawa

DATE : 2021 / 2 / 1

135 ° E MEAN TIME



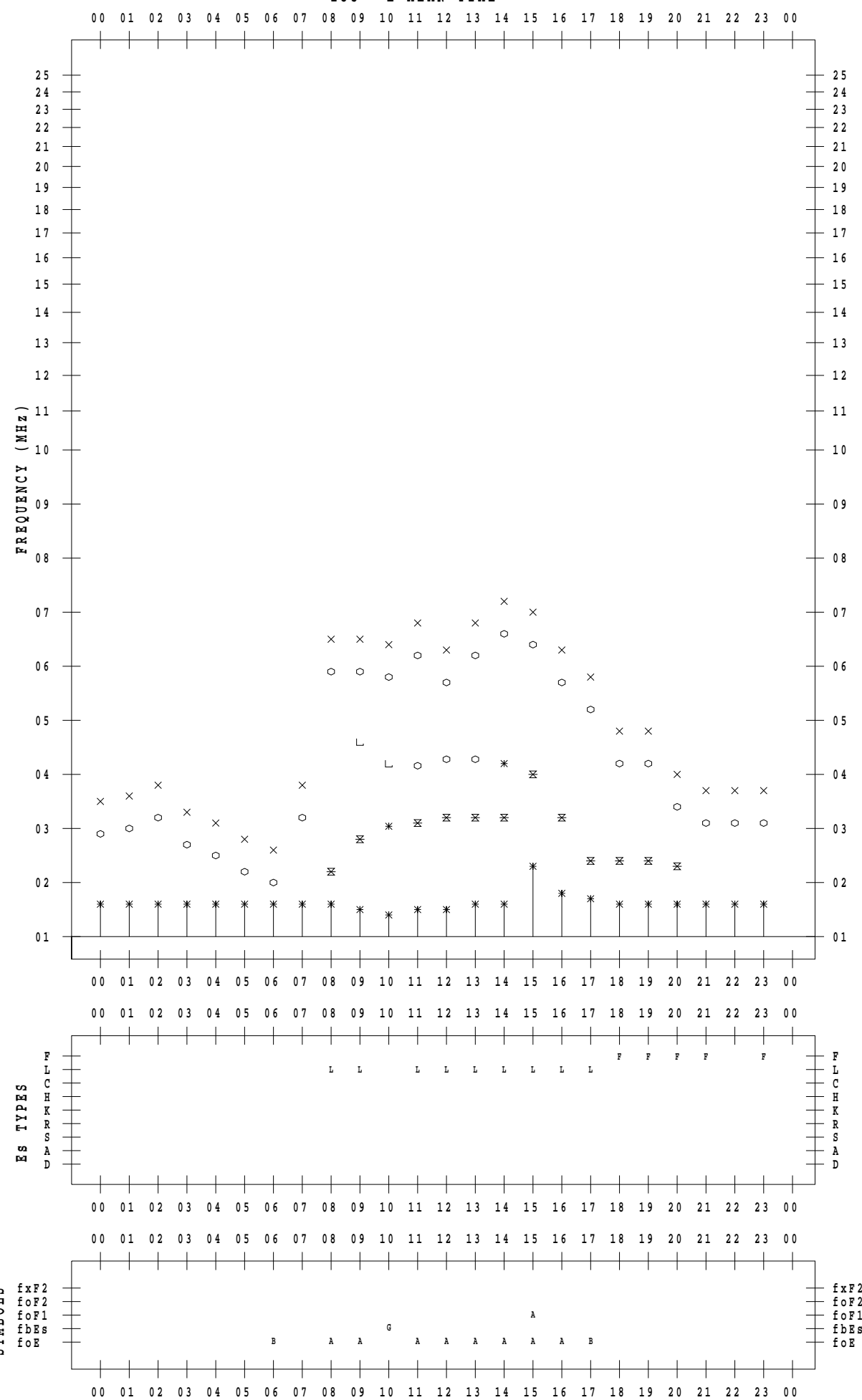
f - P L O T D A T A

SCALER : I.NISHIMUTA

STATION : Yamagawa

DATE : 2021 / 2 / 2

135 ° E MEAN TIME



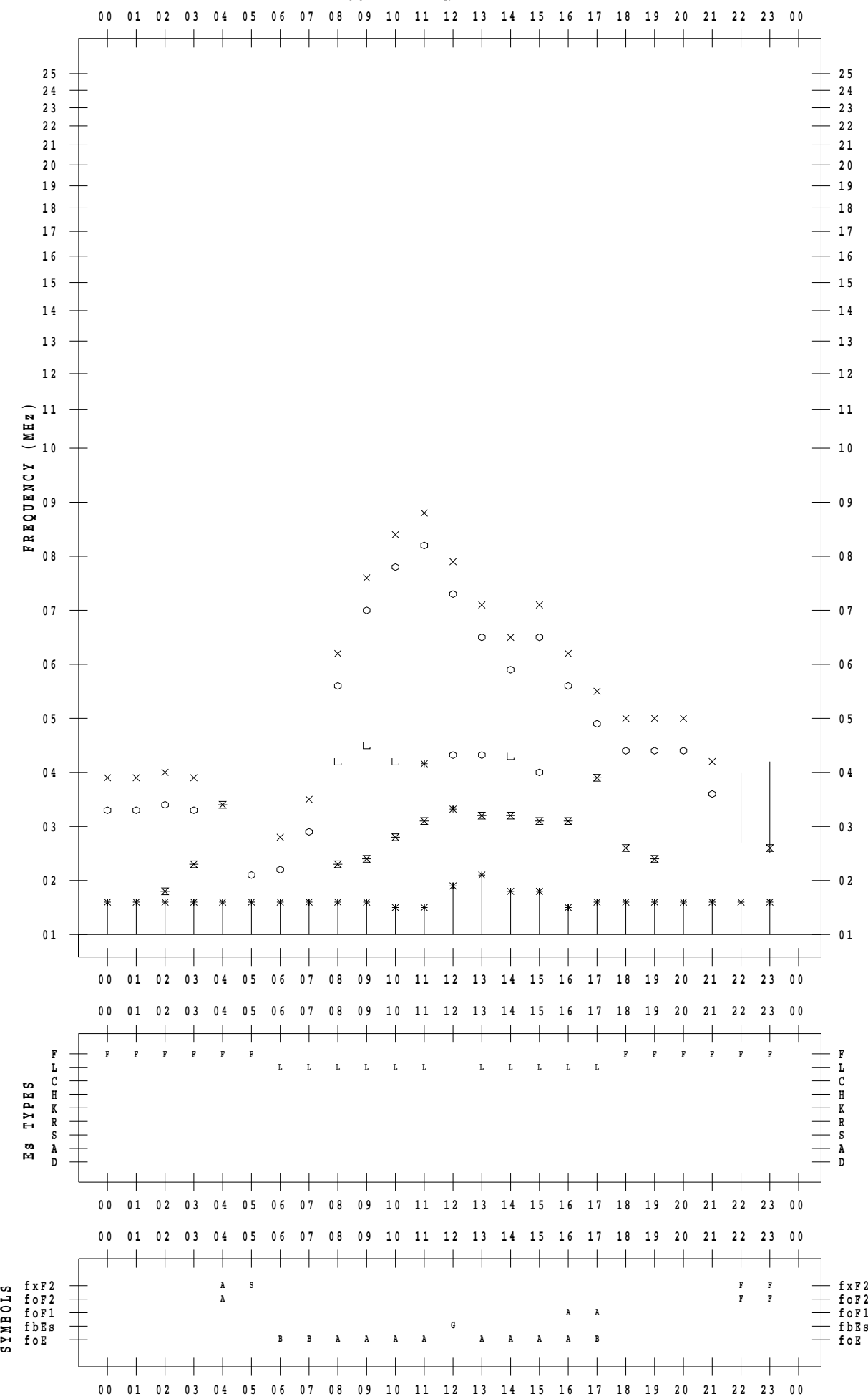
f - P L O T D A T A

SCALER : I.NISHIMUTA

STATION : Yamagawa

DATE : 2021 / 2 / 3

135 ° E MEAN TIME



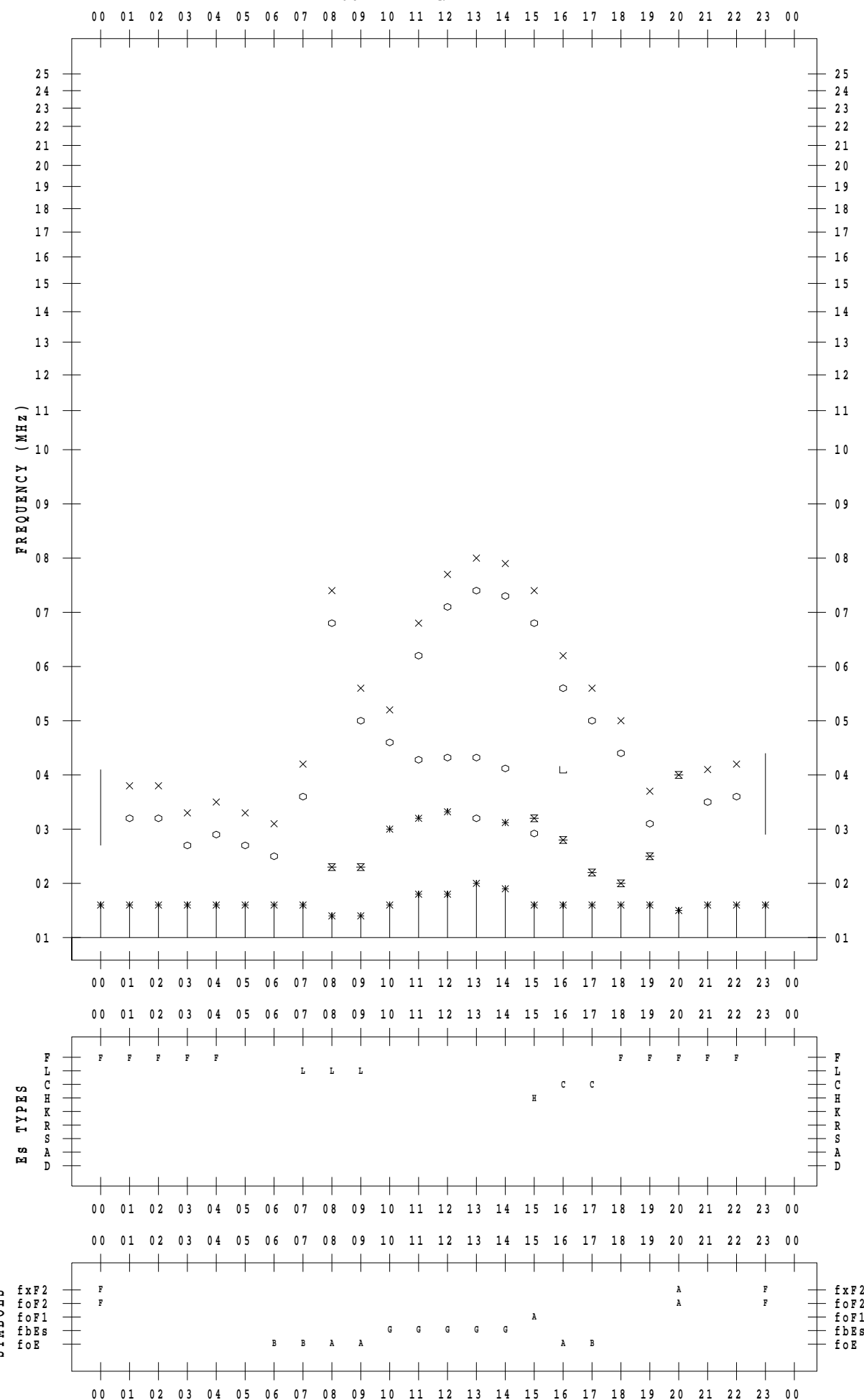
f - P L O T D A T A

SCALER : I.NISHIMUTA

STATION : Yamagawa

DATE : 2021 / 2 / 4

135 ° E MEAN TIME



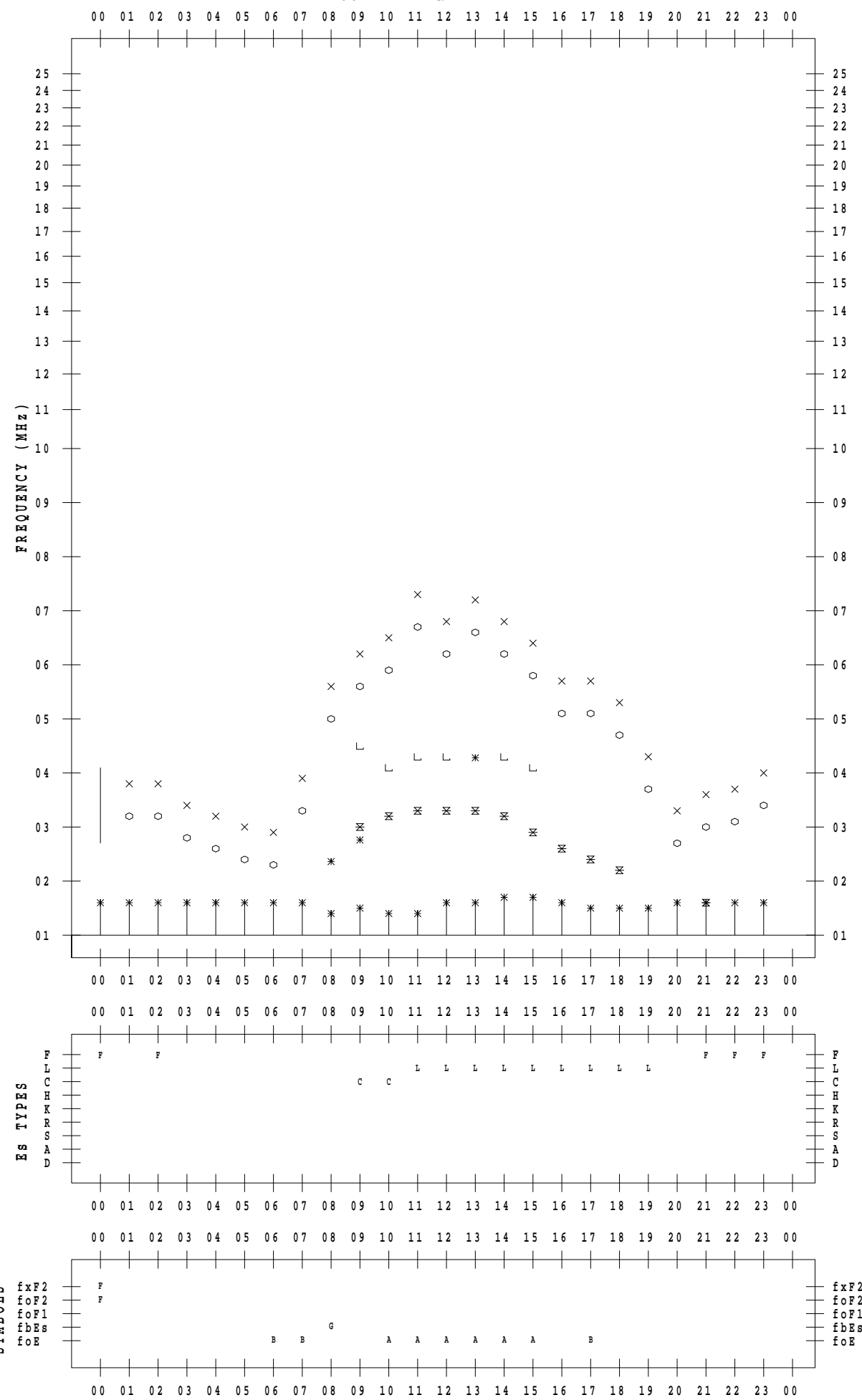
f - P L O T D A T A

SCALER : I.NISHIMUTA

STATION : Yamagawa

DATE : 2021 / 2 / 5

135 ° E MEAN TIME



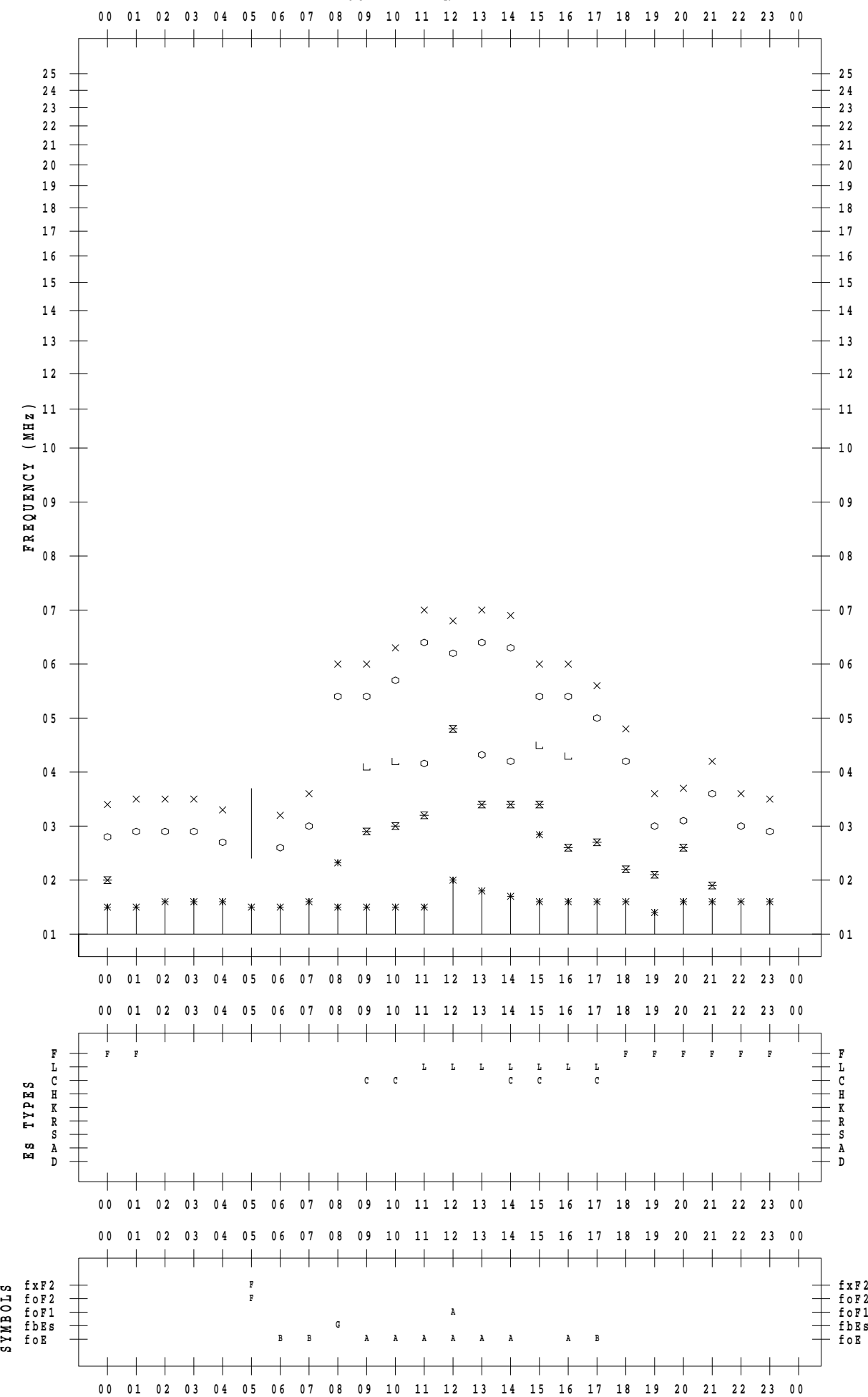
f - P L O T D A T A

SCALER : I.NISHIMUTA

STATION : Yamagawa

DATE : 2021 / 2 / 6

135 ° E MEAN TIME



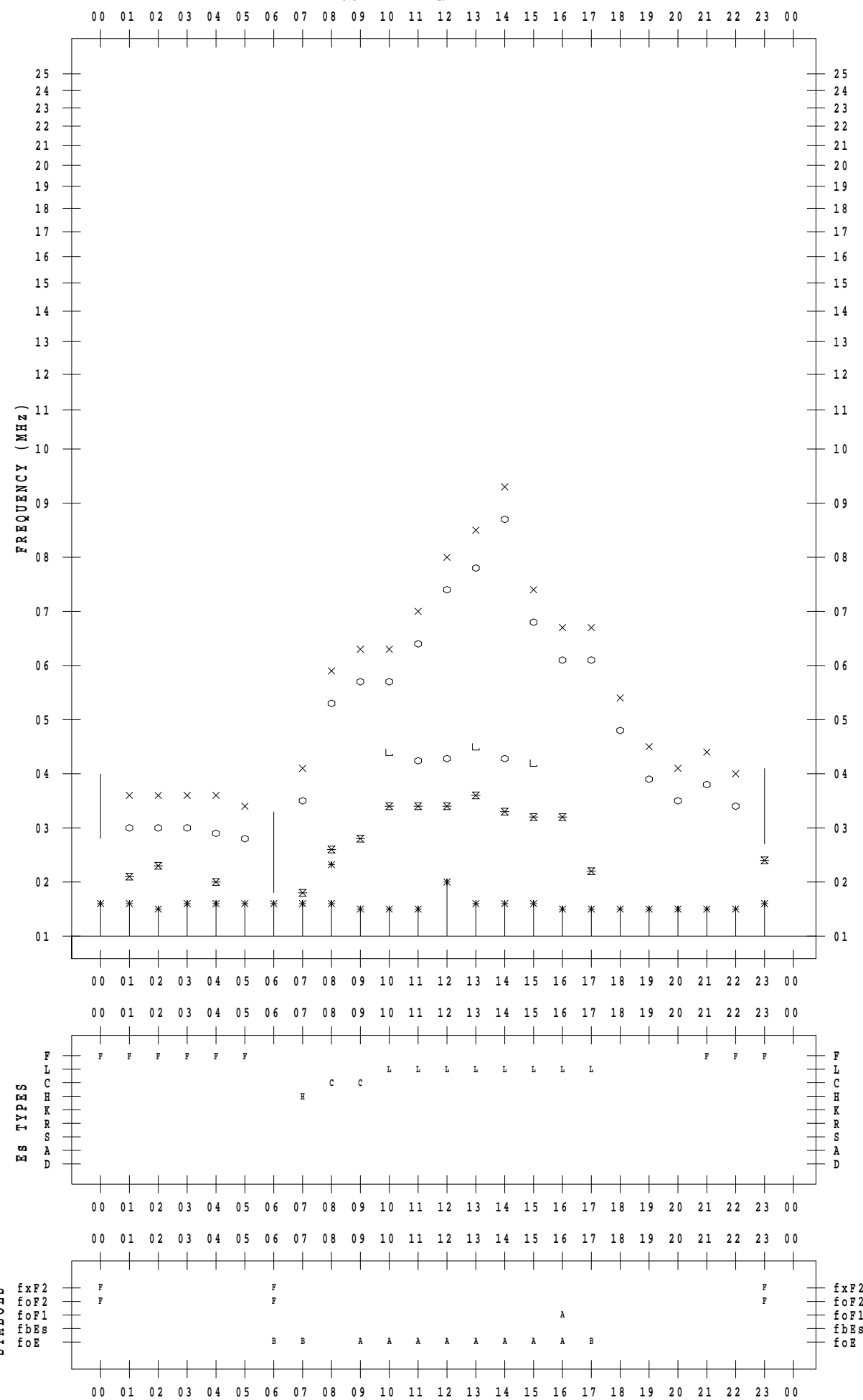
f - P L O T D A T A

SCALER : I.NISHIMUTA

STATION : Yamagawa

DATE : 2021 / 2 / 7

135 ° E MEAN TIME



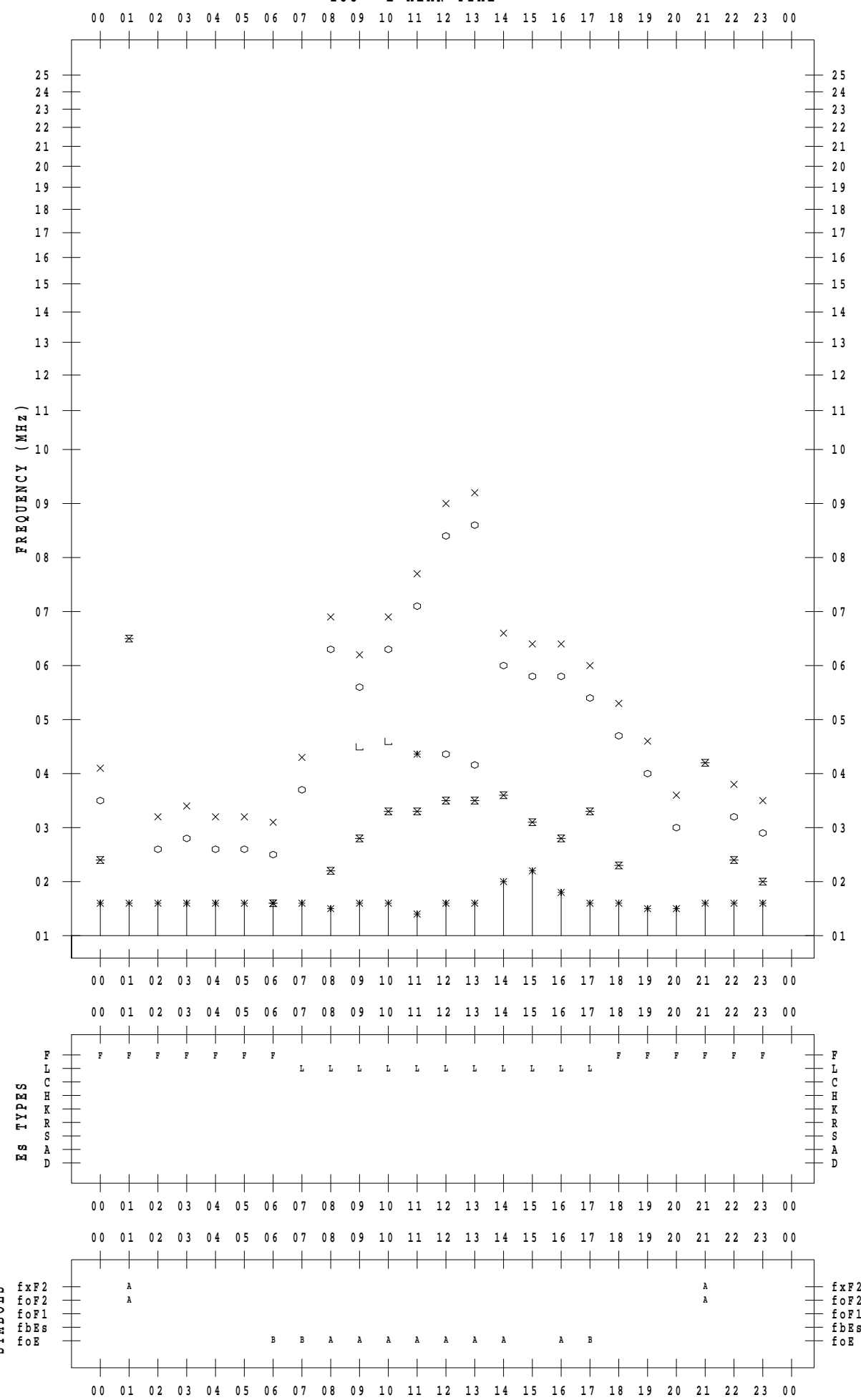
f - P L O T D A T A

SCALER : I.NISHIMUTA

STATION : Yamagawa

DATE : 2021 / 2 / 8

135 ° E MEAN TIME



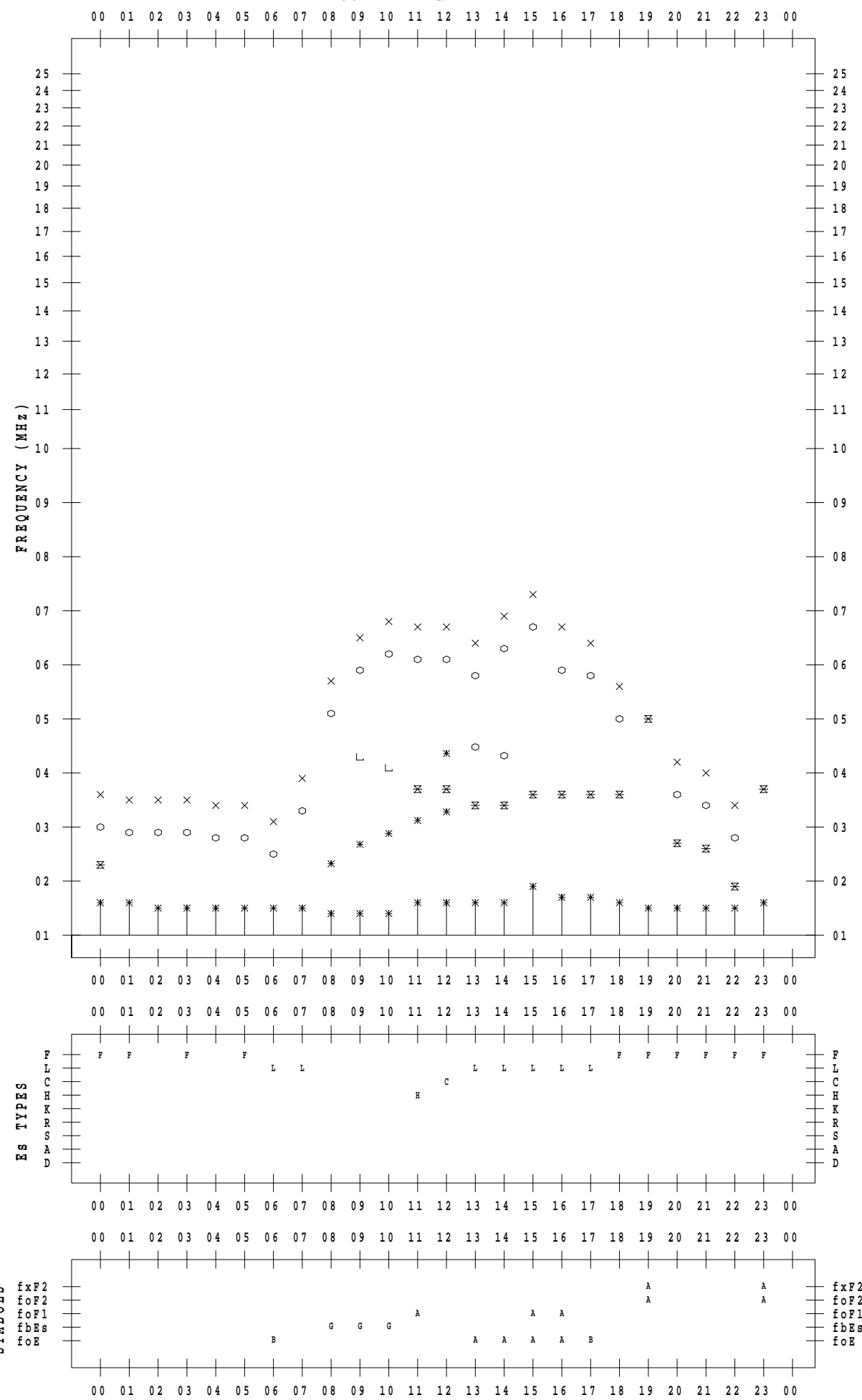
f - P L O T D A T A

SCALER : I.NISHIMUTA

STATION : Yamagawa

DATE : 2021 / 2 / 9

135 ° E MEAN TIME



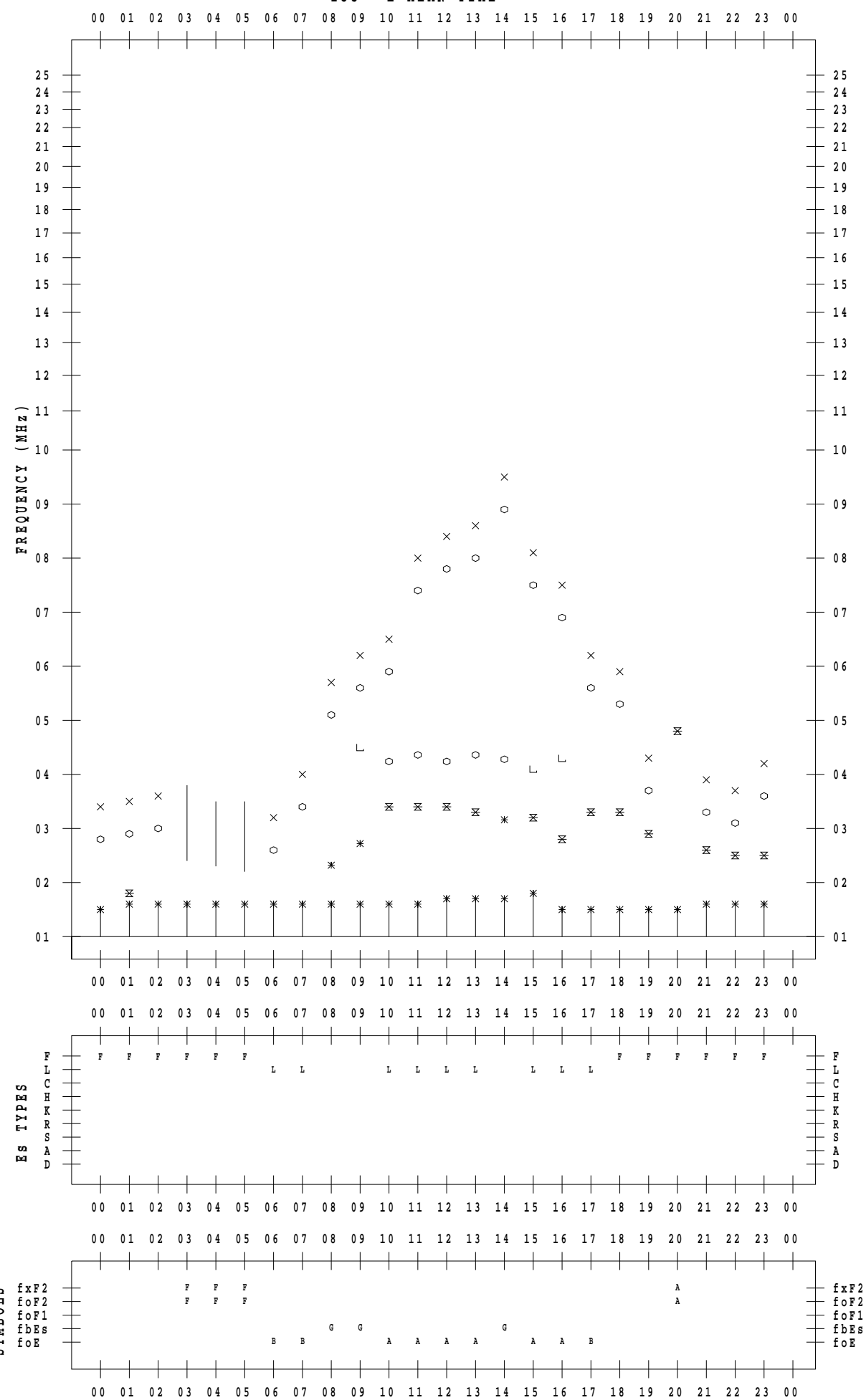
f - P L O T D A T A

SCALER : I.NISHIMUTA

STATION : Yamagawa

DATE : 2021 / 2 / 10

135 ° E MEAN TIME



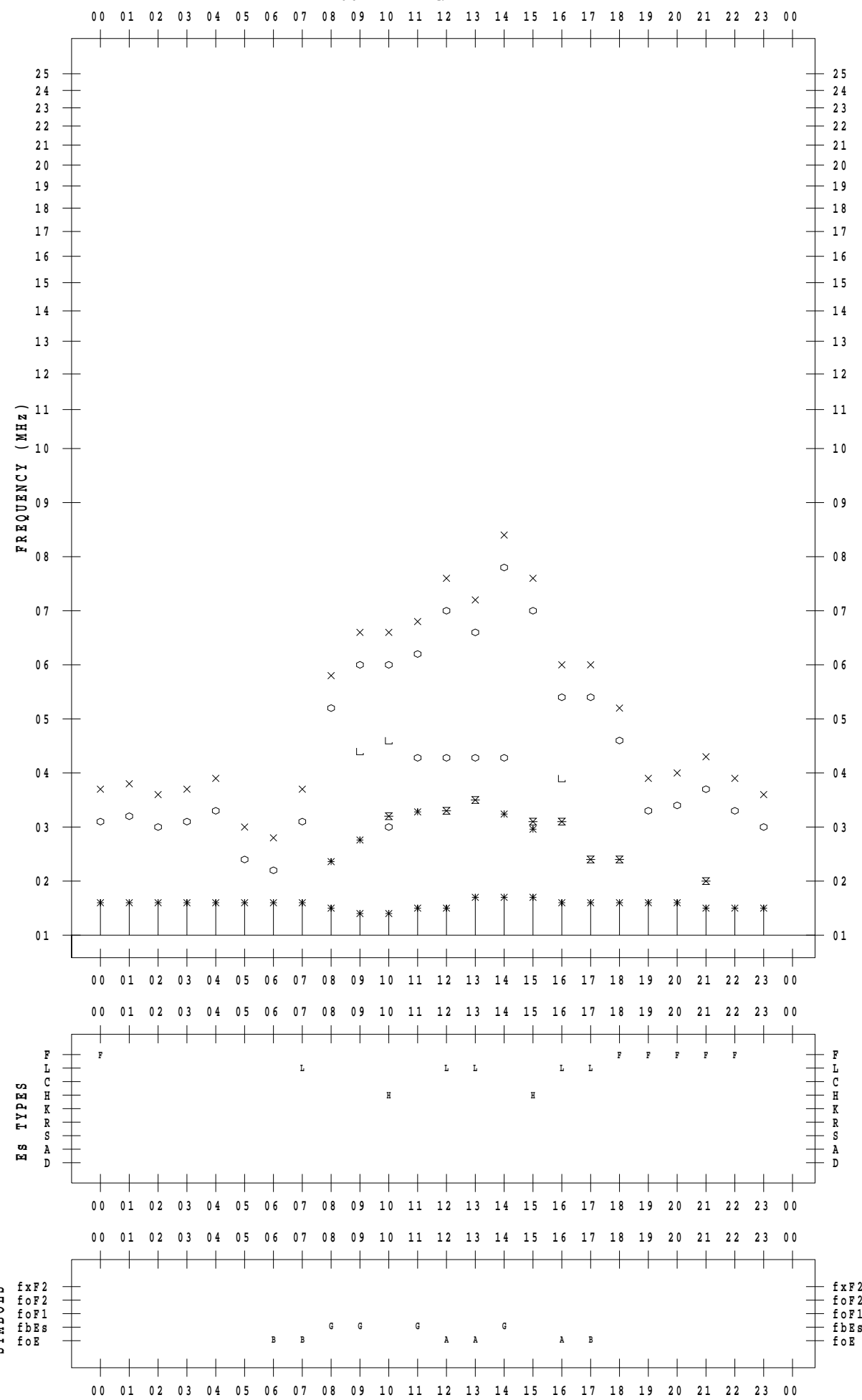
f - P L O T D A T A

SCALER : I.NISHIMUTA

STATION : Yamagawa

DATE : 2021 / 2 / 11

135 ° E MEAN TIME



f - PLOT DATA

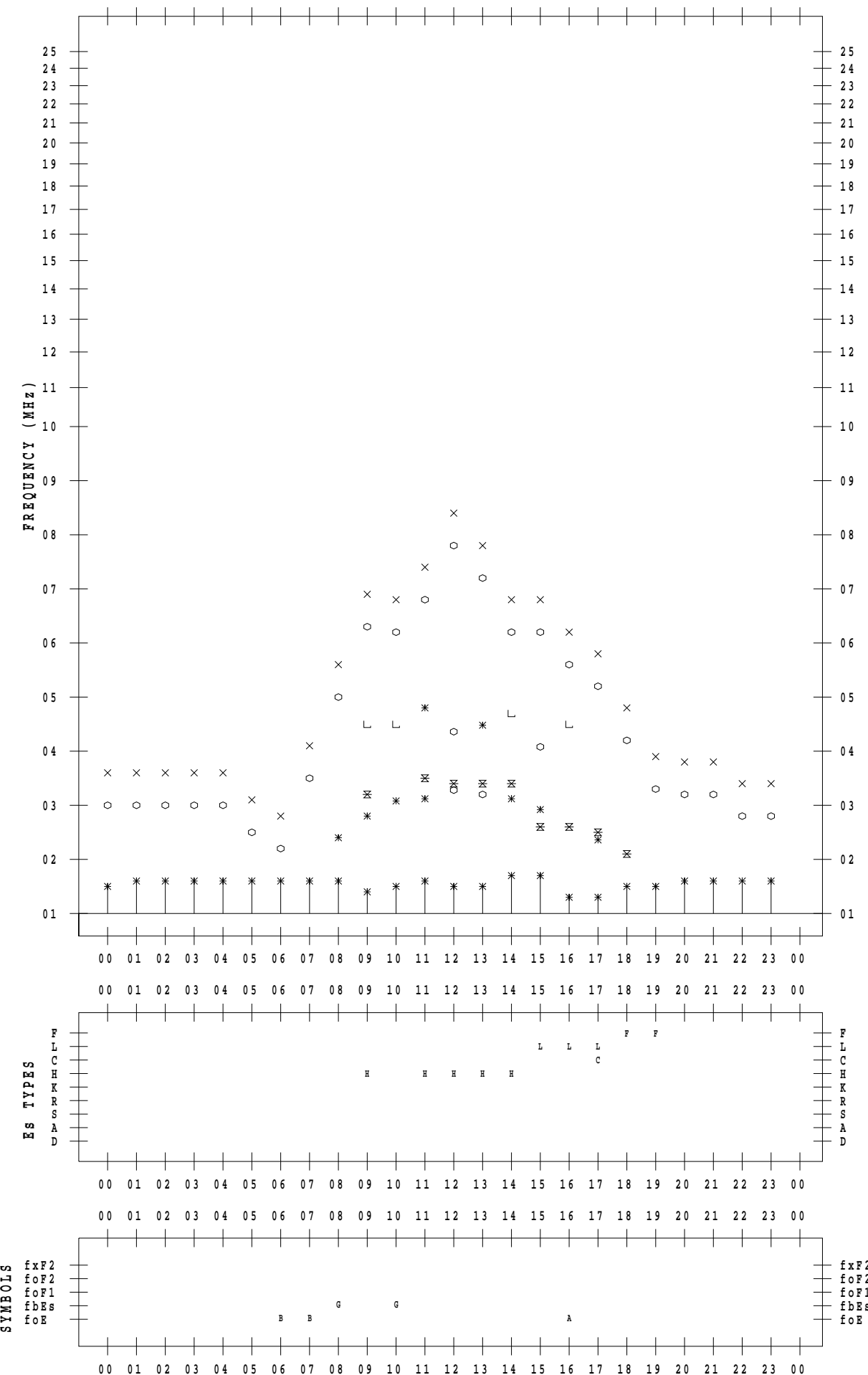
SCALER : I.NISHIMUTA

STATION : Yamagawa

DATE : 2021 / 2 / 12

135 ° E MEAN TIME

0 0 0 1 0 2 0 3 0 4 0 5 0 6 0 7 0 8 0 9 1 0 1 1 1 2 1 3 1 4 1 5 1 6 1 7 1 8 1 9 2 0 2 1 2 2 2 3 0 0

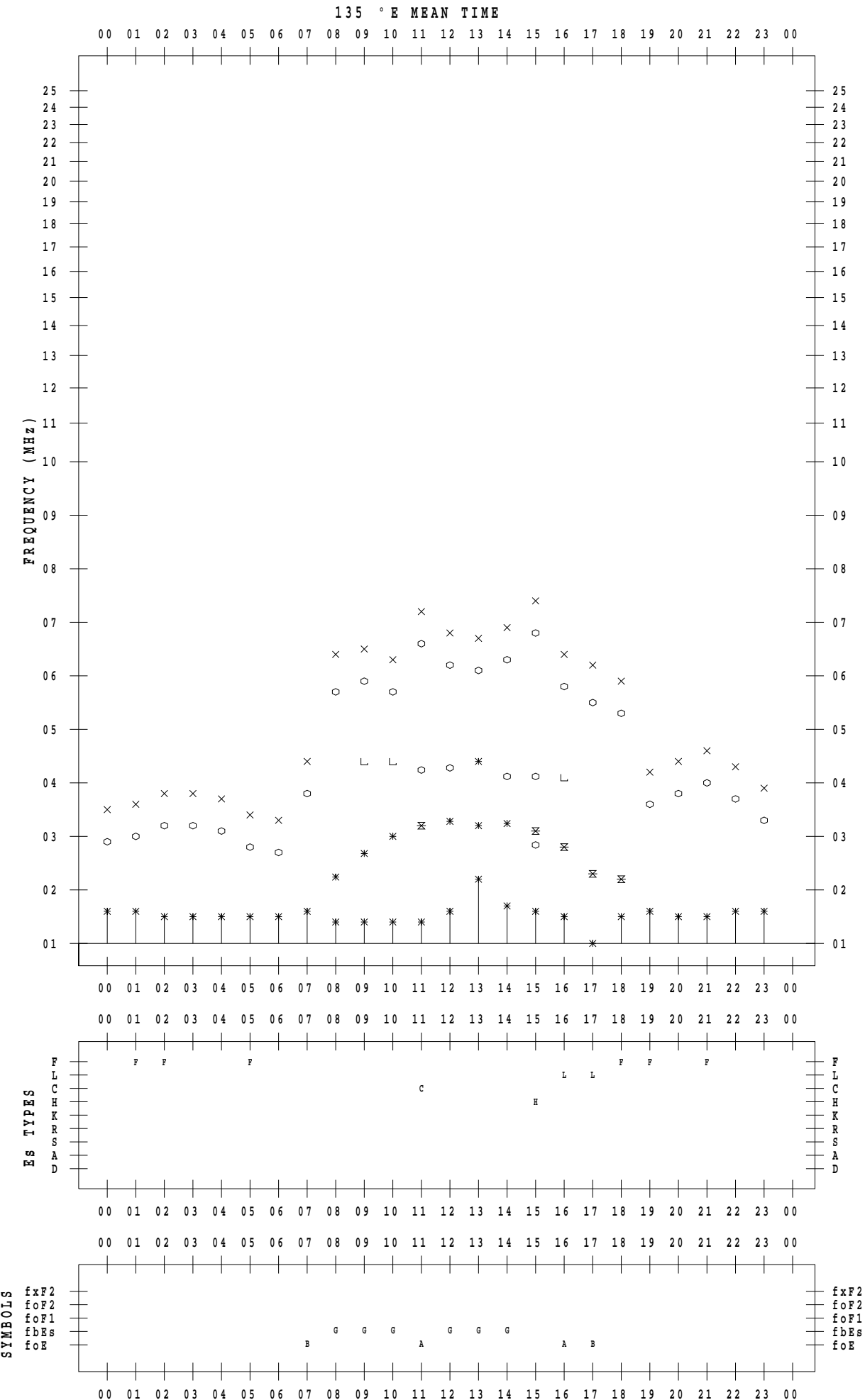


f - PLOT DATA

SCALER : I.NISHIMUTA

STATION : Yamagawa

DATE : 2021 / 2 / 13



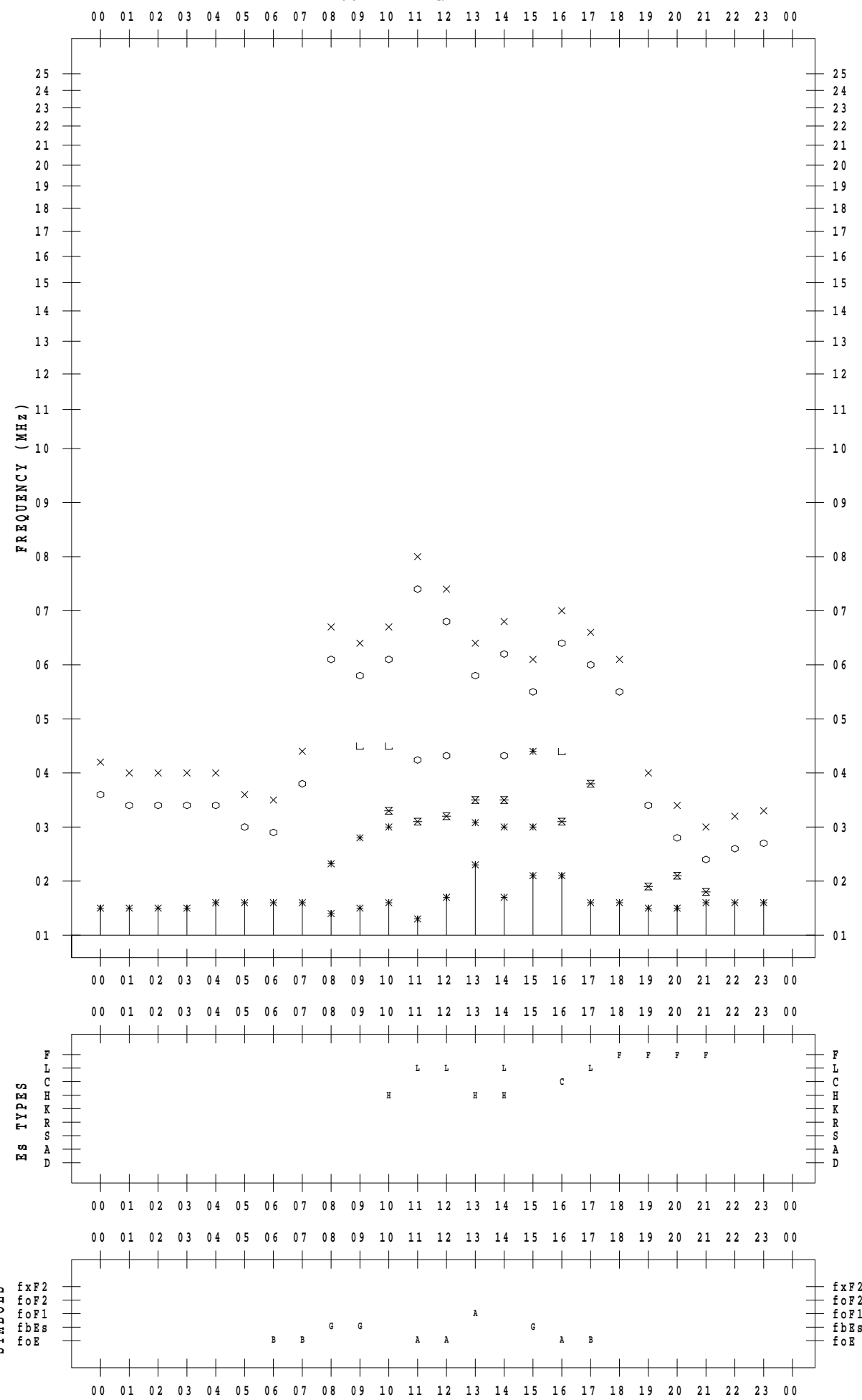
f - P L O T D A T A

SCALER : I.NISHIMUTA

STATION : Yamagawa

DATE : 2021 / 2 / 14

135 ° E MEAN TIME



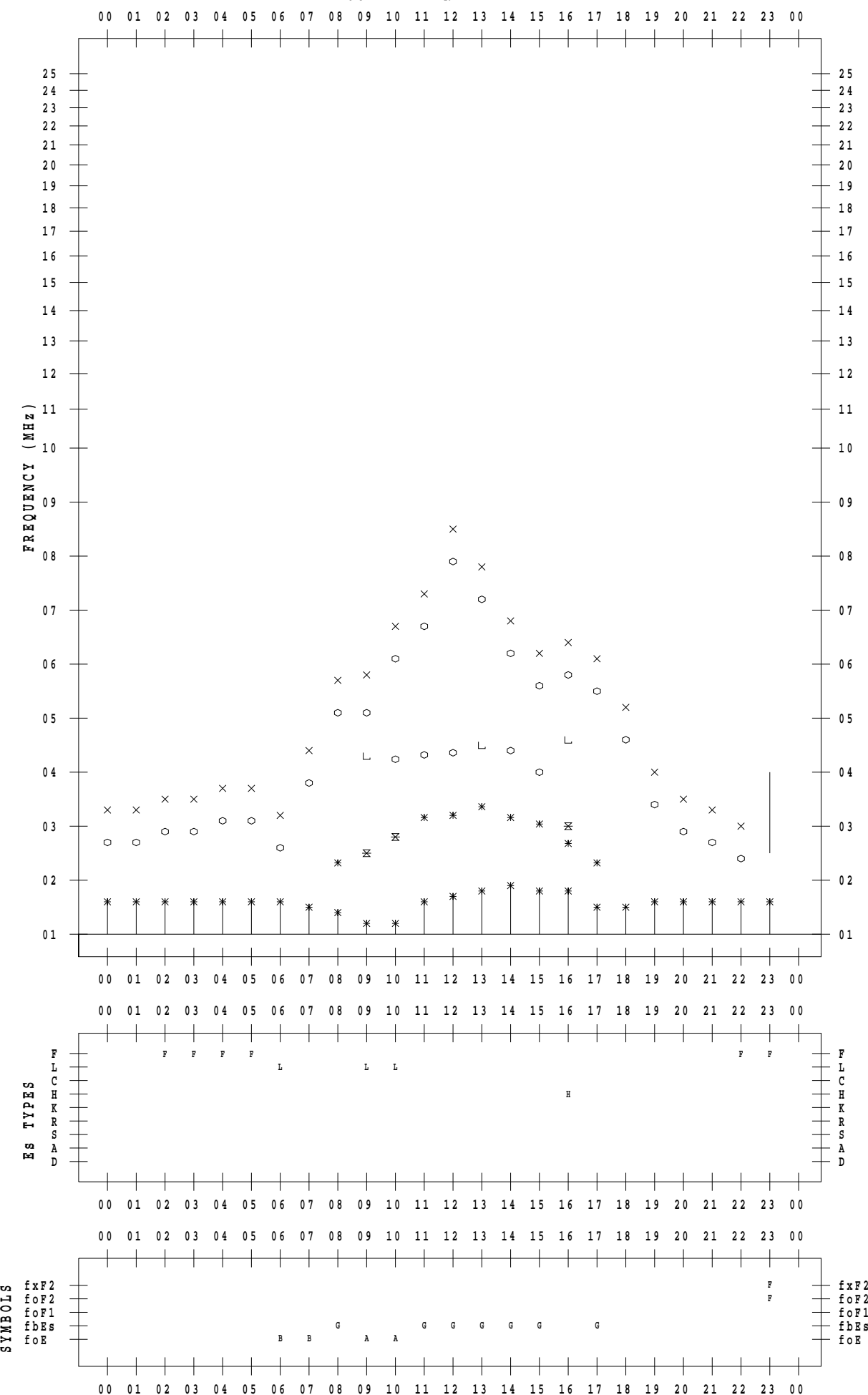
f - P L O T D A T A

SCALER : I.NISHIMUTA

STATION : Yamagawa

DATE : 2021 / 2 / 15

135 ° E MEAN TIME



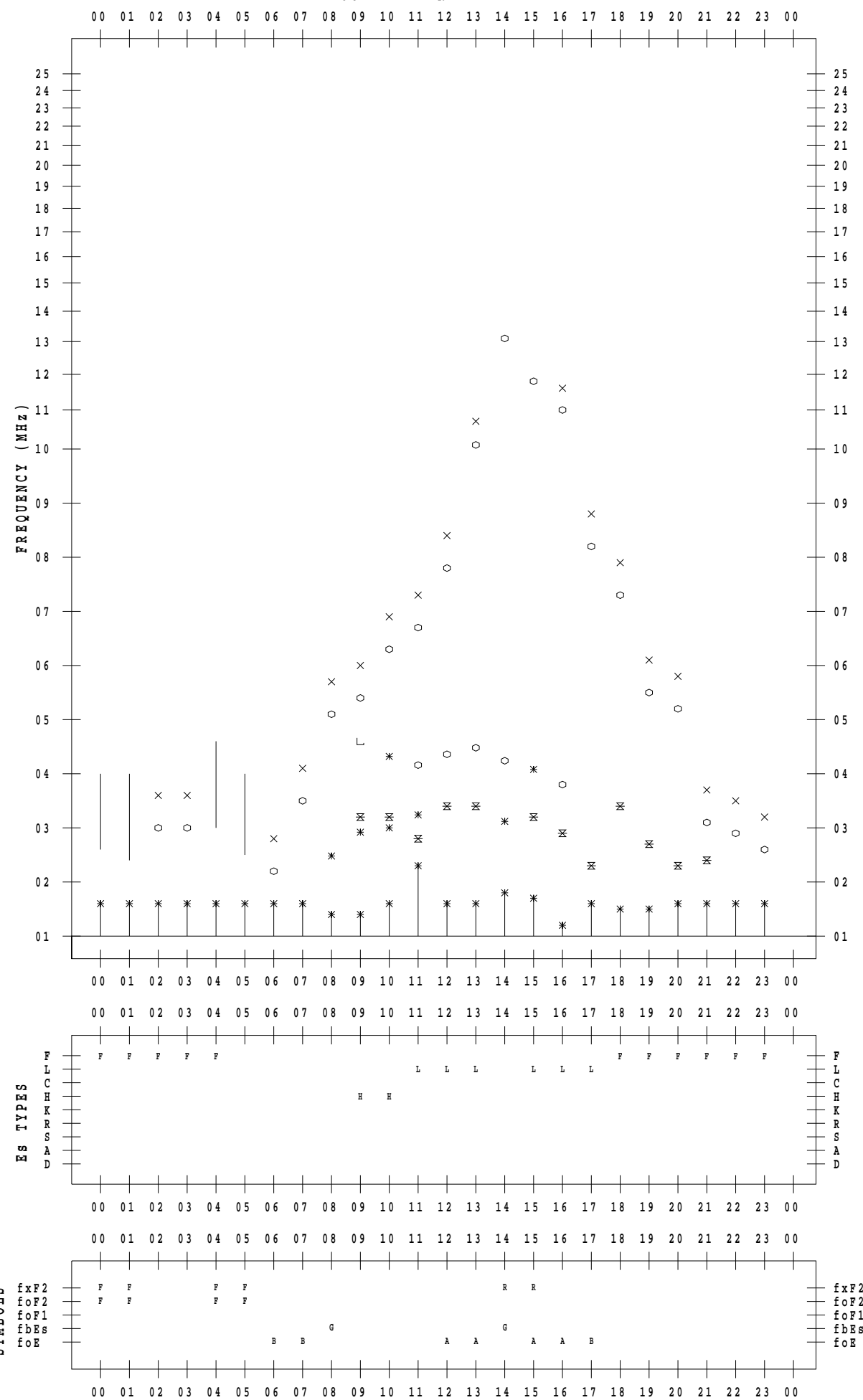
f - P L O T D A T A

SCALER : I.NISHIMUTA

STATION : Yamagawa

DATE : 2021 / 2 / 16

135 ° E MEAN TIME



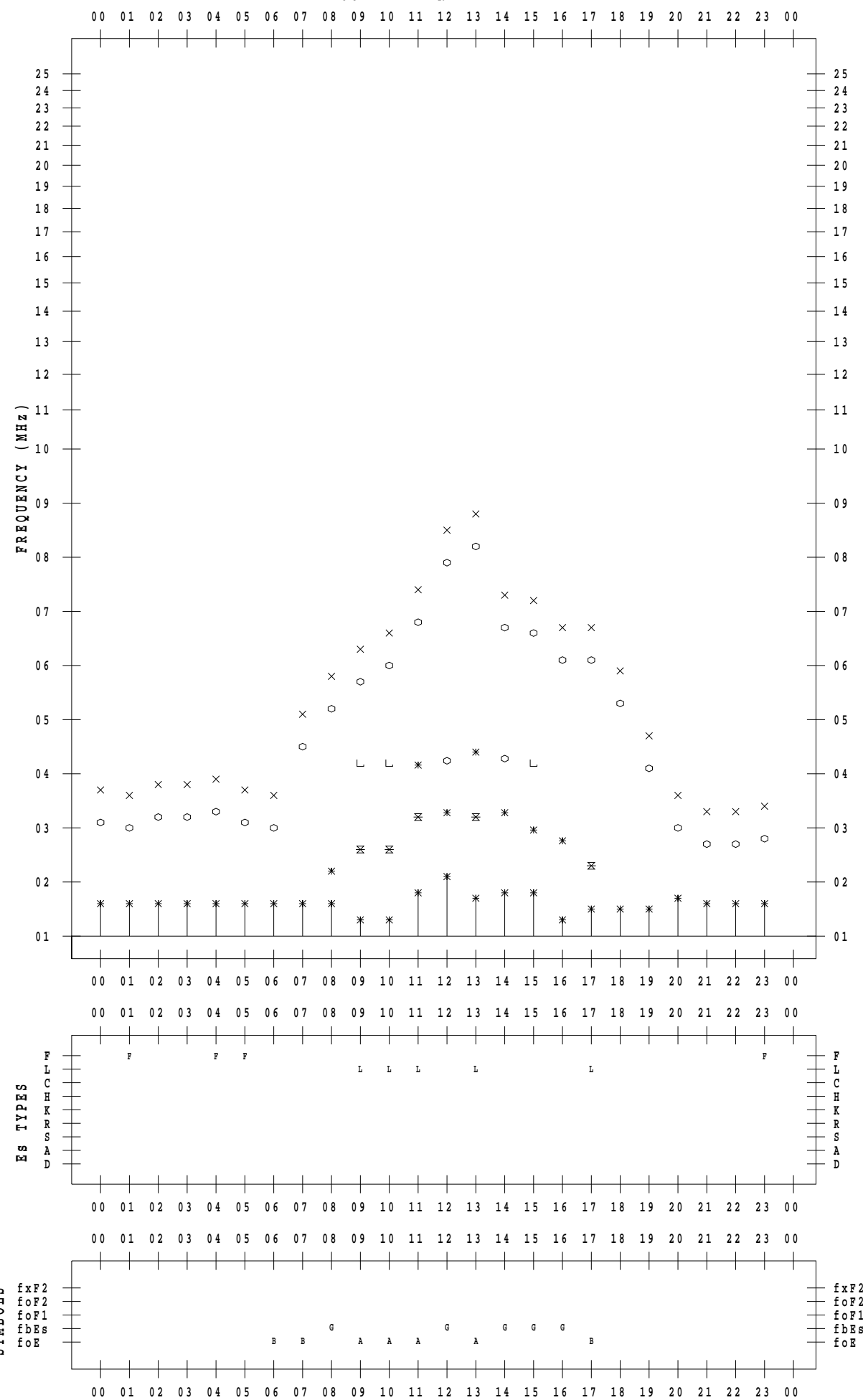
f - P L O T D A T A

SCALER : I.NISHIMUTA

STATION : Yamagawa

DATE : 2021 / 2 / 17

135 ° E MEAN TIME



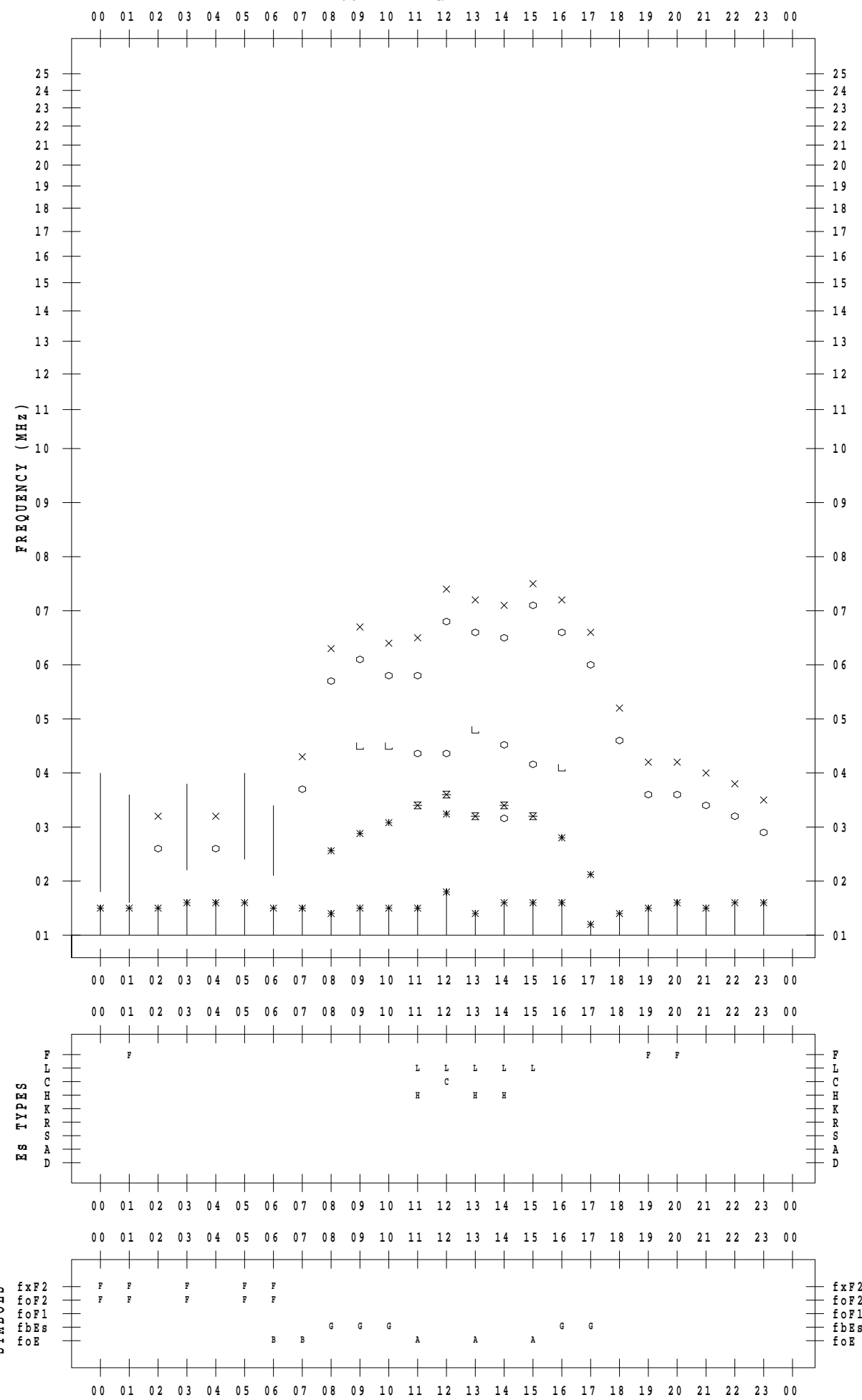
f - P L O T D A T A

SCALER : I.NISHIMUTA

STATION : Yamagawa

DATE : 2021 / 2 / 18

135 ° E MEAN TIME



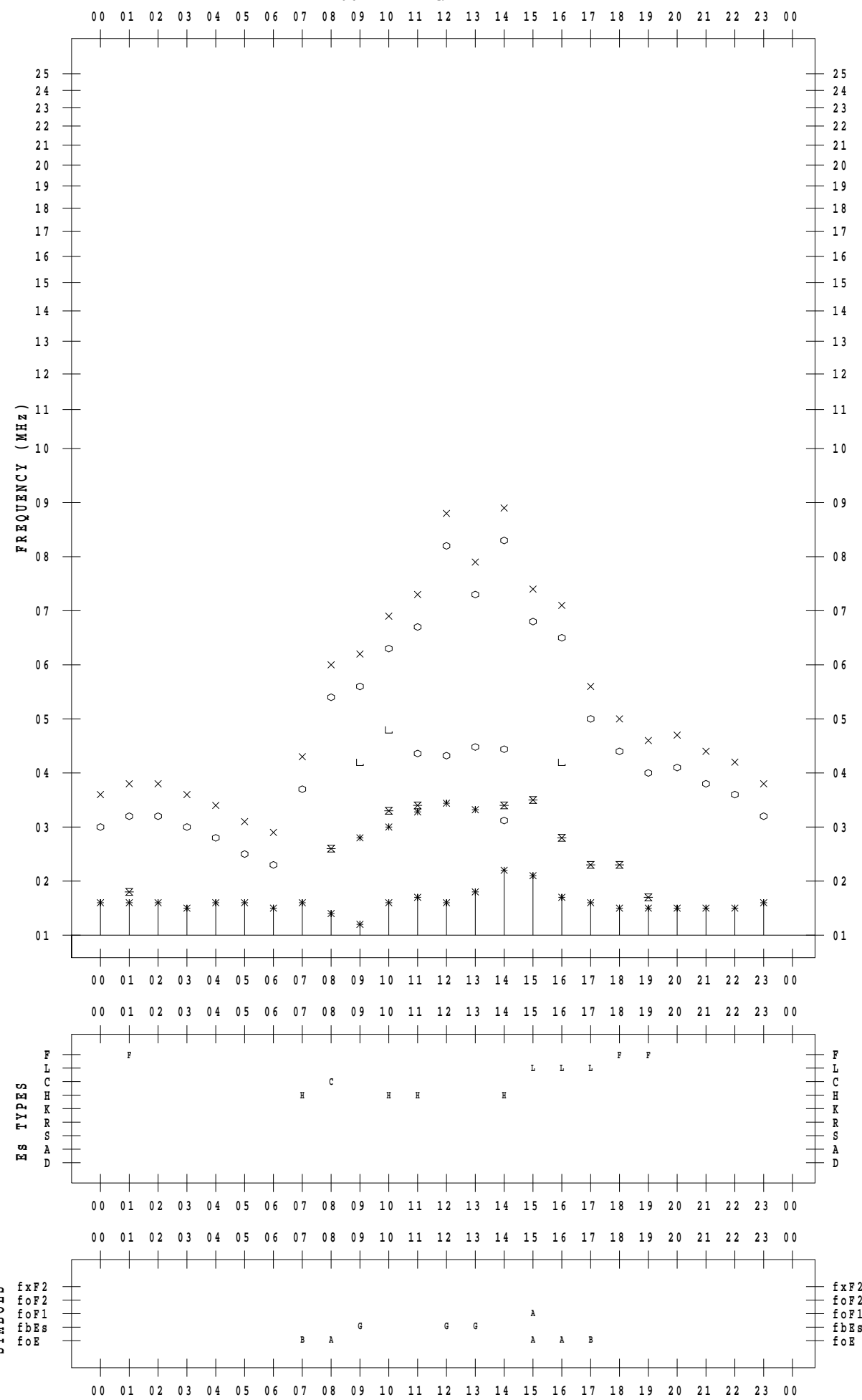
f - P L O T D A T A

SCALER : I.NISHIMUTA

STATION : Yamagawa

DATE : 2021 / 2 / 19

135 ° E MEAN TIME



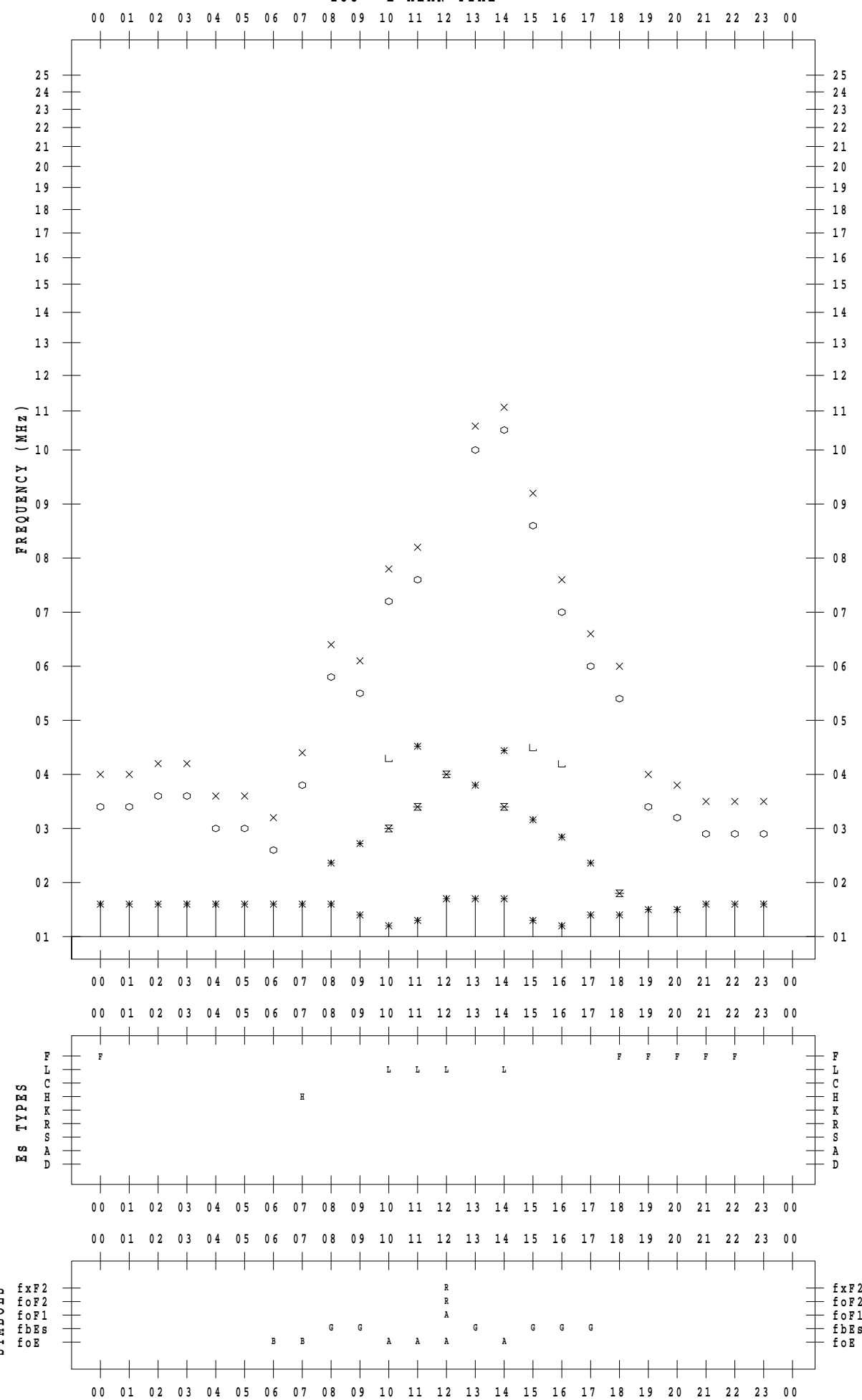
f - P L O T D A T A

SCALER : I.NISHIMUTA

STATION : Yamagawa

DATE : 2021 / 2 / 20

135 ° E MEAN TIME



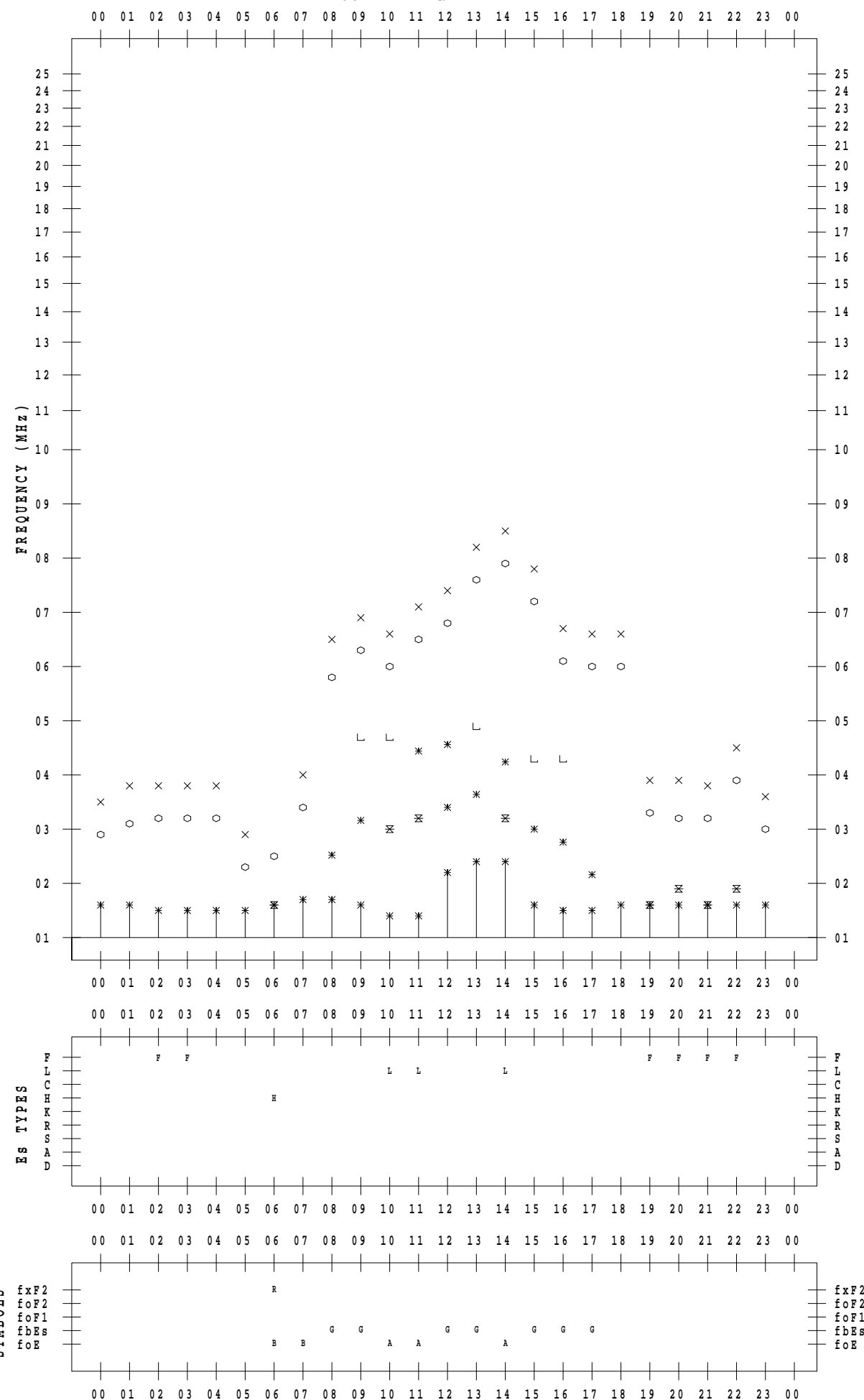
f - P L O T D A T A

SCALER : I.NISHIMUTA

STATION : Yamagawa

DATE : 2021 / 2 / 21

135 ° E MEAN TIME

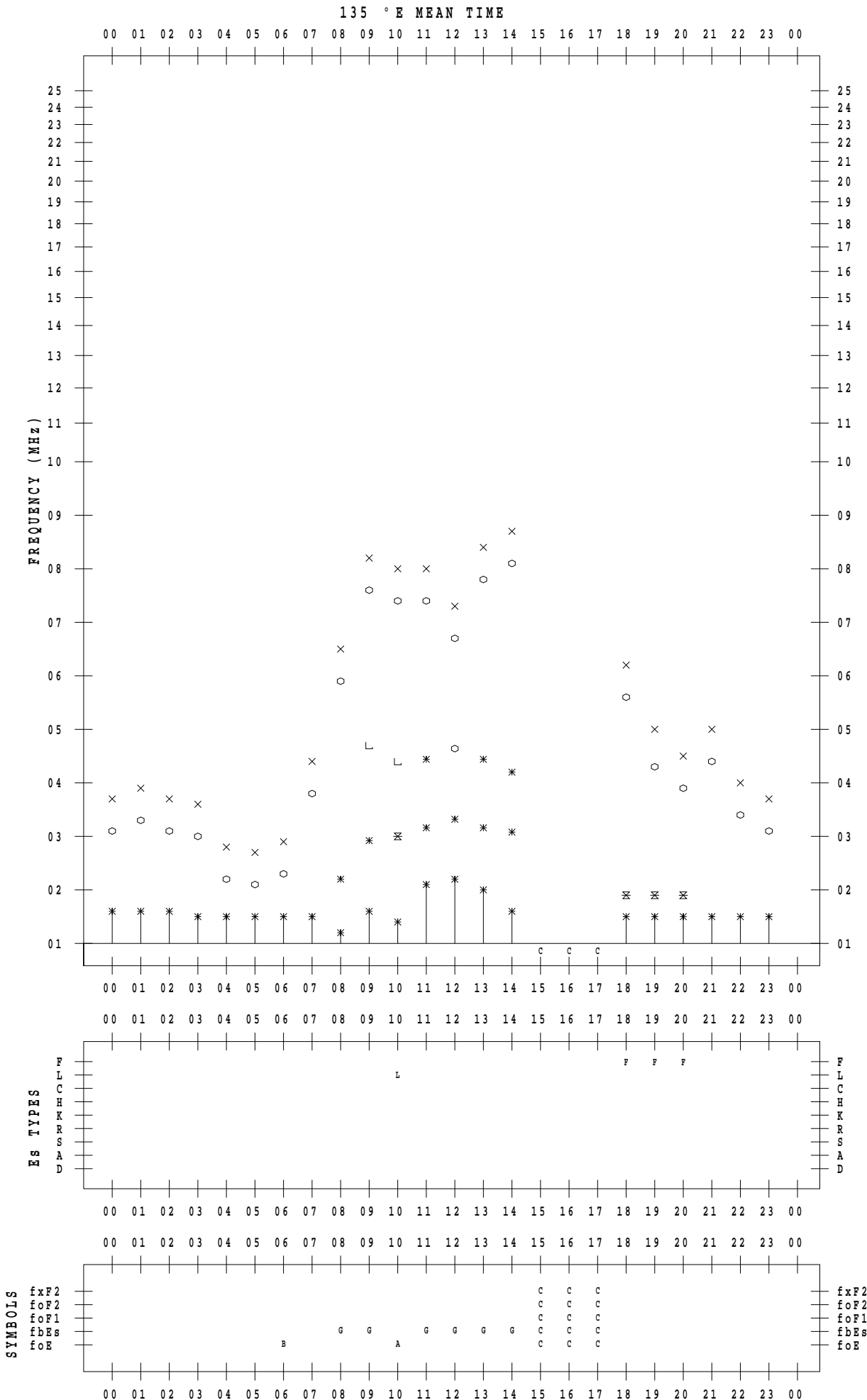


f - PLOT DATA

SCALER : I.NISHIMUTA

STATION : Yamagawa

DATE : 2021 / 2 / 22



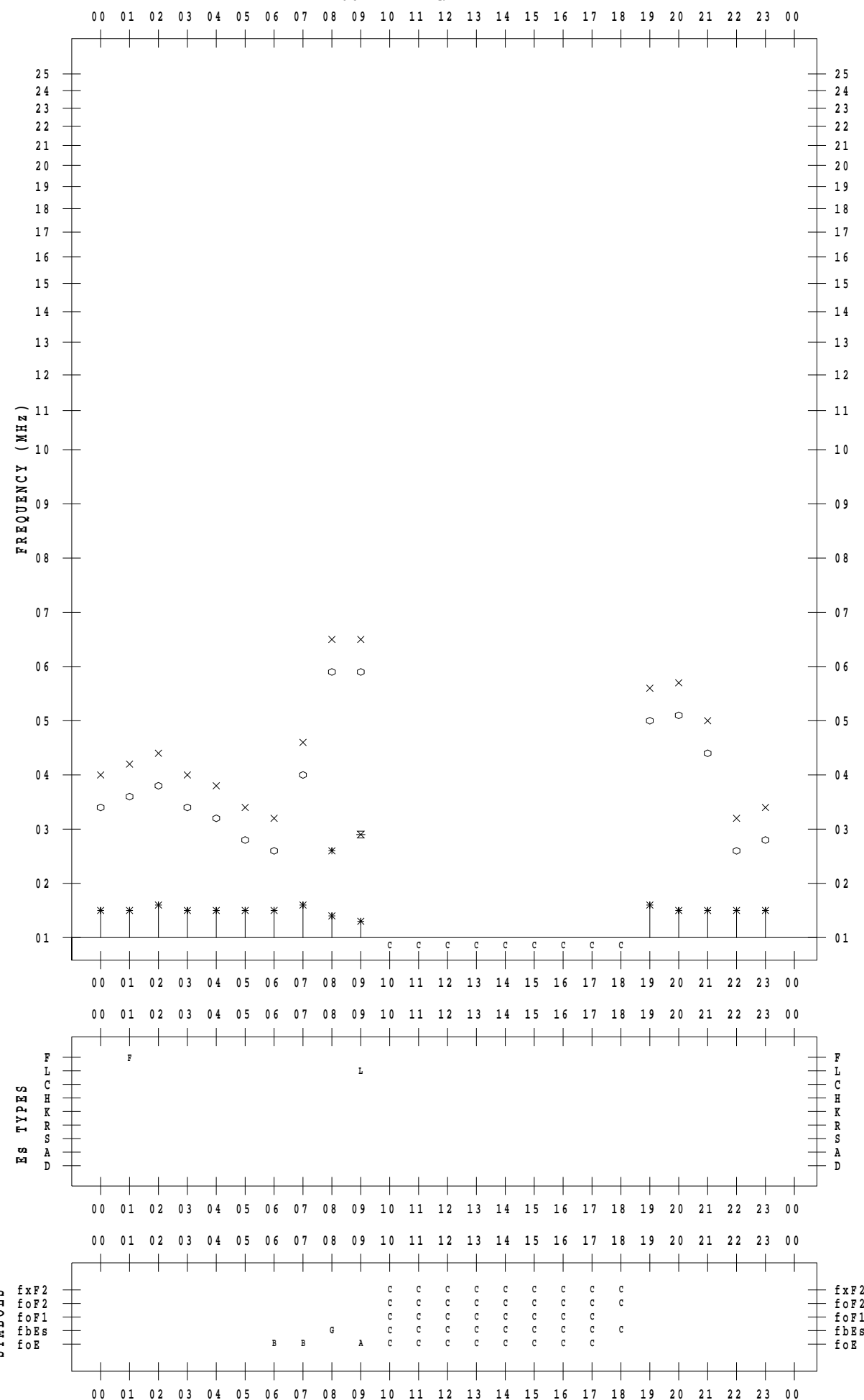
f - P L O T D A T A

SCALER : I.NISHIMUTA

STATION : Yamagawa

DATE : 2021 / 2 / 23

135 ° E MEAN TIME



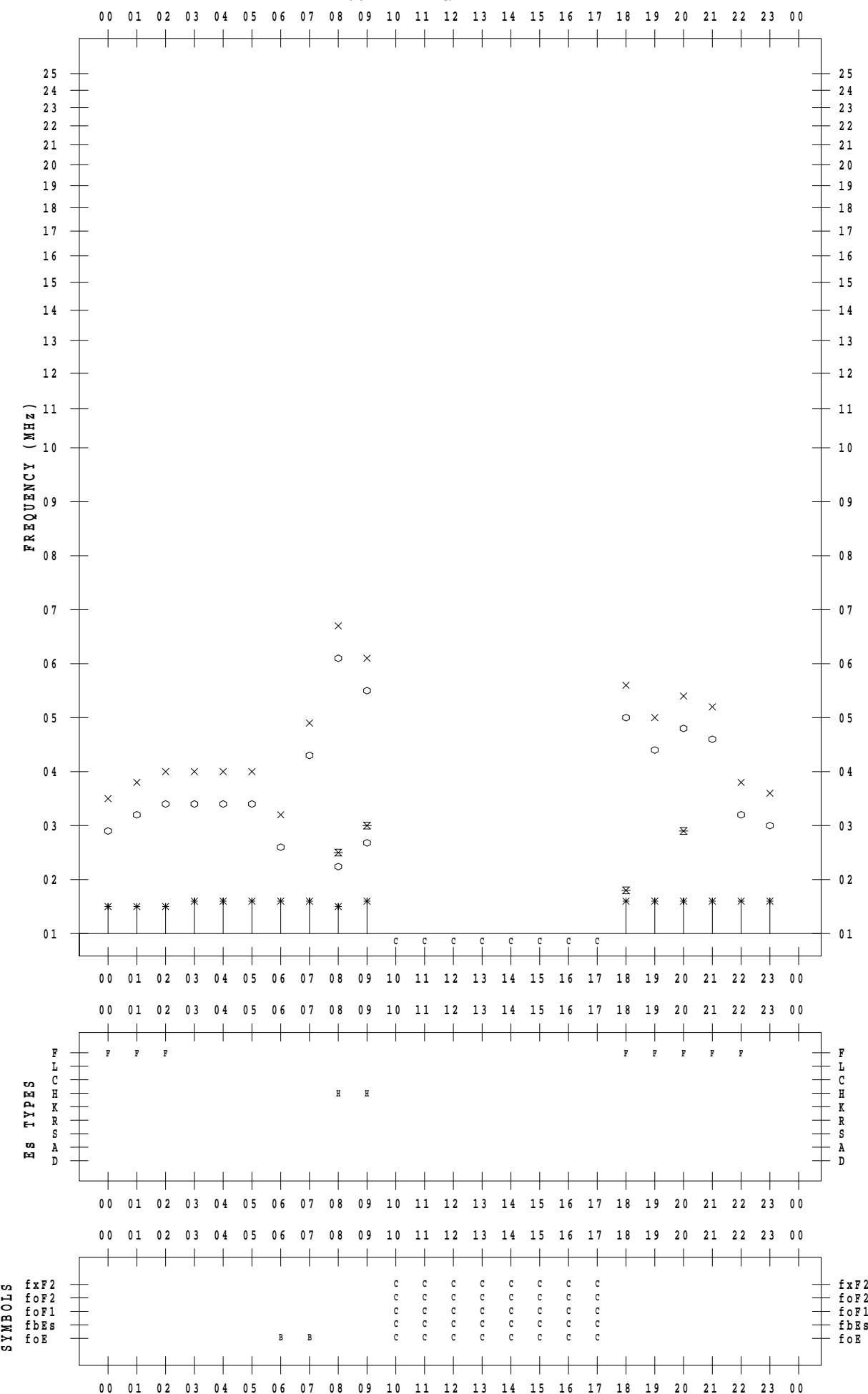
f - P L O T D A T A

SCALER : I.NISHIMUTA

STATION : Yamagawa

DATE : 2021 / 2 / 24

135 ° E MEAN TIME



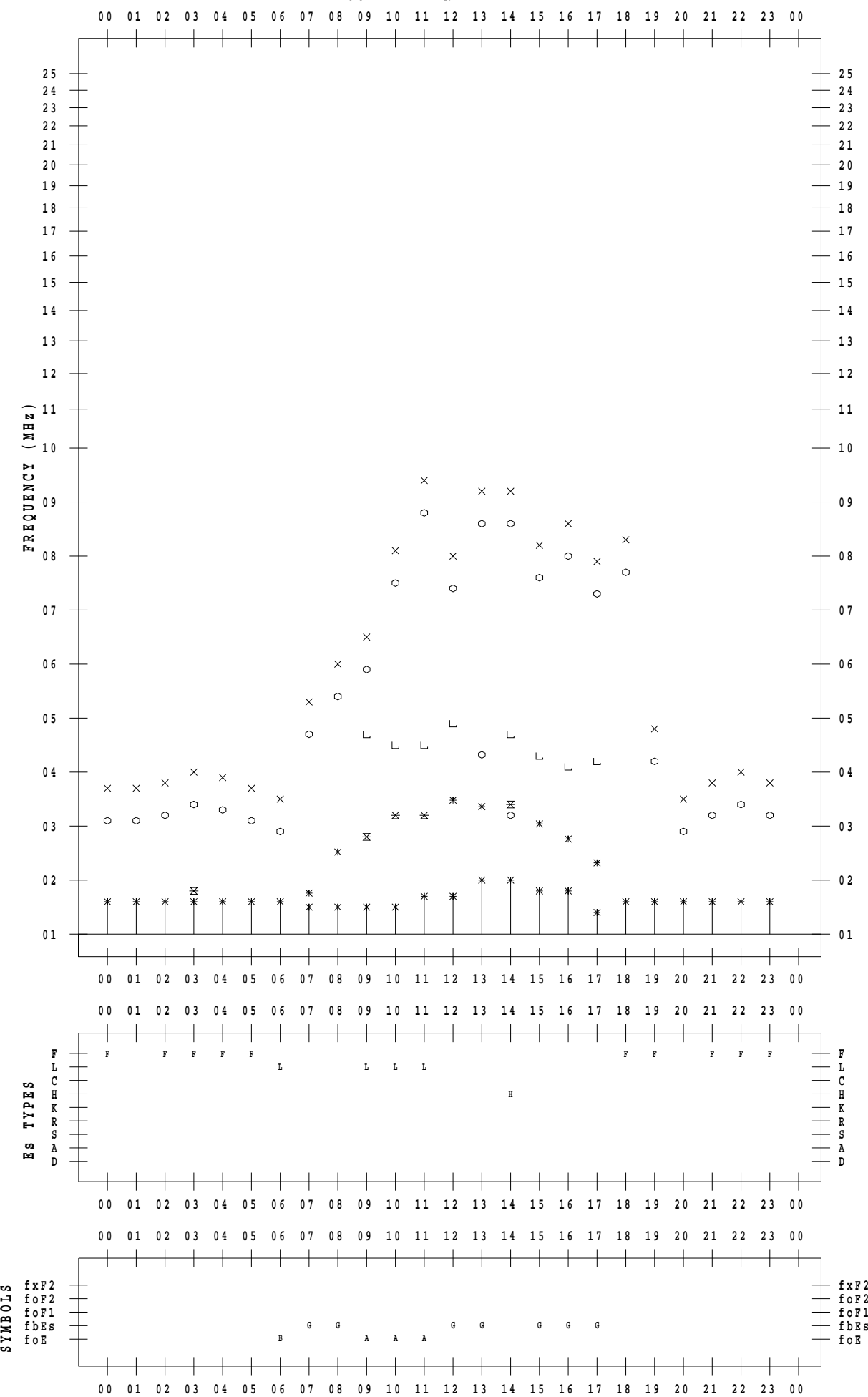
f - P L O T D A T A

SCALER : I.NISHIMUTA

STATION : Yamagawa

DATE : 2021 / 2 / 25

135 ° E MEAN TIME



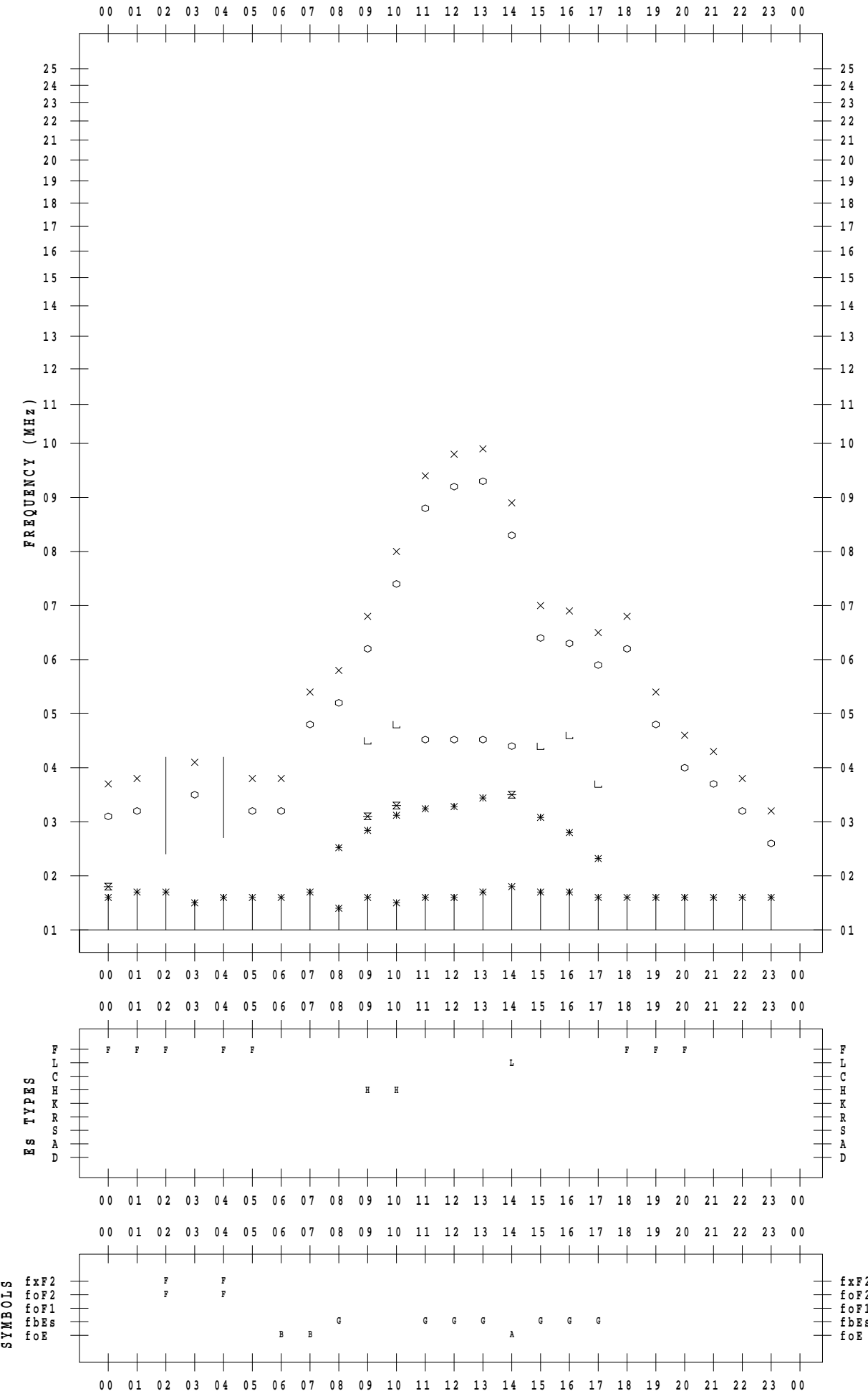
f - PLOT DATA

SCALER : I.NISHIMUTA

STATION : Yamagawa

DATE : 2021 / 2 / 26

135 ° E MEAN TIME



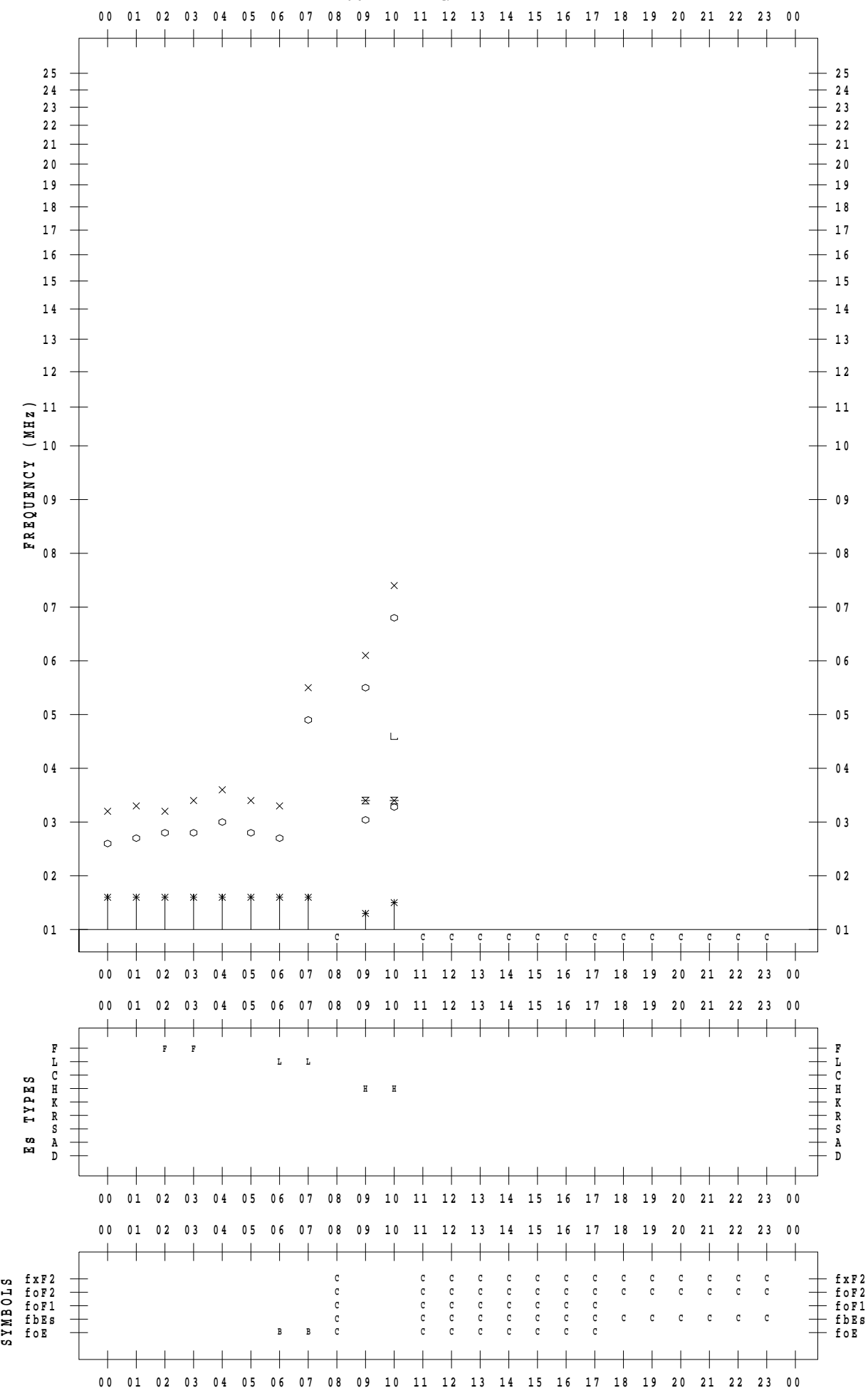
f - P L O T D A T A

SCALER : I.NISHIMUTA

STATION : Yamagawa

DATE : 2021 / 2 / 27

135 ° E MEAN TIME



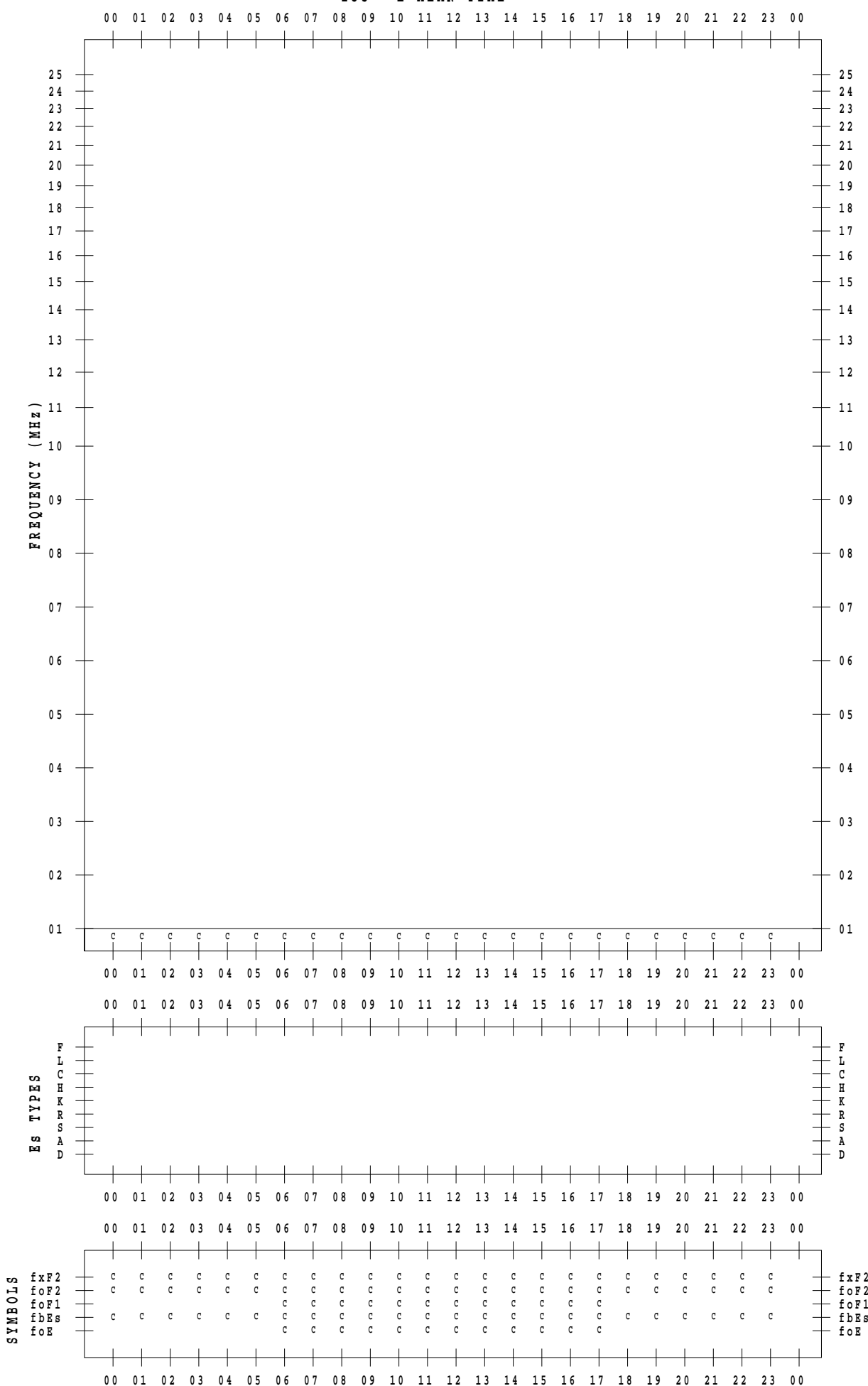
f - P L O T D A T A

SCALER : I.NISHIMUTA

STATION : Yamagawa

DATE : 2021 / 2 / 28

135 ° E MEAN TIME



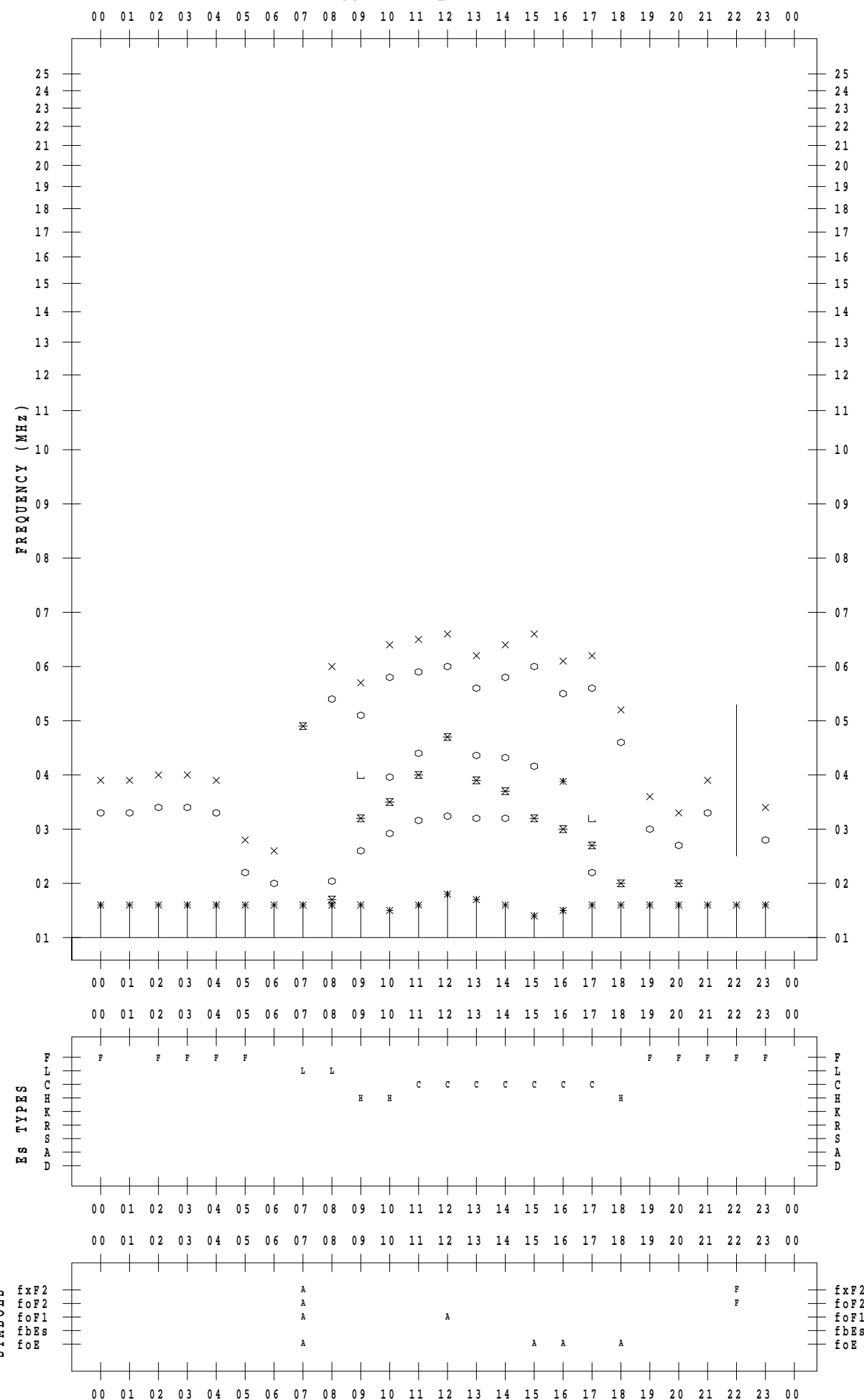
f - P L O T D A T A

SCALER : I.YAMAZAKI

STATION : Okinawa

DATE : 2021 / 2 / 1

135 ° E MEAN TIME



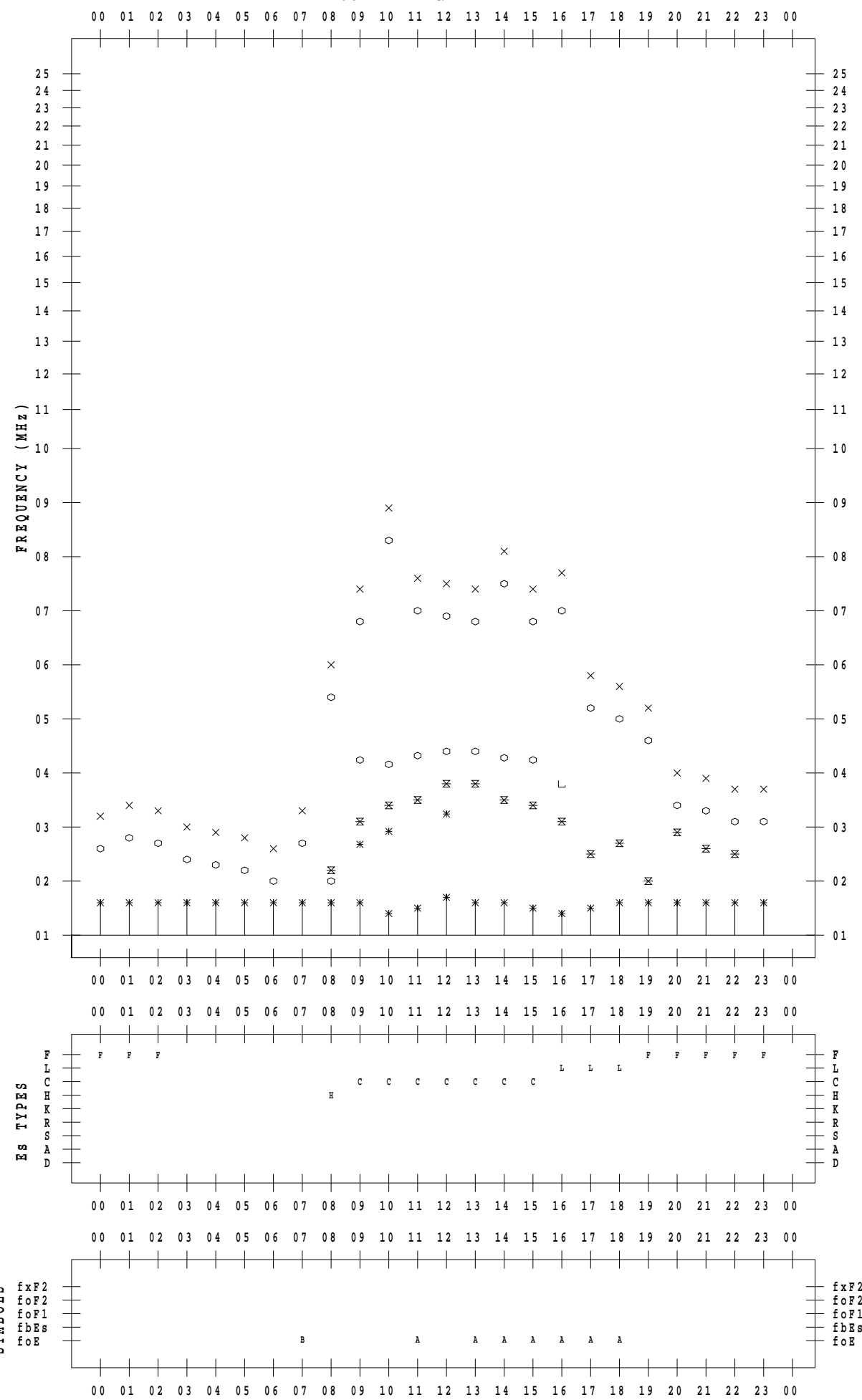
f - P L O T D A T A

SCALER : I.YAMAZAKI

STATION : Okinawa

DATE : 2021 / 2 / 2

135 ° E MEAN TIME



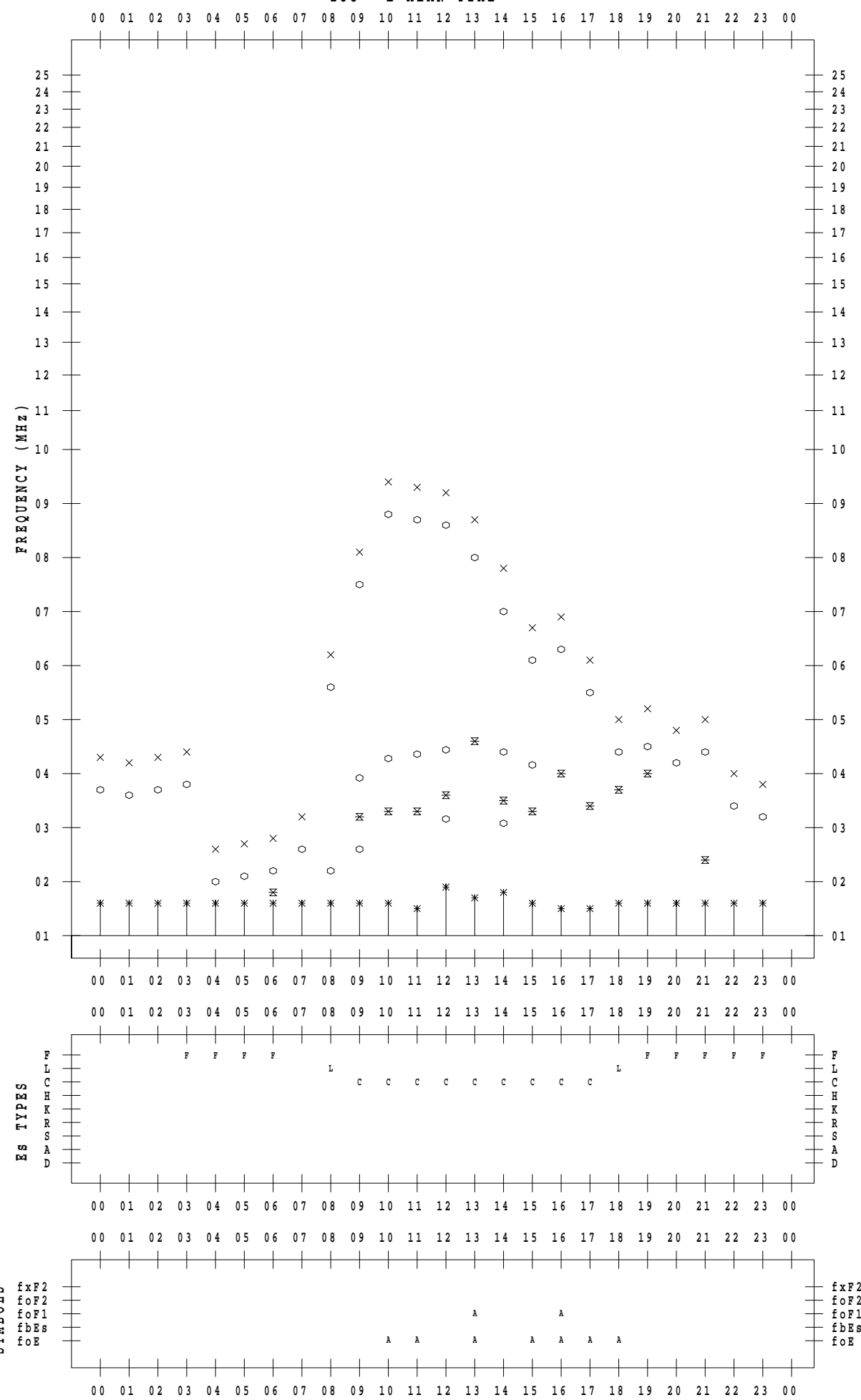
f - P L O T D A T A

SCALER : I.YAMAZAKI

STATION : Okinawa

DATE : 2021 / 2 / 3

135 ° E MEAN TIME



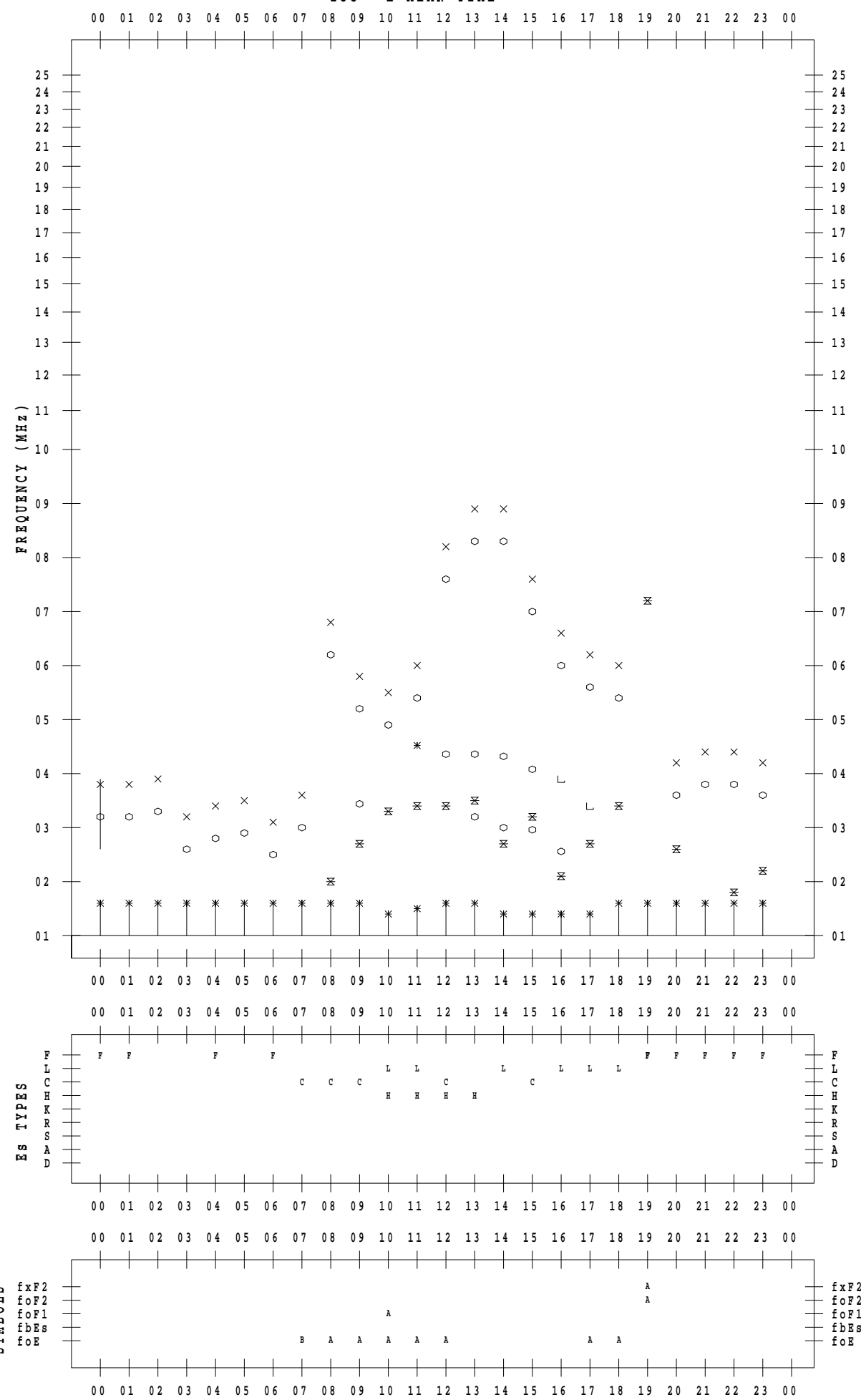
f - P L O T D A T A

SCALER : I.YAMAZAKI

STATION : Okinawa

DATE : 2021 / 2 / 4

135 ° E MEAN TIME



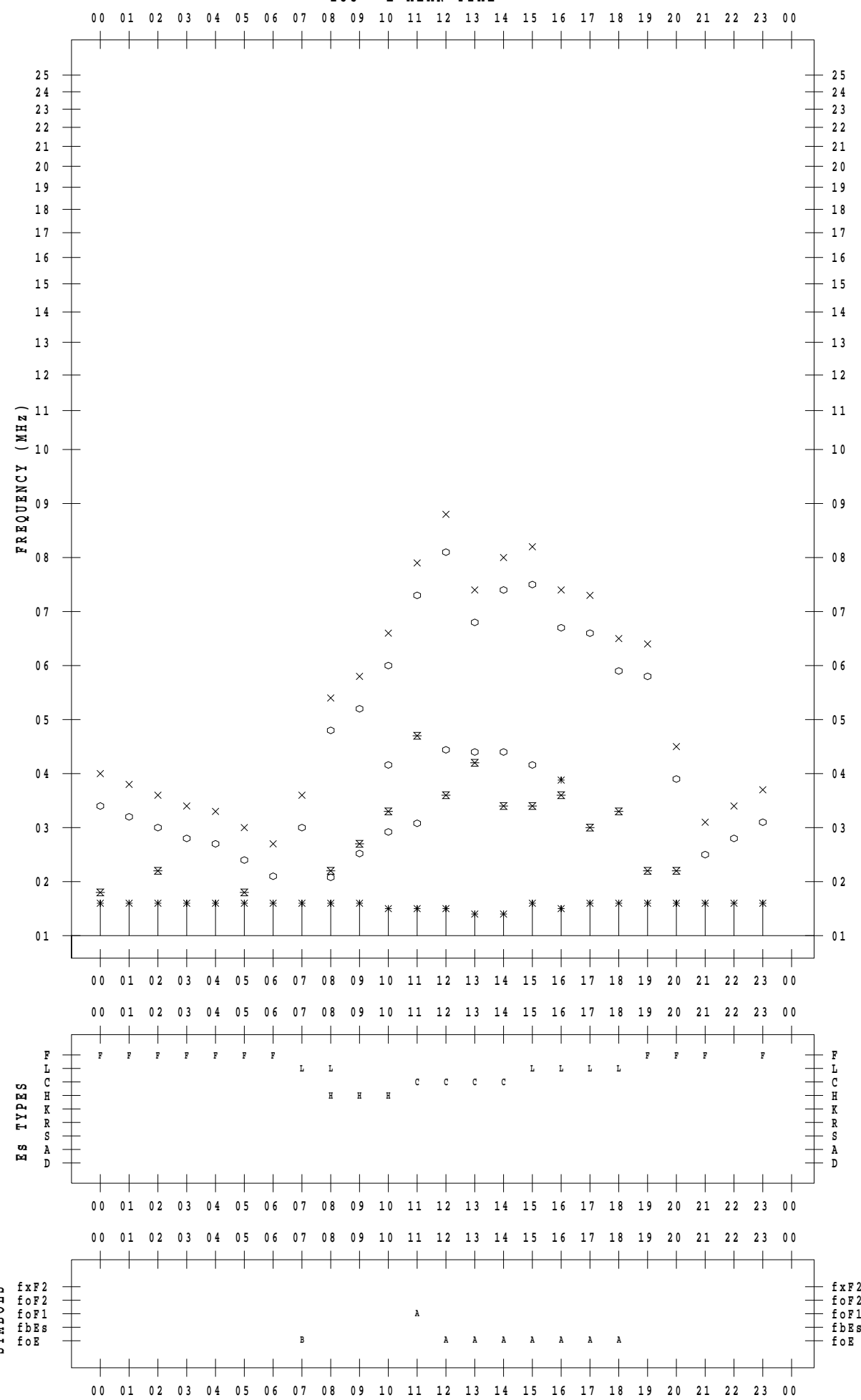
f - P L O T D A T A

SCALER : I.YAMAZAKI

STATION : Okinawa

DATE : 2021 / 2 / 5

135 ° E MEAN TIME



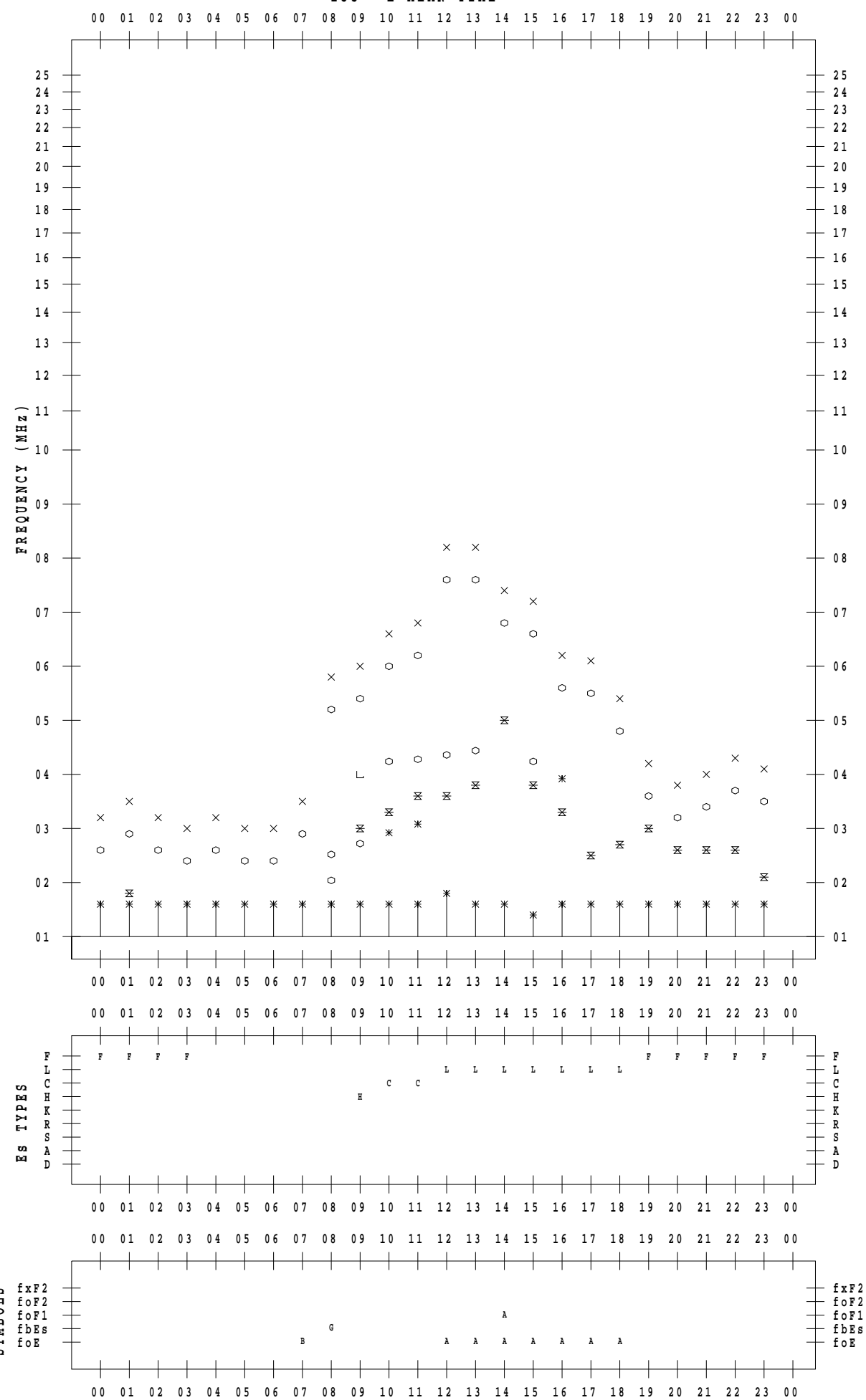
f - P L O T D A T A

SCALER : I.YAMAZAKI

STATION : Okinawa

DATE : 2021 / 2 / 6

135 ° E MEAN TIME



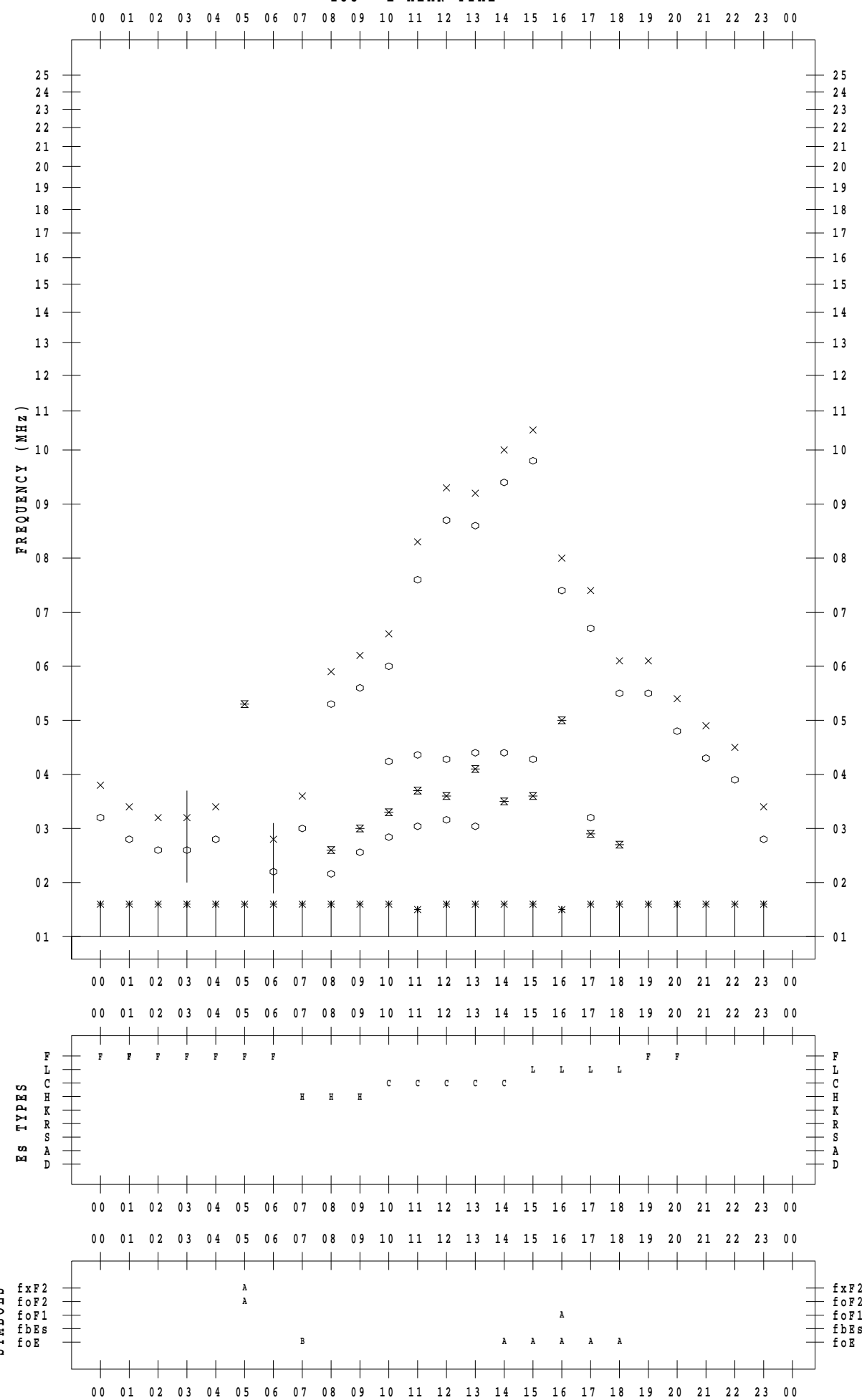
f - P L O T D A T A

SCALER : I.YAMAZAKI

STATION : Okinawa

DATE : 2021 / 2 / 7

135 ° E MEAN TIME



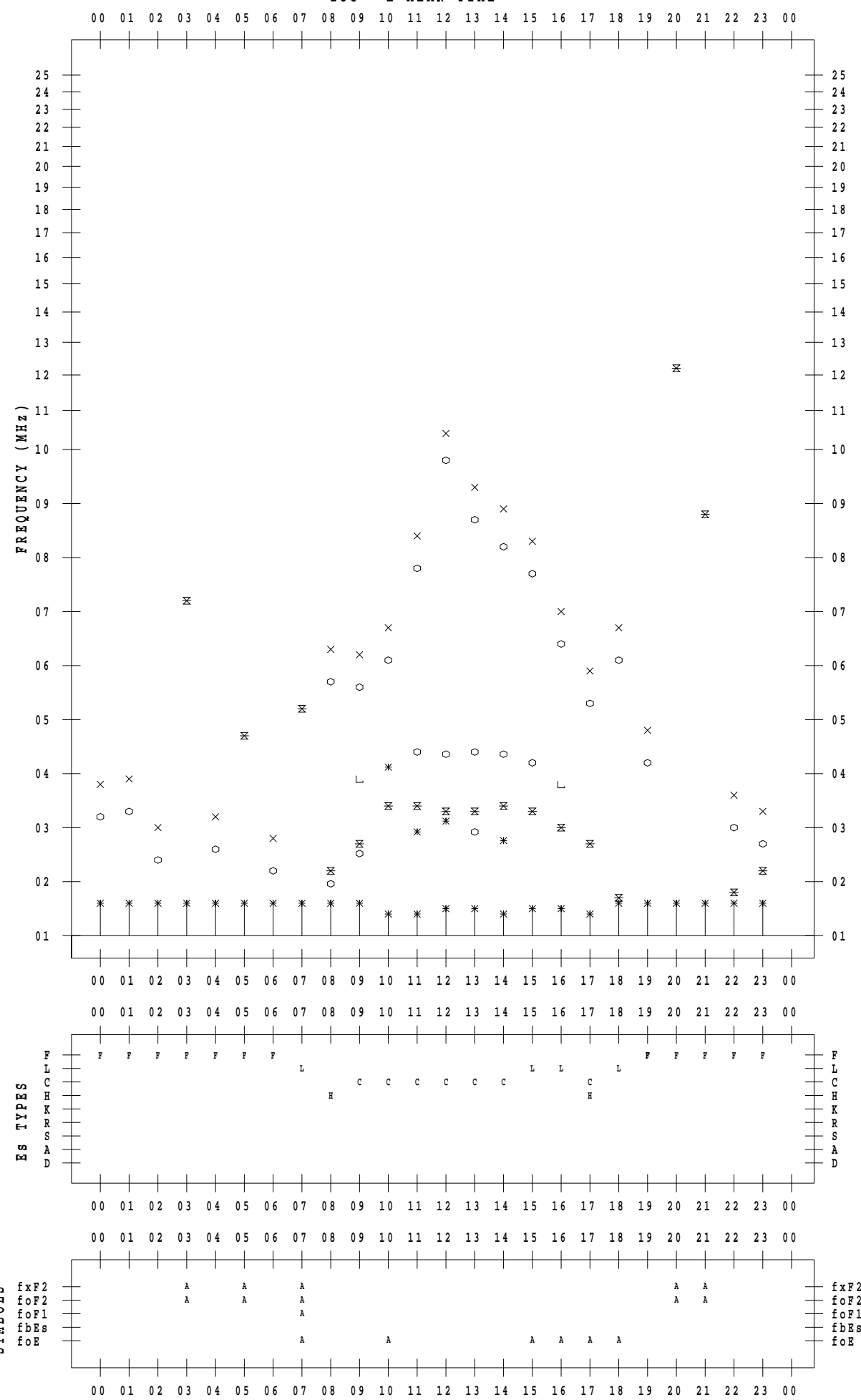
f - P L O T D A T A

SCALER : I.YAMAZAKI

STATION : Okinawa

DATE : 2021 / 2 / 8

135 ° E MEAN TIME



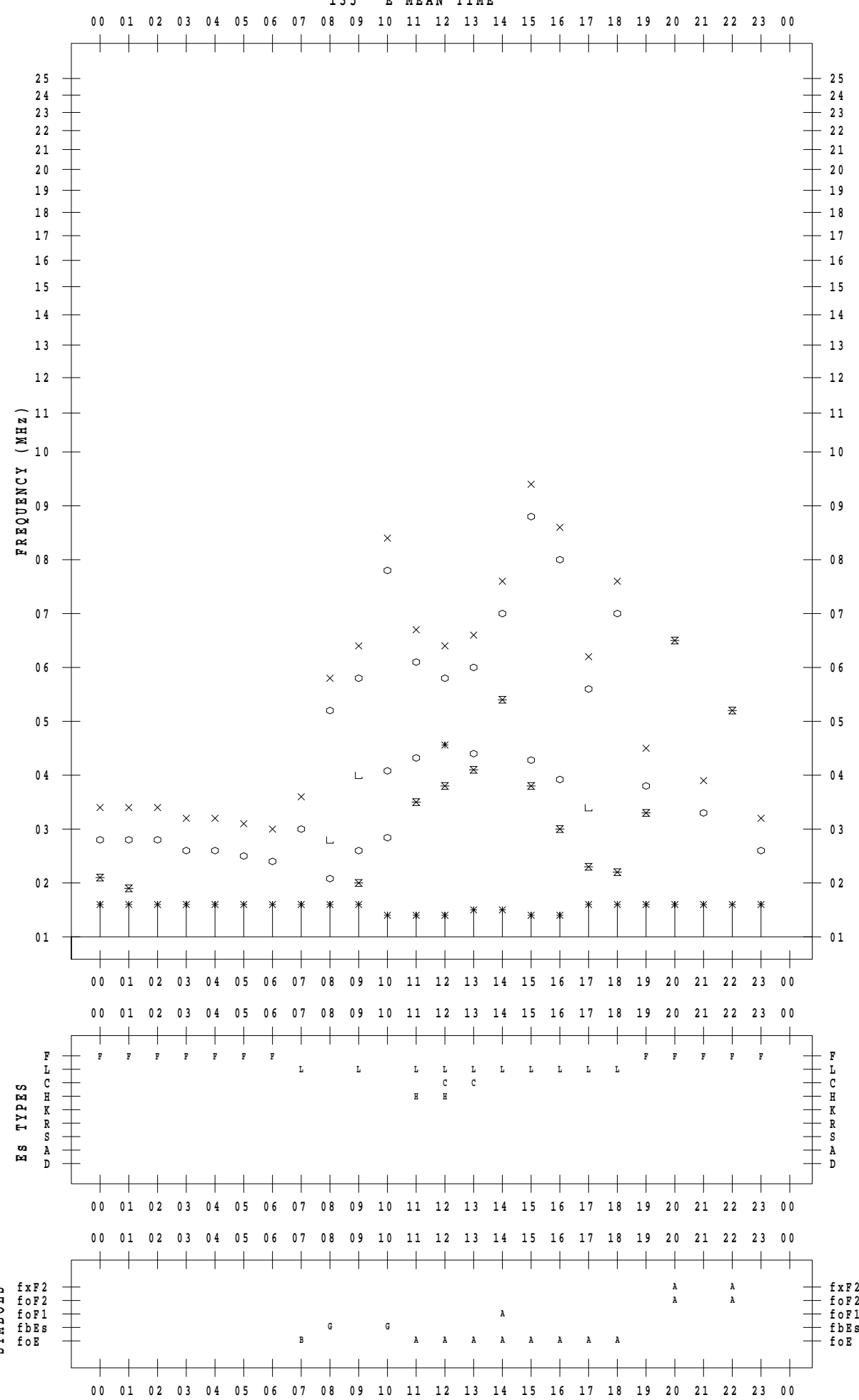
f - P L O T D A T A

SCALER : I.YAMAZAKI

STATION : Okinawa

DATE : 2021 / 2 / 9

135 ° E MEAN TIME

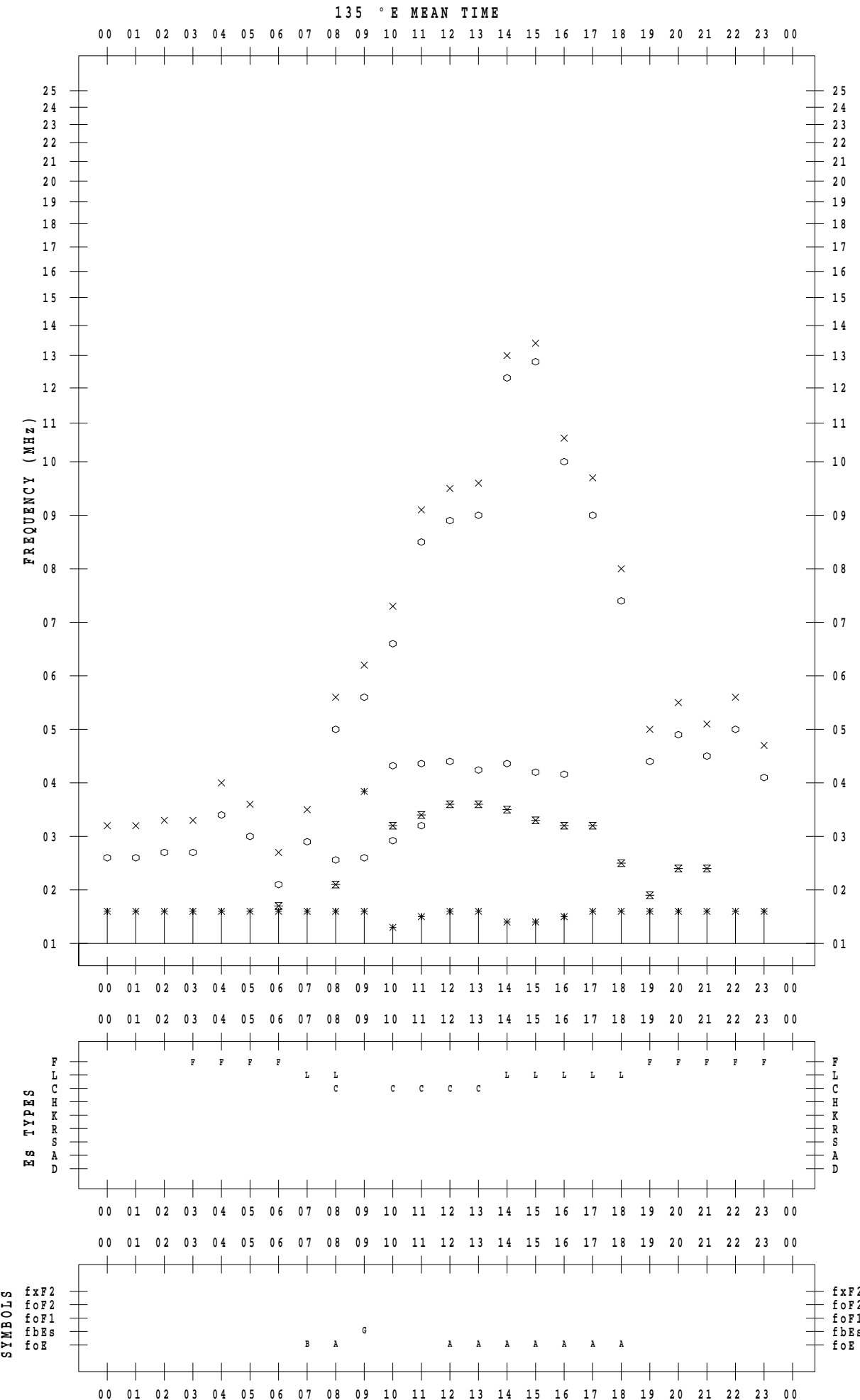


f - PLOT DATA

SCALER : I.YAMAZAKI

STATION : Okinawa

DATE : 2021 / 2 / 10



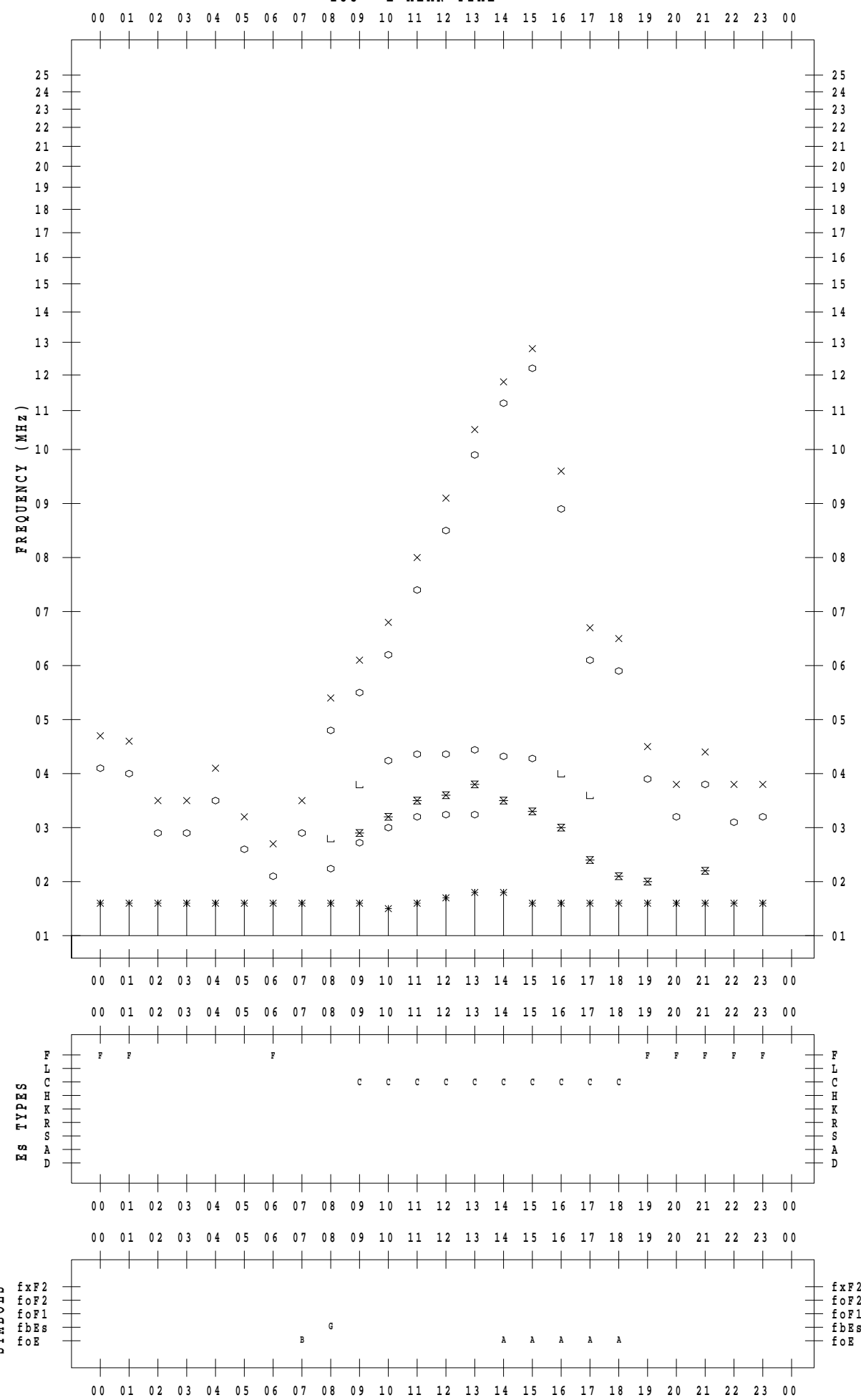
f - P L O T D A T A

SCALER : I.YAMAZAKI

STATION : Okinawa

DATE : 2021 / 2 / 11

135 ° E MEAN TIME



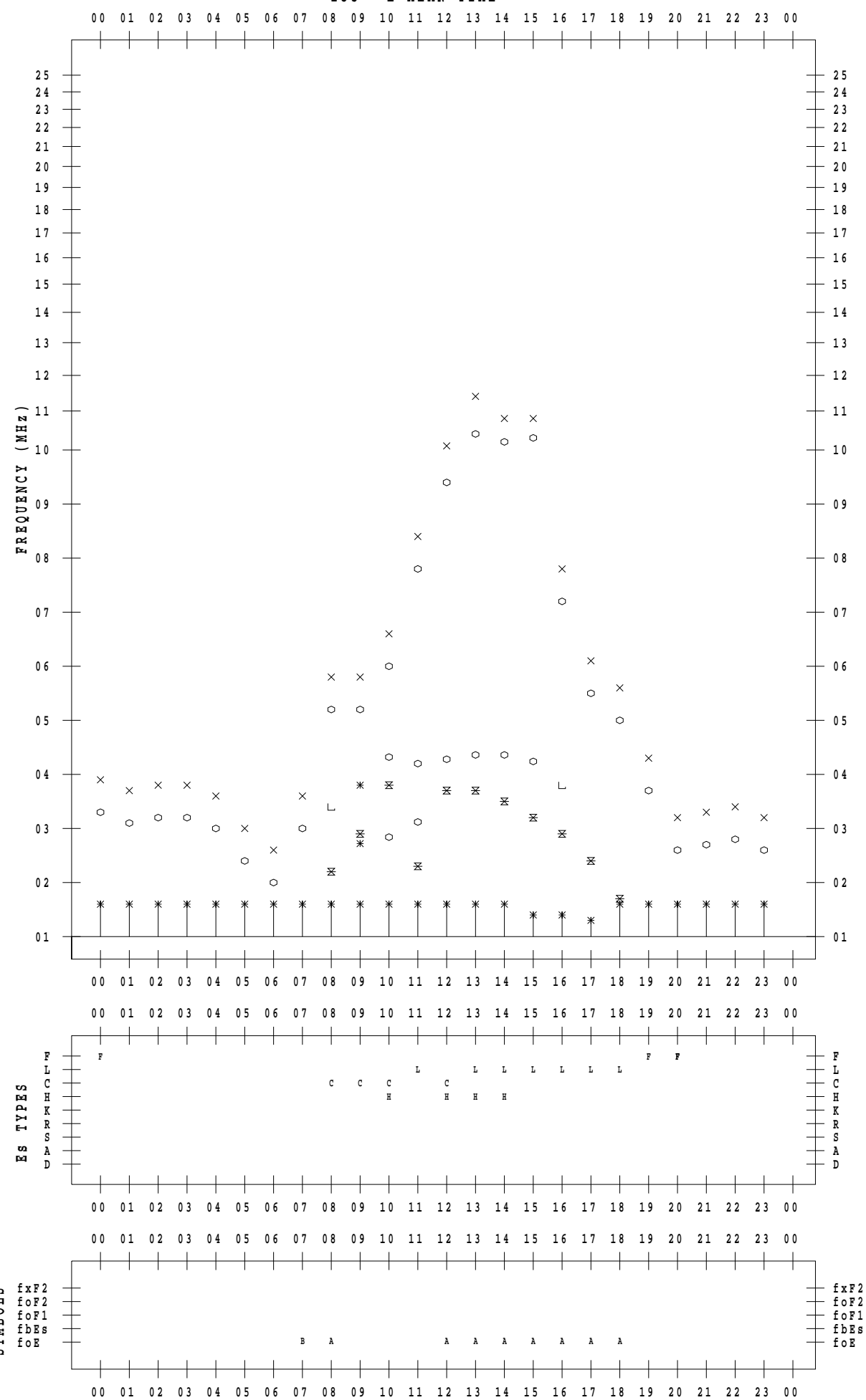
f - P L O T D A T A

SCALER : I.YAMAZAKI

STATION : Okinawa

DATE : 2021 / 2 / 12

135 ° E MEAN TIME



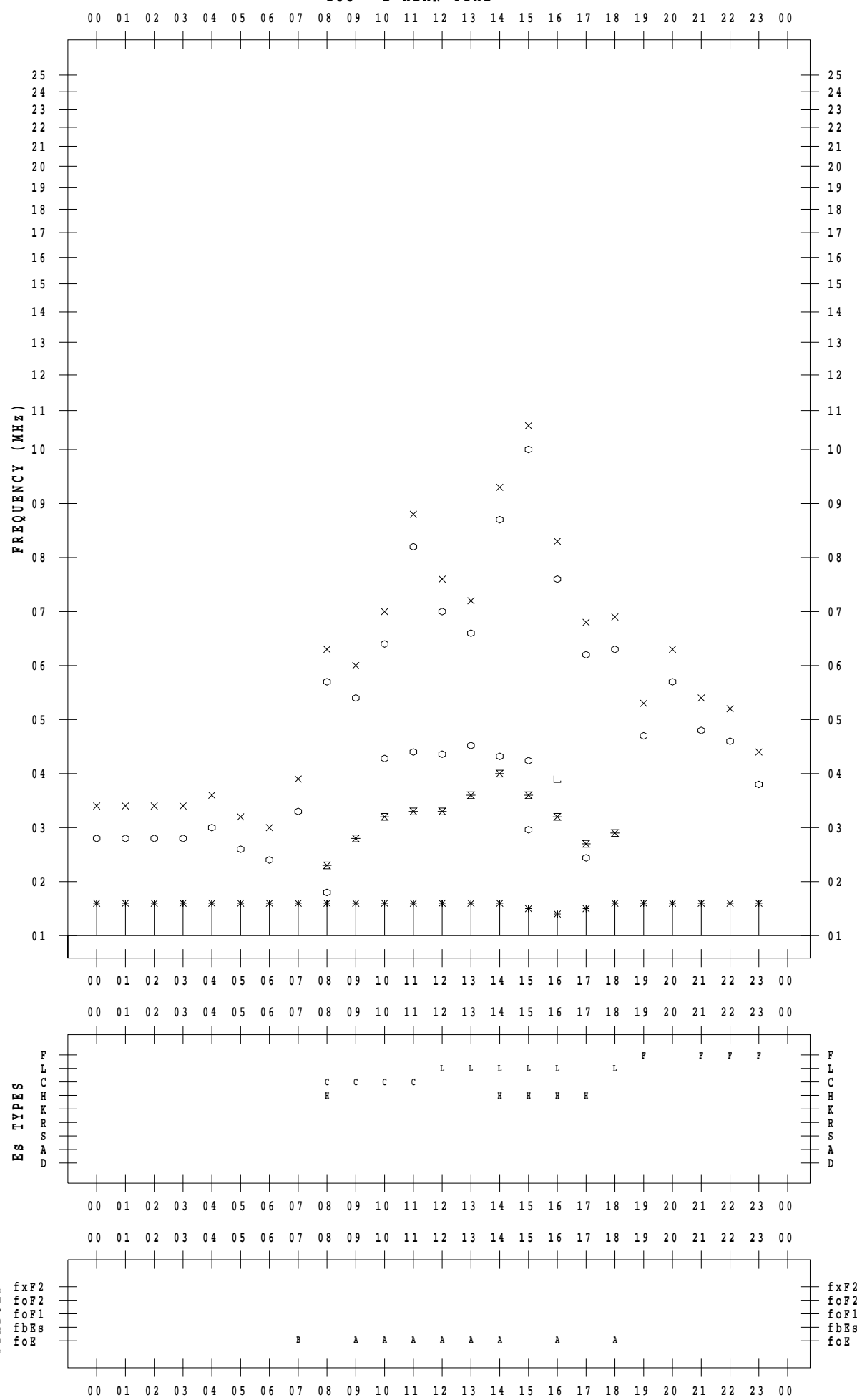
f - P L O T D A T A

SCALER : I.YAMAZAKI

STATION : Okinawa

DATE : 2021 / 2 / 13

135 ° E MEAN TIME



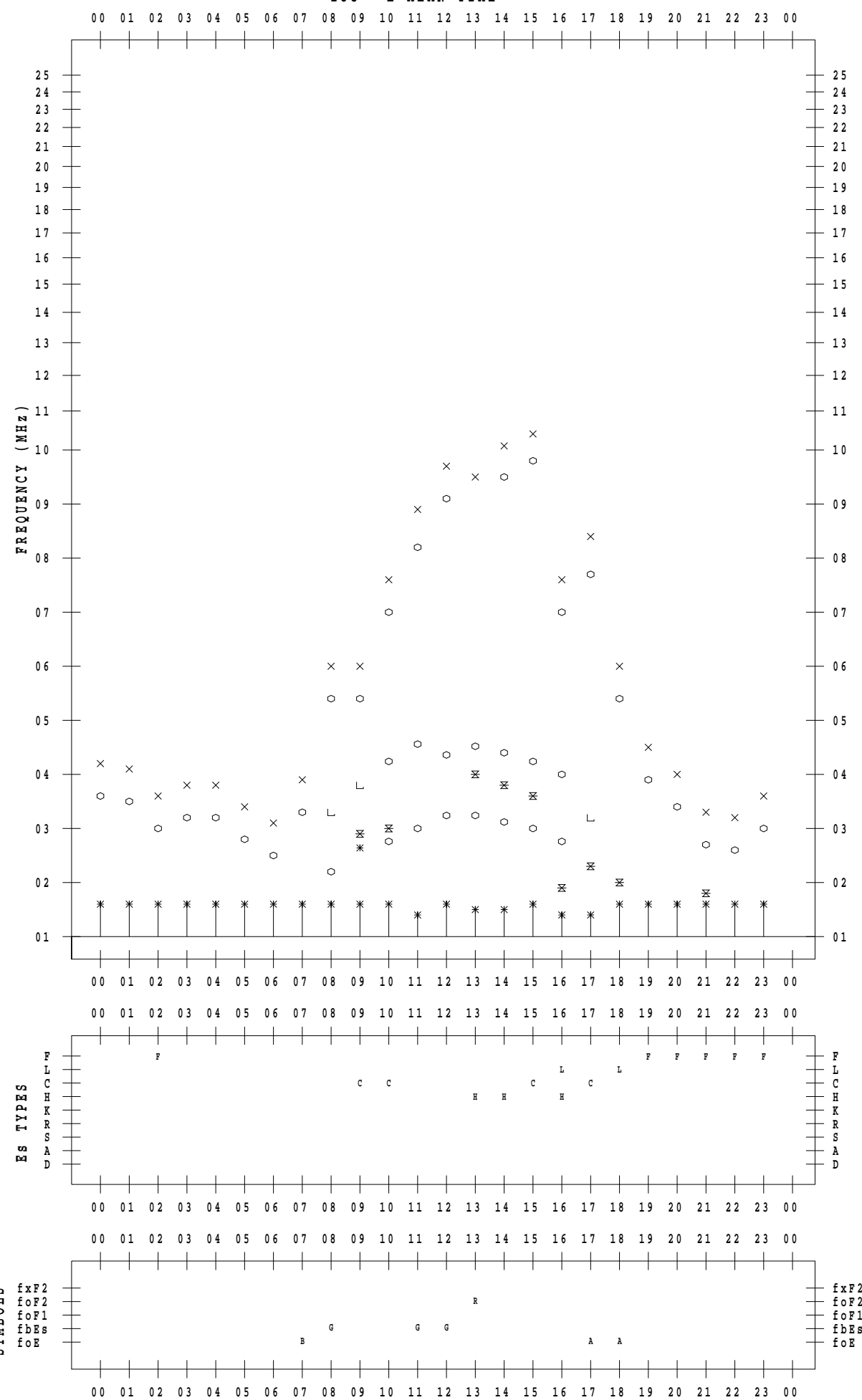
f - P L O T D A T A

SCALER : I.YAMAZAKI

STATION : Okinawa

DATE : 2021 / 2 / 14

135 ° E MEAN TIME



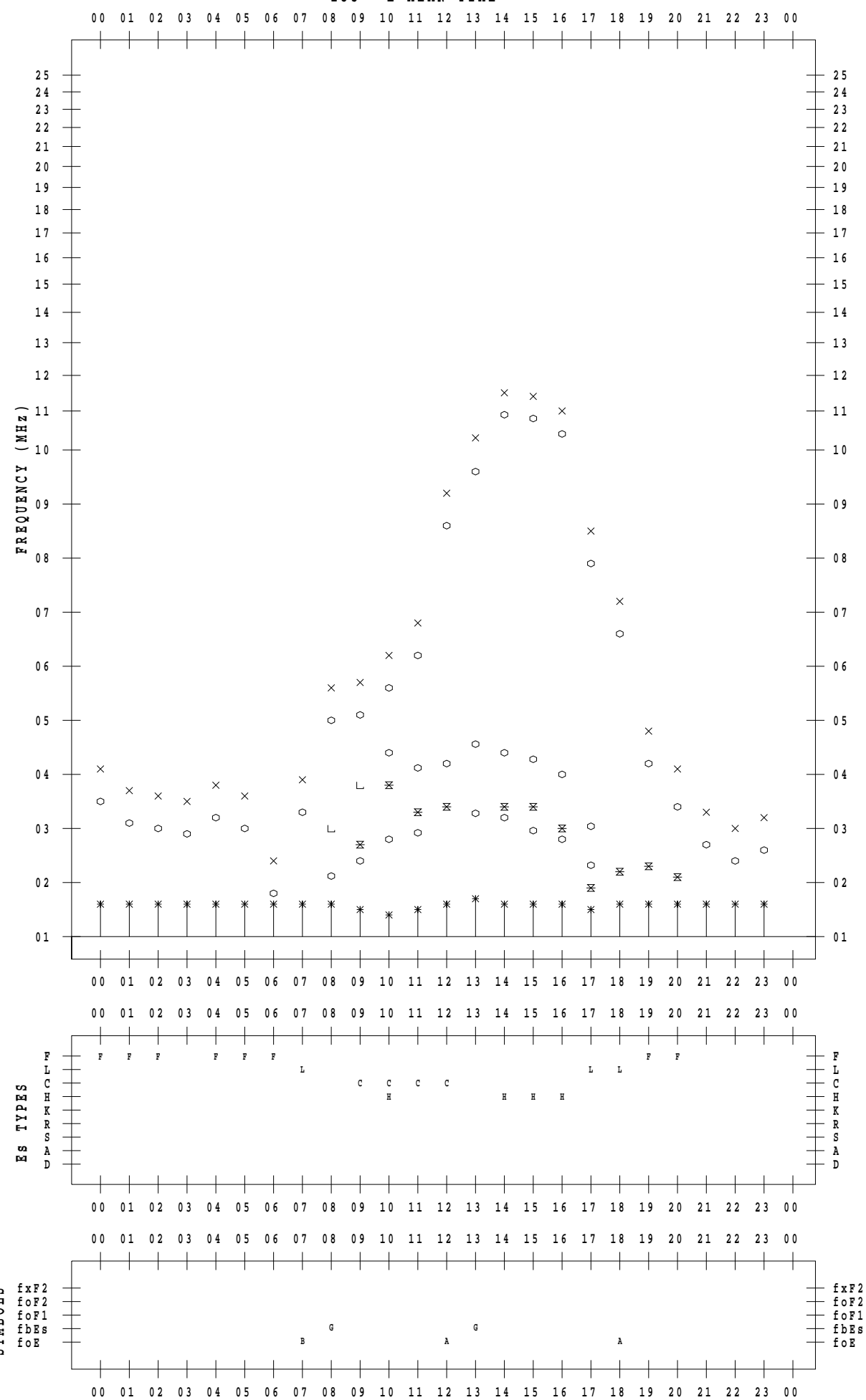
f - P L O T D A T A

SCALER : I.YAMAZAKI

STATION : Okinawa

DATE : 2021 / 2 / 15

135 ° E MEAN TIME



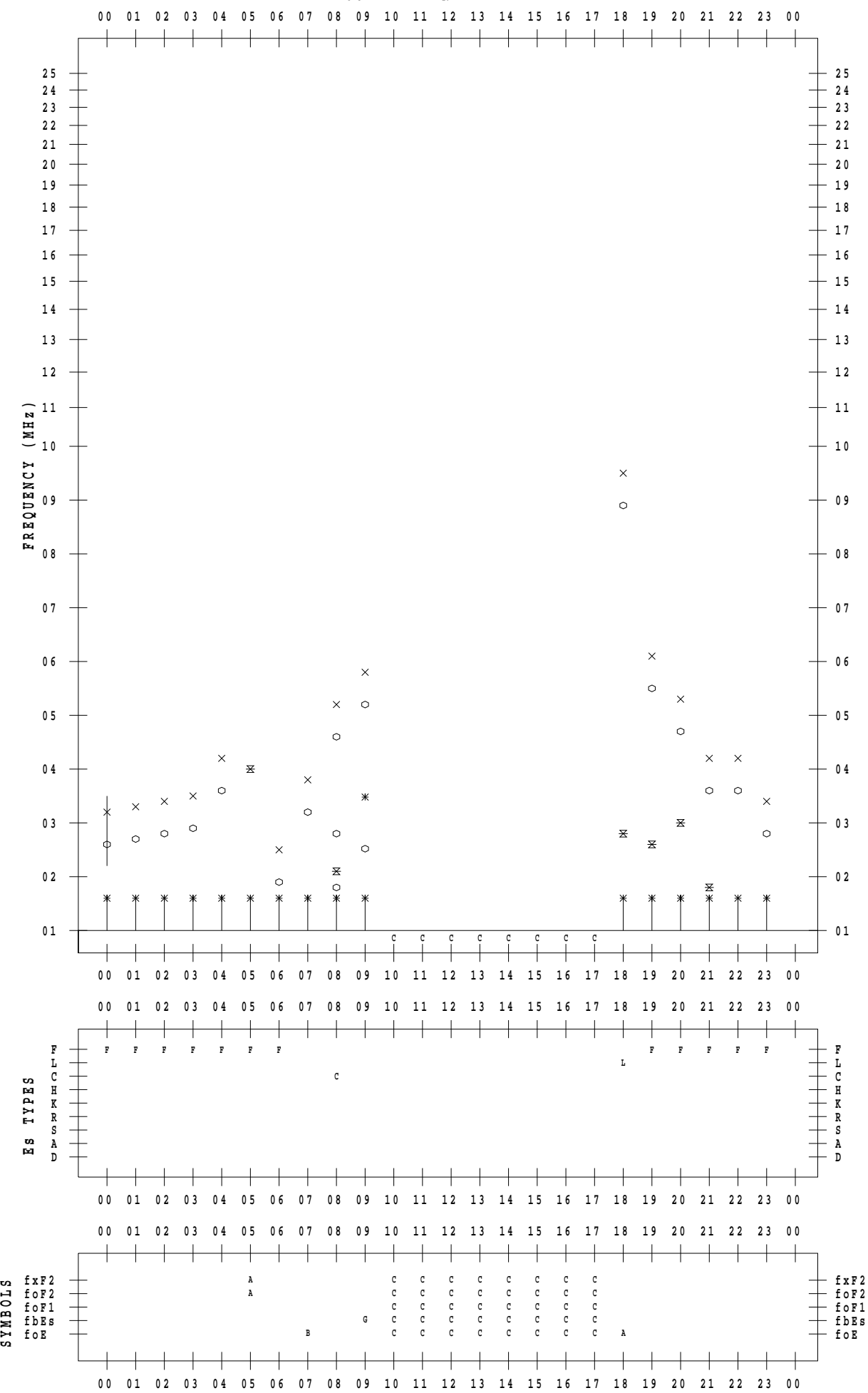
f - P L O T D A T A

SCALER : I.YAMAZAKI

STATION : Okinawa

DATE : 2021 / 2 / 16

135 ° E MEAN TIME

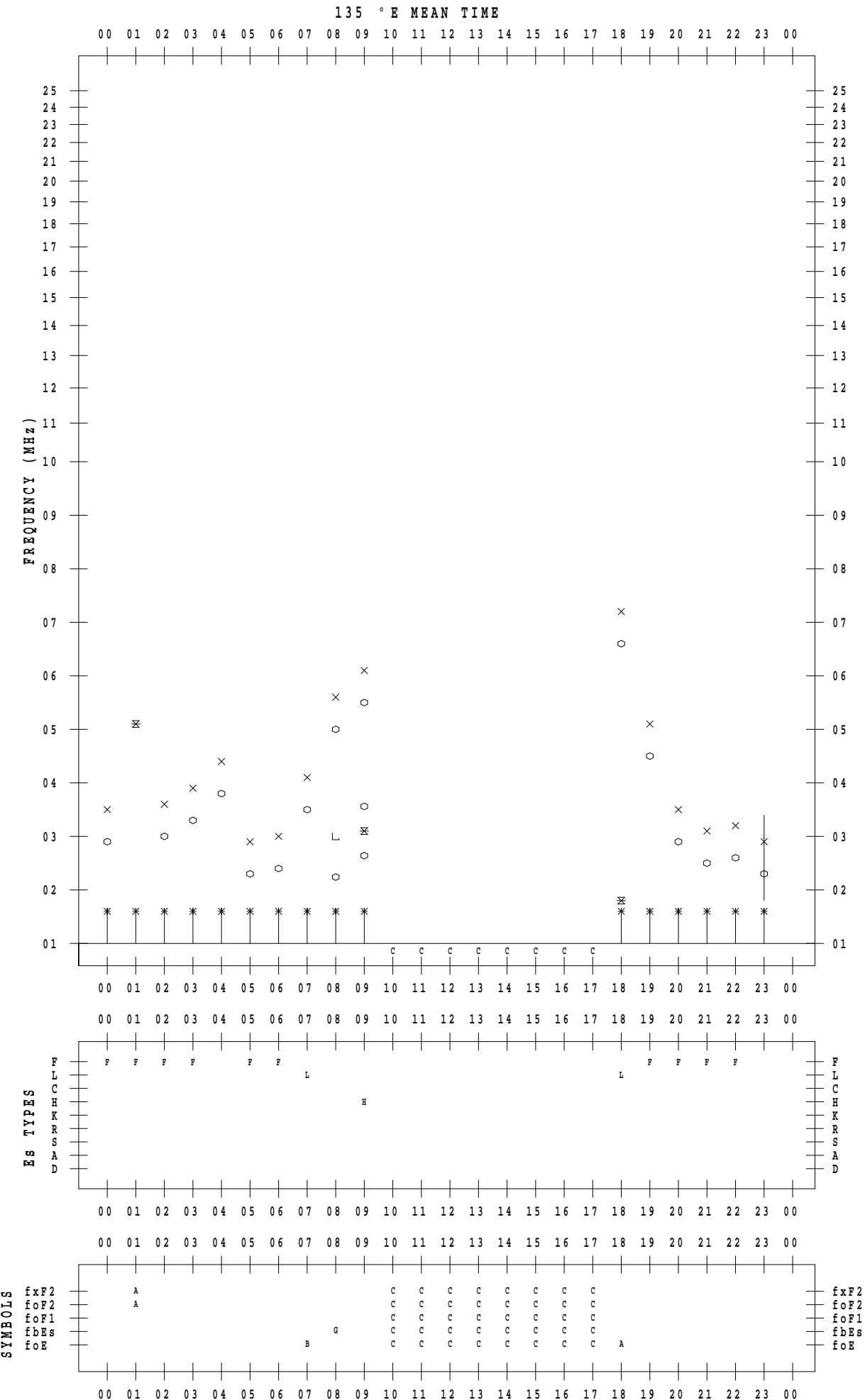


f - PLOT DATA

SCALER : I.YAMAZAKI

STATION : Okinawa

DATE : 2021 / 2 / 17



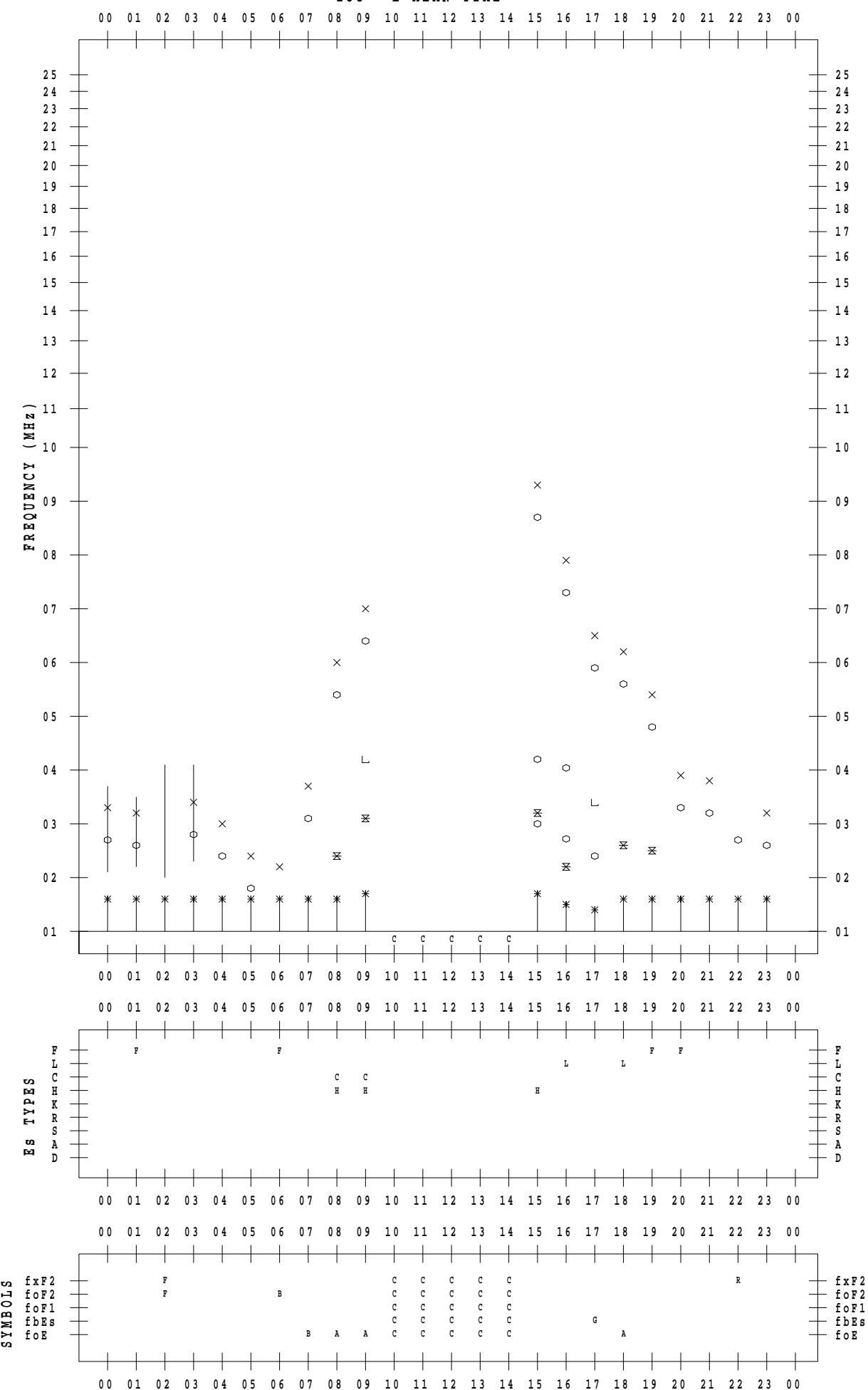
f - P L O T D A T A

SCALER : I.YAMAZAKI

STATION : Okinawa

DATE : 2021 / 2 / 18

135 ° E MEAN TIME



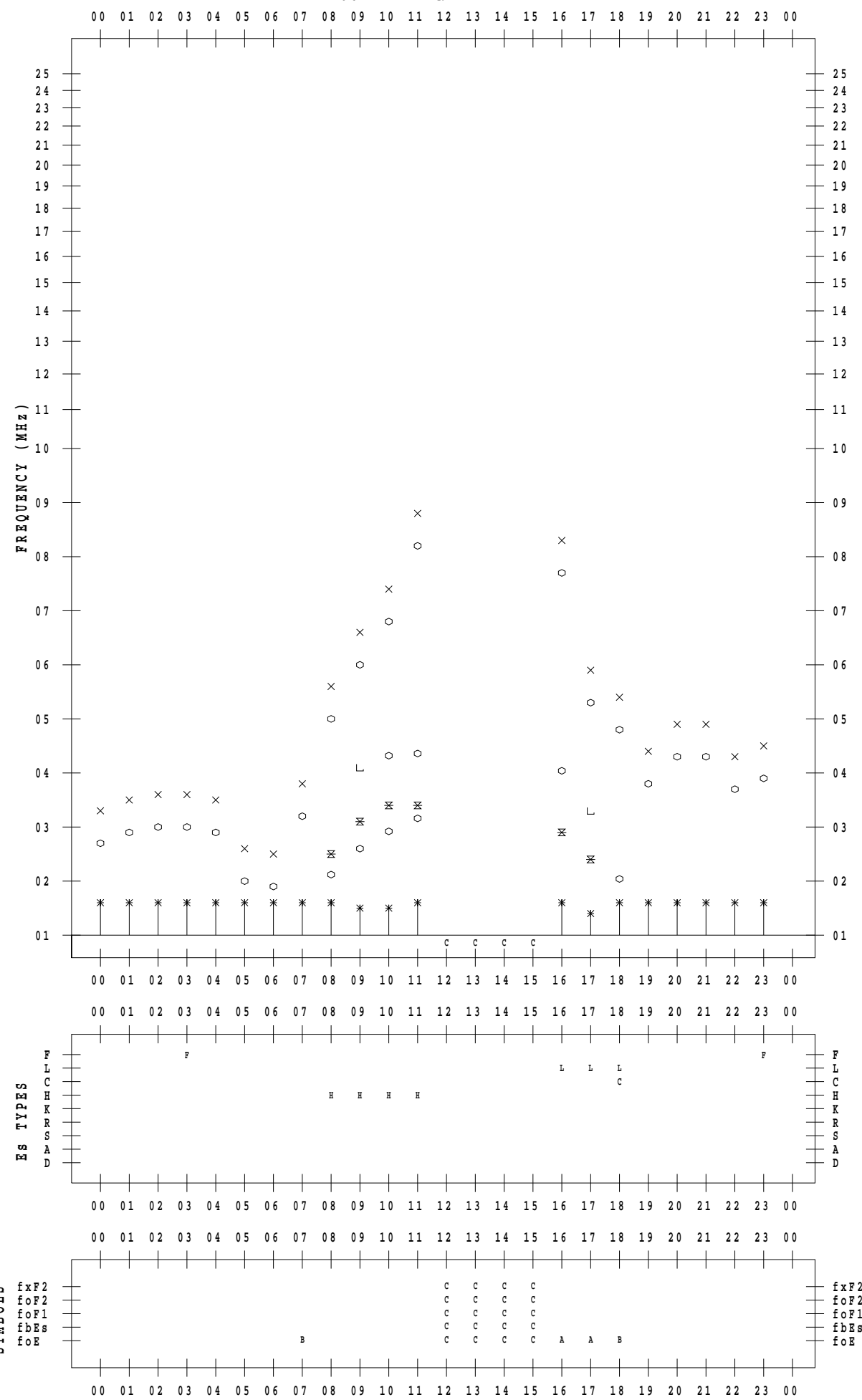
f - P L O T D A T A

SCALER : I.YAMAZAKI

STATION : Okinawa

DATE : 2021 / 2 / 19

135 ° E MEAN TIME



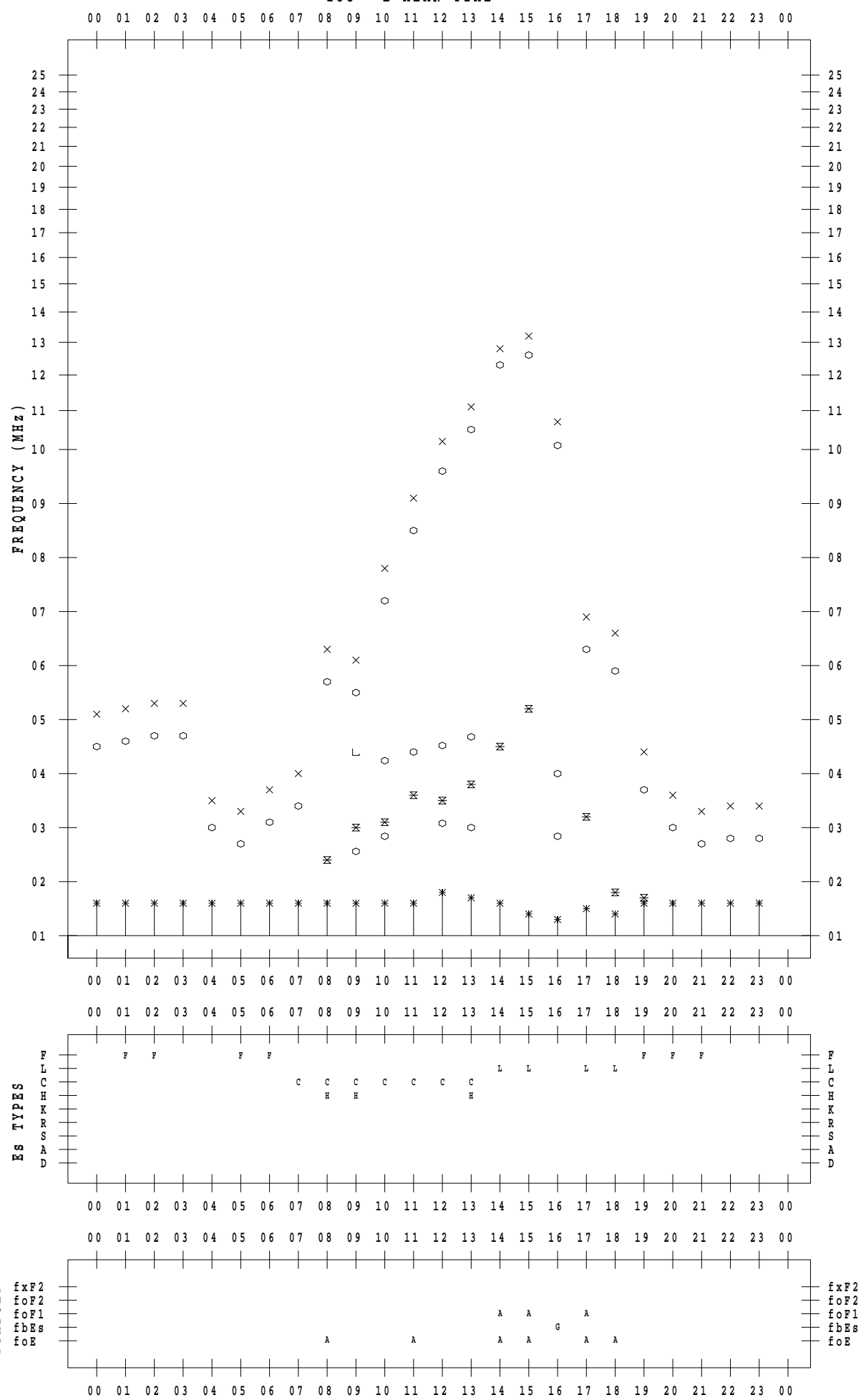
f - P L O T D A T A

SCALER : I.YAMAZAKI

STATION : Okinawa

DATE : 2021 / 2 / 20

135 ° E MEAN TIME



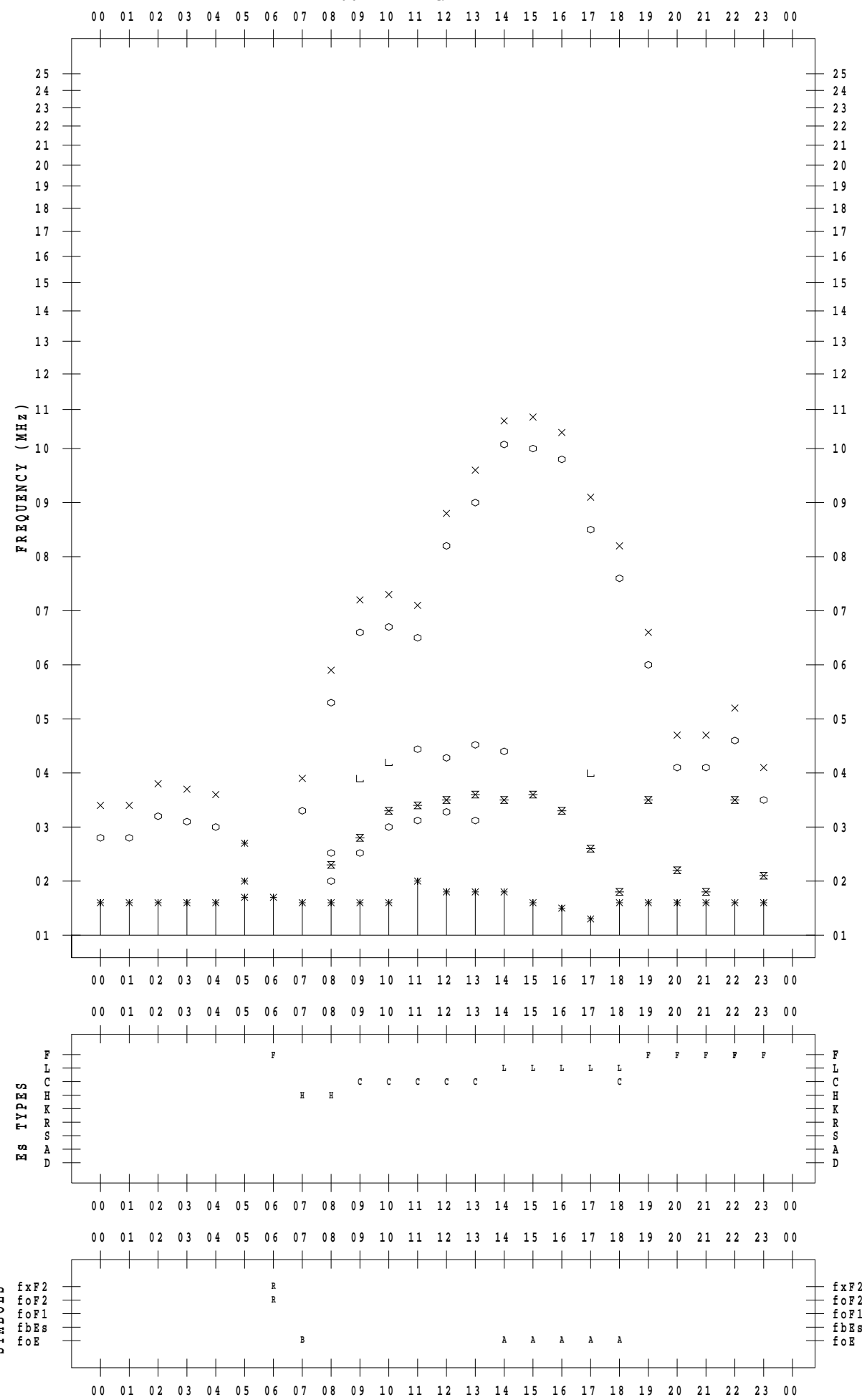
f - P L O T D A T A

SCALER : I.YAMAZAKI

STATION : Okinawa

DATE : 2021 / 2 / 21

135 ° E MEAN TIME



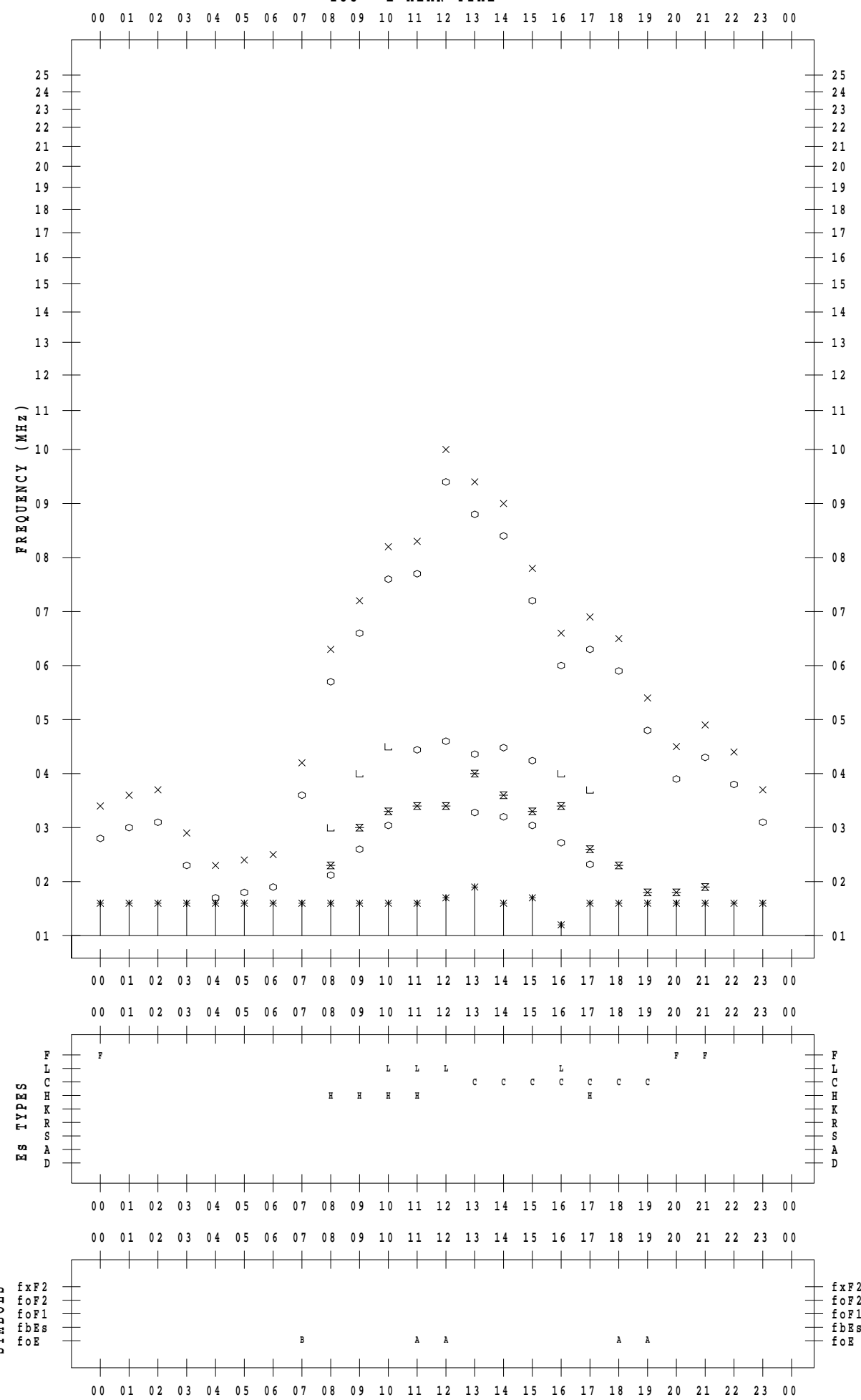
f - P L O T D A T A

SCALER : I.YAMAZAKI

STATION : Okinawa

DATE : 2021 / 2 / 22

135 ° E MEAN TIME



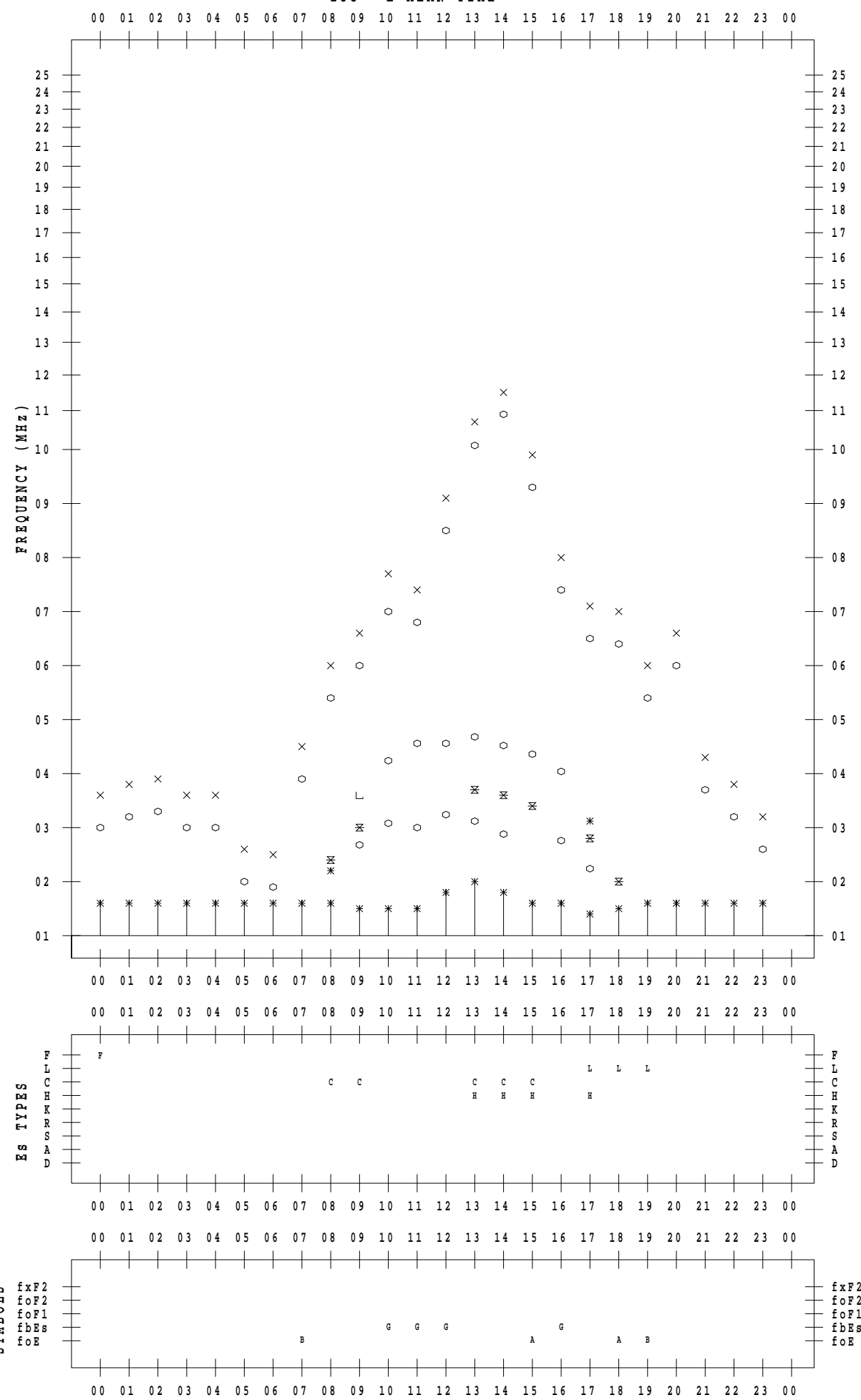
f - P L O T D A T A

SCALER : I.YAMAZAKI

STATION : Okinawa

DATE : 2021 / 2 / 23

135 ° E MEAN TIME



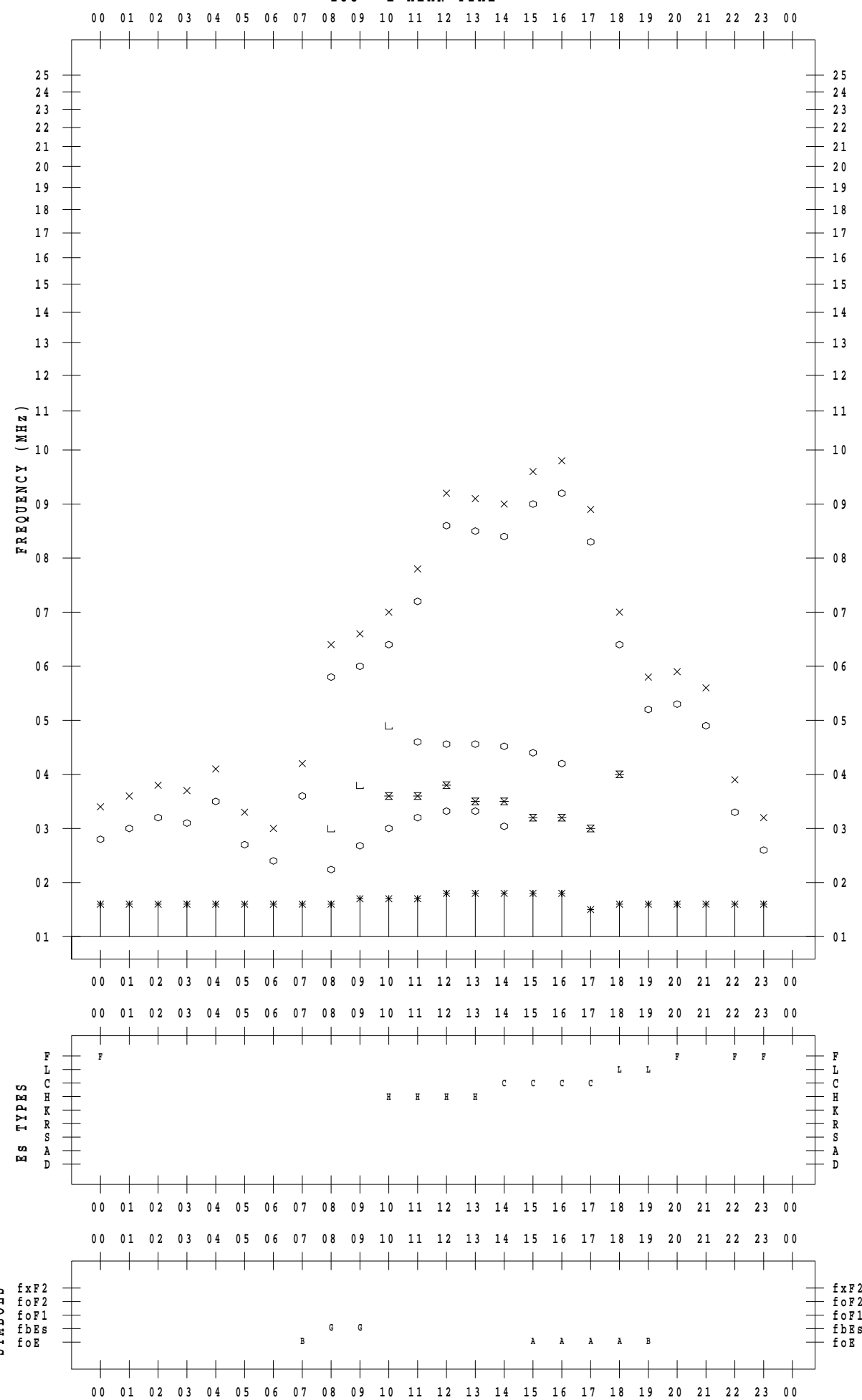
f - P L O T D A T A

SCALER : I.YAMAZAKI

STATION : Okinawa

DATE : 2021 / 2 / 24

135 ° E MEAN TIME



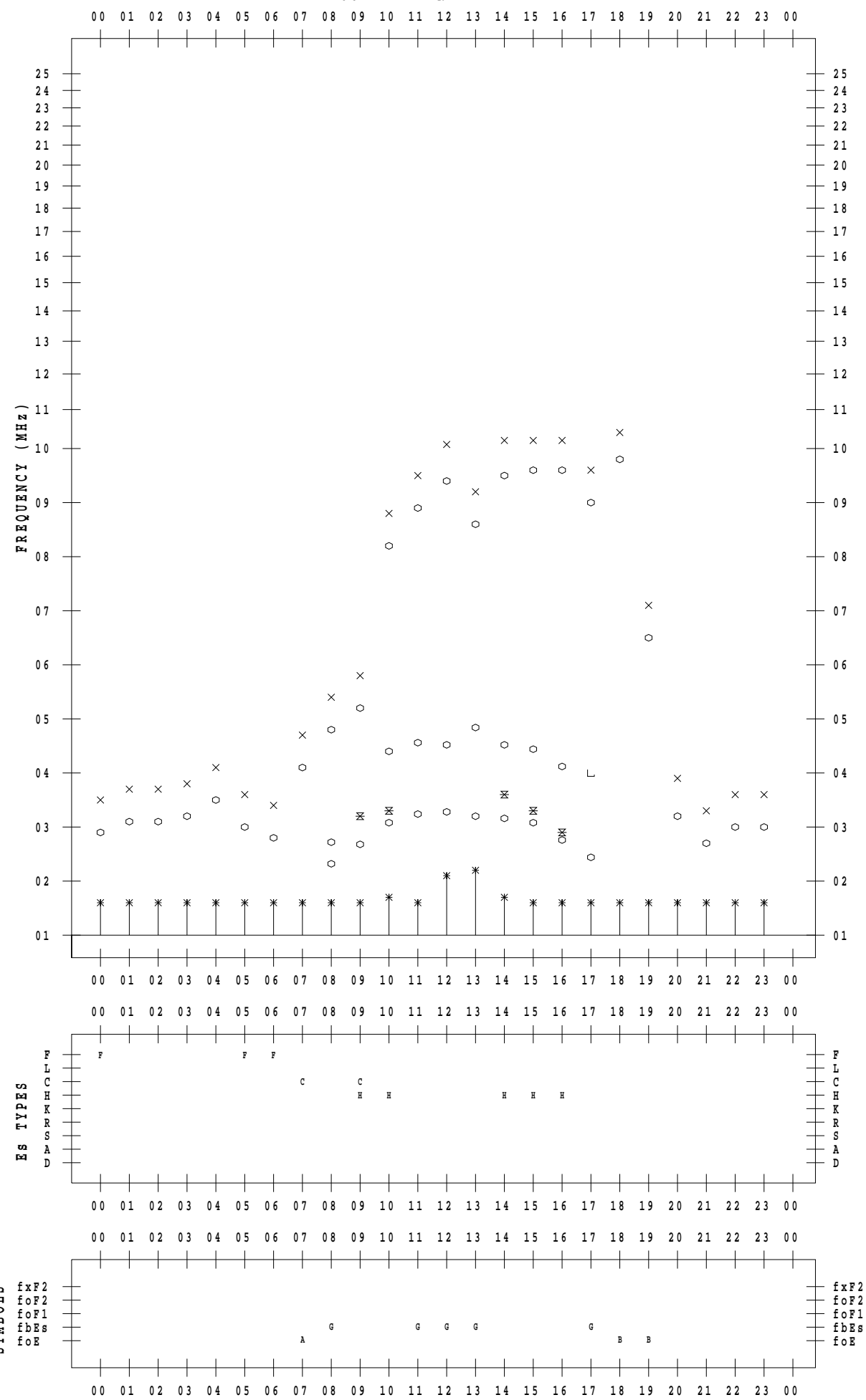
f - P L O T D A T A

SCALER : I.YAMAZAKI

STATION : Okinawa

DATE : 2021 / 2 / 25

135 ° E MEAN TIME



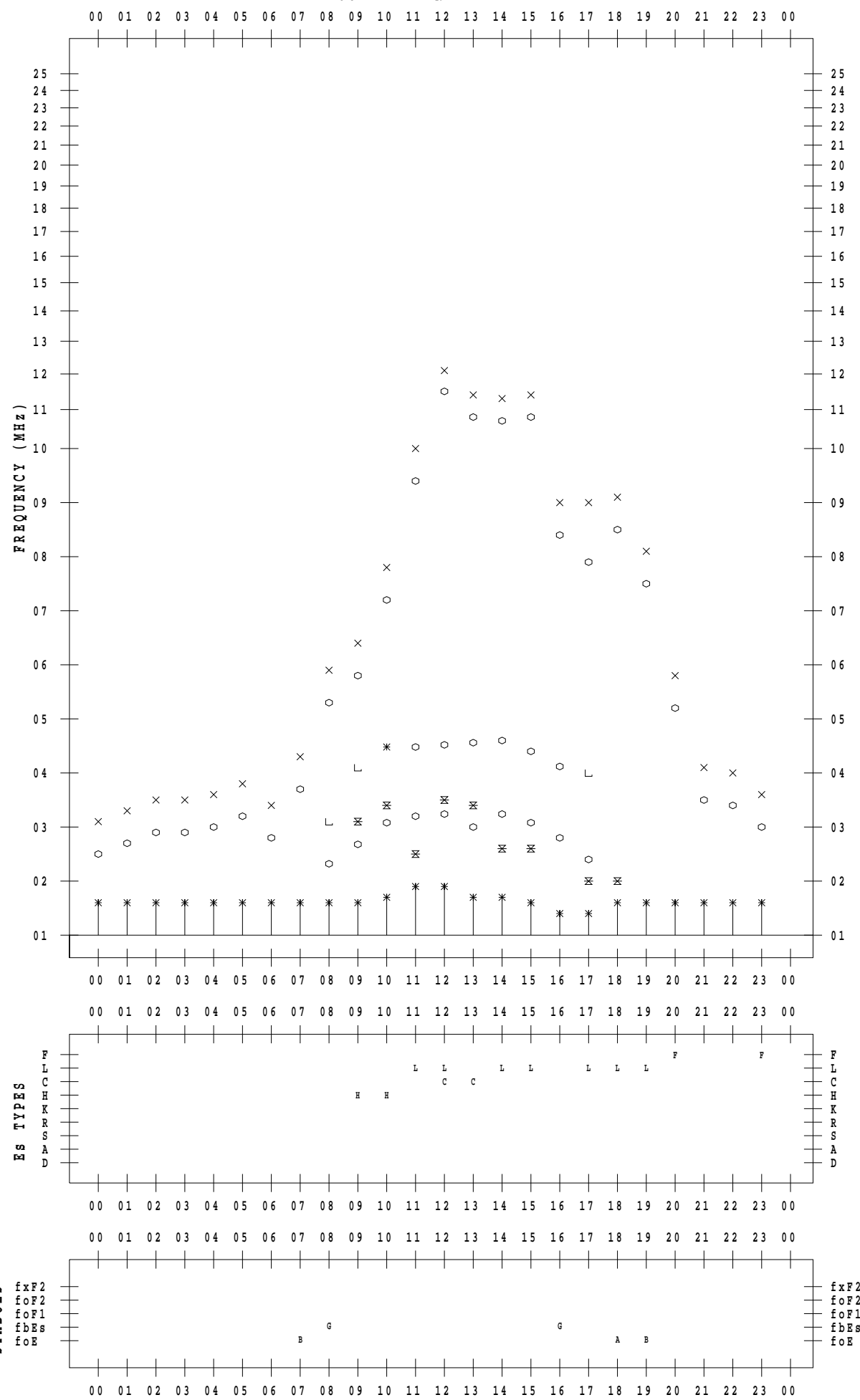
f - P L O T D A T A

SCALER : I.YAMAZAKI

STATION : Okinawa

DATE : 2021 / 2 / 26

135 ° E MEAN TIME



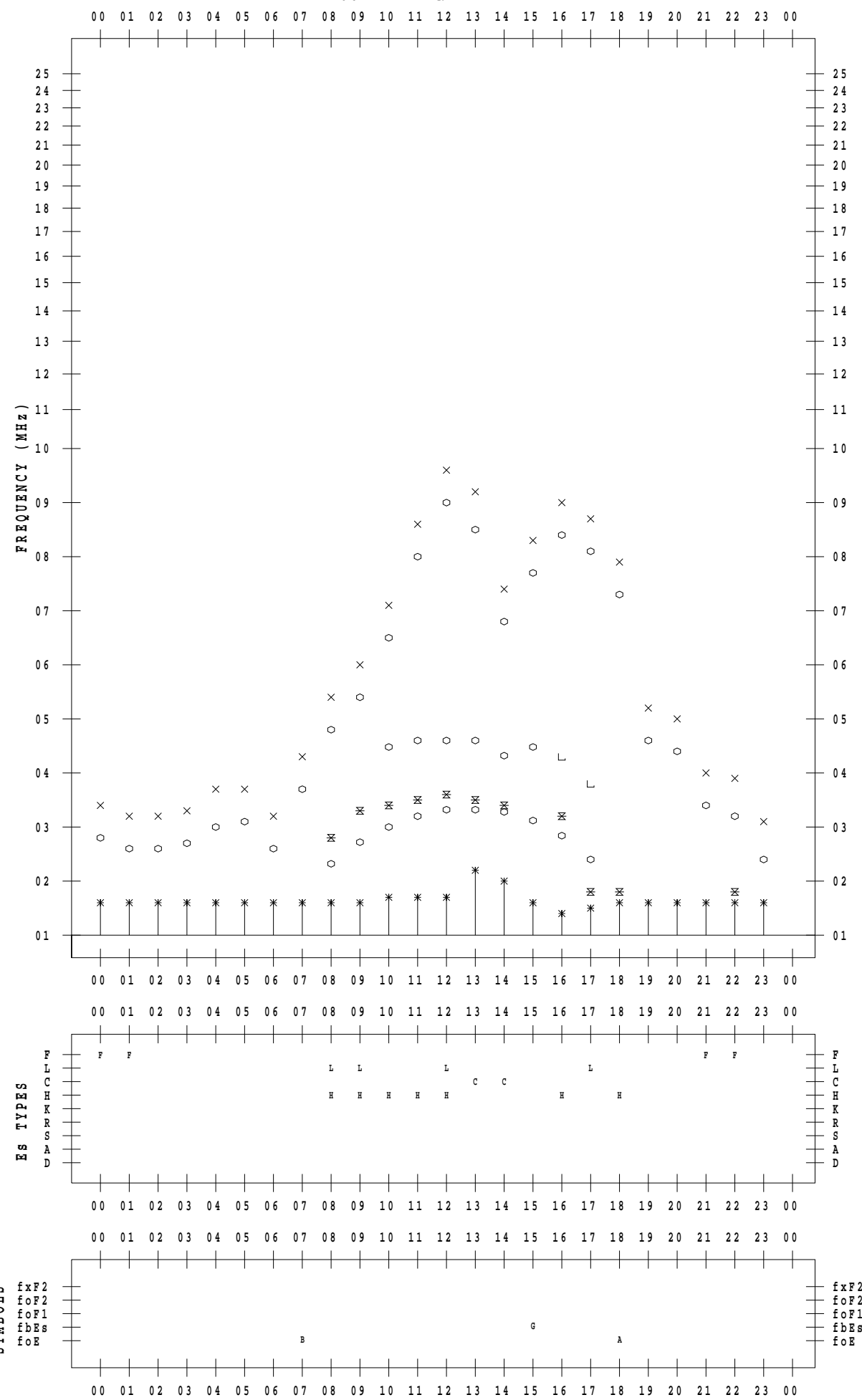
f - P L O T D A T A

SCALER : I.YAMAZAKI

STATION : Okinawa

DATE : 2021 / 2 / 27

135 ° E MEAN TIME



f - PLOT DATA

SCALER : I.YAMAZAKI

STATION : Okinawa

DATE : 2021 / 2 / 28

135 ° E MEAN TIME

